

801  
380

საქართველოს მთავრობის სამინისტრო  
ТВО СЕЛЬСКОГО ХОЗЯЙСТВА СССР  
მრომის წითელი დროშის ორდენისანი  
თველოს სახოფლო-სამეურნეო ინსტიტუტი  
Грузинский ордена Трудового Красного Знамени  
сельскохозяйственный институт



სამინისტრო ჟროგვა, თ. 114 ტ., НАУЧНЫЕ ТРУДЫ

სასოფლო-სამეურნეო ნაკრძალის მცენარეები,  
ელექტრიფიკაცია და ჰიდრომელიორაცია  
**МЕХАНИЗАЦИЯ, ЭЛЕКТРИФИКАЦИЯ И  
ГИДРОМЕЛИОРАЦИЯ СЕЛЬСКОХОЗЯЙ-  
СТВЕННОГО ПРОИЗВОДСТВА**

თბილისი — 1980 — ТБИЛИСИ

სსრ პავზირის სოცლის მეურნეობის სამინისტრო

МИНИСТЕРСТВО СЕЛЬСКОГО ХОЗЯЙСТВА СССР



შრომის წითელი დროშის ორდენისანი  
საქართველოს სახოფლო-სამეურნეო ონიგიზმი

Грузинский ордена Трудового Красного Знамени  
сельскохозяйственный институт

სამეცნიერო ჟურналი, №. 114 Т., НАУЧНЫЕ ТРУДЫ

სასოფლო-სამეცნიერო ნარკოების გეჯანზაშვილი,  
ელექტრიფიკაციის და ჰიდრომელიორაციის  
**МЕХАНИЗАЦИЯ, ЭЛЕКТРИФИКАЦИЯ И  
ГИДРОМЕЛИОРАЦИЯ СЕЛЬСКОХОЗЯЙ-  
СТВЕННОГО ПРОИЗВОДСТВА**

ეძღვნება საქართველოში სახოფლო-სამეურნეო ონიგიზმის  
დამსების 50 წლისთავს

Посвящается 50-летию со дня основания Грузинского  
сельскохозяйственного института

თბილისი — 1980 — Тбилиси

  
შექანიზაცია, ელექტრიფიკაცია და ჰიდრომელიო-  
რაციის სერიის ტომის მასალები განხილულია მექანი-  
ზაცია, ელექტრიფიკაციისა და ჰიდრომელიორაციის  
ფაქულტეტების სამეცნიერო საბჭოს სელომზე, დამოწ-  
მებულია შრომის წითელი დროშის ორდენისანი საქა-  
რთველოს სასოფლო-სამეურნეო ინსტიტუტის სამეცნი-  
ერო საბჭოს მიერ.

Материалы тома серии — Механизация, электрификация и гидромелиорация — рассмотрены на заседании Ученого совета факультетов механизации, электрификации и гидромелиорации — и одобрены Ученым советом Грузинского ордена Трудового Красного Знамени сельскохозяйственного института.

მთავარი რედაქტორი იყად. ვ. მეტრეველი

სარედაქციო კოლეგია: ქ. ბობოხიძე (პ/მგ. მდივანი), დოც. გ. გველი-  
ძე (მთ. რედ. მოადგილე), პროფ. ა. კეჩხეუაშვილი, დოც. ა. ტიკიშვილი,  
(მთ. რედ. მოადგილე), პროფ. ო. ნათიშვილი, დოც. ი. ტუღუში, დოც.  
თ. ქაცარავა, დოც. გ. ქემოკლიძე, დოც. გ. შალამბერიძე, პროფ. გ. შევაცა-  
ბაია, პროფ. ბ. ჩიკვაშვილი (მთ. რედ. მოადგილე), პროფ. გ. ხანთაძე.

Главный редактор акад. В. И. Метревели,

Редакционная коллегия: Дж. П. Бебохидзе (отв. секретарь), доц. Г. Гегелидзе (зам. гл. редактора), проф. А. Г. Кечхуашвили, доц. А. Тикишвили (зам. гл. редактора), проф. О. Г. Натишвили, доц. И. Э. Тугushi, доц. Т. Э. Кацарава, доц. Г. Кемоклидзе, доц. Г. А. Шаламберидзе, проф. Г. И. Шхвацабая, проф. Б. М. Чиквашвили (зам. гл. редактора), проф. Г. А. Хантадзе.



საქართველო-საბერძნეთ ფარმაციის მეცნიერების

**МЕХАНИЗАЦИЯ СЕЛЬСКОХОЗЯЙСТВЕННОГО  
ПРОИЗВОДСТВА**



გრამატის შემთხვევაში დროული მომზადების

საქართველოს სამინისტრო-სამინისტროს მსმინის უროვაზი, ტ. 114, 1980

ТРУДЫ ГРУЗИНСКОГО ОРДЕНА ТРУДОВОГО КРАСНОГО ЗНАМЕНИ  
СЕЛЬСКОХОЗЯЙСТВЕННОГО ИНСТИТУТА, Т. 114, 1980

УДК 663. 97. 665. 71

Г. Я. ШХВАЦАБАЯ, З. Г. БАЛАМЦАРИШВИЛИ,  
А. П. МАРТИАШВИЛИ

## ПРОЦЕСС ОРИЕНТАЦИИ ЛИСТЬЕВ ТАБАКА ЧЕРЕШКАМИ В ОДНУ СТОРОНУ УПРУГО-ЭЛАСТИЧНЫМИ ВАЛЬЦАМИ

Вальцы, как рабочий орган, нашли в сельскохозяйственных машинах широкое применение. Вообще прокатка растений вальцами — это технологический процесс, при котором растение подвергается деформации сжатия. Однако, при ориентации и прокатке табачных листьев вальцами это нельзя допускать, т. к. тогда табачные листья теряют товарное качество и становятся негодными. Поэтому для ориентации табачных листьев были использованы в ГСКБ вальцы с эластичными поверхностями, которые практически являются идеально упругими. Ориентировка листьев перед отделением их от стеблей осуществляется известным приспособлением, выполненным в виде установленных друг над другом встречновращающихся горизонтальных вальцов с эластичной поверхностью. На машину устанавливается по два таких приспособления, на каждый обрабатываемый ряд, таким образом, чтобы между ними образовалась щель для прохода стеблей табака.

Рассмотрим процесс захватывания и протаскивания табачного листа упруго-эластичными вальцами, когда оба вальца имеют одинаковые диаметры, принудительное вращение при разных окружных скоростях т. е., когда они будут однаправленно воздействовать на табачные листья.

В процессе протаскивания с табачными листьями взаимодействуют зоны вальцов (рис. 1, 2).

1. Зона, где в процессе протаскивания листьев деформация эластичной части вальца увеличивается и достигает максимальной величины при минимальном зазоре между ними. Назовем ее зоной сжатия при губковых вальцах, и изгиба — при щеточных. Угол контакта листа с вальцами в этой зоне равен  $\pi/2 - \alpha$

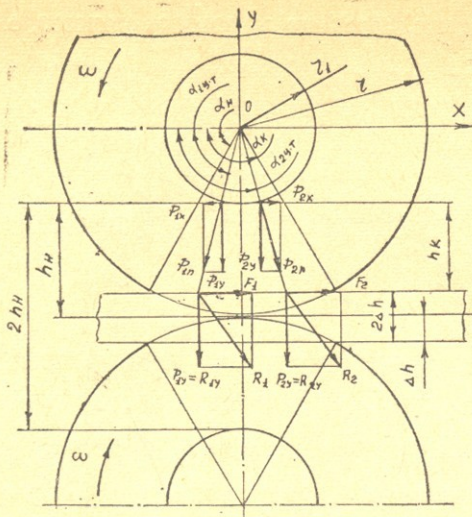


Рис. 1.

2. Зона, где в процессе протаскивания листьев, деформация эластичной части вальца уменьшается от максимальной до конечной, возвращаясь к первоначальной величине. Это — зона восстановления эластичной части вальца. Угол контакта листа с вальцами в этой зоне равен  $\alpha_K = \pi/2$ .

При консольном изгибе нитей вальца в зоне изгиба угол контакта равен  $1/2(\Pi - 2\alpha_K)$  а в зоне восстановления —  $1/4\Pi - 2\alpha_K$ .

При сжатии-изгибе эластичной части вальца действие этих нитей выразится в виде элементарных сил направленных нормально к поверхности барабана вальца. Эти силы можно заменить двумя равнодействующими;  $P_{1n}$  в зоне сжатия изгиба и  $P_{2n}$  в зоне восстановления. Место приложения этих сил определяется углами  $\alpha_1$  ц. т.  $\alpha_2$  ц. т. Раскладывая равнодействующую  $P_{1n}$  по направлению сжатия-изгиба эластичного материала и выталкивания его барабанами получим две силы;  $P_{1y}$  сжимающую-гибающую эластичный материал вальцов и  $P_{1x}$  выталкивающую его барабанами. Производя аналогичное разложение равнодействующей  $P_{2n}$  также получим две силы;  $P_{2y}$  сжимающую-гибающую эластичный материал вальцов и  $P_{2x}$  выталкивающую эластичный материал барабанами в сторону протаскивания.

При вращении вальцов возникают элементарные силы трения.

направленные касательно к поверхности вальцов табачного листа. Действие этих сил на табачный лист также можно заменить равнодействующими  $F_1$  и  $F_2$ , направления которых совпадают с направлением протаскивания. Исходя из этого, условие протаскивания отдельного от стебля табачного листа вальцами может быть записано следующим образом;  $F_1 + F_2 \geq 0$  (1)

Если учесть конусность основания табачного листа, то надо раскладывать силы  $P_{1y}$  и  $P_{2y}$ , по направлениям сжатия —  $P_{1y}^b$  и  $P_{2y}^b$  и выталкивания его вальцами  $P_{1x}^b$  и  $P_{2x}^b$  в противоположную сторону от протаскивания (рис. 2).

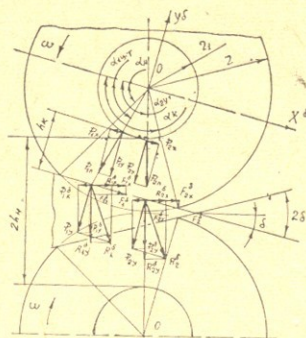


Рис. 2.

Таким же образом можно раскладывать равнодействующие силы трения  $F_1^b$  и  $F_2^b$ . Силу  $P_{1y}^b$  сжимающую табачный лист в первой зоне, как сумму вертикальных сил  $P_{1y}^b$  и  $F_{1y}^b$ . В зоне восстановления, силу  $R_{2y}^b$  сжимающую лист, как сумму вертикальных составляющих  $P_{2y}^b$  и  $F_{2y}^b$ .

Исходя из этого, условие протаскивания табачного листа вальцом с учетом конусности его основания может быть записано следующим образом:

$$F_{2x}^b + F_{2x}^b \geq P_{1x}^b + P_{2x}^b \quad (2)$$

откуда после подстановки значений получим:

$$\operatorname{tg}\varphi \geq \operatorname{tg}\delta \quad \text{т. е.} \quad \varphi \geq \delta \quad (3)$$

Если это условие прокатки нарушается, то между вальцами возникает буксование, вследствие чего натягивающая сила значительно возрастает. Тогда эта сила поворачивает листья по отношению

точки крепления на стебле, после чего они занимают единое направление, т. е. ориентированное положение.

Под действием силы давления на табачный лист, развивается сила трения  $F_1$  (рис. 3), направленная перпендикулярно осям вальцов в горизонтальной плоскости и сила трения  $F_2$ , направленная параллельно траектории передвижения машины, вследствие чего лист начинает поворачиваться вокруг точки крепления на стебле.

После поворота листа, под углом  $\alpha$  развивается сила сопротивления его отгибу  $P_x$ . Однаково, в сторону противоположную ориентации на табачный лист действует сила сопротивления отгибу щеточных нитей  $P_1$ , а в сторону ориентации—сила, затраченная на их деформацию  $P_2$  накопленная им в обратимой форме.

Исходя из вышеизложенного, условие ориентированного положения листа (рис. 3) пишется следующим образом:

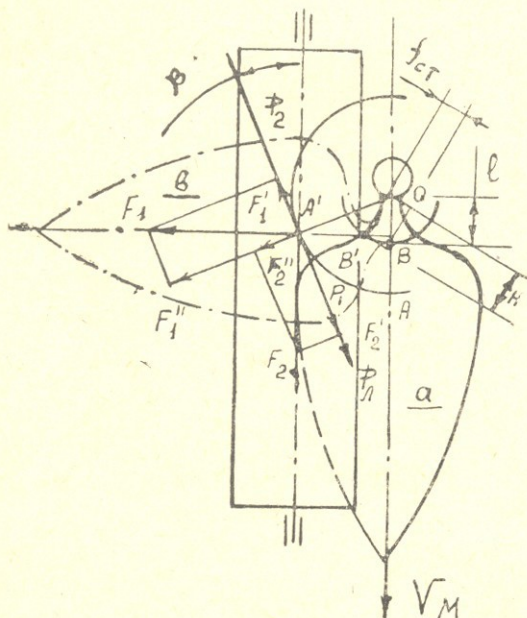


Рис. 3.

$$F_1^1 + F_2^1 + P_2 \geq P_x + P_1 \quad (4)$$

Так как табачный лист можно рассматривать как консольную

балку равного сопротивления длиной  $l_1$ , нагруженную на свободном конце силой сопротивления отгибу  $P_a$ , то:

$$P_a = \frac{2EY_a\varphi_{ct}}{l^3}$$

где:  $l$  — длина черешка от точки крепления на стебле до его минимального сечения;

$\varphi_{ct}$  — статистическая стрела прогиба;

$E$  — модуль пропорциональности;

$Y_a$  — момент инерции по отношению оси симметрии.

Также имеем:

$$F_1 = K_d R_y f \sin \beta \quad F_2 = R_y f \cos \beta$$

$$P_1 = R_y \sin \beta \quad P_2 = 0.25 R_y \sin \beta$$

где:  $K_d$  — статистическая сила давления на табачный лист;

$f$  — коэффициент трения;

$K_d$  — коэффициент динамичности;

$S$  — половина угла конусности угла.

После подстановки значений всех величин формула (4) запишется так:

$$K_d \sin \beta + \cos \beta \geq \frac{3l^3 R_y \sin \beta + 8EI_a f_{ct}}{4fl^3 R_y} \quad (5)$$

В формуле (5) неравенство должно соблюдаться при условии  $\beta > 30^\circ$ . Для листа, расположенного на стебле с противоположной стороны машины оно будет:

$$K_d \sin \beta - \cos \beta \geq \frac{3l^3 R_y \sin \beta + 8EI_a f_{ct}}{4fl^3 R_y} \quad (6)$$

Условие ориентированного положения листа, ось симметрии пластиинки которого расположена перпендикулярно осям вальцов, запишется следующим образом:

$$K_d \sin \beta - \cos \beta \geq \frac{3l^3 R_y \sin \beta - 8EI_a f_{ct}}{4fl^3 R_y} \quad (7)$$

Рассмотрим случай ориентации листа, при проекции оси симметрии которого расположены перпендикулярно к осям вальцов не-

на уровне максимального зазора между ними, а в первой четверти зврхнего вальца. Допустим, что соприкосновение происходит в точке А (рис. 4), тогда ориентация листа в этой точке начнется при условии:

$$F^1 \geq P_{kp}^1 + H \quad (8)$$

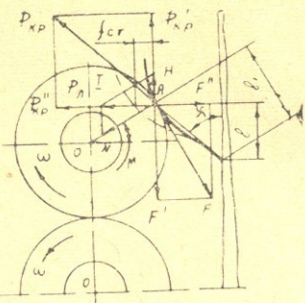


Рис. 4.

Валец нажимает на табачный лист с равной сопротивлению скользящему давлению листа на валец под неопределенным пока углом за также на вертикальную силу  $H$ . Под действием реактивной силы  $N$  на окружности вальца, при вращении его, развивается сила трения  $F = fN$ .

Из рис. 4 имеем:

$$F^1 = f \frac{2EI_f_{ct}}{l^3} \quad P_{kp}^1 = \frac{\pi EI_{min}}{(2l_1)^2} \cos x$$

$$\text{и } H = \frac{2EI_f_{ct}}{l^3} = \operatorname{tg} \alpha$$

где  $x$  — угол между стеблем и направлением критической силы.

Если продольный изгиб табачного листа происходит при напряжениях, меньших пределу пропорциональности, то величина критической силы может быть найдена по формуле Эйлера, как случай защемленного одним концом стержня:

$$P_{kp} = \frac{\pi^2 EI_{min}}{(\mu l)^2}$$

где  $\mu$  — коэффициент приведения длины, зависящий от способа закрепления концов листа. В этом случае  $\mu = 2$ . После подст

ловки значений всех величин формула (9) запишется.

$$f = g t \mu + \frac{\pi^2 l^3 I_{min}}{8 l_1^2 I_{ct}} \cos x$$

Условие захвата такого листа во второй четверти верхнего вальца будет:

$$f = \frac{\pi^2 l^3 EI_{min} \cos x}{4 l_1^2 EI f_{ct} (\operatorname{tg} \mu + \operatorname{ctg} \mu)} \quad (10)$$

В случае ориентации табачного листа нижним вальцом для первой четверти условие захватывания запишется следующим образом:

$$f > \operatorname{tg} \mu - \frac{\pi^2 l^3 I_{min} \cos x}{8 l_1^2 I f_{ct}} \quad (11)$$

Условие захвата такого же листа во второй четверти нижнего вальца будет:

$$f \geq \frac{\pi^2 l^3 EI_{min} \cos(180 - x)}{4 l_1^2 I f_{ct} (\operatorname{tg} \mu + \operatorname{ctg} \mu)} \quad (12)$$

Таким образом, теоретическое исследование процесса ориентации листьев показывает:

1. Табачные листья труднее ориентируются черешками в одну сторону при их продольном изгибе, чем при консольном.
2. По мере увеличения угла ориентации, при подъеме снизу вверх и уменьшении длины листа процесс захватывания ухудшается.
3. На степень захвата и ориентации листьев оказывают влияния расположение листа на стебле, а также диаметр и материал вальцов.

### Л и т е р а т у р а

1. Долгов И. А., Васильев Г. К., Математические методы в земледельческой механике, М., 1967.
2. Летошинев М. Н., Сельскохозяйственные машины. Теория, расчет, проектирование и испытание, М., 1953.
3. Сабликов М. В., Сельскохозяйственные машины. Часть II, Основы теории и технологического расчета. М., 1968.
4. Синяговский И. С., Сопротивление материалов, М., 1968.

ურთის მითიცია დროის მდგრადისანი

საქართველოს სამუშაო-სამურნეო ინსტიტუტის ურთის მითიცია, ტ. 114, 1980

ТРУДЫ ГРУЗИНСКОГО ОРДЕНА ТРУДОВОГО КРАСНОГО ЗНАМЕНИ  
СЕЛЬСКОХОЗЯЙСТВЕННОГО ИНСТИТУТА, Т. 114, 1980

УДК 631. 312. 02

А. Г. КЕЧХУАШВИЛИ, Д. В. КАЦИТАДЗЕ

А. Т. ЦИКОРИДЗЕ, И. А. ЧЕЛИДЗЕ, Д. Ш. ЧЕЛИДЗЕ

## К ВОПРОСУ ОПРЕДЕЛЕНИЯ НОРМ РАСХОДА БЫСТРОИЗНАШИВАЕМЫХ ДЕТАЛЕЙ ТРАКТОРНЫХ ПЛУГОВ В ГОРНЫХ УСЛОВИЯХ ГРУЗИИ С УЧЕТОМ ВАРИАЦИИ ИХ РЕСУРСА

В связи с постановлением Совета Министров СССР от 01. 02. 79 г. № 114 «О необходимости разработки и внедрения в производство индустриальных методов технологических процессов централизованного восстановления деталей машин и соответствующего оборудования для этих целей» изыскиваются научно обоснованные методы для учета количества восстанавливаемых деталей и установления норм расхода запасных частей.

В нашей стране ежегодно обрабатывается около 230-250 млн. гектаров, если принять средний ресурс лемеха 10 га, а среднюю массу 5 кг, тогда для вспашки в Советском Союзе 250 млн. га площади понадобится в год 125 млн. кг высококачественной стали или 25 млн. штук лемеха. По официальным данным в Советском Союзе ежегодно требуется 30 млн. штук запасных частей для замены изношенных и поломанных плужных лемехов. Расход такого количества лемехов требует разработки методов научного планирования норм потребного количества запасных частей.

Разновидность почвенных условий и рельеф в значительных пределах меняет фактический расход запасных частей и следовательно требуется установление дифференциальных норм в зависимости от почвенных и рельефных условий каждого региона.

Особый научный интерес представляет разработка методики определения научно обоснованных норм расхода лемехов в тяжелых почвенных условиях горной зоны.

Ниже рассматривается примерная методика определения нормы расхода интенсивно повреждаемых деталей почвообрабатывающих

машин на основе математической обработки статических данных с учетом вариации их ресурса.



## 1. Определение среднего удельного расхода

Для контроля в хозяйствах за расходом деталей почвообрабатывающих машин, приближенного определения годовой или сезонной потребности в деталях весьма удобно пользоваться средними величинами расхода в расчете на единицу наработки [1].

С целью определения этой величины воспользуемся данными о расходе деталей по опытными почвообрабатывающими машинами в горных условиях Грузинской ССР.

Вследствие неодинаковых условий работы тракторных плугов, различного качества изготовления лемехов, разной квалификации механиков-водителей и ряда других факторов, характер расхода лемехов изменчивый и их количество на единицу наработки является случайной величиной. Поэтому для определения среднего удельного расхода и выявления характера изменения расхода лемехов полученный экспериментальный материал обрабатываем методами математической статистики.

Определим величину расхода лемеха за единицу наработки плуга (1 га вспаханной площади). В результате получим для лемеха вариационный ряд.

Для определения основных показателей вариационного ряда применим способ моментов Пирсона [2]. Средняя величина ряда:

$$\bar{\omega} = \omega_0 + h \cdot \frac{\Sigma \omega' m}{\Sigma m} \quad (1.1)$$

Среднее квадратическое отклонение  $\sigma$

$$\sigma = h \sqrt{ \frac{\sum (\omega')^2 \cdot m}{\Sigma m} - \left( \frac{\Sigma \omega' m}{\Sigma m} \right)^2 } \quad (1.2)$$

Коэффициент вариации

$$V = \frac{\sigma}{\bar{\omega}} \quad (1.3)$$

В приведенных формулах  $m$  — частота случая,  $h$  — ширина интервала ряда,  $\omega' = \frac{\omega - \omega_0}{h}$ ,  $\omega_0$  — наиболее вероятное значение случая.

В таблице 1 приведены полученные значения средней величины удельного расхода лемеха для средних и особо тяжелых почвенных

условий, а также некоторые другие параметры. В таблице 2 заданы примеры расчета характеристик распределения удельного расхода для лемеха.

Таблица 2

Параметры распределения удельного расхода лемеха

Наименование	Характеристика			
	Среднее значение шт/га $\bar{\omega}$	Среднее квадратическое отклонение шт/га $\sigma$	Коэффициент вариации $V$	Вероятность согласия гринятуому закону
Лемех	0,27 0,166	0,047 0,05	0,174 0,30	0,27 0,90

Из таблицы видно, что коэффициенты вариации удельного расхода лемеха меньше 0,33. Следовательно, для лемеха удельный расход должен распределяться по нормальному закону [3]:

$$\varphi(\omega) = \frac{1}{\sigma \sqrt{2\pi}} \exp \left[ -\frac{(\omega - \bar{\omega})^2}{2\sigma^2} \right] \quad (1)$$

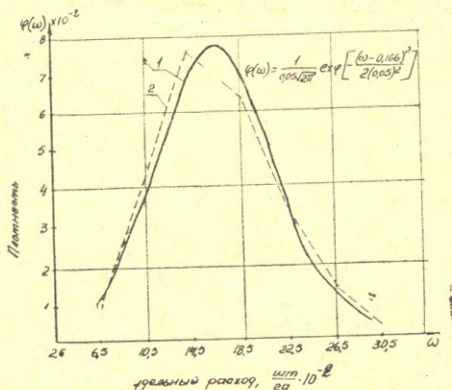


Рис. I. 1.

Плотность распределения удельного расхода лемехов для тяжело-глинистых и щебенисто-каменистых почв горной зоны; 1,2 — соответственно теоретическая и экспериментальная кривые.

На рисунке I, 2 приведены экспериментальные и теоретические кривые распределения лемеха.

Для оценки степени близости теоретического распределения к эмпирическому применяем критерий  $\chi^2$  Пирсона [2], который представляет собой сумму отношений квадратов разностей между

частотами эмпирического и теоретического распределения и частотам теоретического распределения. Вычисления критерия Пирсона для лемеха приведено в табл. 3,3а. Из таблицы показатель  $\chi^2 = 6,88$ . В нашем случае число значений (вариантов) 8. Поэтому число степеней свободы составляет 5 — [2].

Пользуясь таблицей (2) значений  $\chi^2$  определяем вероятность согласия экспериментальных данных к принятому теоретическому распределению. Эта вероятность составляет  $P = 0,27$ .

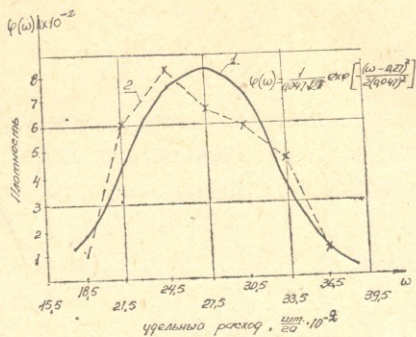


Рис. 1.2 — Плотность распределения удельного расхода лемехов для средних почвенных условий; 1, 2 — соответственно теоретическая и экспериментальная кривые.

Таблица 2

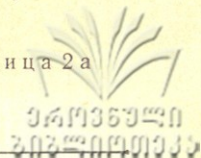
Расчет характеристик распределения удельного расхода лемеха

Интервалы	$\omega$	$m$	$\omega' = \frac{\omega - \omega_0}{h}$	$(\omega')^2 \cdot m$	Расчет интервала ряда $(\omega')^2 \cdot m$
$0,170 \pm 0,200$	0,185	2	-2	-4	8
$0,200 \pm 0,230$	0,215	16	-1	-16	16
$0,230 \pm 0,260$	0,245	22	0	0	0
$0,260 \pm 0,290$	0,275	17	1	17	17
$0,320 \pm 0,350$	0,375	12	3	26	108
$0,350 \pm 0,380$	0,365	3	4	12	43
$0,380 \pm 0,410$	0,395	1	5	5	25

$$\bar{\omega} = 0,27 \\ \sigma = 0,047 \\ V = 0,174$$

$$\Sigma m_i = 88$$

Таблица 2



## Расчет характеристик распределения удельного расхода лемеха

$$h = \frac{\omega_{max} - \omega_{min}}{1 + 3,22 \lg 88} = \frac{0,2 / 6 - 0,065}{7,26} \approx 0,04$$

Интервалы	$\omega$	m	$\frac{\omega - \omega_0}{\sigma}$	$\omega' m$	$(\omega')^2 m$
0,045...0,085	0,065	3	-2	-6	12
0,085...0,125	0,105	16	-1	-16	16
0,125...0,165	0,145	27	0	0	0
0,165...0,205	0,185	23	1	23	23
0,205...0,245	0,225	13	2	26	52
0,245...0,285	0,265	5	3	15	45
0,285...0,325	0,305	1	4	4	16

$$\bar{\omega} = 0,166$$

$$\sigma = 0,05$$

$$V = 0,30$$

Таблица 3

## Расчет критерия согласия Пирсона для лемеха

Интервалы	m	$\frac{\omega_1 - \omega_0}{\sigma}$	$t_1 =$	$\frac{\omega_2 - \omega_0}{\sigma}$	$t_2 =$	$F(\omega) = \frac{1}{2} \varphi(t_2) - \frac{1}{2} \varphi(t_1)$	$88 \cdot F(\omega)$	$m - 88F(\omega)$	$[m - 88F(\omega)]^2$	$\frac{[m - 88F(\omega)]^2}{88F(\omega)}$
0,17...0,20	2	-2,12	-1,49	0,0510	5	-3	9	1,8		
0,20...0,23	16	-1,49	-0,85	0,125	11	5	25	2,27		
0,23...0,26	22	-0,85	-0,21	0,2195	20	2	9	0,45		
0,26...0,29	17	-0,21	0,42	0,2460	22	-5	25	1,13		
0,29...0,32	15	0,42	1,06	0,1925	17	-2	4	0,23		
0,32...0,35	12	1,06	1,70	0,1000	9	3	9	1,0		
0,35...0,38	3	1,70	2,34	0,0350	3	0	0	0		
0,38...0,41	1	2,34	2,98	0,0080	1	0	0	0		

$$\chi^2 = 6,88$$

Таблица 3

## Расчет критерия согласия Пирсона для лемеха

Интервалы	$m$	$\frac{\omega_1 - \omega_0}{\sigma}$	$t_1 =$	$\frac{\omega_2 - \omega_0}{\sigma}$	$t_2 =$	$F(\omega) = \frac{1}{2} \varphi(t_2) - \frac{1}{2} \varphi(t_1)$	$88F(\omega)$	$m - 88F(\omega)$	$\frac{[m - 88F(\omega)]^2}{88F(\omega)}$
0,045...0,085	3	-2,42	-1,62	0,0445	4	-1	1	0,25	
0,085...0,125	16	-1,62	-0,82	0,1535	14	2	4	0,28	
0,125...0,165	27	-0,82	-0,02	0,232	26	1	1	0,04	
0,165...0,205	23	-0,02	0,78	0,283	25	-2	4	0,16	
0,205...0,245	13	0,78	1,58	0,1605	14	-1	1	0,07	
0,245...0,285	5	1,58	2,38	0,0485	4	1	1	0,25	
0,285...0,325	1	2,38	3,18	0,0078	1	0	0	0	

$$\chi^2 = 1,05$$

Таблица 4

## Средняя годовая норма расхода лемеха

Номер по каталогу	Наименование детали	Кол-во на машину	Средняя норма расхода на 100 машин
H. 074.02-008	Лемех	4	4050 2490

Данная величина указывает на то, что изменение удельного расхода лемеха согласуется с нормальным законом распределения.

В результате обработки статистических данных годовой наработки тракторных плугов за 1978-1979 гг. установлена их средняя годовая наработка. Определим среднюю годовую норму расхода лемехов как произведение удельного расхода на годовую наработку.

В таблице 4 приведены рассчитанные указанным способом средние нормы расхода лемехов.

## 2. Методика расчета годового расхода деталей

Зная годовые нормы расхода, можно найти годовой расход деталей на данный год или последующие годы. Этот расход можно определить без учета и с учетом возрастного состава машин. В последнем случае потребность в деталях будет определена более точно. Рассмотрим этот случай более подробно.

Пусть  $m_i$  — число машин  $j$  того года службы, где  $j$  изменяется с 1 до  $T_n$ , где  $T_n$  запланированный полный срок пребывания машин в народном хозяйстве.  $N_j$  — норма расхода детали на 100 машин  $j$  года службы. Тогда расход детали в базовом году составит  $T_n$

$$W = \frac{n}{100} \sum_{j=1}^{T_n} N_j m_j \quad (2.1)$$

где  $n$  — число одноименных деталей на машине.

Выведем формулу для осуществления прогноза расхода деталей в любой будущий год. Обозначим через  $m_0, m_{-1}, m_{-2}$  количество новых машин, планируемых запести в первый, второй, третий и т. д. год прогнозирования. Примем допущение, что машины отработавшие срок более  $T_n$  списываются. Тогда на первый год прогнозирования необходимо заказать деталей:

$$[m_0 N_1 + m_1 N_2 + m_2 N_3 + \dots + m_{T_n-1} N_{T_n}] \cdot 0,01$$

на второй год:

$$[m_{-1} N_1 + m_0 N_2 + m_1 N_3 + \dots + m_{T_n-2} N_n] \cdot 0,01$$

на  $i$ -й год:

$$[m_{i-1} N_1 + m_{i-2} N_2 + \dots + m_{T_n-i} N_{T_n}] \cdot 0,01 \quad (2.2)$$

В общем виде годовой расход деталей на  $i$ -й год определится по формуле:

$$W_i = \frac{n}{100} \sum_{j=1}^{T_n} m_{j-1} N_i \quad (2.3)$$

где:  $N_i$  — определяется по формуле (2.2);

$i$  — год прогнозирования с момента расчета;

$m_{j-1}$  — количество машин ( $j-1$ ) возрастной группы в момент расчета.

$n$  — количество одноименных деталей на машине.

По формуле (2.3) можно осуществлять прогноз расхода рассматриваемых деталей почвообрабатывающих машин.

В случае определения годового расхода деталей без учета возрастного состава машин, он подсчитывается по формуле:

$$W = m \cdot \bar{N} \cdot 10^{-2} \quad (2.4)$$

где;  $m$  — число машин данной модификации,

$\bar{N}$  — средняя годовая норма расхода.

## Выводы

1. На основе математической обработки статистических данных с помощью критерия согласия Пирсона установлено, что изменение расхода лемехов на 1 га наработка с учетом вариации их ресурса адекватно описывается нормальным законом распределения;

2. Получено, что средний удельный расход лемеха для тяжелых щебенисто-каменистых почв горных районов ГрузССР составляет 0,27, а для средних почв 0,166 шт на 1 га наработка, а средняя норма расхода лемеха на 100 машин, при норме 150 га, составляет соответственно 4050 и 2490 шт.

## Литература

1. Цикоридзе А. Т. К определению норм расхода деталей чаесборочной машины «Сакартвело». Труды ГИСХ, Сухуми, 1970.
2. Длин А. М., Математическая статистика в технике, Изд-во «Советская наука», 1958.
3. Михлин В. М., Липман А. Н., Пособие для определения числа объектов наблюдений (испытаний). БТИ, ГОСНИТИ, М., 1966.

ТРУДЫ ГРУЗИНСКОГО ОРДЕНА ТРУДОВОГО КРАСНОГО ЗНАМЕНИ  
СЕЛЬСКОХОЗЯЙСТВЕННОГО ИНСТИТУТА, Т. 114, 1980

УДК 620. 193. 4

ა. ბარაზაძე, გ. ციითიშვილი,  
თ. ფურცხვანიძე, ტ. აჩიმიძე

უნიკალური უზანები ფოლადების გამოყენების უსაძლებლობის ზე-  
სახელ ხილულის წვევებისა და პოსტენულის კონსერვების წარმოებაში

ხილულის წვენებისა და ბოსტნეულის კონსერვების წარმოებაში  
სათანადო დანადგარების (ქვაბების, მარაგელების, მიღვაყვანილობისა  
და სხვ.) დასამზადებლად უმთავრესედ გამოიყენება  $10 \times 18H$  10T ტიპის  
ქრომიკელიანი უჟანგავი ფოლადები.

ნიკელის დეფიციტურობის გამო, ქრომიკელიანი ფოლადების შე-  
ცვლას უნიკელო ფოლადებით დიდი პრატიკული მნიშვნელობა აქვს.

წინამდებარე შრომაში მოცემულია  $10 \times 14A\Gamma 15$  და  $08 \times 25\Gamma 15C$  მარ-  
კის უნიკელო ქრომმანგანუმიანი ფოლადების, სტანდარტული  $10 \times 18H 10T$   
მარკის ნიკელიანი ფოლადის და ტიტანის შენაღნობების ( $T-3$  და  $T-8$ )  
კოროზიმედეგობაზე შედარებითი გამოცდის შედევები, ხილულის წვე-  
ნებსა და ბოსტნეულის წარმოებაში მათი გამოიყენების შესაძლებლობის  
დადგენის მიზნით.

უნიკელო ქრომმანგანუმაზოტიანი და ქრომმანგანუმიანი ფოლადები  
შემუშვებულია საქ. მეცნ. აკად. მეტალურგიის ინსტიტუტის ლითონ-  
მცოდნეობის ლაბორატორიაში და მისი ავტორები არიან საქ. მეცნ. აკა-  
დემიის აკადემიკოსი პროფ. ფ. თავაძე და ტექნ. მეცნ. კანდ. გ. ციითი-  
შვილი [1, 2, 3].

აზოტის შემცველი  $10 \times 14A\Gamma 15C$  მარკის უჟანგავი ფოლადი შე-  
ცულია სახელმწიფო სტანდარტში (ГОСТ 5632-72) და გამოიყენება  
 $10 \times 18H 10T$  ტიპის ქრომიკელიანი ფოლადის შემცვლელად ზოგიერთ  
აგრესიულ არებში.

უხვერომიანმა ექსპერიმენტულმა  $08 \times 25\Gamma 15C$  მარკის უჟანგავმა  
ფოლადმა საჭარმოო გამოცდა გაიარა პერვოურალსკის ქრომპიკის ქარხნის  
სხვადასხვა უბანში და კოროზიამედეგობა გამოიჩინა ამაღლებული აგრეს-  
სიულობის მქონე გარემოში.

აღნიშნული მარკის ახალი, ქართული, უჟანგავი ფოლადები, ნიკე-  
ლიანი ფოლადის მსგავსად ხასიათდება, პირველი აუსტენიტური, ხოლო

მეორე აუსტენიტურ-ფერიტული სტრუქტურით, დამაკმაყოფილებელი მექანიკური თვისებებით და ამავე ღროს შედულებადობის და ფრეზების გადაბის კარგი უნარით.

ექსპერიმენტული შენადნობების ზოგიერთ აგრესიულ არეში კოროზიამედეგობისა და ტექნოლოგიური თვისებების კარგმა შერწყმამ განაპირობა მათი გამოცდა ხილეულის წვენებსა და ბოსტნეულის კონსერვების წარმოებაშიც.

ცდები ჩატარდა ლაბორატორიულ პირობებში საქართველოს სასოფლო-სამეურნეო ინსტიტუტის მასალათა ტექნოლოგიისა და მანქანათა რემონტის კათედრაზე, ნახევრად საწარმოო პირობებში იმავე ინსტიტუტის საკონსერვო ქარხანაში, ხოლო საწარმოო პირობებში კი გორის საკონსერვო ქარხანაში.

საცდელ არებად შერჩეული იქნა საკონსერვო ქარხნებში გამოყენებული, კოროზის თვალსაზრისით ყველაზე აგრესიული ხილეულისა (ტყემლის, ვაშლის) და ბოსტნეულის (ბაზილორის) წვენები და ნახევარფაბრივატები.

გამოცდის მეთოდიკა ითვალისწინებდა, როგორც თვით შენადნობების, ისე კოროზის პროდუქტების შესწავლას სპექტრული და ქიმიურა ანალიზის მეთოდით.

კოროზის ხარისხობრივი და რაოდენობრივი მაჩვენებლების დაფენა ხდებოდა, როგორც ვიზუალურად, ისე წონის დანაკარგის საშუალებით ფართობის ერთეულზე გადათვლით.

ყოველ სითხეში იცდებოდა 3—4 ერთნაირი შედგენილობის ნიმუში.

როგორც ზემოთ აღნიშნეთ, ნიმუში გამოიცადა, როგორც ლაბორატორიულ, ისე ნახევრად საწარმოო და საწარმოო პირობებში. ლაბორატორიულ პირობებში კოროზიული სითხეები დუღდა 10 წუთის ვანგვლობაში, რის შემდეგ ქილები ნიმუშებიანად იხუცებოდა და ინახებოდა 30, 120, 210 და 300 დღე-ლამე (ამ ვადის გასვლის შემდეგ ქილა იხსნებოდა, ნიმუშები ირეცხებოდა ჯერ წყლით, შემდეგ სპირტით, შეგბოლად იწონებოდა 0,1 მგ-ს სიზუსტით; ხდებოდა აგრეთვე ნიმუშების ვიზუალური შემოწმებაც).

პარალელურად იცდებოდა თავღია ქილებიც, რომლებშიც ნიმუშები ჩაკიდებული იყო სანახევროდ, ნიმუშების მასალის კოროზიამედეგობაზე ჰაერის უანგბადის ზემოქმედების შესასწავლად.

ნახევრად საწარმოო პირობებში ნიმუშები გამოიცადა საქართველოს სასოფლო-სამეურნეო ინსტიტუტის საკონსერვო ქარხანაში 25-ლიტრიან ქვაბში ჩასხმულ ვაშლის წვენები. სითხე ნიმუშებიანად დღე-ლამის განმავლობაში 7—8 სათი დუღდა, დანარჩენ ღროს კი ნიმუშები უფრო ციც-სითხეში რჩებოდა, ქარხნისათვის სტანდარტულ 2 ატ. წნევის ქვეშ.

შენადნობების კოროზიამედეგობის ძირითად მაჩვენებლად მიღებული იქნა წონითი მაჩვენებელი — კოროზიის სიჩარე ( $K$  გ/მ<sup>2</sup> სთ-შე) შემონახული მონიხატება ლითონის ზედაპირის ერთეულზე მასის ცვლილებით გროვის გროვულში.

ნიმუშის კოროზიის წონითი მაჩვენებლის ( $K$ ) საშუალებით იანგარიშებოდა კოროზიის სილრმითი მაჩვენებელი ანუ კოროზიის შეღწევადობა (II)

$$\Pi = \frac{K \cdot 8760}{\gamma \cdot 1000} = 1,1 \cdot K \text{ მმ/წელიწადში}$$

სადაც II არის კოროზიის შეღწევადობა მმ/წელიწადში;

$K$  — კოროზიის სიჩარე გ/მ<sup>2</sup> სთ;

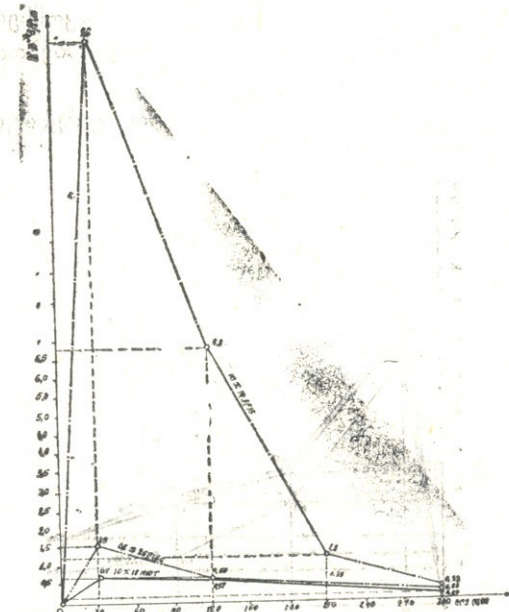
8760 — წელიწადში საათების რაოდენობა;

$\gamma$  — ლითონის ხეველრითი წონა ფოლადისათვის,  $\gamma = 7,8 \text{ გ/სმ}^3$ .

გამოცდილი შენადნობების კოროზიული მედეგობის ბალები დგინდებოდა 10-ბალიანი სკალით, ГОСТ 5272—50-ის შესაბამისად [6].

შენადნობების კოროზიულ მედეგობაზე გამოცდის შედები მოცემულია შემდეგ ცხრილში და 1—4 ნახაზებზე.

1—4 ნახაზებზე გრაფიკულად არის წარმოდგენილი კოროზიის სიჩარის კინემატიკა 300 დღე-ლამის განმავლობაში, ყველა შერჩეული კოროზიული გარემოსათვის ცალ-ცალკე.



ნახ. 1. ნიმუშების კოროზიის კინეტიკა ტყემლის წვენში.

საცდელ არეებში, პირველი 30 დღე-ლამის განმავლობაში უკელ  
ნიმუშზე კოროზიის მნიშვნელოვანი ზრდა აღინიშნება. ტყემლის წევნში  
(ნახ. 1) ყველაზე მქვეთრად განიცდის კოროზიას აზოტიანი, უნივერსალუ  
ფოლადი  $10 \times 14\text{AG}15$ , მისი ზედაპირის პასივაციას ადგილი აქვს მხოლოდ  
210 საათის შემდეგ; 300 საათის შემდეგ მისი კოროზიის სიჩქარე უმნი-  
შვნელოდ აღემატება ეტალონური ნიკელიანი შენადნობის  $10 \times 18\text{H}10\text{T}$ -  
სათანადო მაჩვენებელს.

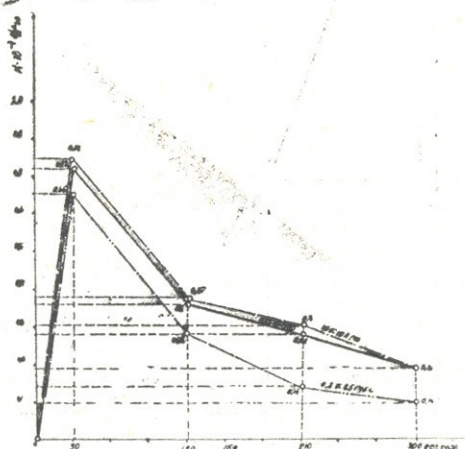
ეტალონური შენადნობის პასივაციას ადგილი აქვს 30 დღე-ლამის  
შემდეგ, ხოლო უხვმანგანუმიანი და უხვნიკელიანი  $08 \times 25\Gamma 15\text{C}$  მარკის  
ფოლადის პასივაცია 120 დღე-ლამის შემდეგ იწყება. მისი კოროზია პირვე-  
ლი  $30$  დღე-ლამის შემდეგ 6-ჯერ ნაკლებია აზოტიან უნიკელო  $10 \times 14\text{AG}15$   
მარკის ფოლადთან შედარებით, მაგრამ 2,5-ჯერ მეტია ეტალონთან შე-  
დარებით, თუმცა მომდევნო დღეებში ორივე შენადნობის კოროზია ერ-  
თნაირი კანონზომიერებით იცვლება და ეტალონისგან უმნიშვნელოდ გან-  
სხვავდება.

მიუხედავად კოროზიის წონითი მაჩვენებლის ასეთი მერყეობისა,  
ყველა შენადნობის კოროზიის სილრმითი შეღწევადობა (II) უმნიშვნე-  
ლოდ ცვალებადობს (ცხრ. 1), რაც ნიმუშების ზედაპირზე მტკიცე დამცავა  
აბსკის წარმოშობით შეიძლება აიხსნას.

ვიზუალურად ნიმუშების ზედაპირზე ცვლილება არ შემჩნეულა; არც  
ერთ მათგანს ბზინვარებს არ დაუკარგავს.

როგორც ზემოთ აღვნიშნეთ,  $10 \times 14\text{AG}15$  და  $08 \times 25\Gamma 15\text{C}$  მარკის  
ფოლადები - ტყემლის წვენში აღრე გორის საკონსერვო ქარხანაშიც  
გამოიცადა ტიტანის ( $T-3$  და  $T-8$ ) შენადნობებთან და ნიკელიან  
უჟანგავ ფოლადთან ( $10 \times 18\text{H}10\text{T}$ ) ერთად.

გამოცდა ხელოვნურად შექმნილ უფრო აგრესიულ არეში მოხდა  
(20% სუფრის მარილის დამატებით).



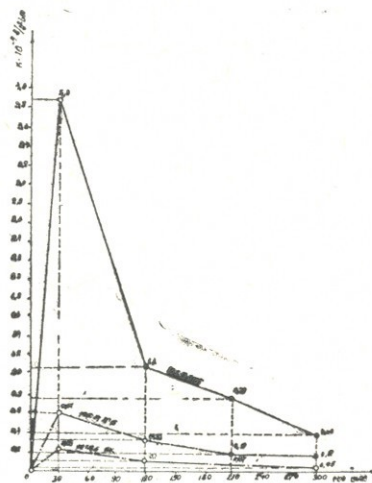
ნახ. 2. საცდელ ნიმუშების კოროზია პამიდორის წვენში.

ცდის უკეთესი შედეგების საფუძველზე  $08 \times 25\Gamma 15C$  მარკის ქრომ-მანგანუმიანი ფოლადისაგან ჩამოისხა და ტყემლის წვენში საწარმოო პირობებში გამოიცადა ხილის სახები მანქანის ტუმბოს დეტალზე ცდებმა დაადასტურა მითითებული ფოლადით ნიკელიანი უჟანგავი ზოლადის შეცვლის შესაძლებლობა.

პამიღვრის წვენში საცდელი ფოლადების ნიმუშების კოროზიის სიჩარე თითქმის ერთნაირი კანონზომიერებით იცვლება (ნახ. 2). 30 დღე ლამის შემდეგ ყველა მათგანის კოროზიის მაღალი სიჩარე ერთნაირა ხსიათით იწყებს მნიშვნელოვან დაცემას. ასანიშნავია, რომ უხვემანგანუმიანი და უხვეჭრომიანი  $08 \times 25\Gamma 15C$  მარკის ფოლადი ყველაზე ნაკლებად განიცდის კოროზიას.

განსაკუთრებულ ინტერესს იწვევს საცდელი შენაღნობების კოროზიული ბუნება პამიღორის წვენსა და განსაკუთრებით კი პამიღორის ნახევარფაბრიკატებში (ტომატის პასტის მასალაში, ნახ. 3 და 4).

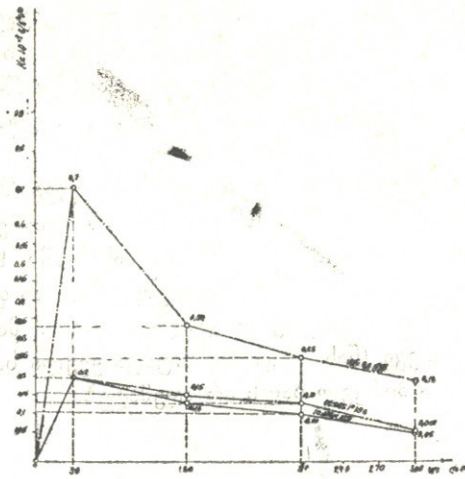
მითითებულ კოროზიულ არეებში უხვეჭრომიანი ფოლადი  $08 \times 25\Gamma 15C$  ეტალონურ-ნიკელიან უჟანგავ ფოლადზე უფრო მაღალი კოროზიამეტ-დეგბით გამოირჩევა (ნახ. 2 და 3), თუმცა ყველა საცდელი შენაღნობისა კოროზიამედეგობა პირველ ბალს არ აღემატება.



ნახ. 3. საცდელი ნიმუშების კოროზიის სიჩარის კინეტიკა პამიღორის ნახევარფაბრიკატში.

ვაშლის წვენში შენაღნობთა კოროზიული მედეგობა ტყემლის წვენში შესაბამისი თვისების ანალოგიურად იცვლება, ე. ი. ამ შემთხვევაშიც მეტასიმური კოროზიით ხასიათდება აზოტიანი ფოლადი  $10 \times 14\Gamma 15C$ . მისი კოროზიის წონით მაჩვენებელი პირველი 30 დღე-ლამის შემდეგ 3,5-ჯერ აღემატება ეტალონისას და უხვეჭრომიანი ფოლადის სათანადო

თვისებას, თუმცა რიცხობრივად ისიც უმნიშვნელოა და  $0,7 \cdot 10^4$   $\text{g}/\text{dm}^3$ . არ აღემატება 120 დღე-ლამის შემდეგ სამივე შენაღნობის ფორმი აითქმის ერთნაირად მცირდება, 210 დღე-ლამის შემდევგ გრ. უსვერული  $108 \times 25\Gamma 15C$  მარკის ფოლადის კოროზია მაქსიმალურად მცირდება 300 დღე-ლამის შემდეგ ეტალონური ფოლადის სათანადო მაჩვენებელი ფოლია ( $0,05 \cdot 10^4$   $\text{g}/\text{dm}^2\cdot\text{სთ}$ ).



ნახ. 4. საცდელი ნიმუშების კოროზიის სიჩქარის კინეტიკა ვაშლის წვენში.

ყველა გამოსაკვლევი შენაღნობი ოთხივე კოროზიულ არეში აღმნიდა სრულიად მდგრადი. 300 დღელამიანი გამოცდის ბოლოს ყველა ნაკლები კოროზიის შეღწევადობით (II) ხასიათდება  $08 \times 25\Gamma 15C$  მარკულადი, რომლის კოროზიის სიჩქარე წელიწადში ტყემლის წვენში აღემატება  $0,00002$   $\text{მმ-ს}$ , პამიღვრის წვენში და პამიღვრის ნახევარზე რიკატში  $0,00001$   $\text{მმ-ს}$ , ხოლო ვაშლის წვენში კი  $0,000006$   $\text{მმ-ს}$ .

ნახევრად საწარმოო პირობებში შენაღნობები გამოცდილი იქნა მხროდ ვაშლის წვენში (ცხრ. 2): გამოცდა წარმოებდა 400 საათის განმავლობაში 5-ლიტრიან ქრომნიკელიანი ფოლადის ქვაბში, ვაშლის წვენ ზამზადების ტექნოლოგიით გათვალისწინებულზე უფრო რთული რეაციით.

ამ შემთხვევაში ცდის მთელ პერიოდში (400 სთ), ყველაზე მაღალ კოროზიით ხასიათდება  $10 \times 14\Gamma 15$  მარკის ფოლადი, რომლის კოროზიის წონითი მაჩვენებელი პირველი 50 საათის განმავლობაში 2-ჯერ აღემატება ეტალონის სათანადო მაჩვენებელს (ცხრ. 1). ყველა შენაღნობი პირველი 50-საათიანი გამოცდის დროს კოროზიის სიჩქარის ზრდით ხასიათდება 50-დან 100 საათამდე კოროზიის სიჩქარე მკვეთრად და ერთნაირი კანონზომიერებით კლებულობს.

ცხრილი 1

№	ფორმადოს მარკა	50 საათის შემდეგ			100 საათის შემდეგ			200 საათის შემდეგ			400 საათის შემდეგ		
		დაცულობის დრო წთ	დაცულობის დრო სთ	მდგრადიანი გადაზისტაციის დაცულობის დრო წთ									
1	10X18H10T	20 საათი	0,0039	0,00429	2	40 საათი	0,00025	0,000275	1	60 საათი	0,00025	0,000275	1
2	08X25Г150	0,0044	0,00484	2	0,00041	0,00041	1	0,00037	0,00041	1	0,00033	0,00036	1
3	10X14AГ15	0,0084	0,0093	3	0,00074	0,00081	1	0,0006	0,00066	1	0,0005	0,00055	1

აღსანიშნავია პაერის უანგბადის დადებითი ზემოქმედება ნიმუში. კოროზიამედეგობაზე, რაც შეიძლება აიხსნას ფოლადის შესავარისტიკული გეულის მტკიცე — დამცავი აბსკის წარმოქმნით, რომელიც იცავს შემდგომი კოროზიისაგან. 60 საათის განმავლობაში დულილის შემთხვევაშიც კი ნიმუშები სავსებით მდგრადი აღმოჩნდნენ კოროზის მიმართ.

საქართველოს სასოფლო-სამეურნეო ინსტიტუტისა და გორის კონსერვო ქარხნებში უნიკელო და ნიკელიანი უჟანგავი ფოლადი ტყემლისა და ვაშლის წვენებსა და პამიდორის წვენსა და ნახევარფაზი კატში კოროზიამედეგობაზე შეღარებით გამოცდის შედეგების ანალიტურებულზე შეიძლება დავასკვნათ შემდეგი:

1. ხილის წვენებსა და ბოსტნეულის კონსერვებში მაღალი კოროზი მედეგობით ხასიათდებიან ახალი ქართული  $10 \times 14\text{АГ}15$  და  $08 \times 25\text{С1}$  მარკის ქრომმანგანუმიანი უჟანგავი ფოლადები.

2.  $08 \times 25\text{Г15C}$  მარკის ქრომმანგანუმიანი ფოლადი ზოგიერთ აგრძიულ არეში (პამიდორის ნახევარფაზრიკატი)  $10 \times 18\text{Н10Т}$  მარკის ნილან ფოლადზე უკეთეს კოროზიამედეგობას იჩენს.

3.  $08 \times 25\text{Г15C}$  მარკის უნიკელო ქრომმანგანუმიანი უჟანგავი ფლადი სავსებით იმსახურებს ფართო საწარმოო მასშტაბით გამოცდი ხილბოსტნეულის კონსერვების წარმოების მანქანებში მისი გამოყენები მიზნით, დეფიციტური ელემენტების შემცველი ფოლადებისა და შედნობების ნაცვლად.

4. ტყემლის წვენები საწარმოო პირობებში ჩატარებული ცდის დეგებზე წინასწარი განვარისებით,  $08 \times 25\text{Г15C}$  მარკის ფოლად  $10 \times 18\text{Н10Т}$  ტიპის ფოლადის დეტალების შეცვლა მნიშვნელოვან კონკრეტურ ეფექტს იძლევა.

## ლ • ტ ე რ ა ტ უ რ ა — Л и т е р а т у р а

- ფ. თავაძე, გ. ცეირიშვილი, ვ. ხიმშიაშვილი, ანგარიში თემის მაღალმანგანუმიანი აუსტენიტური ახალი ფოლადების გამომუშავება მაღარაგერების მქონე ორთქლგაყვანილობისათვის, საქართველოს მეცნიერებათა აკადემიის ბიბლიოთეკა. 1964.
- Тавадзе Ф. Н., Цкитишвили В. С., Кемхадзе В. С. **Магнегаладзе**, Корозионная стойкость в морской воде и атмосфере влажного сутического климата новых хромомарганцевых сталей типа Х15АГ15 X25Г15, Труды Института металлургии АН ГССР, 1971.
- ფ. თავაძე, თ. ლაშხი, ქრომმანგანუმიანი შენაღნობების კოროზიამედეფი ბაზოგიერთ ორგანულ მეცნიერებში, საქართველოს სსრ მეც. ეკად. მეტალურგი

- ინსტიტუტის შრომები, ლითონმცოდნეობის და ლითონთა კოროზიის საკითხები.  
ტ. 2, 1971.
1. Тавадзе Ф. Н., Кемхадзе В. С., Цкитишвили М. Д., Джинварадзе Г. Х., Чантурия А. А., Рамишвили Р. М. Коррозионная стойкость некоторых легированных хромомарганцевых сплавов типа X15АГ15 в условиях влажного субтропического климата. Труды Института металургии АНГССР, т. 2, 1971.
2. Малахов А. И., Жуков А. П. Основы металловедения и теории коррозии, 1978.
3. Государственный стандарт Союза ССР, «Коррозия металлов. Десятибалльная шкала коррозионной стойкости», ГОСТ-13319-68.

შრომის ჯითები დროშის ორგანიზაცი

საქართველოს სასოცელო-სამუშაო ინსტიტუტის შრომები, ტ. 114, 1980.



ТРУДЫ ГРУЗИНСКОГО ОРДЕНА ТРУДОВОГО КРАСНОГО ЗНАМЕНИ ИНСТИТУТА  
СЕЛЬСКОХОЗЯЙСТВЕННОГО ИНСТИТУТА, Т. 114, 1980

УДК 621. 434. 056. 013 : 6

გ. ხანიაშვილი, გ. დარჩიაშვილი

საავტომატიკო ძრავების უკი სვლის რჩქივი

ავტომატიკური რიცხობრივი რაოდენობის ზრდამ გამოიწვია არსებული წვრილი ავტოსატრანსპორტო საწარმოთა გამსხვილების აუცილებლობა, ე. ი. მათი კონცენტრაცია და სპეციალიზაცია. ასე, მაგალითად, უკანასკნელი ათი წლის მანძილზე ლიკვიდირებული იქნა 70 ათასი წვრილი ავტოსატრანსპორტო საწარმო, მოხდა მათი ურთიერთშერწყმა და შეიძლო ტექნიკურად უფრო სრულყოფილი და რენტაბელური საწარმოები, რაც უზრუნველყოფს შრომის ნაყოფიერების ზრდას.

კონომიკურობის მხრივ ივტომატიკური კონსტრუქციული სრულყოფის შეფასება პრაქტიკაში ხდება, განვლილ მანძილზე ან შესრულებულ საქართველოს მუშაობაზე მოსული საწვავის ხარჯის სიდიდით.

განვლილი მანძილის ერთეულზე მოსული საწვავის ხარჯი გამოითვლებულ მურმულით:

$$q_{\text{გა}} = \frac{Q}{S} \quad \text{ლ/კმ} ;$$

შესრულებულ სატრანსპორტო მუშაობის ერთეულზე მოსული საწვავის ხარჯი

$$q_{\text{სა}} = \frac{Q}{P \cdot S} = \frac{Q}{W_{\text{სა}}} \quad \text{ლ/ტ.კმ.} ;$$

სადაც  $P$  არის გადატანილი ტვირთის რაოდენობა;  $\text{ტ.}$ ;  $S$  — მანძილი;  $W_{\text{სმ}}$  — სატრანსპორტო მუშაობა ტკმ;  $Q$  — საწვავის ხარჯი, ლ.

იმის გამო, რომ მოტანილი ფორმულებიდან პირველი არ ითვალისწინებს შესრულებულ სატრანსპორტო მუშაობას, ხოლო მეორე ამ მუშაობის შესრულების დროის სიდიდეს, უკანასკნელ პერიოდში პრაქტიკაში იყენებენ ეს კი — საწვავის ეფექტური ეკონომიკურობის სიდიდეა,

• რომელიც ახასიათებს სატრანსპორტო საშუალების უნაოც, შეამრუდოს მუშაობას საწვავისა და დროის მინიმალური დანახარჯებით:

$$q_{\text{გ.}} = \frac{Q}{P \cdot V} \frac{\text{ლ. სთ.}}{\text{ტ. გრ.}}$$

საღაც V არის მოძრაობის ტექნიკური სიჩქარე, კმ/სთ.

ყველა ზემოხსენებული მაჩვენებელი ურთიერთ შორის დაკავშირებულია შემდეგი დამოკიდებულებით:

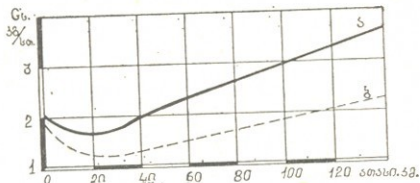
$$q_{\text{გა.}} = q_{\text{სა.}} \cdot P = q_{\text{გ.}} \cdot \frac{P \cdot V}{S};$$

ძრავის ცილინდრის მუშა მოცულობაში მოხვედრილი საწვავის მიერ გამოყოფილი მთელი ენერგიის დაახლოებით 25% გამოიყენება სასარგებლოდ (ე. ი. გარდაიქმნება წმყვანი თვლების წევის ძალად); დანარჩენი კი უკან დაუბრუნებლად იხსარება.

გამოდის, რომ კუმშვის კამერაში მოხვედრილი საწვავის ყოველი 100 ლ-დან წამყვან თვლებთან წევის ძალის სახით მიიყვანება, ყველაზე უკეთეს შემთხვევაში, მხოლოდ 25 ლ-ის შესაბამისი ენერგია.

უკანასკნელ პერიოდში დიდი კვლევითი სამუშაოები მიმდინარეობს შიდაწვის ძრავების ნამდვილი (სამუშაო) ციკლის გასაუმჯობესებლად, მისი მ. ქ.-ის გასაზრდელად.

1-ელ ნახაზზე წარმოდგენილია სამამულო წარმოების ძრავების ეკონომიკურობის ცვლილების გრაფიკი, უკანასკნელი 30 წლის განმავლობაში [1]:



ნახ. 1. კარბურატორიანი და დიზელის ძრავების საწვავის კუთრი ხარჯის შემცირება უკანასკნელი წლების განმავლობაში.

როგორც გრაფიკიდან ჩანს, ამ ნეინის განმავლობაში, კარბურატორიანი ძრავებისათვის საწვავის კუთრი ხარჯი 20%-ით შემცირდა.

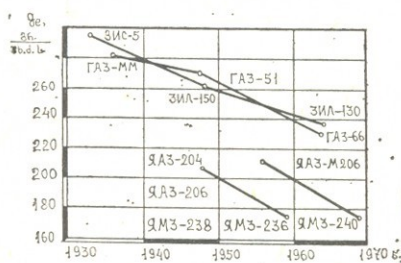
საექსპლუატაციო პირობებში საწვავის ეკონომიის ეფექტური გზები აუცილებელია მოძებნოს ძრავის გამოყენების სათანადო რეჟიმების შერჩევასა და ავტომობილის ყველა აგრეგატის ტექნიკურად გამართულ მდგრმარეობის შენარჩუნებაში.

სავარტომობილო ძრავების კვების სისტემის ცალკეული ხელსაწყობია არადამაკმაყოფილებელმა ტექნიკურმა მდგომარეობამ და რეგულირების

დარღვევამ შეიძლება გამოიწვიოს საწვავი ხარჯის 20—30%-ით გაზრდა. სამამულო წარმოების თანამედროვე ავტომობილების კვების სისტემა გვები მნიშვნელოვნად დახვეწილი და სრულყოფილია, რის შეფერხადაც გაიზარდა ავტომობილების დინამიკურობა და ეკონომიკურობა: შაგრამ ექსპლუატაციის პირობებში ტექნიკური მომსახურების რეჟიმების დარღვევისა და უფრო ხშირად კი ცალკეული რეგულირების სიზუსტისადმა უყურადებობისა და უკონტროლობის გამო კვების სისტემა მუშაობას არაეკონომიკურად და, ამასთან ერთად, გამობოლქვილ ნამწვ აირებში იზრდება ტოქსიკურ ნივთიერებათა შემცველობა.

საკონტროლო შემოწმებებით დადგენილია, რომ ორგამერიანი კარბურატორებით აღჭურვილი ძრავების ნახევარზე მეტი (60-80%) მუშაობს უქმი სვლის მოუწესერიგებელი (არასწორად რეგულირებული) სისტემით: თითქმის ყოველთვის უქმი სვლის ბრუნვები მეტია მინიმალურ შესაძლო ბრუნთა რიცხვზე. ვინაიდან არ არსებობს ზუსტად განსაზღვრული სავალდებულო ინსტრუქციული მითითებები ამ საკითხებზე, მდლობები ჩვეულებრივ, არეგულირებენ ძრავას უქმი სვლის შედარებით მაღალ ბრუნთა რიცხვებზე და ამგვარად ექსპლუატაციის მთელი პერიოდის განმავლობაში, უქმი სვლის რეჟიმზე, ძრავას აქვს საწვავის გაზრდილ ხარჯი.

ავტომობილის ექსპლუატაციის საერთო დროის საკმაოდ მნიშვნელოვნი ნაწილი 15—18% (% ზოგჯერ 30%-იც კი) მოდის უქმ სვლებზე, ძრავის მუშაობის რეჟიმზე. ძრავის ამუშავება, გახურება, რეგულირებები, სიჩქარეთა გადართვები, არახანგრძლივი გაჩქრება, გზაჯვარედინებზე და შუქნიშნებთან ლოდინი, მგზავრების ჩასხდომა-გადმოსვლა, დაღმართხე მოძრაობა გამორთული გადაცემებით და სხვა, ძირითადად წარმოადგენენ იმ საექსპლუატაციო რეჟიმებს, როდესაც ძრავა უქმი სვლით მუშაობს:



ნა. 2. ზილ — 130 ძრავის უქმ სვლებზე საწვავის ხარჯის დამოკიდებულება ავტომობილის გარენისაგან.

- ა) — რეგულირებამდე
- ბ) — რეგულირების შემდეგ

თუ გავითვალისწინებთ კავშირის მასშტაბით, ჯერ მარტი, აგტომა სებისა და ტაქსომოტორების პარკების ავტომობილების რაოდენობა ნათელი გახდება, თუ რა დიდი რაოდენობის საწვავი გრანჯებზე ჰქონდა.

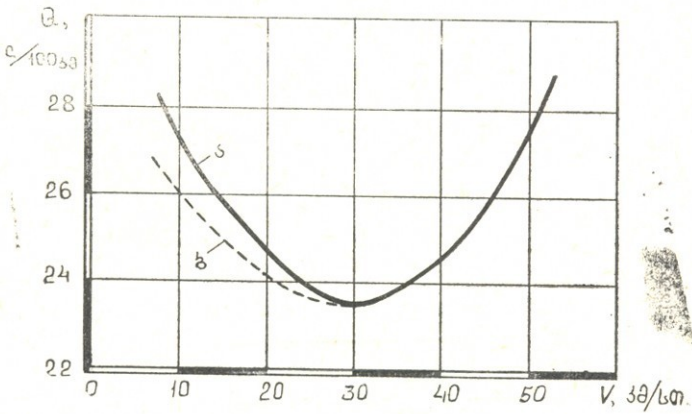
მე-2-ე ნახაზზე წარმოდგენილია ვИЛ—130 ძრავის უქმი სცლით რემანბისას საწვავის ხარჯის დამოკიდებულება ავტომობილის გარბენაზე [1].

ძრავის უქმი სცლის სისტემის სწორი რეგულირება უზრუნველყოფს ამ რეჟიმზე საწვავის ეკონომის 30%-მდე, ხოლო თუ გადავიანგარიშება საერთო ხარჯზე, არა ნაკლებ 3—4%-ს.

უქმი სცლის სისტემის ზუატი რეგულირება გულისხმობს, რომ დავ დგინოთ მინიმალური მდგრადი სავალდებულო ბრუნთა რიცხვი, რომელიც იზლუდება, ერთი მხრივ, ძრავის მიმღებიანობით, ხოლო მეორე მხრივ, საწვავის მინიმალური ხარჯითა და ნამწვი აირების ოპტიმალურ შედგენილობით.

უქმი სცლის სისტემის არაზუატი რეგულირება, საწვავის ხარჯზე უფრო მეტად მოქმედებს მოძრაობის მცირე სიჩქარეებისას (30 კმ/სთ მდე).

მე-3-ე ნახაზზე მოყვანილია ავტომობილ ვИЛ-130-ის საწვავის ხარჯის დამოკიდებულება მოძრაობის სიჩქარისაგან, უქმი სცლის სისტემის სხვადასხვა რეგულირება დროს [1].



ნახ. 3. ავტომობილ ვИЛ—130-ის საწვავის ხარჯის დამოკიდებულება მოძრაობის სიჩქარისაგან, უქმი სცლის სისტემის სხვადასხვა რეგულირება დროს:

- ა) — კარბურატორის რეგულირებამდე
- ბ) — კარბურატორის რეგულირების შემდეგ.

ძრავების მიერ გამობოლქვილი აირები შეიცავს საწვავის არასრულ ჭვის პროდუქტებს — ტოქსიკურ და კანცეროგენულ ნივთიერებებს, რომ

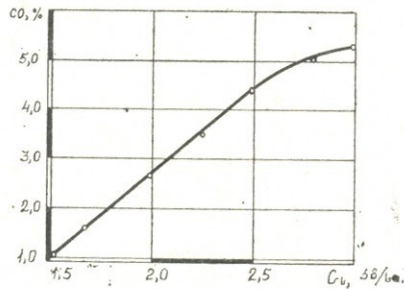
ლებიც ახდენენ მავნე გავლენას, როგორც ადამიანის ჭანმრთელობაზე, მევე ცხოველურსა და მცენარეულ სამყაროზე.

გამონაბოლქვ აირებში მომშეამცელ ნივთიერებათა რაოდენობაზე კიდებულია, ერთი მხრივ ძრავის კონსტრუქციაზე, ხოლო, მეორე მხრივ, მისი მუშაობის რეჟიმისა და, რაც მთავარა, ტექნიკურ მდგომარეობაზე.

ძრავებისათვის გამოყენებული საწვავი წარმოადგენს ნახშირგადისა და წყალბადის სხვადასხვა სახის შენაერთების რთულ ნარჩენს. საწვავის უნგვის (წვის) დროს უანგბადის დანაკლისი იწვევს მაცნე შენაერთებისა და ნივთიერების წარმოქმნას; ასეთ ნივთიერებებს მიეკუთვნებიან: — ნახშირუანგი, უანგბადშემცველი ორგანული ნივთიერებები, ალდეპიდები (ფორმალდეპიდები), ძმარალდეპიდები, აკროლეინი, აცეტალდეპიდები და სხვ.), მარტივი ნახშირწყალბადები (ეთანი, მეთანი, ეთილენი, ბენზოლი, პროპანი, აცეტილენი, ტოლუოლი და სხვა), რთული არომატული ნახშირწყალბადები (პირენი, ანტრაცენი, ბენზოპირენი და სხვა), მჟვარტლი.

მაღალი ტემპერატურისა და წნევის პირობებში ჰაერის აზოტი იძენს შეტად მაღალ აქტივობას და რეაგირებს რა ნარჩენ უანგბადზე, წარმოქმნის სხვადასხვა სახის აზოტის უანგეულებს, რომელებიც წარმოადგენეს ძლიერ შვამებს, საწვავში არსებული გოგირდიც ( $0,1—0,3\%$ -მდე) ასევე შედის რეაქციაში უანგბადთან და წყალბადთან ტოქსიკური გოგირდოვანი გაზისა და გოგირდწყალბადების წარმოქმნით. ეთილირებული ბენზინების გამოყენება კიდევ უფრო ადიდებს ძლიერ მომშეამცლელ ნივთიერებების რაოდენობას ტყვიის შენაერთებით. დღეისათვის ნამწვი აირების შეღენილობაში ითვლიან ორასამდე სხვადასხვა ნივთიერებას, რომელთა შენიშვნელოვანი ნაწილი ტოქსიკურია.

ძრავის მუშაობის რეჟიმი, მისი ტექნიკური მდგომარეობა, რეგულირებების ოპტიმალურობა, რეკომენდებული ხარისხის საწვავების გამოყენება, — ის უმთავრესი ფაქტორები, რომლებზედაცაა დამოკიდებული შესაბამისობა  $\text{ГОСТ } 16533—70$ -ის მო-



ნახ. 4: გავ — 66 ძრავას ნამწვ აირებში ნახშირუანგის შემცველობის დამოკიდებულება საწვავის ხარჯისაგან უქმ სვლაზე.

თხოვნებთან, ნამწვ აირებში ტოქსიკურ ნივთიერებათა (ცი) შეზღუდულ შემცველობის თვალსაზრისით.

მრავალრიცხვანი ექსპერიმენტებით დამტკიცდა რაოდენობით რამტკიცდა გამოლევა დღება უქს სვლის რეჟიმზე ძრავის მუშაობისას.

ГАЗ—66 ძრავის ნამწვ აირებში ნახშირუანგის შემცველობის და მოკიდებულება უქმი სვლის რეჟიმის რეგულირებისაგან (საწვავის ხაზისაგან) ნაჩვენებია მე-4-ე ნახაზზე [2].

შეიძლება ითქვას, რომ ავტომობილების ეკონომიკურობის გაზრდისა და ტოქსიკურობის შემცირების ერთ-ერთი მნიშვნელოვანი ღონისძიება შეიძლება იყოს შიდაწვის ძრავების ცალკეული ტიპისათვის უქმი სვლის რეჟიმის საგალდებულო მინიმალური, მდგრადი ბრუნთა რიცხვის ზღვების დადგენა, რაც შეიძლება, აგრეთვე, გამოვიყენოთ ავტოსატრანსპორტისაწარმოებში, როგორც ძრავის დიაგნოსტირების საშუალება, რაღაც მათი დარღვევა აუცილებლად მიუთითებს რომელიმე სისტემის ან მექანიზმების უწესივრობაზე. ამ ბრუნთა რიცხვებით აფასებენ საწვავი ას რატურის (დიზელებში შეფრქვევის წნევა და წინსწრების მომენტებზე კარბურატორის და ანთების მომენტების რეგულირების სისტორეს. ბრუნთა რიცხვით აფასებენ აგრეთვე წვის პროცესის სისრულეს და გამობოლქვილი აირების შედგენილობის ტოქსიკურობას.

ამრიგად, უქმი სვლის თეორიის საფუძვლების დამუშავებისა და კვლევის მიხედვით აუცილებელია, რომ რეკომენდებულ იქნეს „უქს სვლის საგალდებულო, მინიმალური, მდგრადი ბრუნთა რიცხვების“ ცნობა როგორც ძრავას დიაგნოსტიკის ერთ-ერთი მაჩვენებელი, რომლის მიხედვით საჭიროა, საექსპლუატაციო პირობებში ძრავას რეგულირებით მხრივ, ნამუშევარი აირების ტოქსიკურობისა და, მეორე მხრივ საწვავის ხარჯის შემცირების მოთხოვნების გათვალისწინებით [3].

საავტოტრაქტორო და განსაკუთრებით საავტომობილო ძრავებისათვის მუშაობის შესაძლო სიჩქარითი რეჟიმების დიაპაზონი საკმაოდ ფართს ამ დიაპაზონის ზედა ზღვარი, ე. ი. მაქსიმალური დასაშევები ბრუნთა რიცხვი შეზღუდულია ძირითადად ინერციის ძალების გადაჭირებებულ ზრდით, მუშა ციკლის მიმდინარეობის ხარისხობრივი გაუარესებით, და ტალების თბური დაძაბულობის გაზრდით, შევსების კოეფიციენტისა და მაშასადამე, სიმძლავრის შემცირებით, ოპტიმალური რეგულირების და ღვევით და სხვ.

მინიმალური შესაძლო სიჩქარითი რეჟიმი განისაზღვრება ძრავების დამტკიცდა მუშაობის პირობით და მას შეიძლება ადგილი ექნეს მთლიან დროს სელის პირობებში გადატვირთვის შემთხვევაში ან მიხურულ დროს სელზე უქმი სვლის დროს.

უნდა ვიგულისხმოთ, რომ ამ შემთხვევაში ბრუნთა რიცხვები არ იქნება ერთნაირი და მათი თანაფარდობა შეიძლება გამოყენებულ უკანონობაზე და მათ შემთხასებელი პარამეტრი თბური დაძაბულობისა და მეტად და მეტად გადატარდება. მ. ქ.-ის მიხედვით, ძრავას დასახასიათებლად.

მეტად მოციალურად არაა დადგენილი „ძრავას უქმი სვლის მინიმალური, მდგრადი სავალდებულო ბრუნთა რიცხვები“, არც სტანდარტით, არც საქართველოში, ჩვეულებრივ, უჩვენებენ ბრუნთა რიცხვებს, რომლებიც შეესაბამება მაქსიმალურ (ნომინალურ) სიმძლავრეს და მაქსიმალურ მაზრუნ მომენტს, ხოლო მინიმალური ბრუნთა რიცხვები, რომელთა დროს უზრუნველყოფილია უქმი სვლის მდგრადი რეჟიმი, ქარხნის მიერ არაა დაწესებული და მითითებული.

აღებული ძრავისათვის, ნორმალური თბური მდგომარეობის პირობებში, უქმი სვლის რეჟიმისა და მინიმალური მდგრადი ბრუნთა რიცხვების შესაფასებლად, შეიძლება რეკომენდებული იქნეს დახარჯული სწავლის ან გარკვეული შედგენილობის ნარევის რაოდენობა მოსული მუშა პროცესის ერთ ციკლზე და ცილინდრის მუშა მოცულობის ერთ ლიტრზე.

ერთოროულად საჭირო იქნება დადგინდეს საწვავის ლიტროციკლური ხარჯი ძრავას გადატვირთვის პირობებში შესაძლო მინიმალური მდგრადი ბრუნვებისათვის.

სამუშაო მოცულობის ერთ ლიტრზე და ერთ ციკლზე მოსული საწვავის რაოდენობა, ე. ი. ლიტროციკლური ხარჯი განისაზღვრება შემდეგი ფორმულით:

$$q_{\text{ც}} = \frac{\gamma_3 \cdot \gamma_{\text{წ}}}{I_0 \cdot \alpha} \cdot \frac{\delta}{ლ_{\text{ც}}} ;$$

სადაც  $\gamma_3$  არის ჰაერის კუთრი მასა,

$\gamma_{\text{წ}}$  — შევსების კოეფიციენტი,

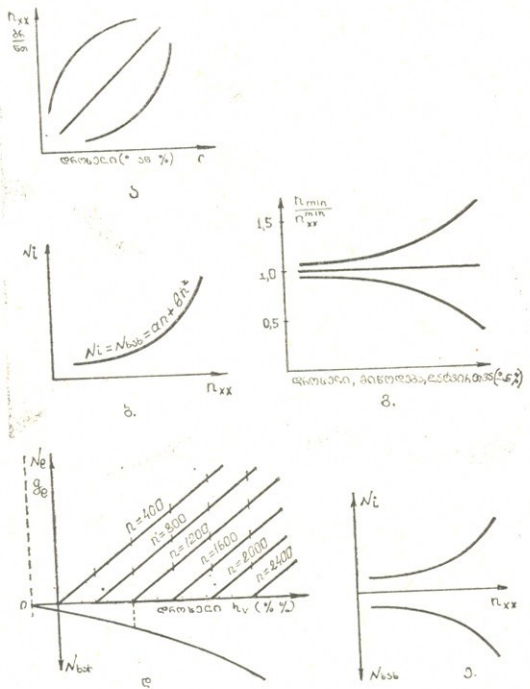
$I_0$  — 1 კგ საწვავის სრული წვისათვის საჭირო ჰაერის თეორიული რაოდენობა,

$\alpha$  — ჰაერის სიჭრაბის კოეფიციენტი.

თუ აღებული მარკის ძრავისათვის დადგენილი იქნება ლიტროციკლური ხარჯები უქმი სვლის სავალდებულო მინიმალური მდგრადი ბრუნთა რიცხვებისათვის და გადატვირთვის შესაძლო მინიმალური ბრუნთა რიცხვისათვის, ადვილად შეიძლება განისაზღვროს შეგუების კოეფიციენტი, რომლის რეკომენდებული მნიშვნელობა შეიძლება გამოვყენოთ ძრავის რეგულირების შეფასებისა და დიაგნოსტიკისათვის.

ზემოთ განხილული საკითხების გარდა, რომლებიც თწალულობენ ექსპერიმენტულ შემოწმებასა და დაზუსტებას, საჭირო გენერა შესტარ ლილი იქნება და ექსპერიმენტულად შემოწმდეს შემდეგი ადგილობრივი გარემონტინაცია.

1. ხანგრძლივი, მრავალრიცხვოვანი და შრავალფეროვანი ექსპერიმენტებისა და კვლევების ჩატარების მიუხედავად, დღემდე არავის უცდა დაედგინა ბრუნთა რიცხვის დამოკიდებულება სადროსელო მისაფარი გასაღების (ან ლარტყას გადაადგილების) სიდიდისაგან. ვინაიდან დრო სელის მისაფარის გაღების კუოტესა და მილსაღენის გახსნილი კვეთ ფართობს შორის, ასევე ლარტყას გადაადგილებასა და დაჭირებნილი საწუკის შოცულობას შორის არა სწორხაზობრივი დამოკიდებულება, ცხადა რომ ბრუნთა რიცხვების ცვალებადობასაც არ ექნება სწორხაზობრივი ხსიათი. უნდა ვიგულისხმოთ, რომ ამ შემთხვევაში ვევეჯნება ხარისხოვან ფუნქციონალური დამოკიდებულება (ხას. 5 ა), მაგრამ როგორი იქნება  $n_{xx} = f'(c)$  მრუდის განვითარების ხასიათი — ეს დასადგენია.



ხას. 5. სავარაუდო მრუდები.

საინტერესოა აგრეთვე როგორი იქნება ეს დამოკიდებულება სხვადასხვა მუდმივი დატვირთვის პირობებში (მხოლოდ ერთნაირი ტემპერატურული რეჟიმის დროს) მინიმალურ-შესაძლო ბრუნთა რიცხვებიდან მაქსიმალურ დასაშვებ ბრუნთა რიცხვებმაღლე.

2. გარკვეულ ინტერესს იწვევს სხვადასხვა თბერი რეჟიმის პირობებში ძრავის ინდიკატორული სიმძლავრის (და, მაშასადამე, ძრავის შეფასები წინააღმდეგობების) ცვალებადობის კანონზომიერება უქმი სვლის ბრუნვის რიცხვებისაგან დამოკიდებულებით უქმ სვლებზე  $N_i = N_{\text{თა}} \cdot$  მაშასადმე, ინდიკატორული სიმძლავრის მრუდის ხასიათი ხახუნის სიმძლავრის მრუდის ანალოგიური და მისი სარკისებრი გამოსახულების მსგავსა უქნება (თუ სიდიდეებს აბსცისთა ლერძის ქვემოთ გადავზომავთ). თუ ძრავის შიდა წინააღმდეგობების საშუალო წნევის დამოკიდებულებას ბრუნვთა რიცხვისაგან სწორი ხაზის ხასიათი აქვს ( $P_{\text{თა}} = a + bn$ ), ხახუნის სიმძლავრე ხარისხობრივი ფუნქციით უნდა გამოისახოს ( $N_{\text{თა}} = an + bn^2$ ) და აბსცისთა ლერძის ქვემოთ მის მრუდს ამოზნექილი და დაღმავალი ფორმა უქნება. მაშასადამე, ინდიკატორული სიმძლავრის მრუდს ჩაზნექილი და ამავალი ხასიათი უქნება (ნახ. 5).

3. ძრავას მიმოეობისა და გადატვირთვების დროს მისი მდგრადი მუშაობის უნარიანობის შესაფასებლად, საჭირო იქნება დამყარდეს თანაფარდობა და შედარებული იქნეს, ერთი მხრივ, უქმი სვლის მინიმალური, მდგრადი ბრუნვთა რიცხვები და, მეორე მხრივ, გადატვირთვის მინიმალური, შესაძლო ბრუნვთა რიცხვებზე საღროსელო მისაფარის სხვადასხვა მდგომარეობაში (სხვადასხვა მიწოდების პირობებში).

საინტერესოა. როგორი იქნება მათი ფარდობის  $\frac{n_{\text{მუ}}}{n_{\text{მუ}} - n_{\text{xx}}}$  ცვლილება;

უქნება მას სწორი უ. ზ. თუ მრუდის ხასიათი (ნახ. 5 გ).

4. სხვადასხვა სიჩერითი და დატვირთვის რეჟიმების პირობებში ძრავას დინამიკური და სერვისურატაციო მაჩვენებლების შესაფასებლად, უცილებელი და საინტერესო მონაცემები შეიძლება მიღებული იქნეს ე.წ. „კომპლექსური მახასიათებლისაგან“, რომელიც შეიძლება აიგოს სიმძლავრეების, კუთრი ხარჯების ან სხვა პარამეტრების მიხედვით. მახასიათებლის აგება წარმოებს შემდეგნაირად: საღროსელო მისაფარის სხვადასხვა მდგომარეობაში (გალების გრადუსებში ან % %-ში) ან სხვადასხვა მიწოდების პირობებში ვამყარებთ შესაბამისი უქმი სვლის ბრუნვთა რიცხვებს და აბსცისთა ლერძზე, სადაც გადაზომილია დროსელის, მიწოდების ან უ.-ის მნიშვნელობები, მოუნიშნავთ ან ბრუნვთა რიცხვებს (წინამაღლური, მდგრადი ბრუნვთა რიცხვებიდან მაქსიმალურ შესაძლო ბრუნვთა რიცხვებამდე, სანამ ძრავა ამის შესაძლებლობას იძლევა).

ყოველ მდგომარეობაში (გარდა მინიმალური უქმი სვლის ბრუნვთა რიცხვისა) ვახდენთ ძრავას დატვირთვას წინა, დაბალ ბრუნვთა რიცხვების ყველა საფეხურისათვის და ვზომავთ მაბრუნი მომენტის და საწვავის ხარჯის სიდიდეებს. დროსელის ან მიწოდების მონიშნულ მდგომარეობის შესაბამის ვერტიკალზე გადაიზომება ეფექტური სიმძლავრის (ან

ხარჯის) მნიშვნელობები უქმი სკლის ბრუნთა რიცხვის ქვემოთ მყოფ ბრუნვებისათვის. ერთნაირი ბრუნთა რიცხვების შესაბამისი წერტილები შეერთება მოგვცემს ეფექტური სიმძლავრის ცვლილებას.  $\eta = \eta_{\text{const}}$ -ის პირობებში; თუ ასცისის ქვემოთ ამავე მახასიათებელზე გადაზიმილი იქნება N<sub>0</sub> მნიშვნელობები (ნახ. 5 დ), ადვილი იქნება ინდიკატორული სიმძლავრის განსაზღვრა ნებისმიერი რეჟიმისათვის. მსგავსი მახასიათებელი შეიძლება აიგო სიმძლავრის მიხედვით, საწვავის საათური ან კუთრი ხარჯის მიხედვთ საშუალო წნევების მიხედვით და სხვა. რაც ძრავას საექსპლუატაციო თვას სებების თვალსაჩინა შეფასების საშუალებას იძლევა.

5. დროსელის სხვადასხვა მდგომარეობის დროს უქმი სკლის ოქუმზე ინდიკატორული სიმძლავრის მრუდის სარკისებრი გამოსახულება აბსცისთა ღერძის ქვემოთ წარმოადგენს ძრავას შიდა წინააღმდეგობათ მრუდს, აქტიური კომპრესორული რეჟიმების დროს.

თუ გარეშე ამძრავებიდან დაბრუნებით შევამოწმებთ ამ წინააღმდეგობების სიდიდეებს იმავე ბრუნვზე, სხვაობა შეიძლება გამოყენებულ იქნეს სათანადო რეჟიმების შესაფასებლად (ნახ. 5 ე).

უველა თითოეული ზემოთ ჩამოთვლილი სამუშაო შეიძლება ჩატარდეს სხვადასხვა თბური რეჟიმის პირობებში (ამ უკანასკნელის გაფლენის შესაფასებლად), ძრავაში უწყვეტი თბური ნაკადის აუცილებელ გათვალისწინებით (თბოცვლის და თბოგადაცემის მოვლენები).

## ლიტერატურა — Литература

1. Бутков П. П., Прокудин И. Н. Экономия топлив и смазочных материалов при эксплуатации автомобилей, 1976.
2. Мирошников Л. В., Болдин А. П., Пал В. И. Диагностирование технического состояния автомобилей на автотранспортных предприятиях. 1977.
3. Хантадзе Г. А., О теории холостого хода и минимальноустойчивых оборотах двигателя, ГрузСХИ, т. XC, 1974.

Чарташев ზოთელი დროშის მრავალსახი

საქართველოს სამთვეულო-სამურნეო ინსტიტუტის გარემონტი, ტ. 114, 1980

ТРУДЫ ГРУЗИНСКОГО ОРДЕНА ТРУДОВОГО КРАСНОГО ЗНАМЕНИ  
СЕЛЬСКОХОЗЯЙСТВЕННОГО ИНСТИТУТА, Т. 114, 1980



УДК 551.510.42.

Г. С. ЧИЧУА, Г. С. ГУНИЯ,  
Р. А. ГВАЗАВА

## К ВОПРОСУ ЗАГРЯЗНЕНИЯ АТМОСФЕРНОГО ВОЗДУХА, ВЫЗВАННОГО АНТРОПОГЕННЫМИ ФАКТОРАМИ

В настоящее время имеется ряд исследований, в которых рассмотрены вопросы влияния всевозрастающих темпов урбанизации на климат [1, 2, 3, 4, 5, 6, 7].

Однако, в этих работах в недостаточной степени исследовано влияние загрязненной атмосферы на процесс образования осадков.

В связи с этим, нами проведен анализ и сопоставление данных некоторых наблюдений, проводимых на метеостанции г. Тбилиси и лабораторией наблюдения и контроля загрязнения атмосферного воздуха и осадков Грузинского УГКС, с тем, чтобы попытаться найти связь между ними.

Результаты расчетов материала 13-летних (1966-1978 гг.) метеорологических наблюдений за температурой и осадками, проводимых на метеостанциях «Тбилиси (город)», расположенной в центральной части города, и «Тбилиси ГМО», открытой в 1966 г. на его окраине, в северо-западной части, представлены в табл. 1.

Таблица 1

Годовой ход среднемесячной температуры воздуха  $\langle t \rangle$  и месячной суммы осадков  $\langle O \rangle$  в центре г. Тбилиси и на его окраине.

Месяцы месяц метео- станции	I	II	III	IV	V	VI	VII	VIII	IX	X	XI	XII	Год.
	1,5	3,0	7,3	13,2	17,9	21,4	24,8	24,1	19,7	14,0	8,4	4,0	13,3
$t^{\circ}\text{C}$	1,0	2,5	6,3	12,7	17,4	20,8	24,3	23,6	19,3	13,7	8,0	3,5	12,8
$t^{\circ}\text{окр.}$	24,7	26,9	33,1	51,1	64,7	76,9	40,9	49,2	51,8	35,2	31,9	19,8	526,2
O <sub>ц</sub>	24,2	26,6	30,3	49,7	90,1	69,1	38,6	51,5	55,1	35,8	29,5	19,6	519,7
O <sub>окр.</sub>													

В пей приводятся годовой ход среднемесячной температуры воздуха на уровне метеобудки в центре города  $t^{\circ}$  и на его окраине  $t^{\circ}$  окр., а также месячные суммы осадков Оц и Окн в мм, выпавшие в этих районах. В последней строке таблицы даны соответствующие среднегодовые температуры и годовые суммы осадков. Данные табл. 1 представляет собой результаты осреднения многолетних наблюдений за указанный выше период.

Из табл. 1 видно, что значения анализируемых метеоэлементов в различных районах Тбилиси существенно отличаются от месяца к месяцу в зависимости от района города.

При этом, наибольшая разница в среднемесячных температурах наблюдается в июне и сентябре, а наименьшая — в октябре и соответственно равна  $0,6^{\circ}$  и  $0,3^{\circ}$ . Кроме того, из последнего столбца табл. 1 можно заключить, что в центральной части города среднегодовая температура на  $0,5^{\circ}$  выше, чем на его окраине. Атмосферных осадков в течение года здесь выпадает также больше, в среднем на 6,5 мм.

Необходимо отметить, что вообще микроклимат города складывается под влиянием ряда факторов, наиболее важным из которых являются метеорологические, топографические, архитектурные особенности и антропогенное загрязнение атмосферного воздуха.

Характеризуя Тбилиси по принципу размещения источников загрязнения, можно сказать, что он представляет собой классический пример города, в котором источники загрязнения рассредоточены по всей его территории. В результате этого создается общий фон загрязненного воздуха над всем городом и почти при любых метеоусловиях он находится под влиянием выбросов ряда источников, которые, тем самым, создают постоянно действующее поле концентраций. Вместе с этим, топографическая особенность центральной части города Тбилиси, характеризующаяся тем, что она занимает обширную котловину, с трех сторон окруженную горами, препятствует проветриванию этого района и, следовательно, способствует его наибольшему загрязнению.

Это хорошо подтверждается графиком на рис. 1, на котором представлена зависимость общего показателя загрязнения  $K$ , от места наблюдения.  $K$  расчитан по формуле:

$$K = \sum_{i=1}^4 \frac{q_{i\text{ср}}}{q_{ix}} ; \quad (1)$$

где  $q_{i\text{ср}}$  и  $q_{ix}$  — соответственно среднегодовая концентрация

и-того вещества с периодом осреднения в 5 лет и его характерная величина.

Для исследования распределения К по территории Тбилиси был использован материал наблюдений загрязнения воздушного бассейна города четырьмя основными ингредиентами (пыль, двуокись серы, окись углерода и двуокись азота), проводимый лабораторией наблюдения и контроля загрязнения атмосферного воздуха и осадков Грузинского УГКС в течении 5 лет (1974-1978 гг.).

Систематические наблюдения загрязнения воздушного бассейна Тбилиси выполнялись на 5 стационарных постах-лабораториях, расположенных в разных районах города, с северо-запада на юго-восток, на расстоянии 5-10 км друг от друга в местах максимального загрязнения воздуха жилых кварталов. При этом, порядок распределения постов-лабораторий наблюдения загрязнения (ПНЗ) таков, что в северо-западной части города, в районах расположения промышленных объектов, наиболее сильно загрязняющих атмосферный воздух, размещены ПНЗ № 1 и 2. Далее, в центральной части города, вблизи от метеостанции «Тбилиси (город)», расположен ПНЗ № 6, в юго-восточной части его — последовательно ПНЗ № 3 и 4. В районах размещения этих постов-лабораторий также расположены промышленные предприятия и котельные, загрязняющие атмосферный воздух.

Такое распределение постов было предопределено тем, что, как уже упоминалось, основная часть города расположена на дне обширной котловины, образованной рекой Курий, вдоль течения которой, главным образом, и развивается город.

Анализ данных наблюдений за ряд лет (1974-1978 гг.) и график на рис. 1 показывают, что наиболее загрязненным является воздух в центральной части г. Тбилиси. В воздушной среде этого района, под влиянием, способствующих загрязнению, уже упомянутых выше условий, могут накапливаться не только газовые при-

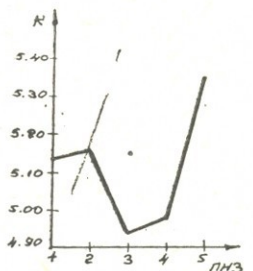


Рис. 1.

меси, но и большое количество аэрозолей, служащих ядрами конденсации. Это, в свою очередь, может оказывать ~~существенное~~ влияние на климатический режим не только данной местности, но и всего города в целом.

В табл. 2 приводится результат исследований изменения среднегодовой температуры  $t^0$ , годовых суммы осадков «О» и числа дней в году с пасмурной погодой «П» в Тбилиси за 38 лет (1941-1978 гг.), с периодом осреднения, указанным в первой строке таблицы.

Таблица 2

Значение среднегодовых температур ( $t^0$ ), годовых сумм осадков О и чисел дней в году пасмурной погодой П в период 1941-1978 гг. в г. Тбилиси.

Годы	1941—45	46—50	51—55	56—60	61—65	66—70	71—75	76—1978
$t^0$	12,8	12,7	13,1	12,7	13,3	13,5	13,2	12,9
О	478,9	499,3	516,5	458,8	401,6	479,7	567,8	533,4
П	113,4	118,0	124,0	130,0	121,4	119,2	125,0	141,0

Расчеты и анализ данных табл. 2 показывают, что в последние 20-15 лет в Тбилиси отмечается тенденция к увеличению как среднегодовой температуры воздуха, так и годовых сумм осадков и числа пасмурных дней.

Сопоставляя последние выводы с изложенным в начале, а также с данными табл. 3, в которой приведены значения показателя загрязнения воздуха для периода 1975-1978 гг., как для отдельных веществ —  $K_j$ , так и их суммы  $K$ , рассчитанных по формулам.

$$K_j = \frac{q_{jep}}{q_{jx}}, \quad (2)$$

где,  $q_{jep}$  и  $q_{jx}$  соответственно значение среднегодовой концентрации  $j$ -того вещества, рассчитанного для всего города Тбилиси в целом, и его характерная величина,

$$K = \sum_{j=1}^4 K_j \quad (3)$$

Следует отметить, что в последние десятилетия в Тбилиси, наряду с выявленными изменениями элементов климата, наблюдается тенденция к росту загрязнения атмосферного воздуха нарастающими темпами всеми измеряемыми веществами за исключением

Значения показателя загрязнения воздуха для отдельных веществ  $K_j$  и его  
суммы в период 1975-1978 гг. для г. Тбилиси

Вещество \ Годы	1975	1976	1977	1978
Пыль	0,3	0,8	1,0	1,2
Двуокись серы	0,3	0,3	0,2	0,3
Окись серы	2,0	1,7	4,7	4,0
Двуокись азота	0,7	0,7	0,9	1,3
$K = \sum_{j=1}^4 K_j$	3,8	3,5	6,8	6,8

чением двуокиси серы, величины среднегодовой концентрации которой для всего города находятся приблизительно на одном уровне (табл. 3).

В заключение можно сказать, что наблюдаемые, особенно четко в последние десятилетия, изменения климата и увеличение загрязнения атмосферы тесно взаимосвязаны и рассматривать их следует совместно.

#### Л и т е р а т у р а

- Берлянд М. Е., Будыло М. И., Кондратьев К. Я., Климат города и проблема изменения глобального климата, «Метеорология и гидрология», № 1, стр. 3-14, 1973.
- Берлянд М. Е., Гольдберг М. Г., Гуния Г. С., Зашихин М. Н., Оникул Р. И. К теории рассеяния и поглощения радиации и оценке глобального загрязнения атмосферы по актинометрическим данным, Тр. ГГО, вып. 314, стр. 3-20.
- Гуния Г. С. Своевременные проблемы запыленности атмосферы, Обниск. МЦД, стр. 60, 1978.
- Гуния Г. С., Человек и атмосфера, «Знание», стр. 32, Тбилиси, 1976.
- Гуния С. У., Гуния Г. С. К оценке влияния урбанизации на загрязнение атмосферы в местах, удаленных от промышленных центров. — Тр. Груз. СХИ, т. 96, стр. 131-137, 1976.
- Гуния С. У., Гуния Г. С. К вопросам исследования состояния загрязнения атмосферы на территории Грузинской ССР, Тр. ГрузСХИ, 1977, т. 101, стр. 201-208.

შრომის ჯილდი დროშის ორდენისანი

საქართველოს სასოფლო-საგურეო ინციტუტის შრომი, ტ. 114, 1980.

ТРУДЫ ГРУЗИНСКОГО ОРДЕНА ТРУДОВОГО КРАСНОГО ЗНАМЕНИ  
СЕЛЬСКОХОЗЯЙСТВЕННОГО ИНСТИТУТА, Т. 114, 1980

УДК 631.3

გ. შალამბერიძე, ს. ცერცვაძე,  
ა. შალამბერიძე

### თეოლოგიური პროცესების უფასების საფუვლები

მანქანა-ტრაქტორთა აგრეგატების მუშაობის შესაფასებლად, როგორც ვაკეზე, ასევე ფერდობებზე მოძრაობის პირობებში, აუცილებელიდან დაშვებათა თეორიული საფუძვლის ცოდნა, რომებიც ახასიათებს ტექნოლოგიური პროცესის ცვლილების უთანაბრობას. ამ დაშვებითა საჭურველზე შეგვიძლია განვსაზღვროთ აგროტექნიკური და საექსპლუატაციო მაჩვენებლების სტატისტიკური მახასიათებლების დასაშვები მნიშვნელობები; ვარიაციის კოეფიციენტი  $x$ , დისპერსია —  $Dx$ , საშუალო-კვადრატული გადახრა —  $s_x$  და ა. შ.

აგრეგატების აგროტექნიკური და საექსპლუატაციო მაჩვენებლები წარმოადგენენ შემთხვევით სიდიდეებს. ამის გამო რომელიმე პარამეტრის ცვლილების კანონზომიერება და მისი უთანაბრობის ხარისხი შეიძლება განისაზღვროს იმ სამედოობის საზღვრებით, რომელშიც ეს პარამეტრებია ცვალებადობს.

აღნიშნოთ სამედოობის ალბათობა  $\alpha$ -თი, მაშინ პარამეტრის საშუალო მნიშვნელობისათვის გვექნება შემდეგი ორმხრივი ინტერვალი:

$$\bar{x} + U_{(1-\alpha)2^{-1}} \frac{S_x}{\sqrt{n}} < \mu < \bar{x} + U_{(1+\alpha)2^{-1}} \frac{S_x}{\sqrt{n}} \quad (1)$$

სდაც  $x$  და  $\mu$  არის საექსპლუატაციო მაჩვენებლის მოცემული და ზღვრული მნიშვნელობები.

$U_{(1 \pm \alpha)2^{-1}}$  ნორმალური განაწილების კვანტილი,

$S_x$  — საშუალო-კვადრატული გადახრის შერჩეული მნიშვნელობა.  
 $n$  — შერჩევათა მოცულობა.

იმავე სამედოობის საზღვრების ორმხრივი ინტერვალი საშუალო-კვადრატული გადახრისათვის განისაზღვრება გამოსახულებით:



$$S_x \left[ 1 + U_{(1-\alpha)2^{-1}} \frac{1}{2\sqrt{n-1}} \right] < \sigma_x < S_x \left[ 1 + U_{(1+\alpha)2^{-1}} \right] \frac{1}{\sqrt{n-1}}$$

სადაც  $\sigma_x$  არის საშუალო-კვადრატული გადახრის ნომისალური მნიშვნელობა:

მაგალითად: ტრაქტორ MTZ-82-სათვის (სათესი აგრეგატი), როცა  $\mu = x = 59$  კნ. ( $\alpha = 0,95$  და  $n = 100$ ) აგრეგატის სარეგულიროდ ვღვიშულობთ (სათესი აგრეგატისათვის) შემდეგ სასაზღვრო პირობებს:  $S_x = 5,9$  კნ. საშუალო მნიშვნელობისათვის:

$$\mu = \bar{x} + U_{(1 \pm \alpha)2^{-1}} \frac{S_x}{\sqrt{n}} = 59 \pm 2,11 \frac{5,9}{\sqrt{10}} = (59 \pm 1,2) \text{ კნ}$$

$$\text{ან } \mu = \bar{x} \pm 0,015 \bar{x}$$

საშუალო-კვადრატული გადახრისათვის:

$$\sigma_x = S_x \left[ 1 + U_{(1 \pm \alpha)2^{0-1}} \frac{1}{2\sqrt{n-1}} \right] \approx (5,9 \pm 0,8) \text{ კნ}$$

$$\text{ან } \sigma_x = S_x \pm 0,09 S_x$$

საექსპლუატაციო მაჩვენებლის ცვლილების უთანაბრობის დასაშვებ საზღვრები შეიძლება განვსაზღვროთ ფორმულით:

$$a = \bar{x} \pm U_1 - \frac{q}{2} S_x \sqrt{\frac{n^2 - 1}{n^2 x_{1-\gamma}^2 - 1}}$$

სადაც  $a$  არის მაჩვენებლის ის მნიშვნელობები, რომლებიც დასაშვებ საზღვრების გარეთ გადის;  $x_{1-\gamma}$  კვანტილი;

$\gamma$  — საიმედოობის ალბათობა;

იმავე მაგალითისათვის, როცა  $\bar{x} = 59$  კნ,  $\gamma = 0,95$

$$q = 0,25 (n = 25) \text{ და } S_x = 5,9 \text{ კნ.} \quad \text{მივიღებთ:}$$

$$L = x \pm U_1 - \frac{q}{2} S_x \sqrt{\frac{n^2 - 1}{n^2 x_{1-\gamma}^2 - 1}} = (5,9 \pm 8,12) \text{ კნ}$$

$$\text{ან } L = \bar{x} \pm 0,124 x \quad (6)$$

ე. ი.  $\alpha = 0,95$  ალბათობის საიმედოობით დასაშვებ ზონაში იმყოფებ: საექსპლუატაციო მაჩვენებლის 75%, ხოლო 25% — გიმოდის ამ ზონიდან.

ტექნოლოგიური პროცესის შესრულების დროს დაყენების ნორმიდან გამოდის სას.-სამ. მანქანა. იმის გამო, რომ დავადგინოთ დაყენების რეგუ-



ლირების ოპტიმალური ნორმა ( $\Delta_x$ ), შეიძლება გამოვიყეხოთ აგრეგატის ნუშაობის უფექტურობის მაჩვენებლები. რადგანაც ხარისხობრივი მაჩვენებლები შემთხვევითი სიდიდეებია, შესაბამისად რეგულირების დონეც შემთხვევითი სიდიდეა. ამის გამო, ზემოაღნიშნული მაჩვენებლის დასადგენად, ჩვენ გამოვიყენებთ არადიფერენცირებული პროცესების თეორიის ელემენტებს.

ამ შემთხვევაში შემთხვევითი  $x(t)$  პროცესის დაშვების საზღვრები აღნიშნოთ  $\Delta$ -თი, შემოვილოთ ფარდობითი სიდიდე —  $\delta$ , რომელიც წარმოადგენს შემთხვევითი  $x(t)$  სიდიდის  $\pm \Delta$  საზღვრებს გარეთ ყოფნის სანგრძლივობას  $T$  დროის განმავლობაში; ფარდობითი ალბათური ხანგრძლივობა  $P$  ( $2\Delta$ ) საზღვრებში  $x(t)$  შემთხვევითი ფუნქციის ყოფნისას. საზღვრებს გარეთ მოთავსებული სიდიდეების ამოგდების ხანგრძლივობა (ერთი ამოგდების) აღვნიშნოთ  $\tau$ -ით, ეს იგივეა, რაც შემთხვევითი ფუნქციის ( $2\Delta$ ) ზონის გარეთ ყოფნის ხანგრძლივობა. ამის შემდეგ  $x(t)$  ფუნქცია უკვე დაახასიათებს ამოგდებაშათა და ზონის შიგნით ყოფნის ხანგრძლივობას, რეგულირების მოცულულ დონეზე.

ზემოხამოთვლილი მახასიათებლები საშუალებას გვაძლევს განვაზღვროთ  $\Delta$ -ს მნიშვნელობა,  $x(t)$  შემთხვევითი პროცესის მიმდინარეობის ხანგრძლივობა, მასი უთანაბრობის ხარისხი და შევაფასოთ აგრეგატის მუშაობა, მისი პარამეტრების ცვლილებების ხასიათი, რომელსაც კონტროლი უნდა გავუწიოთ.

სასოფლო-სამეურნეო კულტურების თესვისა და რგვის შემთხვევაში თესვისა და რგვის მწყრივთაშორისი მანძილი შევვიძლია განვიხილოთ, როგორც ძირითადი მწყრივებისათვის, ასევე პირაპირებისათვის, საკითხისადმი ასეთი მიღვომა გაპირობებულია იმით, რომ ჩვენ თესვის და რგვის ხარისხს შემოწმებას უშუალოდ პროცესის შესრულების პერიოდში ვაწარმოებთ და აღებული მასალების სტატისტიკური ალბათური ანალიზი საშუალებას მოვალეობს დავადგინოთ: ა) საიმედოობის საზღვრები, რომელშიც უნდა იყოს მოთავსებული ის ძირითადი პარამეტრები, რომელიც ზემოაღნიშნულ ტექნოლოგიურ პროცესს ახასიათებს; ბ) ტექნოლოგიური მაჩვენებლების ნორმებიდან გადახრა.

ამ სიდიდეების დასადგენად ჩვენ ჩავატარეთ სათანადო გაზოშვები მცენარეთა პლატფორმების შემდეგ, კერძოდ დავადგინოთ:

- მწყრივთა შორის მანძილები და გადახრა ნორმიდან;
- მცენარეთა შორის მანძილი მწყრივებში.

მოცემული გვქონდა თესვისა და დარგვის სქემა მწყრივთა შორის და მცენარეთა შორის მანძილების ნორმატიული სიდიდეები, თესლის განწილება კვლებში და მისი გაფანტვის ხარისხი. მწყრივების ძირითადი მიმართულება დავამთხვიერ პორიზონტალების მიმართულებას.

მწკრივთა შორის სიდიდეებს ვამოწმებდით შემდეგნაირად: ზეანარეთა აღმოცენების შემდეგ ძირითადი ნულოვანი ხაზი აღებული ჰქონდა (თოკის გაჭირვით) განაპირა მე-6 მწკრივის გასწვრივ და უძირან მავრი მავრივთა შორის მანძილს, მარცხნივ — ძირითად მავრივების მარჯნივ — პირაპირების სიგანეს. დავადგინეთ ამ პირითხონტალებიღან ძირითადი მწკრივების და პირაპირების მწკრივთა შორის მანძილების ვადა ხრა, ცდა ჩავატარეთ  $8-12^{\circ}$  ფერდობზე, ტრაქტორსა და სასოფლო-სამურნეო მანქანაზე სპეციალური გამაწონასწორებელი მოწყობილობის გამოყენებით.

დავადგინეთ ტექნოლოგიური პროცესის ხარისხობრივი მაჩვენებლები: გაზომვის შედეგად მიღებული მისალების დამუშავებით დავადგონეთ ის ძირითადი ალბათური მახასიათებლები, რომლებიც ახასიათებს პროცესის ხარისხობრივ მაჩვენებლებს.

ექსპერიმენტული მასალების დამუშავების შედეგად, შემთხვევითა პროცესების განაწილების თეორიის საფუძველზე, მივიღეთ შემდეგ სიდიდეები:

საჭყისი მონაცემები:

$$d_{(ძირ.)} = 70 \text{ სმ}, \text{ ძირითად მწკრივებს შორის მანძილი},$$

$$d_{(პირ.)} = 70 \text{ სმ}, \text{ პირაპირების შორის მანძილი},$$

$$n = 40, \text{ გაზომვათა რაოდენობა},$$

$$i = ცდის ნომერი (i = 1, \dots, 40).$$

საშუალო არითმეტიკული:

$$A(d_{ძირ.}) = 70,35 \text{ სმ},$$

$$A(d_{პირ.}) = 71,1 \text{ სმ}.$$

დისპერსია:

$$D'(d_{ძირ.}) = 1,69,$$

$$D(d_{ძირ.}) = 2,14.$$

სტანდარტული გადახრა:

$$\sigma(d_{ძირ.}) = 1,3,$$

$$\sigma(d_{პირ.}) = 1,6$$

მათემატიკური მოლოდინი:

$$M(d_{ძირ.}) = 70,13 \text{ სმ}$$

$$M(d_{პირ.}) = 70,80 \text{ სმ}$$

აღნიშნული პარამეტრების დადგენის შემდეგ ჩვენ დავადგინეთ სამედოობის ის ზღვრები, რომლებიც მივიღეთ სამედოობის ალბათობის ფორმულით  $\Delta = 3,75 \text{ სმ}$ .

ექსპერიმენტული მონაცემების საფუძველზე, ჩვენი მწკრივთაშორისების მანძილების სიცავირეთა განაწილების გრაფიკი, რომელიც, როგორც შემოწმებიღან ჩანს (პრაქტიკულად დასაშვები ცდომილებით), ემორჩი-

ლეგანა ნორმალური განაწილების კანონს, როგორც ძირითადი მწკრივებულა.

ისე პირაპირებისათვის, რომელსაც აქვს, ასეთი სახე:

$$\varphi(d) = \frac{1}{\sigma \sqrt{2\pi}} e^{-\frac{[d_i - \mu(d)]^2}{2\sigma^2}},$$

სადაც  $\varphi(d)$  არის ნორმალური განაწილების ფუნქცია;

$$\sigma(d) = \sqrt{\sum_{i=1}^{40} [d_i - \mu(d)]^2}$$

— საშუალო-კვადრატული გადახრა,

$$\mu(d) = \sum_{i=1}^{40} d_i p_i$$

— მათემატიკური მოლოდინია,

Pt — შესაბამისი სიდიდის მოხდენის ალბათობა.

ამრიგად, ჩვენ მიერ, დადგენილი ტექნოლოგიური პროცესების ძირითადი პარამეტრების ცვლილებების საზღვრების ანალიზური ფორმულირება საშუალებას გვაძლევს ვარეგულიროთ სასოფლო-სამეურნეო მანქანების ძირითადი პარამეტრები დადგენილ საზღვრებში. ამ ძირითადი პარამეტრების რეგულირება განაპირობებს ტექნოლოგიური პროცესების ძირითადი მახსინათებლების დასაშვებ საზღვრებში ცვლილებას, რაც თვის მხრივ, განაპირობებს ტექნოლოგიური პროცესის მაღალხარისხობრივ მაჩვენებლებს.

## ლ ტ ე რ ა ტ უ რ ა — Л и т е р а т у р а

1. გ. ტ. გ. ექსპლუატაციის კათედრის სახელშეკრულებო თემა № 46: 7: 8-ის მასალები: 1978-79 წწ. ანგარიშა.
2. Иофиков С. А., Эксплуатация машинно-тракторного парка, М., «Колос», 1974.
3. Жрн. Механизация и электрификация социалистического сельского хозяйства, № 12, 1972.
4. Свешников А. А. Прикладные методы теории случайных функций, М., «Колос», 1969.

შრომის ჯილდი დროულის ორდენისანი

საქართველოს სასოფლო-სამეცნიერო ინსტიტუტის შრომის, ტ. 114, 1980

ТРУДЫ ГРУЗИНСКОГО ОРДЕНА ТРУДОВОГО КРАСНОГО ЗНАКА  
СЕЛЬСКОХОЗЯЙСТВЕННОГО ИНСТИТУТА, Т. 114, 1980

УДК 631. 316 : 639 . 535 . 11 (088.8)

ლ. კოპალიაძე

„HTK—100“ გარაის თერმულ კულტივაციურში სევადასება უაღგენილობას  
თხევადი აირის ხარჯვის ლაპორატორიული გამოცვის უაღგენილობა

თერმულ კულტივაციურებში გამოყენებული სათბობის რაოდენობა  
ზუკავშირებული უნდა იყოს სათბობის საერთო ბალანსის სიღილესთან,  
ამიტომ ინტერესმოქლებული არ იქნება სათბობის ბალანსის შესახებ  
მოვიყვანოთ ზოგიერთი ცნობა უკანასკნელ პერიოდში საბჭოთა კავშირში  
აღმოჩენილი ნავთობისა და აირის უდიდეს მარაგზე. ამ მხრივ, მეტად  
მნიშვნელოვანია დასავლეთ და აღმოსავლეთ ციმბირის, დასავლეთ ყაჩა-  
ხეთის, უკრანის, თურქებულეთის, უზბეკეთის, ჩრდილო კავკასიისა და სა-  
ქართველოს საბადოებში, რომლებიც ძველ საბადოებთან ერთად იძლევიან  
სათბობის დიდ მარაგს, რაც ჰქმნის ყოველგვარ პირობებს სასოფლო-სა-  
მუშრნეო ძრავების და თერმული კულტივაციურების შეუფერხებელი  
მუშაობისათვის.

ქვეყნის გაზიფიციაციაში უდიდეს როლს ასრულებს გათხევადებული  
აირი, რომლის გამოყენება გათვალისწინებულია თერმულ კულტივა-  
ციორებში.

თხევადი აირის წარმოების ეს დარგი ვითარდება სწრაფი ტემპით,  
საქმარისია ითქვას, რომ პროპან-ბუტანის წარმოებამ ნავთობის აირიდან  
ჯერ კიდევ 1970 წელს შეადგინა 10 მლნ. ტ.

თერმულ კულტივაციურებში სათბობად გამოიყენება ნავთი, დიზელის  
საწვავი და თხევადი აირი (პროპან-ბუტანი), წინამდებარე შრომიში  
მოცემულია თხევად აირზე ჩატარებული ცდების შედეგები, ამიტომ ქვე-  
მოთ მოცემულ ცხრილებში (1—2) მოცემულია სათბობში ნახშირწყალ-  
ბადებისა და პროპანის ბუტანის ფიზიკურ-ქიმიური თვალსებების მონა-  
ცემები.

საბჭოთა კავშირის ზოგიერთი საბადოს ნავთობის თანმიმდევრი ნავთგა-  
ზის საშუალო შედგენილობა, ი. დ. ბუტუნის მიხედვით, მოცემულია  
1-ელ ცხრილში. ამ საწვავი აირების დამახასიათებელ თავისებურებას  
წარმოადგენს (ბუნებრივ აირთან შედარებით), ნორმალური ტემპერა-

ტურისა და ზომიერი წნევის პირობებში, თხევად მდგომარეობაში აღვილად გადასცელდა.



საბობიტში შემავალი ნახშირწყალბადების რაოდენობა % (მოცულობით ნაწილში)

ს ა ბ ი რ ი	ნ ე რ ი	ს ი ნ ი	კ ა რ ი	ს ი ნ ი	ჭ ი რ ი	ნ ე რ ი	ს ი ნ ი	კ ა რ ი	ს ი ნ ი
ბაქოს	88,0	2,2	1,0	0,5	0,3	7,0	—	—	0,5
ტუშეთის	40,5	18,0	16,0	7,2	6,6	0,6	—	12,1	—
ბინიძეგვის	52,5	11,5	17,0	10,7	6,3	0,5	—	1,0	—
ნებოტ-დაგის	85,7	4,0	3,5	2,0	1,4	2,1	—	1,3	—
ქარსნოდარის	83,7	4,8	1,4	0,9	0,7	9,5	—	3,0	—
დოკინის	84,6	9,0	2,5	1,0	1,7	1,0	—	0,4	—
პოლტავის	74,3	7,9	5,5	3,4	3,2	—	—	6,1	—

წნევის შემცირებით ისინი ადვილად გადადიან აიროვან მდგომარეობაში. თხევად მდგომარეობაში აირის გადასცელა ტრანსპორტირებისა და შენახვის პირობებს აუმჯობესებს.

გათხევადებული აირის ძირითად წყაროს წარმოადგენს ნავთაირი, რომელიც ჭაბურლილებიდან ამოდის ნიაღაგების ზედაპირზე ნავთან ერთად.

სხვა წყაროებს, რომელიც ამჟამად ნედლეულის საერთო ბალანსშია და მეორე ხარისხის მნიშვნელობა აქვს, წარმოადგენენ პროპანისა და ბუ-

#### ც ხ რ ი ლ ი 2

##### პროპანისა და ბუტანის ფიზიკურ-ქიმიური თვისებები

თვისებები	პრო- პანი	ბუტანი	თვისებები	პრო- პანი	ბუტანი
მოლეკულური მასა გ/მოლ. შემ- ცველობა, %	44,07	58,59	ფრანგითი კუთხია წი- ნა (პერის მიხედვით)	1,550	2,084
ნახშირბადი	81,12	82,61	დაბავის სითბო კე-ლ/მ <sup>3</sup>		
წყალბადი	18,28	17,19	უმაღლესი	12,032	11,836
ჭუთრი სითბოტევადობა კვალ/კგ			უდანლესი	1,051	10,906
ჭუდივი წნევის დროს	0,376	0,357	1 მ <sup>3</sup> აირის დატენისათვის		
ჭუდივი მოცულობის დროს	0,324	0,219	საკრიო პაერის რაოდე- ნიბა, მ <sup>3</sup>	23,06	30,96
ლულილის ტემპერატურა (თხევა- დი აირის)	0,57	0,55	კრიტიკული ტემპერა- ტურა	86,85	152,01
ფარგლე დულილის ტემპერატურა, ფაქტიური	1926,5	1896,5	კრიტიკული ტნები ატ-ით	42,0	37,5
გაანგარიშებით დულილის ტემპე- რატურა	1968,8	1974,3			
აალების ტემპერატურა					
ლულილის ტემპერატურა, 760 მმ	465,0	480,4			
ვერცხლისწყლის სვეტის სიმაღ- ლი, ტ-მდე	42,1	0,5			

ტანის გადიდებული შემცველობის ბუნებრივი აირი, ხავთობის სტაბილური ზუკის აირები და აგრეთვე ნაეთობგადამამუშავებელ ქარხნებში წარმოდგენილი თობის თერმული დამუშავების შედეგად მიღებული აირები. პრატიკული თერმულ კულტივატორში გამოყენებული საწვავის — პროპანის და ბუტანის ფიზიკურ-ქიმიური თვისებები მოცემულია მე-2 ცხრილში.

ცხრილში მოტანილი მონაცემების მიხედვით მნიშვნელოვანი განსხვავებაა მოლეკულურ წონასა და 1 მ<sup>3</sup> აირის დაწვისათვის საჭირო პარამეტრის რაოდენობაში.

აირიდი მდგომარეობისადმი ცნობილი ფიზიკური კანონი, რომელიც იდეალური აირებისათვისაა მოცემული, რეალურ აირებისათვის ვერცვაძლევს სასურველ შედეგს, ვინაიდან ამ უკანასკნელს გარკვეული გადახები გააჩნია. ამიტომ რეალური აირებისათვის გამოიყენება ფორმულა

$$PV = ZRT;$$

სადაც P არის აბსოლუტური წნევა, კგ/მ<sup>2</sup>, V — მოცულობა, მ<sup>3</sup>.

T — აბსოლუტური ტემპერატურა,

R — აირის მულტივა (მეთანისათვის 52,9),

Z — გაღახრის სიდიდე, რომელიც ითვალისწინებს რეალური აირის გადახრას იდეალური აირიდან; მას კუმშვადობის კოეფიციენტი ეწოდება.

ჩვეულებრივი ტემპერატურის დროს (Vz ნაკლებია V-ზე), რაც იმას, გვაუწყებს, რომ რეალური აირები იკუმშება უფრო ძლიერად, ვიდრე იდეალური აირება.

რაც უფრო ნაკლები სიდიდისაა Z, მით უფრო დიდი იქნება მოცემული აირის გადახრა უდეალური აირიდან. ყველა ეს თვისება გათხევადებულ აირს ახასიათებს, რაც ნიზანშეწონილს ხდის თერმულ კულტივატორში შეინარჩუნავს.

პროპან-ბუტანის ნარევზე სარეველების მომწველი კულტივატორის შუშაობისათვის საჭიროა დადგინდეს 1 მ<sup>3</sup> პროპან-ბუტანის სრული წვისათვის თერმულურად საჭირო ჰარების რაოდენობა.

თერმული კულტივატორის სანთურაში წვის დაწვებამდე ხორციელდება ჰაერისა და აირის ნარევის დამზადება, რისთვისაც, თხევადი აირისა და ჰაერის მისაწოდებლად დაყენებულია საღოზავი მოწყობილობა.

ნარევის დასამზადებლად გამოიყენებული იყო თხევადი აირი პროპანი — C<sub>3</sub>H<sub>8</sub>—75% და ბუტანი — C<sub>4</sub>H<sub>10</sub>—25%. ასეთი შედგენილობა ზაფაზულში გამოიყენება, ხოლო ზამთარში იცვლება (პროპანი — 25% და ბუტანი — 75%).

თხევად საწვავზე მუშაობის დროს ჰაერის სიჭარბის კოეფიციენტი

(a) ნორმალური ნარევის შემთხვევაში უდრის 1-ს, სარეველების შომწველ თერმული კულტივატორის სანთურებში ნორმალური წვისა და

მაღალი ტემპერატურის მისაღებად ჰაერის სიჭარბის კოეფიციენტი  
 $\alpha > 1$ -ზე.

ცნობილია, რომ ჰაერის სიჭარბის კოეფიციენტი  $\alpha$  ერთგული კვ საწვავის დაწვისათვის საჭირო ჰაერის ნამდვილი კოეფიციენტის განსხვავებას წარიდებას თეორიულად საჭირო ჰაერის რაოდენობასთან (i თ)

$$\alpha = \frac{i_3}{i_\infty};$$

ვ. 9.

თუ არის შედგენილობა არის პროპანი ( $C_3H_8$ —75%) და ბუტანი ( $C_4H_{10}$ —25%), მაშინ თხევადი არის დასწვავად თეორიულად საჭირო უანგბადის რაოდენობა გამოითვლება.



$$V_m C_3H_8 = \frac{5O_2}{0,21} = 23,3 \cdot \theta^3 / \theta^3$$



$$V_m C_4H_8 = \frac{6 \cdot 5O_2}{0,21} = 30,9 \cdot \theta^3 / \theta^3$$

$$V_m = 0,75 \cdot 23,3 + 25 \cdot 30,9 = 25,2 \cdot \theta^3 / \theta^3$$

$$V_m = 25,2 \cdot \theta^3 / \theta^3$$

ჰაერის სიჭარბის კოეფიციენტის განსაზღვრისათვის საჭიროა ვიცოდეთ აირის ძირითადი პარამეტრები, როგორიცაა: კუთრი მოცულობა ( $V$  მ<sup>3</sup> კგ), წნევა ( $P$  კგ/სმ<sup>2</sup>), ტემპერატურა ( $T = 273^\circ$  აბსოლუტური).

1 კგ აირის მოცულობა აღვნიშნოთ  $V$  მ<sup>3</sup> კგ და მას კუთრი მოცულობა ვუშოდოთ.

ნებისმიერი აირის სრული მოცულობა  $V = V_G$ , სადაც  $G$  არის წონა კგ-ით, 1 მ<sup>3</sup>, აირის წონა გამოსახავს მის კუთრ წონას და აღინიშნება  $Y$  კგ/მ<sup>3</sup>, სადაც,

$$Y = \frac{I}{V};$$

ნებისმიერი ტემპერატურის დროს სითხის სვეტის სიმაღლის აოვლისას საჭიროა შედეგის დაყვანა  $0^\circ$  ტემპერატურის პირობებისათვის, მე-3 ცხრილში მოყვანილი შესწორებების გამოყენებით (ცხრ. 3).

იმ შემთხვევაში, როცა ტემპერატურა  $0^\circ$ -ზე მეტია, ანათვალი მცირდება, ხოლო როცა  $0^\circ$ -ზე ნაკლებია, ანათვალი იზრდება მოცულობების სიდიდის შესაბამისად.

ტემპერატურა, °	5	10	15	20	25	30	გრამული 35 კიბეტონისა
შესწორება მმ. ობით ყოველ 1000 მ-ზე	0,87	1,73	2,59	3,45	4,31	5,17	6,03

თერმოდინამიკიდან ცნობილია აირის მდგომარეობის დამახასიათებელი ფორმულა:

$$PV = 848 \text{ MT.}$$

ეს ფორმულა გამოიყენება ჰაერის სიჭრბის კოეფიციენტის დასადგენად, სადაც:

$P$  კგ/მ² არის აირის წნევა;

$V$  მ³ — აირის მოცულობა;

$T$  გას. —  $t + 273$  — აირის აბსოლუტური ტემპერატურა;

$G_3$  — აირის წონა;

$$M = \frac{G}{m} \quad \text{აირის რაოდენობა გამოსახული მოლებით;}$$

$M_3 V$  ერთი მოლი აირის წონა;

$R$  კგ მ/კგ. გრად. — აირის მუღმივა.

ნორმალური ტექნიკური პირობების დროს, როდესაც ატმოსფეროს ტემპერატურა  $t = 32^\circ$ , ე. ი. აბსოლუტური ტემპერატურა:

$$T = 32 + 273 = 305, \text{ მაშინ აირის მოცულობა } \frac{V}{P} = 848 \frac{T}{P} = 843.$$

$$\frac{305}{10289} = 25,14 \theta^3 / \text{მოლი. ცდების პროცესში ატმოსფერული ტემპერატურა}$$

ცალებადობდა  $15^\circ$ -დან —  $36^\circ$ -მდე. ყოველი ცდის პერიოდში აღებულ მონაცემებში შეტანილია შესწორებები.

თერმული კულტივატორის ლაბორატორიული გამოცდების შედეგები  
სხვადასხვა შედგენილობის აირის ნარევზე მუშაობის დროს.

თერმული კულტივატორის სანთურის ლაბორატორიული და საველე გამოცდების დროს ვმუშაობდით სხვადასხვა შედგენილობის ნარევებზე და ვაღენდით სარეველა მცენარეებზე მოქმედი ტემპერატურის რეჟიმს. და მისი მოქმედების არეს, რომლის დროსაც განსაკუთრებული ყურადღენი და დაეთმო აირის გამფრქვევის დიამეტრის შერჩევას და ჰაერის და აირის მოწოდების წნევას, საწვავი აირის შედგენილობას და მისი კუთრი და სათური ხარჯვის შესწავლას.

ცდებით დადგენილია, რომ სარეველა მცენარის ასაკის, სიღიღისა და სიხშირის მიხედვით უნდა შეიცვალოს ტემპერატურული რეჟიმი.

და ამის შესაბამისად საწვავი აირის ნარევის შედგენილობა, მასი კუთხა და საათური ხარჯი. მე-4 ცხრილში მოცემულია აირის განვითარებულის დიამეტრი (d მმ), აირის მიწოდების წნევა (P წყ. სურტის განვითარებულის ზედვით, მმ), ალის მაქსიმალური ტემპერატურა (t°), ალის მოქმედების მიმაღლება (h<sub>st</sub>—1000°-დან 200°-მდე), ალის მოქმედების დიამეტრი (d კურთ სანთურაში) საწვავი აირის საათური ხარჯი (G მ<sup>3</sup>/სთ), თერმულობრივი საწვავი აირის საათური ხარჯი (G მ<sup>3</sup>/სთ).

აღნიშნული ექსპერიმენტული მონაცემებით სანთურის გამფრქვევა დიამეტრის სიდიდე და საწვავის მიწოდების წნევა განაპირობებს ალის გარეულების არეს და საწვავი აირის ხარჯების სიდიდეს. პირველი ვარიაციაში შერჩეული გამფრქვევის დიამეტრი (0,75 მმ) გვაძლევს სანთურაში საწვავის საათურ ხარჯს 0,100 მ<sup>3</sup>. ამ ვარიანტში შეზღუდულია აღვარცულების სიმაღლე და დიამეტრი.

ცხრილი

სანთურის ლაბორატორიული გამოცდის შედეგები

ვარიანტი	გამფრქვევის დრო (d მმ)	გამფრქვევის წნევა P კალორი (10 <sup>3</sup> )	ალის გაქსიმალური ტემპერატურა (t°)	ალის გამფრქვევის მისამართი (d <sub>st</sub> ) 1000°-დან 200°-მდე	ალის გამფრქვევის მისამართი (d <sub>st</sub> ) 1000°-დან 200°-მდე	ერთ სანთურაში საწვავის განვითარებულის სიმაღლე G მ <sup>3</sup> /სთ	ერთ სანთურაში საწვავის განვითარებულის სიმაღლე G მ <sup>3</sup> /სთ
I ვარიანტი	0,75	20	1000°	3	12	0,060	1,320
— " —	— " —	40	1000°	10	12	0,080	1,750
— " —	— " —	50	1060°	14	14	0,090	1,980
— " —	— " —	60	1180°	16	18	0,100	2,200
II-ვარიანტი	1,0	50	1080°	13	14	0,093	2,180
— " —	— " —	60	1080°	15	16	0,100	2,420
— " —	— " —	70	1300°	17	20	0,120	2,640
— " —	— " —	80	1800°	20	22	0,130	2,860
III-ვარიანტი	1,5	25	1100°	10	16	0,070	1,540
— " —	— " —	30	1200°	14	20	0,100	2,200
— " —	— " —	40	1200°	15	20	0,120	2,640
— " —	— " —	50	1200°	15	20	0,140	3,030
— " —	— " —	60	1200°	16	20	0,160	3,520
— " —	— " —	70	1200°	17	18	0,170	3,740
— " —	— " —	80	1230°	22	16	0,187	4,114
IV-ვარიანტი	2,0	50	1050°	14	18	0,170	3,740
— " —	— " —	60	1160°	17	20	0,198	4,358
— " —	— " —	70	1200°	19	22	0,240	5,280
— " —	— " —	80	1200°	22	20	0,260	5,720

ცხრილში მოცემულია საშუალო არითმეტიკული სიდიდეები

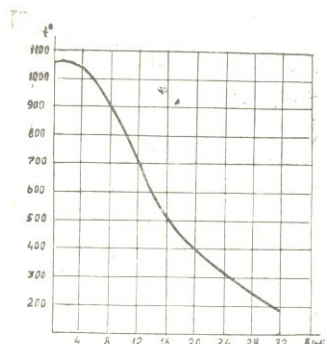
II და III ვარიანტებში, სადაც გამფრქვევის დიამეტრი შესაბამისად შეტენულია (1, და 1,5 მმ), მივღეთ ალის სასურველი ტემპერატურა რა და მისი გავრცელების არისა და საწვავის საათური ხარჯვის მაღალობრივი სიდიდე.

IV ვარიანტში, სადაც გამფრქვევის დიამეტრი 2 მმ-ია, ამან გამო-იქვა აირის საათური ხარჯვის გადიდება.

ექსპერიმენტული მონაცემებით, გამფრქვევის დიამეტრთან ერთად, სწავლი აირის ხარჯზე დიდ გავლენას ახდენს სანთურაში მიწოდებული სწავლის წნევა. გამფრქვევის ერთი და იგივე დიამეტრის შემთხვევაში არის მიწოდების წნევის შეცვლით იცვლება საწვავის საათური ხარჯი და ამს შესაბამისად ალის გავრცელების სიმაღლე და დიამეტრი. ასე, მაგ., III ვარიანტში გამფრქვევის დიამეტრის 1,5 მმ-ის შემთხვევაში აირის მიწოდების წნევის 25 მმ (წყ. სკეტ. სიმაღლე) კულტივატორში საწვავის სათური ხარჯი მიღებულია 1,540 მ<sup>3</sup>, 20 მმ-ზდე. წნევის გაზრდით — 2,200 მ<sup>3</sup>, 50 მმ გაზრდით — 3,080 მ<sup>3</sup>, ხოლო 80 მმ-ით გაზრდის შემთხვევაში 4,114 მ<sup>3</sup>.

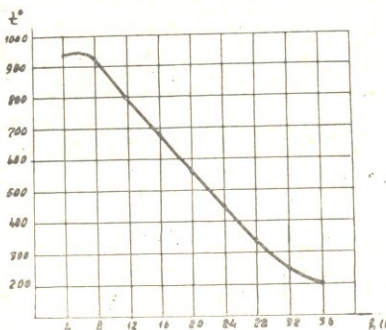
გამფრქვევის დიამეტრის 2 მმ გაზრდით მკვეთრად იზრდება საწვავის სათური ხარჯი. III ვარიანტთან შედარებით 60 მმ წნევის შემთხვევაში, სწავლი აირის საათური ხარჯი გაიზარდა 0,836 მ<sup>3</sup>, ხოლო 80 მმ წნევის შემთხვევაში 1,606 მ<sup>3</sup>-ზდე ალის ტემპერატურა კი II და III ვარიანტში, ხომელმაც უნდა დაწვდო სარეველა მცენარეები, უფრო მაღალია და აქტიური როგორც საწვავის ხარჯვის, ისე სარეველების ორმული დამუშავების მოთხოვნები.

ნარევის შედგენილობის ხარისხი მნიშვნელოვან გავლენას ახდენს ალის ტემპერატურაზე და მისი გავრცელების არეზე. იმ შემთხვევაში თუ ჟერის სიჭარბის კოეფიციენტი  $\alpha$  - ავიღებთ 1-ის ტოლს, მაშინ ალის ტემპერატურის სიდიდის დამოკიდებულებას სიმაღლის მიხედვით ექნება შემდეგი ხასიათი (ნახ. 1).



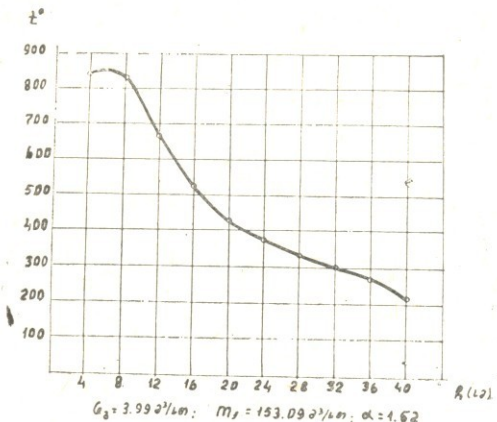
ნახ. 1. ალის ტემპერატურის დამოკიდებულება სიმაღლესთან.

მიღებული მონაცემებიდან ჩანს, რომ სამუშაო ნარევის გადიდების იზრდება ალის ტემპერატურა, ხოლო გაღარიბებით მცირდება ტემპერატურა (მე-2 დიაგრამა). ჰაერის სიჭარბის კოეფიციენტის 1-დან 1,38-მდე გადებით ალის ტემპერატურა მცირდება  $110^{\circ}$ -ით.

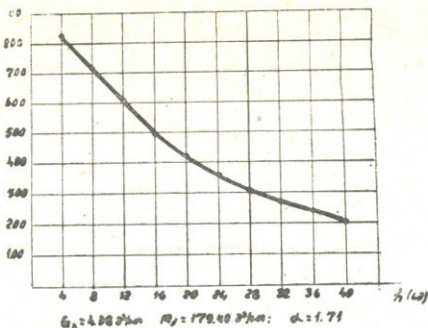


ნახ. 2. ალის ტემპერატურის დამკიდებულება ალის გავრცელების სიმაღლესთან

ჩატარებული ექსპერიმენტებით დადგინდა, რომ თერმული კულ ვატორის სანთურიში ჰაერის სიჭარბის კოეფიციენტის ხარჯზე იზრდ სანთურიდან გამოსული ალის სიმღლე და მცირდება ტემპერატურა გაღარიბებულ ნარევზე მუშაობის დროს ჰაერის სიცირხნის მიერ გათარებული წნევა ანთებულ ნარევს ტყორცნის მეტ მანძილზე და გაღ ბებული ნარევის წერ გრძელდება სანთურიდან გამოსვლის შემდეგ შედეგად გამდიდრებულ ნარევზე მუშაობასთან შეღარებით ალის გად ლების სიმაღლე იზრდება 8—10 სმ. ამის სორიას გვაძლევს მე-3 და დიაგრამების შედარება 1-ელ და მე-2 დიაგრამებთან.



ნახ. 3. ალის ტემპერატურის დამკიდებულება ალის გავრცელების სიმაღლესთან



ჩა. 4. ალის ტემპერატურის დამოკიდებულება ალის გავრცელების სიმაღლესთან.

ალის გავრცელების სასურველ დიამეტრს ვდებულობთ, როდესაც ჰა-  
ერის სიჭარბის კოეფიციენტი  $\alpha$  არის 1,3-დან 1,5-მდე; ასეთ ნარევზე სა-  
რეველა მცენარეებზე მოქმედი ალის დიამეტრი 32 სმ-ს აღწევს. ეს უკა-  
ნასკნელი შესაძლებელს ხდის, განივ სიბრტყეში განვსაზღვროთ სანთურე-  
ბის ერთმეორესთან დაშორების მანძილი და ამით უზრუნველყოთ ოე-  
რმული აპარატის მოქმედების განის დადგნა, რასაც პირდაპირი დამოკი-  
დებულება აქვს ოერმული კულტივატორის მწარმოებლობასთან.

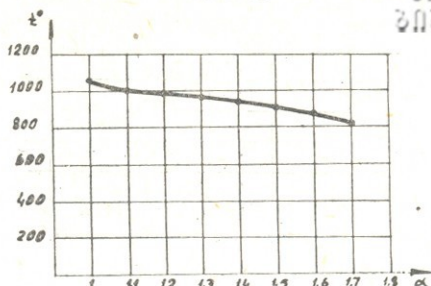
ჩატარებული ცდებით თერმული კულტივატორების მუშაობის პირო-  
ბი უმჯობესდება, თუ 12 სმ სიმაღლეზე ალის ტემპერატურას შევინარ-  
ჩნებთ  $700-800^{\circ}$ -მდე, ხოლო 28—30 სმ სიმაღლეზე  $200^{\circ}$ -მდე. ამ საკით-  
ხის გადაჭრაში დიდ როლს ასრულებს ნარევის შედგენილობის ხარისხი.  
მე-5 ცხრილში მოცემული მასალებით დასტურდება, რომ სამუშაო  
ნარევის გაღრიბებით მცირდება ნარევის ტემპერატურა. ამიტომ სარევე-  
ლების სიხშირისა და მასკის მიხედვით უნდა მომზადდეს ისეთი შედგე-  
ნილობის ნარევი, რომელიც დააკმაყოფილებს სარეველა მცენარეების  
მოწვის მოთხოვნებს და არ გამოიწვევს თხევადი აირის გადახარჯვას.

### ცხრილი 5

მსუბუკულად დამზარი ჰაერის სიღრღნილება, 1 კგ/სთ	82,04	91,48	134,57	193,57	189,40
ფოთისულად წვესათვის საჭირო ჰაერის რაოდენობა, 1 ტ გ/სთ.	81,35	80,62	97,49	124,4	110,53
ჰაერის სიჭარბის კოეფიციენტი, $\alpha$	1,01	1,13	1,40	1,55	1,71
ალის ტემპერატურა, ტ.	1060	1000	940	910	8,15

ცდებით დადგენილია, რომ  $1000^{\circ}$ -მდე ალის ტემპერატურა  $0,6$  წამშა  
მობს ერთწლიან და მრავალწლიან სარეველებს, რის შედეგად შეიძლება

თერმული აგრეგატის სიჩქარისა და ტერმობლობის გადიდება, ასეთი ტემპერატურის სიმაღლე ვრცელდება 2—6 საარენტო მუზეუმებში.



ნახ. 5. ალის ტემპერატურის დამკიდებულება ჰაერის სიჭრაბის კოეფიციენტთან.

გლებში, მუშაობის პროცესში კულტივატორის სანთურები ნიადაგი დაცილებულია 4 სმ სიმაღლეზე. ამიტომ სარეველებზე მოქმედი ტემპერატურა მერყეობს  $700^{\circ}$ -დან  $900^{\circ}$ -მდე, რაც უზრუნველყოფს 0,8—0,9 მში სარეველების მოწვას და 4 კმ/სთ სიჩქარით თერმული აგრეგატ მუშაობას.

საწვავის ხარჯის გაანგარიშება შესრულებული სამუშაოს მიხედვა

საწვავის კუთრი და საათური ხარჯი, რომელიც თერმული კულტივი ტორის გამოცდის შედეგადაა მიღებული, განხილულია წინა თავში გამიცდების შედეგად მიღებული საწვავის ხარჯისაგან. ამ თავში მოცემულ საწვავის ხარჯი შესრულებულ სამუშაოზე. საველ მუშაობის პირობებში ჩატარებული გამოცდებით საწვავის ხარჯი გაანგარიშებულია ჰა-ზე.

ცნობილია, რომ თერმული კულტივატორი დაკიდულია ტრაქტორზე რომელსაც ექსპლუატაციის დროს მუღმივი დატვირთვით არ უხდება მუშაობა. კვალში ძრავა მუშაობს მაღალ ბრუნვებზე სრული დატვირთვა საქცევებში მობრუნების დროს — მცირე დატვირთვით, ხოლო უქმ მუშაობაზე კიდევ უფრო მცირე დატვირთვით, ასეთი ცვალებადი დატვირთვის პირობების შესაბამისად მიღებულია დროის ერთეულებში საწვავის ხარჯის ცვალებადობა.

ტრაქტორის ძრავაში დახარჯული საწვავის საერთო რაოდენობა უნდა გავყოთ შესრულებულ სამუშაოზე და მივიღებთ საწვავის ხარჯს ჰა-ზე.

$$G_{\text{გ/ზ}} = \frac{G_{\text{ცა}} T_{\text{ცა}} + G_{\text{უ}} T_{\text{უ}} + G_0 T_0}{W};$$

თერმულ კულტივატორში გამოყენებულია თხევადი აირი, რომელიც შედეგად გამოყოფილი თბური ენერგიით ვახორციელებთ სარეველ



საწვავი აირის ხარჯვა ხდება მხოლოდ კვალში  
მუშაობის დროს, საქცევებსა და ტრაქტორის უქმი მუშაობის პერიოდში  
კულტივატორი გამორთულია. პა ფართობზე სარეველა მცენარეების  
თერმული დამუშავებისათვის საჭირო საწვავი აირი გამოითვლება ფორ-  
მულით:

$$G_{\text{მ}^3/\text{წ} \cdot \text{ზ}} = \frac{G_{\text{ს} \cdot \text{მ}} T_{\text{ს} \cdot \text{მ}}}{W};$$

ცდების პროცესში საწვავი აირის (პროპან-ბუტანის) ხარჯი ჰა-ზე მი-  
ღებულია 5,02 მ<sup>3</sup>/სთ. საველე ცდების პერიოდში მიღებული მონაცემებით  
საწვავი აირის ხარჯვის სიდიდე დამკიდებულია ფართობის დასარევლი-  
ანების ხარისხზე. რამდენადაც დიდია სარეველების სიხშირე და სიმაღლე-  
იდენად მეტია მაღალი ტემპერატურის მოთხოვნები და სარეველების  
თერმული დამუშავების დრო. ამიტომ სარეველა მცენარეების წინა-  
მდევ თერმული მეთოდით ბრძოლა უნდა განხორციელდეს აგროტექნი-  
კურ ვადებში, როდესაც სარეველა მცენარეების სიმაღლე მერყეობს  
5–15 სმ ფარგლებში.

---



შრომის ზითალი დროის თრდენოსანი

საქართველოს სასოფლო-სამეურნეო ინსტიტუტის შრომები, ტ. 114, 1980

ТРУДЫ ГРУЗИНСКОГО ОРДЕНА ТРУДОВОГО КРАСНОГО ЗНАМЕНИ  
СЕЛЬСКОХОЗЯЙСТВЕННОГО ИНСТИТУТА, Т. 114, 1980

УДК 631.31

გ. თბილისი

მოიან პირობები ინდუსტრიული ტექნოლოგიით გარცვლებლის ასაღები

მანახანათა კომპლექსის ეკონომიკური ეფექტურობის გამოკვლევა

ფერდობზე მუშაობისას თვითმავალი კომბაინის ძრავის ეფექტური სიმძლავრის დიდი ნაწილი იხარჯება კომბაინის გადასაადგილებლად, ხოლო ტექნოლოგიური პროცესის შესასრულებლად რჩება ენერგიის მცირე სიღრდე, რის გამო, კომბაინის სამუშაო სიჩქარე და, მასთან ერთად, მწარმებლობა და ეფექტურობა მკვეთრად მცირდება. დაუშვებლად დიდ სიდიდეს აღწევს მარცვლის დანაკარგები. ჩვენი გამოკვლევებით  $10^{\circ}$ -იან ფერდობზე მარცვლის დანაკარგი შეადგენს  $10,72\%$ -ს, დუშტაისის საცდელი საგურის მონაცემებით [2] კი მარტო სალეჭა ნაწილზე მოსული დანაკარგები აღწევს  $8,5\%$ -დან  $18,8\%$ -მდე. ბზის, ამ მეტად ყუათიანი საკვების, გამოსავლიანობა საშემოდგომო ხორბალის აღების დროს აღწევს  $4,1$ -დან  $5,94$  ც-ს ერთ ჰა-ზე. თვითმავალი კომბაინით აღების დროს ეს ძვირფასი საკვები კი მთლიანად იყარება. ამასთან ერთად, ბზეს მიჰყვება სარეველას ფქლების დიდი რაოდენობა (ჩვენი გამოკვლევებით 25-დან 35,5 კგ-მდე ჰა-ზე), ბზესთან ერთად იფანტება მინდორში და ამით ხელს უწყობს მომდევნო წელს მინდვრების დასარევლიანებას.

ძელან შეიძლება დავასკვნათ, რომ თანამედროვე თვითმავალი კომბაინების გამოყენება მარცვლეულის ასაღებად სამთო პირობებში არაეფექტურა და აუცილებელია შეიცვალოს ისეთი ტექნოლოგიით და მანქანათა კომპლექსით, რომელიც იქნება უფრო ეფექტური. ამ საკითხებზე არსებული სამეცნიერო ლიტერატურის, ჩვენი ქვეყნის მოწინავე მეცნიერების და კალევითი-სამეცნიერო ინსტიტუტების გამოკვლევების შესწავლამ და-ჯარშმუნა, რომ მთიანი პირობებისათვის ყველაზე მისაღები, მოხერხებული და ეფექტურია მარცვლეულის ასაღებად გამოყენებული იქნეს ე. წ. ინდუსტრიული ტექნოლოგია, სტაციონარული მანქანებით ლეჭვისა და ჟრეული გადამუშავების ჩატარებით. ასეთი ტექნოლოგია და მანქანათა სისტემა დამუშავებულია საბჭოთა კავშირის მე-8, მე-16 და მე-17 ზონებისთვის. მექანიზაციის საკავშირო ინსტიტუტში, ყაზახეთის და ციმბირის

სოფლის მეურნეობის მექანიზაციის და ელექტრიფიკაციის კვლევთ ისტიტუტებში შექმნეს და ჩამოაყალიბეს ინდუსტრიული ტექნოლოგია მარცვლეულის აღმას მანქანათა კომპლექსი ზემოაღნიშნული ჭრაშესასოვის.

ზემოაღნიშნული ზონებისათვის შექმნილი მანქანათა კომპლექსები შესწავლამ გვიჩვენა, რომ საქართველოს პირობებისათვის (მე-15 ზონა) ამ მანქანების და მანქანათა კომპლექსების გამოყენება მიუღებელია და ამიტომ საჭიროა დამუშავებული იქნეს ჩვენი რესპუბლიკის მთანი რაიონების პირობების შესაბამისი მანქანათა სერიი კომპლექსი, რომელიც იქნება უფრო მოხერხებული, მისაღები და ეფექტური.

ამ მიზნით, საქართველოს სასოფლო-სამეურნეო ინსტიტუტის მოსაქლის ამღები მანქანების კათედრაზე, ჩვენ მიერ დამუშავებულ იქნა მთან რაიონებში თავთავიანი მარცვლეული კულტურების ასაღები მანქანათა კომპლექსი, რომელიც შეიცავს: თვითმავალ სამკალ-შემგროვებელს, სტაციონარულ მარტივ სალეჭს და მარცვლის ნარევის მშენდ მანქანას.

რადგან ყოველი მანქანისა და მანქანათა კომპლექსის უპირველესი და ძირითადი მაჩვენებელი ერთობლივი, საზოგადოებრივი შრომის ზაყოფიერების ამაღლებაა და ამ მაჩვენებლის დამახასიათებელი სიღრიდე კი ეკონომიკური ეფექტურობა, ამიტომ ამ სტატუაში მოვყავს ჩვენ მიერ დამუშავებული ახალი მანქანათა კომპლექსის ეკონომიკური ეფექტურობის გამოვლევის მეთოდიკა და გამოვლევის შედეგები.

ახალი მანქანების და მანქანათა კომპლექსების ეკონომიკური ეფექტურობის გამოვლევის საკითხებზე ასებული ლიტერატურული წყაროები (3, 5, 6 და სხვ.) შესწავლის საფუძველზე შევადგინოთ მარცვლეული კულტურების ასაღები მანქანათა კომპლექსის ეკონომიკური ეფექტურობის გამოყვლევის მეთოდიკა, რაც შემდეგში მდგომარეობს:

მარცვლეული კულტურების ასაღები მანქანების ეკონომიკური ეფექტურობა განისაზღვრება განტოლებით:

$$\Theta = \{ (H_c - H_H + q_3 + q_n + q_e) W_2 + E \cdot \Pi_c \cdot z - \Pi_H \cdot n \quad (1)$$

ამ განტოლებაში  $H_c$  და  $H_H$  არის ძველი (შესაღარებელი) და ახალი მანქანათა კომპლექსის პირდაპირი დანახარჯები, მან/ჰა;

$q_3$  — მარცვლეულის დანაკარგების შემცირებით ერთი ჰა-დან დამტებით მიღებული მარცვლის ღირებულება, მან/ჰა;

$q_n$  — 1 ჰა-დან აღებული ბზის ღირებულება, მან/ჰა;

$q_e$  — მინდორში სარეველების მობნევის თავიდან აცილებით და სარეველების წინააღმდეგ ჩასატარებელი ღონისძიებების შემცირებით მიღებული ეკონომია, მან/ჰა;

06801

მარცვლეული კულტურების ამღები მანქანების (შესაღარებელი კომპლექსის) საბალანსო  
ღირებულება და პირდაპირი დანახარჯები

პროცესი და მანქანის მარტა	მანქან/ს 1 აბა- ლიასონ ღარე- ბულება, მი.	მურმოებ- ლობა, მა/წლ	პირდაპირი დანახარჯების მაჩვენებლები მან/ჟა						მოლაპა- დის გამი- ზან/ჟა	საჭირო შემთხ- ველი	
			3	A	R	Z	c e	d			
ტე-ლ ტე-წენდა, სკ-5	6500	100	1,6	10,8	4,22	—	1,12	0,13	17,87	2:	
ჩ-ლის ყერფა-დაწენება სპ-1,6	1740	416	1, 2	0,7	0,53	3,42	0,87	0,07	7,41	3	
ბარდანების ყერფა-ლაწ- ყობა. გუტ-2,5	2460	832	0,91	0,49	0,38	—	0,43	0,01	2,22	1	
საჭირო ტრაქტორები მტ-52 (2 ცილი)	6240	970	0,68	0,80	0,71	—	—	0,015	4,4	2	
სულ	16940								32,0	6	

ინდუსტრიული ტექნოლოგიით მარცვლეულის ამღები მანქანათა კომპლექსის  
საბალანსო ღირებულება და პირდაპირი დანახარჯები

პროცესი და მანქანის მარჯ.	საბალანსო ღირებუ- ლება მან.	მუშაობები- ლობა ქა/წლ.	პირდაპირი დანახარჯების ცალკეული მინიმუმები, მანქა- ნის მინი- მუშა- ლობა							მუშა- ლობი	
			3	A	R	Z	c	e	d		
შე-ჰეგროვება-ტრანსორ- ტიტება ზეტ-4 (ექსპერიმენტული)	4500	100	0,94	7,2	2,3		1,12		0,13	12,32	1
ლენვა-ლაწნებები, მს-5 (ექს.) და პსბ-1,6	4740	200 416	1,82 —	2,49 0,7	0,975 0,53	3,42	0,32		0,13 0,07	5,735 4,72	2
მარცვლის ნარევის გაშენდა ოპბ-20 (გადაეთვებული)	1182	350	0,4	0,48	0,22			0,06	0,91	1,26	2
საკირო ტრაქტორი, ჭტბ-52 (1 ცალი)	320	970	0,68	0,8	0,71				0,015	2,2	
<b>სულ</b>	<b>13542</b>								<b>სულ</b>	<b>26.235</b>	<b>5</b>

თუ ეკონომიკური ეფექტურობის საანგარიშო (I) განტოლებაში შევიტანთ შე-  
საბამის სიდიდეებს აღებულს I-ლი და მე-2 ცხრილიდან, სათანადო გაანგარი-  
შებებიდან და ნორმატიული ცნობარებიდან, მივიღეთ:

$$\Theta = \{(32,0 - 26,235) + 6 + 0,42 + 2] \cdot 100 + 0,25(16940 \cdot 1 - 13542)\} \cdot 1 = 2301 \text{ მას.}$$

$W_2$  — ახალი მანქანათა კომპლექსის წლიური გამომუშავება, ჰა/სეზ;

E — კაპიტალური დაბანდების ეფექტურობის ნორმატივული ფორმატი სას.-სამ. ტექნიკისათვის,  $E = 0,25$ ;

$\Pi_c, \Pi_H$  — ძველი და ახალი მანქანათა კომპლექსის საბალანსო ღირებულება, მან.

a — ძველი და ახალი მანქანათა კომპლექსის მწარმოებლობის ფართი ღობა;

n — ერთ წელში გამოყენებული მანქანათა კომპლექსის რაოდენობა;

(I) განტოლებაში შემავალი სიდიდეები განისაზღვრება შემდეგნაირად:

კომპლექსში შემავალი ყოველი მანქანის პირდაპირი დანახარჯები გამოითვლება ფორმულით:

$$I = 3 + A + R + Z + C + e + d = \frac{\Sigma n_i f_i}{W_u} + \Pi \frac{(a+r)}{100 \cdot W_2} + Q_c' m_{n^u} + \frac{N_{eg} e^u b}{W_u} + \frac{N' \mu'}{W_u} + x \frac{m T K}{W_2} \quad (2)$$

ამ განტოლების პირველი წევრი—3 გამოხატავს აგრეგატზე მომუშავე მუშების ხელფასის დანახარჯს, A — საამორტიზაციო და R — სარემონტო ანარიცებს, Z — ჩალის დაწნევებისას 1 ჰა-ზე დახარჯული მავთულის ღირებულებას, C — საწვავის ღირებულებას, e — ელექტროენერგიის ღირებულებას და d — მანქანის შენახვაზე გაწეულ ხარჯებს. ყველა მაჩვენებლის გაზიომილებაა მან/ჰა.

(2) განტოლების თითოეული მაჩვენებლის განსასაზღვრ განტოლებებში  $n_i$  არის აგრეგატზე დასაქმებული მუშების რაოდენობა,  $f_i$  — თითოეული მუშის ხელფასი,  $W_u$  — მანქანის საათური მწარმოებლობა,  $\Pi$  — მანქანის საბალანსო ღირებულება,  $a$  — საამორტიზაციო დანარიცების %,  $Q_c$  — ჩალის მოსავლიანობა,  $r$  — სარემონტო დანარიცების %,  $m_n$  — მავთულის ხარჯი 1 ჰა-ზე,  $\mu_n$  — 1 კგ მავთულის ღირებულება,  $N_e$  — მრავალ ფაზე მუშების სიმძლავრე,  $g_e$  — საწვავის კუთრი ხარჯი კგ/ეფამტურ კვტ-ზე, საათში,  $\mu$  — საწვავის ღირებულება,  $b$  — კოეფიციენტი,  $N'$  — ერთ საათში დახარჯული ელექტროენერგია,  $\mu'$  — 1 კვტ·ელექტროენერგიის ღირებულება,  $x$  — აგრეგატის შენახვის კოეფიციენტი,  $m$  — სეზონში სამუშაო ღირების რაოდენობა, T — ცვლის ხანგრძლივობა საათებში, K — ცვლების რაოდენობა.

(2) განტოლებით განსაზღვრული პირდაპირი დანახარჯები შესადარებელი და ახალი მანქანათა კომპლექსისათვის ცალ-ცალკეა შეტანილი I-ელ და მფ-2-ე ცხრილებში.

მარცვლის დანაკარგის შემცირებით ერთ ჰა-დან მიღებული მარცვლი  
ღირებულება იანგარიშება ფორმულით:



$$q_3 = m_3 \mu_3,$$

სადაც  $m_3$  არის ერთ ჰა-დან მარცვლის დანაკარგების შემცირებით მიღებული მარცვლის დამატებითი რაოდენობა ც-ობით, ჩვენ მიერ დამუშავებული ახალი მანქანათა კომპლექსით მარცვლის დანაკარგი შემცირდება 5—10%-ით, გაანგარიშებისათვის ვიღებთ 5%-ს, მაშინ 15 ც/ჰა მოსავლიანობის შემთხვევაში 1 ჰა-დან ავიღებთ დამატებით 0,75 ც მარცვალს.

$\mu_3$  — ერთი ც მარცვლის ღირებულება, ვიღებთ 8 მან.

ინდუსტრიული ტექნოლოგიით საერთოდ და ჩვენ მიერ რეკომენდებულ მანქანათა კომპლექსით თითოეული ჰა-დან შესაძლოა მივიღოთ 3-დან 10 ც-მდე ბზე, ამიტომ ბზის აღების შემთხვევაში ერთი ჰა-დან მიღებულ ბზის ღირებულება განისაზღვრება ფორმულით:

$$q_n = m_n' \cdot \mu_n'$$

სადაც  $m_n'$  არის 1 ჰა-დან აღებული ბზის რაოდენობა ც-ობით, ვიღებთ 5,34 ც-ს.

$\mu_n'$  — ერთი ც ბზის ღირებულება და აიღება მარცვლის ღირებულების 0,01-ის ტოლი, ანუ 0,08 მან/ც.

ჩვენ მიერ რეკომენდებული მანქანათა სისტემით არ ხდება მინდონში სარეველების მობნევა, ამიტომ არც სარეველების გაგრცელებას ექნება აღვილი, რის გამო სარეველებთან ბრძოლისათვის არ დაიხსარჯება ის დამატებითი ხარჯები, რომელსაც იდგილი აქვს კომბაინით მარცვლის აღზის შემთხვევაში. იღებენ  $q_c = 2 \div 3$  მან/ჰა, ჩვენი გაანგარიშებისათვის ვიღებთ მინიმალურს — 2 მან/ჰა.

მანქანების საბალანსო ღირებულება განისაზღვრება შემდეგნაირად მანქანის საცალო ღირებულებას უმატებენ ტრანსპორტირების (რკინიგზის), მანქანის მონტაჟის, მომმარავებელი და გამსაღებელი ორგანიზაციის შესანახ ხარჯებს; გაანგარიშების გააღვილებისათვის მანქანის საცალო ფასს ამრავლებენ კოეფიციენტზე  $K_c = 1,1 \div 1,2$ .

ჩვენ ამ მეთოდის გამოყენებით ვაღგენთ ძველი და ახალი მანქანების საბალანსო ღირებულებას და ისიც შეტანილია 1-ელ და მე-2-ე ცხრილების შესაბამის სკეტებში.

ერთ წელიწადში გამოყენებული მანქანათა კომპლექსის რაოდენობა რომელიც შედის (1) განტოლებაში, ჩვენ ავიღეთ 1-ის ტოლი, ე. ი. უკონ-მიკურ ეფექტურობას ვაღგენთ ერთი კომპლექსისათვის.

აქვე ჩავთვალეთ, რომ შესაძარებელი და ახალი მანქანათა კომპლექტ-სის მწარმოებლობა ტოლია, რის გამო  $\alpha = 1$ , თუმცა ახალ მანქანათა კომპლექტში შემავალი მანქანების წლიური მწარმოებლობა ნორმატიული მიზნებით გაცილებით მეტია, ვიდრე არსებული მანქანებისა.

(1) და (2) განტოლებაში შემავალი სიღიღეების განსაზღვრისათვის ვიყენებთ შესაბამის ცნობარებს და ლიტერატურას [3, 4, 7]. ყველა საჭირო ძირითადი სიღიღე მოცემულია 1-ელ და მე-2- ცხრილებში და მათ მიხედვით ჩატარებულმა გამოკვლევამ გვიჩვენა, რომ ინდუსტრიული ტექნოლოგიის ლეწვისა და გადამუშავების სტაციონარული მაქანებით შესრულებისას — მანქანათა კომპლექსის ეკონომიკური ეფექტურობის მინიმუმი მნიშვნელობა ერთი კომპლექსისათვის ერთ წელში (სეზონში) შეაღეს 2301 მანეთს. არსებული მანქანათა კომპლექსის (ცხრ. 1) საბალანსო ღირებულება უდრის 16940 მანეთს, ახალი მანქანათა საბალანსო ღირებულება კი 13542 მანეთს, ე. ი. 3398 მანეთით ნაკლებს. პირდაპირი დანახარჯები ძველი (შესაძარებელი) კომპლექსისათვის უდრის 32 მანეთს 1 ჰა-ზე, ახალი კომპლექსისათვის კი 26, 235 მან. შესაძარებელი კომპლექსით აღების ღრის საჭირო მუშახელი შეაღეს 6 კაცს, ახალი კომპლექსით აღებისას კი 5-ს.

ამრიგად, ეკონომიკური ეფექტურობა ჩვენ მიერ დამუშავებული მანქანათა კომპლექსისა თვალსაჩინოა, იგი ყველა მაჩვენებლით ადასტურებს, ახალი ტექნოლოგიისა და შესაბამისი მანქანათა კომპლექსის უპირატესობას და მისი დანერგვა ჩვენი რესპუბლიკის სახალხო მეურნეობას მისცემს დიდ ეკონომიკურ ეფექტს.

### ლიტერატურა — Л и т е р а т у р а

1. Иофинов С. А., Эксплуатация машинно-тракторного парка, М., 1974.
2. Коренев Г. В., Тарасенко А. П., Прогрессивные способы уборки и борьба с потерями урожая, М., 1977.
3. Косачев Г. Г., Экономическая оценка сельскохозяйственной техники, М., 1978.
- 4 Нормативы для планирования сельского хозяйства, М., 1976.
5. Определение состава машин для комплексной механизации в сельском хозяйстве, М., 1975.
6. Основные положения методики определения экономической эффективности новой техники, изобретений и рационализаторских предложений в с.-х. машиностроении. М., ЦНИИТЭИ, тракторосельхозмаш, 1978, С.-6, 15.
7. Справочник конструктора сельскохозяйственных машин, т. 4, М., 1969.
8. Сельскохозяйственная техника, каталог, М., 1979.
9. Хоклов И. Технология производств тракторных работ в горном земледелии, Тбилиси, 1968.



შრომის წითელი ღროვანი მუზეუმის  
საქართველოს სასოფლო-სამეურნეო ინსტიტუტის განმეობი

საქართველოს სასოფლო-სამეურნეო ინსტიტუტის განმეობი, ტ. 114, 1980 წელი

ТРУДЫ ГРУЗИНСКОГО ОРДЕНА ТРУДОВОГО КРАСНОГО ЗНАМЕНИ  
СЕЛЬСКОХОЗЯЙСТВЕННОГО ИНСТИТУТА, Т. 114, 1980

УДК 631.3.631.1

რ. რამაზაშვილი

საჯარო პროცესების სამიზნო აგრძელების ანგარიში გასოგივი  
მოსახურების თაორიო

საწარმოო პროცესების დაპროექტება მათენატიკური გაანგარიშების საფუძველზე მეტად რთული საქმეა. ეს განსაკუთრებით რთულია სოფლის მეურნეობაში, რადგან სასოფლო-სამეურნეო წარმოება, დაპროექტების შესაძლებლობის თვალსაზრისით, სამრეწველო წარმოებისაგან მთელი რიგი რთული მახასიათებლებით განსხვავდება. თუ სამრეწველო წარმოების დაპროექტებისას შეგვიძლია საჭირო შედეგის მისაღებად ვცვალოთ ნებისმიერი წარმოების საშუალება, სოფლის მეურნეობაში ეს გამორიცხულია (შეუძლებელია მინდვრის რელიეფის ან კონფიგურაციის შეცვლა, ტექილური მოვლენების გაუცნებელყოფა და სხვ.). თუმცა შეიძლება ზოგიერთი ფაქტორის რაციონალურად გამოყენება, რაიმეზე გავლენის შემცირება და ა. შ.

სასოფლო-სამეურნეო წარმოების დაპროექტების სირთულე იმაშიც მდგრადირეობს, რომ ყოველთვის არა გვაქვს საშუალება ობიექტურად შევარაროთ ერთმანეთს მთელი რიგი საწარმოო ოპერაციები, მათი შედეგების შესტირაობის რაოდენობრივი შეფასების სიძნელის გამო.

შეიტომ, სასოფლო-სამეურნეო პროცესების დაპროექტებისა და გაანგარიშების დროს, საჭირო ხდება მივარათოთ ბუნებრივი მოვლენების ანალიზს, მათი გამეორების კანონის ახსნას და ალბათობის თეორიას.

მეუადა დამტუშავებულია და ხმარებაშია გამოყენებითი მათემატიკური მეთოდები, რომლებიც საშუალებას გვაძლევს ვიპოვთ ყველაზე ხელსაყრელი (ოპტიმალური) გადაწყვეტა ყველა შესაძლო ვარიანტის გადასწრების გარეშე. ეს მეთოდებია — სასოფლო-სამეურნეო საწარმოო პროცესების ოპტიმალური დაპროექტება, წრფივი, არაწრფივი, მთელრიცხობრივი, სტრუქტურული და დინამიკური პროგრამირება, თამაშისა და ძებნისათვორია, კომბინატორული და სტატისტიკური მოდელირების მეთოდი და სხვ.

ასეთ დისციპლინებს მიეკუთვნება მასობრივი მომსახურების თეორიაც. იგი შედარებით ახალია და ბევრ საკითხში ჯერ გამოყენებული არ არ ამ თეორიის იდეა და მეთოდები ბოლო წლებში ინტენსიურად იწერდა მრავალ გამოყენებით სფეროში; ამასთან, ის ამოცანების არე, რომელიც თეორიით ამოიხსნება, განუწყვეტლივ ფართოვდება. ეს მისი მათემატიკური აპარატის სპეციფიკითა და იმ პრაქტიკული ამოცანებით აიხსნება, რომელიც მას შეუძლია გადაწყვეტოს.

მასობრივი მომსახურების თეორია, ეყრდნობა რა ალბათობის თეორიის აპარატს, სწავლობს ძრითადად მასობრივ მომსახურებასთან დაუშორებულ საკითხებს. მის მიზანს წარმოადგენს არა რაიმე კონკრეტურ მომსახურების პროცესის შესწავლა, არამედ, ტიპური ამოცანების გადაწყვეტის მეთოდების შემუშავება, რომლებიც სხვადასხვა სფეროს ამოცანების რეალიზაციაში გამოდგება.

მასობრივი მომსახურების თეორია საშუალებას გვაძლევს რაოდენჭირივად აღვწეროთ რთული საწარმოო პროცესი და უფრო ღრმად ჩავალოთ მასში. მისი დახმარებით შეიძლება ჩატარდეს ეკონომიკური ექსპრესი მენტი ქაღალდზე — შეიცვალოს სხვადასხვა მიმართულებით საწარმოო პროცესის პარამეტრები და გამოვლინდეს ამ ცდით გამოწვეული შედეგი.

სასოფლო-სამეურნეო საწარმოო პროცესებისა და ოპერაციების პროექტების დროს მასობრივი მომსახურების თეორიის გამოყენებით შეძლება განისაზღვროს მათი შესრულებისათვის რაციონალური სქემა ურთიერთშეთანხმებული მორიგეობა, მანქანათა ტიპები, მუშახელისა მანქანების რაოდენობა, სარემონტო და ტექნიკურმომსახურების საშუალებები სატრანსპორტო ამოცანები, სასაწყობო მეურნეობა და სხვა უამრავი მუშაო, რომლებიც მიმართული იქნება შრომის ნაყოფიერებისა და პრდუქციის ზრდისაკენ და მის წარმოებაზე გაწეული შრომისა და მატერიული ხარჯების შემცირებისაკენ.

მასობრივი მომსახურების თეორია სწავლობს ისეთ პროცესებს, რაც, ერთი მხრივ, მუდაში წარმოიშვება მოთხოვნები რაიმე სამუშაოს რულებაზე (მომსახურებაზე), ხოლო, მეორე მხრივ, მუდმივად ხდება მხოვნების დაქმაყოფილება, ე. ი. სრულდება მომსახურება. მოთხოვნის ზის წყაროს ეწოდება მოსამსახურებელი სისტემა, ხოლო შემსრულებელი მომსახურე; ორივეს ერთად — მასობრივი მომსახურების სისტემა. იგი დგება შემდეგი ელემენტებისაგან: სისტემაში შემავალი ნაკადი (მოთხოვნათა ანუ განაცხადების ნაკადი), მომსახურე ობიექტები (მანქანები, მიზნები, აპარატები), მოთხოვნების რიგი, მომსახურება და გამომავალი ნაკადი.



სოფლის მეურნეობაში მასობრივი მომსახურების სისტემად ჩაითვლება და ყველა წარმოება და წარმოებაში შემავალი რგოლი. თვით კოლმეურნერული რბა ან საბჭოთა მეურნეობა შეგვიძლია განვიხილოთ როგორც მომსახურული მომსახურების სისტემა, ხოლო ბრიგადები, რგოლები, წარმოების საშუალებები კი მომსახურე აბიექტები.

მომსახურებაზე მოსული მოთხოვნების ანუ განაცხადების ნაკადს აქ წარმოადგენს სხვადასხვა პროდუქციის წარმოების გეგმა, ტექნოლოგია და სხვ. წარმოების პროცესში თანდათან ჩნდება მოთხოვნათა სხვადასხვა ნაკადი. მაგალითად, თუ დასაწყისში რაიმე პროდუქციის წარმოების ტექნოლოგია მოთხოვნათა ნაკადს წარმოადგენს, შემდგომში შეიძლება თვითონ გადას მოთხოვნების წარმომშობი წყარო. ტექნოლოგიაში გათვალისწინებული ოპერაციები უკვე ცალკეულ განაცხადს წარმოადგენს, რომლებსაც აუცილებლად უნდა გაეწიოს მომსახურება.

შეცნარის განვითარების ბიოლოგიური პროცესიც განაცხადების უწყვეტი წყაროა. მცენარე სიცოცხლის მთელ პერიოდში წარმოშობს შოთხოვნებს საკვებზე, ქიმიურ დამუშავებაზე, ტენზი, მინერალურ და ორგანულ სასუქებზე, ნიადაგის დამუშავებაზე და სხვა. ამ მოთხოვნების დაკავყოფილება კი ხდება სხვადასხვა მომსახურე აბიექტებით ან მომსახურების სისტემებით.

ანალოგიურად თუ მთლიან სისტემაში მომსახურე აბიექტს ბრიგადა ან მანქანა-ტრაქტორთა პარკი წარმოადგენს, თვით მანქანა-ტრაქტორთა პარკი შეგვიძლია განვიხილოთ, როგორც მომსახურე სისტემა და აბიექტებად კი მანქანების ერთეულები. გარკვეულ შემთხვევაში თვით მანქანა იქცევა მასობრივი მომსახურების სისტემად და მუშა ორგანოები მომსახურე აბიექტებად.

მასობრივი მომსახურების სისტემის ძირითადი ტიპებია უარის (კარგი), ლოდინის და შერეული სისტემა. ეს სისტემები ერთმანეთისაგან განსხვავდება მომსახურე სისტემის მდგრამარეობითა და მოთხოვნაზე ზემქმედების ხასიათით. მასობრივი მომსახურების თეორიის ანალიზური ფორმულების სწორად შერჩევისათვის, წინასწარ საჭიროა დავადგინოთ, თუ რომელ სისტემას ასახავს გამოსაკვლევი რეალური მოვლენა ან პრიცესი.

მთემატიკურად დამტკიცებულია, რომ თუ მოთხოვნათა ნაკადი უმარტივესია (ე. ი. ახასიათებს სტაციონარულობა, ორდინარობა და მერექმედების უქმნლობა) და ცნობილია მისი პარამეტრი λ — დროის ერთეულში შემავალ მოთხოვნათა რაოდენობის მათემატიკური ლოდინი — იგი შევიძლია მთლიანად აღვწეროთ რაოდენობრივად პუასონის სისტემის დახმარებით:

$$P_k(t) = \frac{\lambda t^k}{k!} e^{-\lambda t} \quad (k=1, 2, \dots)$$

სადაც  $P_k(t)$  არის ალბათობა იმისა, რომ დროის  $0-t$  ინტერვალში სის  
მაში შევა კ მოთხოვნა.

თუ შევცვლით  $k$  და  $t$  მნიშვნელობებს, ამ ფორმულით შემცირდება გამოვთვალოთ მოთხოვნათა ნაკადის ყველანაირი მდგრმარების ალბათობა.

ამრიგად, თუ მოთხოვნათა ნაკადი უმარტივესია და ვიცით მისი პირები  $\lambda$ , შევცილია მისი რაოდენობრივი აღწერა ალბათობათა განების ფუნქციის მეშვეობით და ამის საფუძველზე გამოვიტანოთ დაკავშირდების მასობრივი მომსახურების სისტემის ფუნქციონირების ხასიათსა და გაფორმებაზე.

განვიხილოთ კერძო მაგალითი.

განვსაზღვროთ მექანიზებულ ბრიგადაში დასაწვიმებელი აგრძების რაოდენობა. დავუშვათ, რომ მოთხოვნათა ნაკადის საშუალო ინტეგრალი  $\lambda = 2$ , ე. ი. დღეში საშუალოდ ორი ერთეული ნაკვეთი ითხოვდა. ბუნებრივია, რომ მოთხოვნათა მოსვლის, ანუ დაწვიმების მენტები სხვადასხვა ნაკვეთზე შემთხვევითია, ერთმანეთისაგან დამოუდებელი და ქმნის უმარტივეს ნაკადს. თუ მოთხოვნა დაწვიმებაზე არ დაშავოთილდა, მასობრივი მომსახურების თეორიის ენით მოთხოვა იკარგება მას უარი ეთქვა; ამიტომ ეს ამოცანა მიეკუთვნება უარის სისტემას. ნაკვეთზე, რომელიც დროულად არ მოიჩინა, ადგილი ექნება ტენის ინტენსიურ კარგვას, წყალმართვ-ჰეროვანი რეჟიმის დარღვევას და, აქედან მომდინარე, მოსავლის დაზარალებას.

ნაკვეთების დაწვიმებისათვის საჭირო დრო შემთხვევითი სიდიდე რადგან იგი დამოკიდებულია მრავალ ფაქტორზე (დაწვიმების დასაშუალებელი ინტენსივობა, აგრეგატის და ნაკვეთის მდგრამარეობა, ტრაქტორისტის დაწლილიყაცია და სხვა) და შეიძლება ჩავთვალოთ, რომ იგი ემორჩილება მაგნენებლივი განაწილების კანონს. მივიღოთ ერთეული ნაკვეთის დაწვიმებული ხათვის (მომსახურებისათვის) საჭირო დრო  $t_{\text{ამ}} = 1$  დღე).

აგრეგატების რაოდენობის განსაზღვრისათვის ანგარიში ჩავატოვთ  $n = 2, 3, 4, 5$  და 6 მანქანზე და საბოლოოდ შევარჩიოთ ყველაზე ოპტიმური ვარიანტი საერთო ფულადი დანახარჯების მიხედვით.

განვსაზღვროთ პარამეტრი ანუ ერთი მოთხოვნის მომსახურების შუალო დროის განმავლობაში მოსული განაცხადების საშუალო რაოდენობა.

$$\alpha = \lambda \cdot t_{\text{ამ}} = 2 \cdot 1 = 2.$$

იმის ალბათობა, რომ ყველა აგრეგატი თავისუფალი იქნება, იანგარიშება ფორმულით

$$P_0 = \left[ \sum_{k=0}^n \frac{\alpha^k}{k!} \right]^{-1},$$

სიღანაც, თუ ჩავსვამთ მნიშვნელობებს, გვექნება: ორი აგრეგატისათვის  $P_0 = 0,200$ ; სამისათვის  $P_0 = 0,158$ ; ოთხისათვის  $P_0 = 0,143$ ; ხუთისათვის  $P_0 = 0,138$ ; ექვსისათვის  $P_0 = 0,136$ . ალბათობა იმისა, რომ ნაკვეთზე დაწვიმება ვერ ჩატარდება (უასრო ფაქტება), ტოლია

$$P_n = \frac{\alpha^n}{n!} \cdot P_0$$

სიღანაც, თუ ჩავსვამთ მნიშვნელობებს აგრეგატების შესაბამისად, მივიღებთ  $P_n$ -ის მნიშვნელობებს: 0,400; 0,211; 0,095; 0,037; 0,012.

დაწვიმებით დაკავებული აგრეგატების საშუალო რაოდენობა იანგარშება ფორმულით:

$$M = \sum_{k=1}^n k \cdot P_k = \sum_{k=1}^n \frac{\alpha^k}{(k-1)!} \cdot P_0,$$

რომელიც აგრეგატების რაოდენობის შესაბამისად ტოლი იქნება: 1,20; 1,58; 1,81; 1,93; 1,98. აგრეგატის დატვირთვის კოეფიციენტი  $N_d = \alpha/n$  და ტოლი 0,60; 0,53; 0,45; 0,39; 0,33. დაუტვირთვი აგრეგატების საშუალო რაოდენობა  $N_0 = n - M$  და ტოლი 0,80; 1,42; 2,19; 3,07; 4,02. ერთი შეხედული თავისუფალი აგრეგატების უმრავლესობა არახელსაყრელი უნდა იყოს. ამას ეკონომიკური ანგარიში დაგვანახებს.

ეკონომიკური ანგარიშის საილუსტრაციოდ მივიღოთ, რომ აგრეგატის ემსლუატაცია დღეში ლირს 4 ერთეული ( $q_d = 4$ ), გაცდენით გამოწვეული დანახარჯები — 2 ერთეული ( $q_g = 2$ ) და მოსავლის დანაკარგები დაწვიმების დაგვიანების გამო — 10 ერთეული ( $q_\lambda = 10$ ). დანახარჯები იანგარიშება ფორმულით:

$$C_n = (q_d \cdot M + q_g \cdot N_0 + q_\lambda \cdot P_n \cdot \lambda) T,$$

სადაც  $T$  დროის ინტერვალია (ერთი დღე). ანგარიშით მიღებული შეჯები მოცემულია პირველ ცხრილში

### ცხრილი 1

აგრეგატების რაოდენობა	2	3	4	5	6
სარჯები	14,40	13,38	13,52	14,60	16,20

როგორც ცხრილიდან ჩანს, ყველაზე ოპტიმალური ვარიანტია 3 აგრეგატიანი ბრიგადა, რადგან ფულადი დანახარჯები მცირე აქვს. ანალოგიუ-

რად შეიძლება განისაზღვროს აგრეგატების რაოდენობა შეწმული  
კულტივაციაზე, სასუქების შეტანასა და სხვა.

განხილული მაგალითი გვიჩვენებს, რომ მასობრივი მომსახურების ფორმა წარმატებით შეიძლება გამოვიყენოთ სასოფლო-სამეურნეო საწარმო პროცესების დაპროექტებაში.

## ლიტერატურა — Литература

1. Розенберг В. Я., Прохоров А. И., Что такое теория массового обслуживания, М., 1965.
2. Новиков О. А., Петухов С. Н., Прикладные вопросы теории массового обслуживания, М., 1969.



УДК 631.1 : 631.3

А. Л. МЕЛИЯ, О. А. КАРЧАВА

## РАСЧЕТ ЭКОНОМИЧЕСКОЙ ЭФФЕКТИВНОСТИ ОТ ИСПОЛЬЗОВАНИЯ ИЗМЕРИТЕЛЯ ЗАГРУЗКИ И РАБОТЫ АГРЕГАТОВ

Дальнейшее совершенствование конструкций сельскохозяйственных тракторных агрегатов, внедрение автоматизации, улучшение способов эксплуатации машинно-тракторных агрегатов зависит от быстрейшего создания и внедрения средств объективной оценки качественных и количественных характеристик того или иного технологического процесса. Испытания и исследования сельскохозяйственных машин имеют своей главной целью, наряду с выявлением качества выполненной при их помощи работы, повышение эффективности и экономичности их использования в производственных условиях. Оценка качества работы производится исходя из того, насколько данная машина соблюдает те требования, которые предъявляются тому или иному процессу. Оценка же машин с точки зрения экономичности их использования в хозяйственных условиях производится в основном исходя из данных энергооценки.

Кроме указанного, экономичность машинно-тракторных агрегатов и автотранспортных средств непосредственно связана с повышением культуры эксплуатации этих средств.

В свою очередь повышение культуры эксплуатации машинно-тракторных агрегатов и автотранспортных средств зависит от их технического состояния.

В настоящее время имеется большое количество различных устройств контроля технического состояния, которые однако могут быть использованы только в стационарных условиях. Между тем необходимость контроля технического состояния тракторных агрегатов, так и автотранспортных средств непосредственно в процессе их эксплуатации является совершенно очевидной.

При оборудовании тракторных агрегатов и автотранспортных средств работометрами с измерителями загрузки двигателей внутреннего сгорания открываются весьма перспективные возможности: во-первых, экономии горюче-смазочных материалов, во-вторых, энергетической оценки того или иного технологического процесса с последующим выявлением его оптимальных характеристик.

Таким образом, прибор Л. 1 дает возможность проводить энергетические исследования различных агрегатов с целью создания рациональных конструкций и, что самое важное, дает определенный экономический эффект за счет экономии горючего. Это будет пояснено несколько ниже. И в-третьих, дает возможность проведения объективного нормирования расхода топлива в конкретных хозяйствах. Кроме указанного, такое устройство дает возможность определенной экономии денежных средств за счет увеличения гарантийного срока эксплуатации таких агрегатов. При этом, как известно из Л. 3 обеих случаях необходимым является определение произведенной тем или иным средством работы.

Конкретизируя вынесказанное, можно сформулировать пять основных пунктов необходимости разработки и внедрения указанных измерителей в виде:

1. Увеличение сроков межкапитальных ремонтов, что достигается контролем оптимальной загрузки тракторного агрегата (измеритель мощности в эксплуатационных условиях).
2. Повышение производительности за счет улучшения качественных и количественных характеристик тракторных агрегатов, а также поддержание оптимального режима работы (измеритель, испытания и исследования).
3. Повышение норм выработки (дифференцирование в зависимости от конкретных условий) вследствие объективной оценки энергоемкости непосредственно в эксплуатационных условиях.
4. Уменьшение норм расхода топлива (дифференцирование в зависимости от конкретных условий) вследствие объективной оценки энергоемкости непосредственно в эксплуатационных условиях.
5. Уменьшение удельного расхода топлива за счет поддержания экономичного режима работы тракторного агрегата механизмом путем объективной оценки экономичного режима тракторного агрегата прибором — измерителем загрузки.

Расшифровывая каждый из пяти пунктов в приведенной последовательности, а именно увеличение сроков межкапитальных ремонтов, что достигается определением и поддержанием оптималь-

ных нагрузочных режимов тракторных двигателей согласно исследований Л. 2, 3, можно считать, что наиболее выгодным режимом является 90% загрузка тракторного агрегата. При этом согласно данных Л. 4 ожидаемый эффект увеличения сроков межкапитальных ремонтов колеблется в пределах 10% от номинального значения этого срока. Для подсчета денежной экономии указанного эффекта воспользуемся следующим.

Время межкапитальных ремонтов для тракторных двигателей средней мощности, например ДТ-75 составляет около 4000 час.

Для расчета денежного выражения экономии указанного эффекта определим стоимость одного часа использования тракторного агрегата. Стоимость трактора средней мощности приблизительно составляет 1800 руб. Общий срок службы по данным Л. 3 не превышает 8 лет, т. к. срок меж. кап. ремонта 4000 час. и после кап. ремонта трактор работает приблизительно такой же срок 4000 час. то общий срок составляет около 8000 час. Сумма эксплуатационных расходов межкапитального ремонта, капитального ремонта и эксплуатационных расходов после кап. ремонта оценивается приблизительно в 30% от стоимости трактора, т. е. составляет 540 руб. Тарифная ставка механизатора в смену согласно Л. 3 (стр. 80), равна 5 руб. и в час будет  $\frac{5}{7}$ .

Общие затраты на его содержание будут  $\frac{5 \cdot 8000}{7}$ . Следова-

тельно стоимость одного часа пользования трактором может быть определена как  $(540 + \frac{5 \cdot 8000}{7}) : 8000 \approx 1\text{ч}/\text{руб} \cdot 10\%$  меж. кап. ремонта 400 час. составит 400 руб., т. к. трактор в году нарабатывает около 1000 часов, то годовой эффект  $E'_4$  будет равен 100 руб., разумеется за вычетом заработной платы механизатора в теч. 100 час.  $E'_4 = 100 - 100 \cdot \frac{5}{7} = 30$  руб.

Повышение производительности за счет улучшения качественных и количественных характеристик тракторных агрегатов, что является результатом испытаний, доводки конструкции согласно исследований Л. 4 колеблется в пределах от 5% до 10%. Принимая низший предел увеличения производительности, т. е. 5%, можно подсчитать денежное выражение экономии по пункту 2. В течение смены тракторный агрегат выполняет определенный объем работ 6,6 га/см по классу У. Л. З. денежное выражение второго в смену

составляет 7 руб., следовательно стоимость одного га будет

Повышение производительности на 5% дает дополнительную

$$= 0,33 \text{ га, а в течение года } E_u^2 = 0,33 \cdot 15 \cdot \frac{7}{66} = 38 \text{ руб}$$

Повышение точности норм выработки, дифференцирование в зависимости от конкретных условий в следствие объективной оценки энергоемкости непосредственно в эксплуатационных условиях, ис использованием измерительных приборов, согласно данных Л. З возможно (как пишет автор Л. З) на основе:

1. Повышения точности определения удельного сопротивления машин-орудий или удельных энергозатрат.

2. Повышения точности определения оптимальной степени загрузки, тяговых и энергетических показателей тракторов и самоходных сельскохозяйственных машин.

При существующих и применяемых в настоящее время средствах измерений увеличение точности норм выработки возможно в большинстве случаев лишь за счет увеличения числа опытных наблюдений, стоимость которых велика. Стоимость одного опыта по определению удельного сопротивления машин-орудий встремляющимся динамометром РТТК-АФИ составляет 8÷11 руб. При установлении измерителя загрузки и работы непосредственно на тракторе такие издержки отсутствуют. Кроме того, появляется возможность снижения погрешности определения такого нормообразующего фактора, как удельное тяговое сопротивление с  $\pm 7,5\%$  до  $\pm 2,5$ , что в свою очередь приводит к уменьшению погрешности нормы выработки почти в таких же пределах, т. е. на 5%. Увеличению нормы выработки на 5% даст такое же денежное выражение экономии, как и по пункту 2, т. е.  $E_r^3 = 38$  р.

Из выражения  $\frac{\Delta q}{q} = \frac{\Delta Q_{cm}}{Q} + \frac{\Delta W_{cm}}{W_{cm}}$  используемого в Л.З ясно, что погрешность норм расхода топлива выше погрешности норм выработки на величину  $\frac{\Delta W_{cm}}{W_{cm}}$ , т. е. уменьшением указанной величины, как это было показано выше, на 5% мы можем добиться уменьшения погрешности нормы расхода также на 5%, что в свою очередь даст уменьшение нормы расхода горючего также на 5%. Используя данные Л. З таблицы 34 для трактора ДТ-75  $q =$

123 кг/га,  $C_0 = 0,03$  мы можем определить денежное выражение экономии за счет снижения нормы расхода горючего на 0,6 кг/га в течение смены  $W = 6,6$  га/см, т. е. в смену будет сэкономлено горючего  $0,6 \cdot 6,6$  а в течение года  $150 \cdot 0,6 \cdot 6,6 = 600$  кг горючего и денежное выражение от экономии количества этого горючего составит  $600 \cdot 10,03 = 18$  руб. =  $E_r^4$

Для пояснения возможностей экономии горючего по пункту 5 воспользуемся характеристикой, построенной согласно данным таблицы 19, НАТИ  $q_0 = f(N_e)$  и переведенной согласно таблицы 34 в кг/га при  $K_0 = 0,54 \div 0,59$  кг/см<sup>2</sup>;

Наиболее оптимальным режимом работы с точки зрения экономии горючего, так и с точки зрения обеспечения максимальной производительности тракторного агрегата является режим работы агрегата, которая соответствует 90% загрузке двигателя.

В эксплуатационных условиях из-за невозможности в настоящее время определения такой загрузки двигатель часто работает далеко не в экономичном режиме. При поддержании режима работы агрегата, соответствующего загрузке двигателя около 90%, что контролируется прибором, можно добиться экономии горючего на 1 л.

В течение смены тракторный агрегат в среднем нарабатывает около 6,6 га/см, следовательно экономия горючего составит около 6 литров в смену, а денежное выражение экономии в течение года составит  $E_r^5 = 6 \cdot 0,03 \cdot 150 = 27$  руб.

Годовая экономия может быть подсчитана по формуле:

$$\Theta_r = [E_r^1 + E_r^2 + E_r^3 + E_r^4 + E_r^5] - E_h \cdot K_r \cdot B - E_h K_e \quad (1)$$

$E_h$  — нормативный коэффициент экономической эффективности капиталовложений.

$B$  — объем внедрения

$K_e$  — единовременные капиталовложения

$K_r$  — годовые капиталовложения.

В свою очередь для определения калькуляции на стр. 7, приведены составные, детали и узлы механической и электрической частей измерителя.

После определения  $K_r = 140$  руб. по формуле (1),

$$E_r = [(151) - 0,12 \cdot 140] = 129;$$

При серийном производстве, стоимость прибора может быть снижена до 50 рублей.



## Л и т е р а т у р а

1. Мелия А. Л. Цифровой магнитоупругий измеритель загрузки и работы агрегатов. Механизация и электрификация социалистического сельского хозяйства № 10, 1976.
2. Меллер Х. Р.. К вопросу определения оптимальной степени загрузки тракторного двигателя. Сборник научных трудов Эстонской сельскохозяйственной академии № 21, Тарту, 1961.
3. Барам Х. Г., Научные основы технического нормирования механизированных полевых работ. Изд-во «Колос», 1970.
4. Свищевский Б. С., Эксплуатация машинно-тракторного парка, М. Гос. изд. сельхоз. лит., 1958.

შრომის ზითები ღრმაში ორგანიზაცია

საქართველოს სასოფლო-სამურნეო ინსტიტუტის უროვაზი, ტ. 114, 1980

ТРУДЫ ГРУЗИНСКОГО ОРДЕНА ТРУДОВОГО КРАСНОГО ЗНАКА  
СЕЛЬСКОХОЗЯЙСТВЕННОГО ИНСТИТУТА, Т. 114, 1980

УДК 633.72.631.37

თ. თადორაძე, თ. ოდიშვილი

მოხსენება რომანიულადიანი სახელი ჩაის ფოთლის საკრატი აპარატის  
(კვაზა აკუმულატორის) გამოცვის უაღებაზი

უკანასკნელ პერიოდში განსაკუთრებული ყურადღება ეჭვევა ჩაისა  
და სუბტროპიკული კულტურების განვითარებას, ამის ნაოლი დადასტუ-  
რებაა ახლახან საკავშირო მინისტრთა საბჭოს მიერ მიღებული დადგენი-  
ლება სამხრეთული და სუბტროპიკული კულტურების მოსავლიანობის გა-  
დიფების ღონისძიებათა შესახებ. აქ ხაზგამიშულია, რომ დიდი ყურადღება  
უნდა მიექცეს ჩაის ფოთლის კრეფის მექანიზაციას, კერძოდ, უნდა განვი-  
თარდეს და შეიქმნას სამამულო წარმოების ხელის მოტორიზებული ჩაის  
საკრეფი და სასხლავი მანქანები. ჩვენთან უკვე ფართოდ დაინერგა იაპო-  
ნური წარმოების ჩაის ფოთლის საკრეფი და სასხლავი მანქანები. დაჩქარე-  
ბული ტემპით მიღინარეობს სამამულო წარმოების მანქანების შექმნაც.

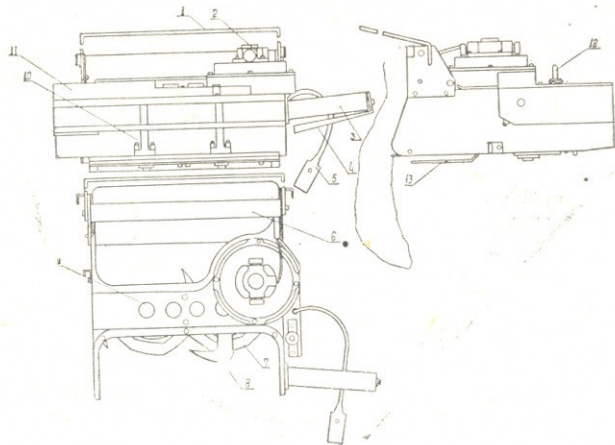
როგორც აღნიშნულ მანქანებზე დაკვირვებამ გვიჩვენა, აპარატებზე  
საგრძნობლად შეიმჩნევა მოძრავი სეგმენტებიანი დანის მიერ წარმოქმნილი  
ინერციის ძალები (ვიზრაციები), რომლებიც სტანდარტით დასაშვებზე მე-  
ტია, რაც ძალზე ღლის მკრეფავს და უარყოფითად მოქმედებს მასზე.

მეორე ძირითადი უარყოფითი მხარეა ის, რომ პლანტაციებში საჭი-  
რო ელექტროქსელის გაყვანა. ეს მოითხოვს დიდ დროს და ძვირი ჭდება.  
შენაცვლა მხარეს იაპონელებმაც მიაქციეს ყურადღება და მათ მიერ  
იქნა შემოთავაზებული პირიზონტალურ სისტემებში მშრუნავი როტაციულ-  
დანიანი ხელის საკრეფი აპარატი RA—B, რომლის კვება წარმოებდა სპე-  
ციალური 12 კგ-ანი აკუმულატორით. აღნიშნული აპარატი გამორიცხავს  
როგორც ინერციის ძალებს, ასევე ელექტროქსელის გაყვანას.

აპარატის მოკლე აღწერა

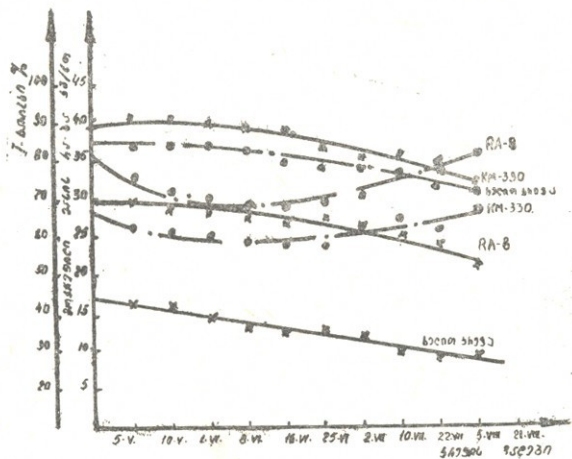
როტაციულდანიანი ჩაის ფოთლის საკრეფი ხელის აპარატი (ცვება  
აკუმულატორიდან) შეღვება შემდეგი ძირითადი კვანძებისაგან კორპუსისა-  
გან (11), ბრტყელი ტიპის ელექტროძრავისაგან (2), გადაცემის კბილანისა-

გან (9), ორი ჰორიზონტალურ სიბრტყეში მოძრავი როტაციული დანისაუ (8), რომლებსაც ვერტიკალურ ღერძებზე განლაგებული აუტოფრენზე (10) ჭრის საწინააღმდეგო დანებისაგან (7), სახელურის ფრენის (11) ტომატური გამომრთველი მოწყობილობისაგან (12), ტომარისაუ



ნახ. 1.

(14), 30-მეტრიანი კაბელისა და დენის წყაროსაგან (აუტომულატორი) (15) აპარატის კონსტრუქცია შესრულებულია შემდეგი თანმიმდევრობით: ტრითალი კორპუსის ზედა მარცხენა მხარეს მოთავსებულია ბრტყელი ტ



ნახ. 2.

ნის ელექტროძრავა 70 ვატის სიმძლავრით, რომლის დაცვიდან კბილანუ გადაცემების (9) გვუფით მოძრაობა გადაეცემა ვერტიკალურ ღერძი (10), რომელთა ბოლოზე ჰორიზონტალურ სიბრტყეში ღასმულია როტაციული დანები (8). გადაცემა ისეა შერჩეული, რომ დანები ლებულ

ბენ 1000—1100 ბრუნს წუთში; დანებს ზემოდან, ამავე ლურძებზე. დამაგრებულია ფრთოვანები, რომებიც ბრუნვის შედეგად ქმნიან ჰაერს, რა ახდენენ მოკრეფილი მასის ტრანსპორტირებას. კორპუსის გამომატებულია ნაწილში არის სპეციალური სამაგრებები (11) ტომარის მისამაგრებლად. ხოლო მარცხენა მხარეს, ძრავის გვერდზე დამონტაჟებულია ავტომატური გამომრთველის ძრითადი კორპუსი და აქვეა ჩვეულებრივი ჩამრთველი (12).

ორივე სახელურებზე მონტირებულია ავტომატური გამომრთველების ბერკეტები (1), რომებიც იმის საშუალებას იძლევა, რომ თუ მკრეფავს გარჯენა ხელში აპარატი არასამედოდ უჭირავს, მაშინ ავტომატი გამორჩავს დანებს და ისინი არ მოძრაობენ, ხოლო თუ მარცხენა ხელში უჭირავს არასამედოდ, მაშინ დანები ბრუნავენ, მაგრამ ძალიან ნედლა.

ძრავის წინა ნაწილიდან (2) გამოდის დენმიმყვანი, რომლის ბოლოს ჟერეტის მიერთება.

### აპარატის მოკლე ტექნიკური დახსასიათება

1. აპარატის ტიპი — როტაციული, ჰერიზონტალურ სიბრტყეში შერუნავი დანებით,
2. მოკრეფილი მასის ტრანსპორტირება—ფრთოვანებით შექმნილი ჰაერის ნაკადით,
3. მოდების უწი — 27,5 სმ,
4. მწარმოებლაბა — 25—30 სმ/სთ,
5. ამძრავი ბრტყელი ტიპის ელექტროძრავა,
6. კვება — აკუმულატორიდან,
7. წონა — 2,9 კგ.

### ძრავა

1. ტიპი — ბრტყელი,
2. ძაბვა — 24 კ,
3. სიმძლავრე — 70 ვტ,
4. ბრუნთა რიცვი — 11000 ბრ/წთ.

### კაბელი

1. ტიპი — სპეციალური გარსაცმით,
2. მავთულების რაოდენობა — 2,
3. სიგრძე — 30,
4. კვეთი — 4 კვადრატი.



- გამოცდის დროს ძირითადად შეისწავლებოდა:
1. პარატის მწარმოებლობა, კგ/სთ,
  2. მოკრეფილი მასის ხარისხი, %,
  3. ბუჩქის დაზიანება, %,
  4. დანაკარგების მოკრეფილ მასაში შემოუსვლელი და ბუჩქების დატოვებული დუყების რაოდენობის მიხედვით, %.

5. დროის დანაკარგები პარატის მომსახურებაზე, სთ.

6. დროის გამოყენების კოეფიციენტი,

7. ყუმულატორის მუშაობის რეჟიმი, მისი მუშაობის ხანგრძლივობა და თავისებურებაზი.

პარატის გამოცდა ტარდებოდა როგორც საველე, ასევე ადგილზე მოწყობილ საველე ლაბორატორიულ პირობებში.

გამოცდის დროს ძირითადად ვხელმძღვანელობდნენ ჩას მანქანების გამოცდის მეთოდიკით OCT-40-152—74.

გამოცდის და დაკვირვებების შედეგები მუშავდებოდა ელექტრონულ გამომტკლელ მანქანზე, ვარიაციულ-სტატისტიკური მეთოდების გამოყენებით.

### 1

### ცხრილი

შრომის მწარმოებლობის მაჩვენებლები საშუალოდ ხუთი კრეფისათვის

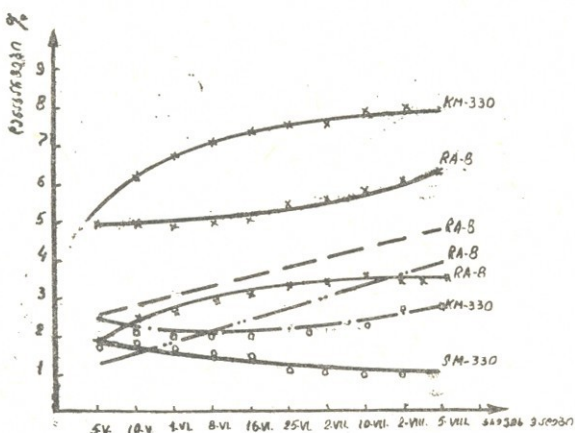
ცდის ვარიანტები	მწარმოებლობის დროში გამოყენების (სუფთა დრო-კოეფიციენტი შ. კგ)	ცდის დროის სათობრივი მწარმოებლობა		
		გგ	%	
ხელით კრეფი (სამოუხილ ორნატორი)	10.0	0,1	70	100
კრეფი პარატი (R 1-1)	25	0,7	175	250
კრეფი პარატი (KM-3.0)	25	0.75	245	150

### გამოცდის შედეგები

როგორც პარატის გამოკვლევის შედეგებმა გვიჩვენა სეგმენტური ტიპის პარატთან შედარებით, როტაციული ტიპის პარატის მოკრეფილი მასის რაოდენობისა (მწარმოებლობის) და ხარისხობრივი შემადგენლობის შესახებ ნათელ სურათს იძლევა მე-2 ნახ. (ცხრ. 1). როგორც დიაგრამიდან ჩანს, RA-8-ის მწარმოებელი, სრული ერთი სათის განმავლობაში, მთელი სეზონის პერიოდში მერყეობს 35 კგ-დან 15 კგ-მდე, საშუალოდ 20—25 კგ. ხოლო KM-330-ისა კი 20—40 კგ-მდე, საშუალოდ 30—35 კგ. როგორც უხდევთ, წარმადობა KM-330-თან შედარებით დაბალია, რაც უნდა აიხსნოს შემდეგი ფაქტორებით: 1) რომ მანქანის მოდების განი მცირეა KM-330-თან შედარებით, 55 მმ. 2) როტაციული დანების მოძრაობა საშუალებას არ იძლევა ვიმოძრაოთ შედარებით ჩქარა, ვიდრე სეგმენტური დანების გა-

მოყენებისას, რაღაც უხეში ფოთლების მოხვედრისას როტაციულ და ზი ჩერდება. 3) ჩეარი მოძრაობის დროს ფრთვანები ვერ ასრულდებან მორეფილი მასის ტრანსპორტირებას.

ხარისხობრივი მაჩვენებლებიდან ჩანს, რომ RA-8-ის ხარისხობრივი მაჩვენებელი მაღალია, ვიდრე KM-330-ის. ეს გამოწეულია იმით, რომ RA-8-ის დანების მუშაობა საშუალებას არ იძლევა ჩეარა ვიმოძრაოთ, ამიტც მკრეფავი იძულებულია იმოძრაოს ნელა და ხარისხიც შესაბამისად დაცლია, ხოლო KM-330-ის გამოყენების სეგმენტები ადვილად სტლევენ წალობას, მკრეფავი უფრო ჩეარა მოძრაობს და ამ დროს ხარისხიც ის 1308ა.



გ. 3.

როგორც მე-2 ცხრ. და მე-2 ნახ. ჩანს RA-8-ს საშუალო ხარისხი რივი მაჩვენებელია 70,2%, ხოლო KM-330—65,8%.

#### ცხრილი

მოკრეფილი ჩაის ფოთლის მექანიური ანალიზის მაჩვენებლები საშუალოდ საშინ კრეფისათვის

ცდის ვარიანტები	ფრაქციის შეცვლობა, %		
	ნ. ზი	მოუხეშო	უხეში
ჭელით კრეფი (სამეურნეო კონტროლი)	75,5	19,7	4,8
კრეფი აპარატით (RA-8)	80,2	20,6	3,2
კრეფი აპარატით (KM-330)	67,2	25,4	7,4

თუ დანაკარგების მიხედვით ვიმსჯელებთ (ნახ. 2), RA-8-ს ძროთა-  
ზე დანაკარგებია ბუჩქზე მოჭრილი დუყების დატოვება და დაფარ-  
ვის ორმაგი ჭრა, ხოლო KM-330-ს აქვს სოლიდური დანაკარგების მიზან-  
რეფილ მასაში ნაზი შემოსული დუყების სახით, რადგან იგი ძლიერ ღრმა-  
ვდება ბუჩქში და იწვევს შემოსული დუყების მოჭრას.

ჩატარებული საველე და ექსპერიმენტული გამოცდების შედეგები-  
ზე შეიძლება გამოვიტანოთ შემდეგი დასკვნები:

1. საჭიროა მანქანის მწარმოებლობის გაზრდის მიზნით გაიზარდოს  
მარატის მოდების განი.

2. მჭრელი აპარატის კონსტრუქცია მოითხოვს სათანადო დახვეწას,  
რადგან ადგილი აქვს ღეროების განივ გადახრას და მოუჭრელად დატოვე-  
ბას, აგრეთვე დუყების ორმაგ ჭრას.

3. გაძნელებულია მოჭრილი მასის ტრანსპორტირება, რადგან ფრთე-  
ზე ვერ ქმნიან ჰაერის საკმარის ნაკადს, ამიტომ საჭიროა სათანადო კონს-  
ტრუქციის შემუშავება.

4. საჭიროა სათანადო შესწავლილი იქნეს დენის წყარო (აკუმულა-  
ტორი), მისი მუშაობის რეჟიმი და შეირჩეს სამამულ წარმოების აკუმუ-  
ლატორი.

5. აპარატი თავის კონსტრუქციით და კვების წყაროთი იმსახურებს  
განსაკუთრებულ ყურადღებას, რადგან მანქანა KM-330 შედარებით მსუ-  
ბუქია, გამორიცხულია მასში ინერციის ძალები. კრეფს უფრო ხარისხო-  
ვნ ჩაის და არ მოითხოვს ელექტროქსელის გაყვანას. ამიტომ მისი გამოყე-  
ნება მიზანშეწონილი და რეალურია, თუ აღმოფხვრილი იქნება ზემოთ  
მიმოთვლილი ნაკლოვანი მხარეები.

ურობის ფითოლი დროშის ორდენისანი

საქართველოს სამოცდო-სამურნეო ინსტიტუტის უროვაზი, №. 114, 1980

ТРУДЫ ГРУЗИНСКОГО ОРДЕНА ТРУДОВОГО КРАСНОГО ЗНАМЕНИ  
СЕЛЬСКОХОЗЯЙСТВЕННОГО ИНСТИТУТА, Т. 114, 1980

УДК 631.37 : 629.114 .2

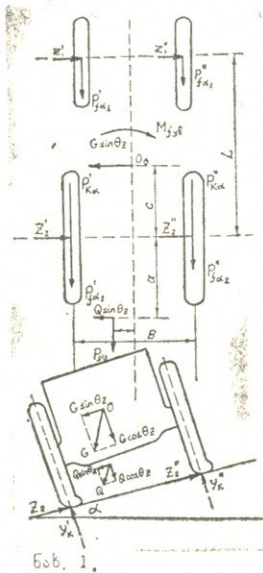
გ. მოსკოვი, 6. ხარაგვილი

თვლიანი ტრანსორების მდგრადობა ცოლხაზობრივი მოძრაობისადმი  
ფარდობები

ფერდობის განვიად მოძრაობისას თვლიან ტრაქტორზე მოქმედებს რიგი ფაქტორებისა, რომლებიც იწვევენ მის გადახრას საწყისი მიმართულებიდან.

მინდვრის ზედაპირის პარალელურ სიბრტყეში ტრაქტორზე მოქმედი სალები მისი სიმძიმის ცენტრის მიმართ ქმნიან მომაბრუნებელ მომენტს, რომელიც ცდილობს შემოაბრუნოს ტრაქტორი ფერდობის დამა. ტრაქტორის სწორხაზობრივი მოძრაობა იჩღვევა, როდესაც ამ მომენტის მნიშვნელობა გადააჭარბებს გვერდცდენის წინალობის მომენტის მნიშვნელობას [1].

მომენტი  $M_{\text{ам}}$ , რომელიც ცდილობს შემოაბრუნოს ტრაქტორი ფერ-



დობის დაღმა, მით მეტია, რაც მეტია ფერდობის დახრა და რაც მაღლა სიძმის ცენტრი. მისი მიშვნელობა მაქსიმალურია ფერდობის უდიდესობის შემთხვევაში [4].

გარდა ამისა, *Csinzcosé* ძალის გავლენით • ხდება ტრაქტორის წინ და უკანა თვლების გვერდცდენა, აგრეთვე ნიადაგის გვერდითი დეფორმაცია და წინა და უკანა ხიდის მოცურება მოძრაობის პროცესში, რომელთა სიღიდე დამოკიდებულია ტრაქტორის წინა და უკანა ხიდზე მოსულ *Csinzcosé* ძალის მდგრელებზე, სადაც  $\alpha$  ფერდობის კუთხეა,  $\beta$  -მოძრაობის მიმართულება.

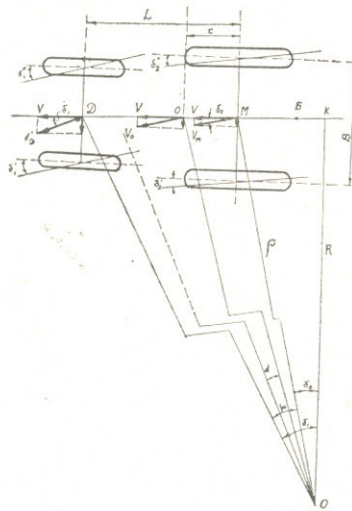
წინა და უკანა თვლების გვერდცდენის  $\delta_1$  და  $\delta_2$  კუთხის სიდიდე და შეკიდებულია აგრეთვე საბურავების კონსტრუქციაზე, საბურავებში წნევაზე ( $P_w$ ), ფერდობის დახრის კუთხესა და მოძრაობის მიმართულებაზე, მანქანა-იარალის წევის წინალობასა და მის მიმართულებაზე.

განვიხილოთ ტრაქტორის მოძრაობა ფერდობის განივად მართვის გარეშე ნეიტრალურ მდგომარეობაში ჩაკეტილი საჭის მექანიზმით (შემთხვევა—მოძრაობა მკვრივ ნიადაგებზე, როდესაც ნიადაგის გვერდით ძრობა და ტრაქტორის მოცურებას არა აქვს ადგილი).

დროის მყის  $t$  მომენტში, როდესაც ტრაქტორი იმყოფება ფერდობის განივად და მიმმართველი თვლები ნეიტრალურ მდგომარეობაშია (ე. ა თვლების დისკოები პარალელურია ტრაქტორის გრძივი სიმეტრიის ღრძის), იმ შემთხვევაში, როდესაც  $\delta_1 \neq \delta_2$ , ტრაქტორის გრძივი სიმეტრიის ღრძი დახრილი იქნება ფერდობის ჰორიზონტალის მიმართ  $\varphi = \delta$ .  $\delta$  კუთხით. ასეთ პირობებში  $t$  დროის ზრდასთან ერთად ტრაქტორის მოძრაობისას მართვის გარეშე, მისი გრძივი სიმეტრიის ღრძით თანდათან გადაიხდება ფერდობისაკენ თუკუთხით და ჰორიზონტალთან შეადგენს  $\vartheta + (\delta_1 - \delta_2)$  სიღიდის კუთხეს. ამ დროს ადგილი ექნება ტრაქტორის როგორც პარალელურ გადაადგილებას თავისთვის მიმართ, ასევე  $\vartheta$  კუთხით გამოწვეულ შემობრუნებას.

განვიხილოთ ტრაქტორის განივი მოძრაობა ფერდობზე მარცხნა დახრით ( $\beta = 180^\circ$ ), როდესაც  $\delta_1 > \delta_2$ ; საწყისად ( $t_0$ ) ჩავთვალოთ ტრაქტორის მდგომარეობა დროის ასეთ მყის  $t$  მომენტში, როდესაც მისი გრძივი სიმეტრიის ღრძი ემთხვევა ფერდობის განივ მიმართულებას (ხო ღრძის, ნა-2). ამ შემთხვევაში ტრაქტორის წინა და უკანა თვლების გვერდცდენის კუთხები  $\alpha$  ღრძის მიმართ შეადგენს  $\delta_1$  და  $\delta_2$ , რადგანაც  $\delta_1 > \delta_2$ , ამიტომ მოძრაობის დაწყებისას ტრაქტორი თანდათან შემობრუნდება ფერდობის მხარეს, ხოლო  $\delta_1$  და  $\delta_2$  კუთხეები იწყებენ თანდათან შემცირებას.

რეტრაქტორს ვამოძრავებთ მართვის გარეშე, ის თანდათან დაიკავებს ფილმის გასწვრივ დაღმა მიმართულებას. ამ შემთხვევაში  $\delta_1 = \delta_2 = 90^\circ$ , სადაც გამოხატავს გვერდდენის კუთხეებს სხვაობას  $\varphi = \delta_1 - \delta_2$ . ეს კი არის კუთხე ტრაქტორის გრძივ ლერძსა და საწყის 0X მიმართულებას შორის.



ნახ. 2.

საწყის მდგომარეობაში მოცემული დახრის ფერდობზე მოცემული პირბებისათვის ტრაქტორის თვლების გვერდდენის კუთხეები მაქსიმალურია; ჩადგანაც ტრაქტორის სიმძიმის ცენტრი ახლოსაა უკანა წამყვან ხიდთ, მიტომ საწყის მდგომარეობაში ფერდობის დახრის კუთხე უფრო ინტენსიურ გავლენას ახდენს უკანა წამყვან თვლებზე, ვიდრე წინაზე. ამიტომ შემთხვევაში მათი სხვაობაც მაქსიმალურია:

$$\delta_{1max} - \delta_{2max} = \Phi_{max}. \quad (1)$$

ამ მომენტში ტრაქტორის თვითნებური მობრუნების რადიუსი მინიმურია და გამოისახება შემდეგი დამოკიდებულებით (ნახ. 2):

$$R_{min} = \frac{L}{tg\delta_{1max} - tg\delta_{2max}} \approx \frac{L}{\delta_{1max} - \delta_{2max}} = \frac{L}{\Phi_{max}}$$

$\dot{\varphi} = \dot{\delta}_1 - \dot{\delta}_2$  კუთხის ცვლილების სიჩქარე ტოლია:

$$\dot{\varphi} = \frac{d\varphi}{dt} = \frac{d(\delta_1 - \delta_2)}{dt} \quad \text{რად/წმ} \quad (2)$$

ხოლო ტრაქტორის თვითნებური შემობრუნების კუთხის სიჩარი  
ტოლია:

$$\omega = \Theta - \frac{d\theta}{dt}$$

¶ კუთხის არსებობის გამო ტრაქტორის მოძრაობა ხდება მრუდხაზოვანი ტრაქტორით. ტრაქტორის მოძრაობის დასახასიათებლად მოსახერხებელია განვიხილოთ მისი უკანა ხილის შუა M წერტილის მოძრაობა.

საწყისი მომენტიდან  $dt$  დროის მონაკვეთში ტრაქტორის წამყვანი უკანა ხილის შუა წერტილი M შემობრუნდება ბრუნვის მყისა O ცენტრის მიმართ  $d\Theta$  კუთხით და აღწერს რკალს, რომლის სიგრძეა

$$dS = \rho d\theta.$$

სადაც  $\rho$  ბრუნვის მყისა რადიუსია.

მეორე მხრივ ტრაქტორის დამყარებული მოძრაობისასა  $v$  სიჩქარით, გვექნება:

$$dS = v dt$$

ამ ტოლობებიდან მივიღებთ, რომ  $d\Theta = \frac{V}{\rho} dt$ . შესაბამისად  $\Theta$  კუთხი რომელზედაც გადაიხრება ტრაქტორის გრძევი ღერძი საწყისი მიმართულებიდან დროის  $t$  მონაკვეთში და ტოლი იქნება:

$$\Theta = \int_0^t d\Theta = \int_0^t \frac{V}{\rho} dt = V \int_0^t \frac{1}{\rho} dt \text{ რად.} \quad (4)$$

M წერტილის მობრუნების მყისა რადიუსის განსაზღვრისათვის ნახაზიდან გვექნება

$$OM = \rho = \frac{R}{\cos \delta} = R$$

მობრუნების მყისა რადიუსი დროის  $t$  მომენტისათვის ტოლია:

$$\rho = R_1 = \frac{L}{\dot{\varphi} t} \quad (5)$$

ვაშინ  $\Theta$  კუთხის მნიშვნელობისათვის მივიღებთ:

$$\Theta = \int_0^t \frac{V}{L} \dot{\varphi} t dt = \frac{V}{L} \dot{\varphi} \cdot \frac{t^2}{2} \quad \text{რად.} \quad (6)$$

რადგანაც ტექნოლოგიური პროცესის შესრულებისას ტრაქტორის

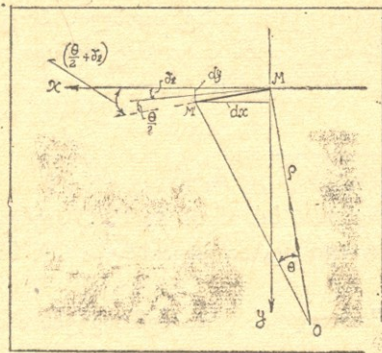
შორის ხდება მართვის მექანიზმით და მისი სიმეტრიის ღერძის გადახ-  
რის სიდიდე  $OX$  ღერძადან (კუთხე  $\varphi$ ) მცირეა, ამიტომ საკმარისი კრიტიკული  
სტირ შეიძლება ჩავთვალოთ, რომ ფერდობის განვივალ მართვით შემდეგი გა-  
ბას კუთხე  $\varphi = \delta_1 - \delta_2$  უცვლელია.

ამის გათვალისწინებით შეიძლება დავწეროთ

$$K = \rho = \frac{L}{\delta_1 - \delta_2} = \frac{L}{\varphi} \quad (7)$$

ამ შემთხვევაში  $\Theta$  კუთხის განსაზღვრისათვის მივიღებთ შემდეგ გა-  
შოსახულებას.

$$\Theta = \int_0^t d\Theta = \int_0^t \frac{V}{R} dt = \frac{V}{L} \varphi t \quad \text{რად.} \quad (8)$$



ნახ. 3.

ტრაქტორის უკანა ხილის შუა  $M$  წერტილის გადაადგილებისას  $dS$  სიდი-  
დის რეალზე ( $M'$  მდებარეობა, ნახ. 3) ამ წერტილის კოორდინატები გადა-  
ადგილდებიან  $x$  და  $y$  ღერძებზე ელემენტარული  $dx$  და  $dy$  სიდიდით, რო-  
მელთა მნიშვნელობაც ტოლია

$$dx = dS \cdot \cos \left( \frac{\Theta}{2} + \delta_2 \right) = \cos \left( \frac{\Theta}{2} + \delta_2 \right) \cdot V dt \quad (9)$$

$$dy = dS \cdot \sin \left( \frac{\Theta}{2} + \delta_2 \right) = \sin \left( \frac{\Theta}{2} + \delta_2 \right) V dt$$

$\left( \frac{\Theta}{2} + \delta_2 \right)$  კუთხის სიმცირის გამო პრაქტიკისათვის საკმარისი სიზუსტით  $M$   
წერტილის კოორდინატებს ექნებათ შემდეგი მნიშვნელობები:

$$x_m = \int_0^t dx = \int_0^t V dt = Vt$$

$$y_m = \int_0^t V \left( \frac{\Theta}{2} + \delta_2 \right) dt = Vt \left( \frac{V}{4L} \varphi t + \delta_2 \right) \quad (11)$$

$x_m$  და  $y_m$  კოორდინატებიდან  $t$  დროის გამორიცხვით მივიღებთ  $M$  წერტალის მოძრაობის ტრაექტორიის განტოლებას კურსის აღდგენამდე

$$y = -\frac{\varphi}{4L} x^2 + \delta_2 x \quad (12)$$

განვიხილოთ შემთხვევა, როდესაც  $\delta_1 < \delta_2$  საწყისი მდებარეობა ის-თვევა, როგორც წინა შემთხვევაში:  $\beta = 180^\circ$  ტრაექტორის გრძივი სა-მეტრის ლერძი ემთხვევა  $Ox$  ლერძს; რაღაც  $\delta_1 < \delta_2$ . ამიტომ ტრაექტორი იმოძრავებს მრუდხაზოვან ტრაექტორიაზე, რომლის ბრუნვის მყისა ცენტრი იქნება მოთავსებული ტრაექტორის მარჯვნივ ფერდობის ზედა მხარეს. ამ შემთხვევაში მობრუნვების რადიუსი  $R$  ტოლია:

$$R = \frac{L}{tg\delta_2 - tg\delta_1} \approx \frac{L}{\delta_2 - \delta_1} = -\frac{L}{\varphi} \quad (13)$$

ტრაექტორის შემობრუნებისას ბრუნვის მყისა  $O$  ცენტრის მიმართ  $d\theta$  კუთხით, მისი სიმეტრიის გრძივი ლერძი გადაიხრება  $OX$  მიმართულებიდან  $d\Theta$  კუთხით.

Theta კუთხის სიდიდე გამოითვლება წინა შემთხვევის ანალოგიურად:

$$\Theta = \int_0^t \frac{V}{\mu} dt = -\frac{V}{L} \varphi t \quad \text{რად.} \quad (14)$$

ამ შემთხვევაში  $M$  წერტილის კოორდინატები იქნება:

$$x_m = \int_0^t dx = \int_0^t V dt = Vt \quad (15)$$

$$y_m = \int_0^t V \frac{-V}{2L} \varphi t dt = Vt \left( \delta_2 + \frac{V}{4L} \varphi t \right) \quad (16)$$

მიღებული 15 და 16 ტოლობები წინას ანალოგიურია. პირველ შემთხვევაში  $y_m$ -ის გამოსახულებაში შემავალი კუთხი  $\varphi$  დადგებითია, მეორე შემთხვევაში კი უარყოფითია.

იმ შემთხვევაში, როდესაც  $\delta_1 = \delta_2 = \delta$ , მაშინ ტრაქტორის მოძრაობის ფორმა უკერდო ყოველთვის პარალელური იქნება ox ღერძის, ე. ი. ტრაქტორის დაადგილება თავისთავის პარალელურად და ამავე დროს თანდათანბით დაშორდება საწყის მიმართულებას (ox ღერძს) ფერდობის მხარეს. ტრაქტორი ამ შემთხვევაში იმოძრავებს სწორ ხაზზე, რომელიც დახრილი იქნება საწყისი მიმართულებიდან ფერდობის მხარეს მ კუთხით. ამ შემთხვევაში M წერტილის კოორდინატები იქნება

$$x_M = \int_0^t V dt = Vt \quad (17)$$

$$y_M = \int_0^t V \cdot \delta dt = \delta V t \quad (18)$$

ზოგადად განხილული შემთხვევების საფუძველზე, ტრაქტორის წამყვანი ხიდის შუა M წერტილის კოორდინატები შეიძლება გამოვსახოთ შემდეგი დამოკიდებულებებით:

$$x_M = Vt \text{ და } y_M = Vt \left( \delta_2 + \frac{V}{4L} \varphi t \right) \quad (19)$$

M წერტილის მოძრაობის ტრაქტორის განტოლებისათვის გვექნება (კურსის აღდგენამდე)

$$y = \frac{\varphi}{4L} x^2 + \delta_1 x \quad (20)$$

თუ გავითვალისწინებთ  $\varphi$  კუთხის მნიშვნელობას, გვექნება

$$y_M = Vt \left[ \delta_2 + \frac{V}{4L} (\delta_1 - \delta_2) t \right] \quad (21)$$

$$y_M = \frac{\delta_1 - \delta_2}{4L} x^2 + \delta_2 x \quad (22)$$

როგორც ცნობილია, გვერდცდენის კუთხეები პროპორციულია მაგრა გამომწვევი ძალის სიდიდის.

$$\delta_1 = \frac{G \cdot C}{L K_{y_1}} \sin \alpha \cos \beta \quad (23)$$

$$\delta_2 = \frac{G(L-C)}{L K_{y_2}} \sin \alpha \cdot \cos \beta \quad (24)$$

შის მხარეს სწორხაზობრივად საწყისი მიმართულებისადმი  $\delta_1 + \mu_1$  კუთხის  
 $y_M = Vt(\delta_1 + \mu_1) > 0$ .  
 4)  $\delta_1 = \delta_2$  და  $\mu_1 > \mu_2$ , ამ შემთხვევაში ტრაქტორი უხვევს ფერდობის  
 გენ

$$y_M = Vt \left( \Psi_1 + \frac{Vt}{4L} \varphi_2 \right) > 0.$$

5)  $\delta_1 = \delta_2$ , და  $\mu_1 = \mu_2$ , ამ შემთხვევაში ტრაქტორი მოძრაობს სწორხაზობრივად. საწყისი მიმართულებისადმი  $\Psi_2$  კუთხით,  $y_M = Vt\Psi_2$ .

6)  $\delta_1 = \delta_2$  და  $\mu_1 < \mu_2$  მაშინ  $\varphi_2$  უარყოფითია, ამ შემთხვევაში  $y_M$  ტოლია:

$$y_M = Vt \left( \Psi_2 - \frac{Vt}{4L} \varphi_2 \right).$$

$y_M$  გერ დადებითია, ხოლო შემდეგ  $t$  დროისაგან დამოკიდებულებთან თანდათან გადავა უარყოფით სიდიდეში. ტრაქტორი შემობრუნდება ჯერ ფერდობის მხარეს, ხოლო შემდეგ ფერდობის ზევით.

7)  $\delta_1 < \delta_2$  და  $\mu_1 > \mu_2$ , ამ დროს შესაძლოა აღგილი ჰქონდეს შემდეგ შემთხვევებს:

ა)  $|\varphi_1| < |\varphi_2|$ , ამ შემთხვევაში ტრაქტორი უხვევს ფერდობისკენ,  $\varphi > 0$  და  $y_M > 0$ .

ბ)  $|\varphi_1| = |\varphi_2|$ , მაშინ  $\varphi = 0$  და  $y_M = Vt\Psi_1$ , ტრაქტორი მოძრაობს სწორხაზობრივად ფერდობისკენ  $\Psi_1$  კუთხით.

გ)  $|\varphi_1| > |\varphi_2|$ , ამ შემთხვევაში ტრაქტორი იწყებს შემობრუნებას ფერდობის ზევით, ვიდრე  $\left( \frac{Vt}{4L} \varphi \right) < \Psi_1$ ;  $y_M$  -ის აბსოლუტური სიდიდე გერიზრდება, ხოლო შემდეგ იწყებს კლებას. გარკვეული  $t$  დროის შემდეგ, რადესაც  $\Psi_2 = -\frac{Vt}{4L}\varphi$ ,  $y_M$  გაუტოლდება ნულს, ხოლო შემდეგ დაიწყებს ზრდას და ტრაქტორი შემობრუნდება ფერდობისაკენ.

8)  $\delta_1 < \delta_2$  და  $\mu_1 = \mu_2$ , ამ შემთხვევაში  $y_M = Vt \left( \Psi_2 - \frac{Vt}{4L} \varphi_1 \right)$ ,  $t$  დროისა გან დამოკიდებულებით ტრაქტორი იწყებს შემობრუნებას ფერდობისაკენ.

შემდეგ კი თანდათან შემოუხვევს ფერდობის ზემოთ.

9)  $\delta_1 < \delta_2$  და  $\mu_1 < \mu_2$ , ამ შემთხვევაში ტრაქტორის გრძელი სიმეტრიი ღერძი მეტად შებრუნდება ფერდობის ზედა მხარეს.

հոցորուց շանեալլուլո Շեմտեզեզեծօճան համն, Երայիտորուս մոժրածօճան  
մըշհածօճան սաֆյուսո մօմարտուլլեծօճան պայլաչէ կայտեսոա (7 ց) Շեմտեզեզեծօճան  
յամն, հոգքսաց ծ<sub>1</sub><δ<sub>2</sub>, μ<sub>1</sub>>μ<sub>2</sub> դա |Φ<sub>1</sub>|>|Φ<sub>2</sub>|. ամ Շեմտեզեզամն ցազուլյած  
ազյոլուս Երայիտորուս մարտզա, զոդրյ և եզա Շեմտեզեզամն.

տվլյեծօճան Շեմտեզեզամն նօալացու ցայերդուու կցրուսա դա մուլյութօճան  
մըշեցած Երայիտորուս մոժրածօճան սփորհեածօճան դազեծօճան ցազլյենակ  
մըշյն 3 ա, ց, 6, 7 դա 8 Շեմտեզեզամնուց.

հաջանաց մոլյեծուլ ցամոսակուլյեծօճան հացուլուրյեծօճան սոլուզյուն վա-  
հմոացցյն ցայերդուունու կուտեցեծօճան, ամուրու Երայիտորութօճան ուրուութօճան  
մըշածօճանս սածուրացամն վեցու սոլուզյուն դա մենյան-արալու վեցու վիճա-  
ռութօճան մօմարտուլլեծօճան ուսց սունցա ուցու Շերիյուլլու, հոմ Երայիտորուս ոնարիյ-  
նյեծյց Շեսամլու մայսոմալլու մցցրածօճան ուրուութօճան ցանուած սփորհեա-  
ծօճան մոժրածօճանուածուն.

### Հ Օ Ւ Ր Ա Ծ Կ Ր Ա — Լ ի տ ե ր ա յ ւ ր ա

1. Амельченко П. А., Ксеневич И. П., Гусков В. В., Якубович А.  
И. Колесные тракторы для работы на склонах. М., 1978.
2. Кноров В. И., Кленников Е. В., Шины и колеса. М., 1975.
3. Чудаков Д. А., Основы теории трактора и автомобиля, М., 1972,
4. Хачатрян Х. А. Работа сельскохозяйственных агрегатов на сильно пересеченной местности, Ереван, 1965.

ТРУДЫ ГРУЗИНСКОГО ОРДЕНА ТРУДОВОГО КРАСНОГО ЗНАМЕНИЯ  
СЕЛЬСКОХОЗЯЙСТВЕННОГО ИНСТИТУТА, Т. 114, 1980

УДК 631. 51 : 551. 432

О. В. КИСТАУРИ, В. М. КАВТАРАДЗЕ,  
Г. М. ЧИТАЯ

НЕКОТОРЫЕ ВОПРОСЫ УЛУЧШЕНИЯ ВЫСОКОГОРНЫХ  
ЛУГОВ ГРУЗИНСКОЙ ССР

Неуклонный рост потребности населения в продуктах животноводства требует постоянного укрепления кормовой базы. Кормовая база животноводства состоит из множества компонентов, среди которых необходимо выделить естественные угодия — природные сенокосы и пастбища. Статистика указывает, что природные луга являются источником самых дешевых кормов — сена и зеленого корма и составляют почти 90% этих кормов в балансе рациона животных.

Партия и правительство, отмечая высокое значение природных кормовых угодий в постановлениях мартовского (1965 г.), майского (1966 г.) Пленумов ЦК КПСС и ХV съезда КПСС указывает на необходимость повышения продуктивности этих угодий путем их улучшения.

Особенно высоко значение природных кормовых угодий в условиях отгонного животноводства, когда почти половину года скот находится на летних пастбищах. Исходя из вышеизложенного значение сенокосов и пастбищ для Грузинской ССР и особенно для Тетрицкарайского района очень высоко и требует всестороннего изучения.

Природные кормовые угодия в нашей стране занимают свыше 370 млн. га, из них свыше 300 млн. га пастбища.

Однако несмотря на такие площади, огромные потенциальные возможности пастбищ используются далеко не в полной мере, причиной которого в основном является их низкая урожайность. Низкая урожайность природных кормовых угодий обусловливается отсутствием ухода за ними, зарастанием кустарником и мелколесью, заболоченностью, засорением камнями и кочками.

В нашей республике основным составляющим природных кор-

мовых угодий являются высокогорные луга и пастбища, расположенные свыше 2000 м, в субальпийской и альпийской зонах.

Высокая питательность пастбищной травы дает возможность в горных пастбищах, без подкормки концентратами, за пастбищный период получить от высокоудойных коров по 20 кг молока в сутки. Но из-за вышеотмеченных причин значительно ограничено количество скота, полностью удовлетворяемое этими угодиями.

Основная причина низкоурожайности высокогорных (альпийских и субальпийских зон) кормовых угодий—это закочкоренность лесных и лесостепных районах СССР насчитывается более 2-х тысяч закочкоренных сенокосов и пастбищ. Кочки сокращают полезную площадь природных угодий, снижают урожайность и затрудняют использование машин при кормозаготовке. На горных лугах закочкоренные луга передко занимают большие площади, к примеру Грузии 24000 га, а в Тетрицкароиском районе 2000 га. Характерны для закочкоренных участков в Тетрицкароиском районе является сенокосно-пастбищное угодье «Бедени». «Бедени» расположено на высоте 200 м над уровнем моря, в субальпийской зоне и занимает около 3000 га. Основной причиной низкоурожайности этого массива являются кочки.

Проверенные экспериментальные исследования показали, что закочкоренность Беденского пастбищно-сенокосного угодья составляет  $28+30\%$  на га. Местами встречаются участки засоренности до  $50+60\%$  на га. Обследованные кочки относятся в основном к смолянистым муравейникам. Высота кочек колеблется от 25 до 40 см, но встречаются кочки и высотой до 60 см. Диаметр кочек колеблется от 60 до 80 см, но местами встречаются и диаметром до 100 см. Плотность почвы в кочках не превышает плотность поверхности слоя лугов дернины. Поддерниинный слой более рыхлый с уменьшенным сопротивлением. Характеристика кочек указывает, что технология их уничтожения должна состоять из операции срезки корне, разрыхления и разравнивания на поверхности. Но необходимо предусмотреть, что после срезки остаются оголенные участки, на которых особенно легко развиваются сорняки, которые могут служить основанием для осоковых кочек, сопротивление которых очень высоко и их уничтожение требует более сложной технологии. Поэтому оголенные участки следует засеять травосмесью одновременно с уничтожением кочек. Исследования показали, что унич-

жение кочек необходимо осуществить технологией, состоящей из следующих операций:

1. Срезка кочек на корне.
2. Нарушене внутренних связей кочки — разрыхление.
3. Разравнивание разрыхленной массы.
4. Подсев травосмеси на оголенных участках.

При этом агротехника не допускает повреждение существующего травостоя на остальной поверхности луга, что ставит особо жесткие условия к разработке конструкции машин, предназначенных для осуществления вышеуказанной технологии.

Существующие серийные машины не дают возможности осуществить технологию за один проход, что приводит к увеличению периода уничтожения кочек, а это обстоятельство в высокогорных условиях весьма существенно из-за малого вегетационного периода. Нами создана конструкция кочкореза, позволяющая осуществление этой технологии за один проход.

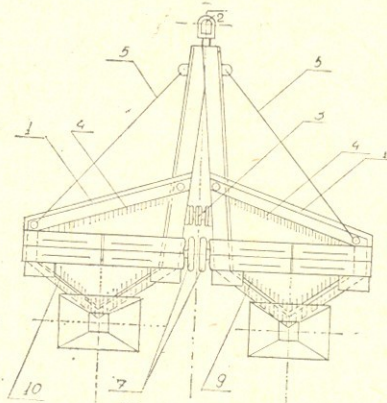


Рис. 1. Кинематическая схема кочкореза,

1. Основание. 2. Прицепное устройство. 3. Опорно-регулировочное устройство. 4. Вертикальные. 5. Боковые тяги. 7. Приводное колесо. 9. Улавливающие пазухи. 10. Поддерживающие пальцы.

Кочкорез состоит из основания 1, выполненного из балок в виде пары волокуш якореобразной формы, шарнирно соединенных между собой в точке прицепки 2 с тягачом и снабженных опорно-регулировочным устройством 3, установленным с внутренней стороны каждой волокушки. Раздельность волокуш обуславливается лучшим копированием рельефа местности. Режущими органами кочкореза являются вертикальные ножи 4 с тупым углом вхождения в почву,

которые крепятся к поперечной балке, и паярусно расположены горизонтальные лезвия. Срезанная масса попадает в пазухи улаввателя 9, с помощью поддерживающих пальцев 10, удерживаемым до полного измельчения и планирования.

В конструкции предусматривается установка специального севающего аппарата 6 для внесения одновременно со срезанием кочек семян трав и необходимых удобрений, благодаря чему урожайность трав на опытных участках повысилась до 60 %.

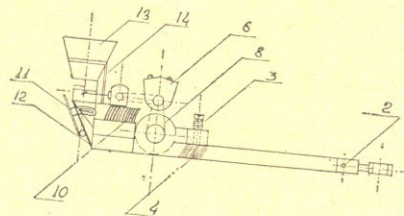


Рис. 2. Кинематическая схема высевающего аппарата, 2. Прицепное устройство, 3. Опорно-регулирующее устройство, 4. Вертикальные ножи, 6. Высевающий аппарат, 8. Передача привода, 10. Поддерживающие пальцы, 11. Дозатор минеральных удобрений, 12. Подающий механизм, 13. Бункер минеральных удобрений, 14. Передача.

Приводом к высевающему агрегату служит цепная передача от приводных колес 7. Высевающие аппараты устанавливаются каждой полураме агрегата.

Агрегат изготовлен в Тетрицкаройском МЖС, испытания прошли на участке «Бедени», в агрегате с трактором Т-100 МГС.

Испытания показали, что технология уничтожения кочек агрегатом выполняется качественно. Кочки уничтожаются полностью а растительность на оголенных местах появляется в тот же вегетационный период.

В период внедрения агрегатом улучшено лугов на площади 6 га и экономический эффект составил приблизительно 23110 руб. год.



УДК 633, 72 : 631· 37.

З. Г. ШХВАЦАБАЯ, Т. Я. ЛАЛАШВИЛИ

## К ВОПРОСУ ПРИМЕНЕНИЯ КАБЕЛЬНОЙ ЭЛЕКТРОСЕТИ ДЛЯ ПИТАНИЯ РУЧНЫХ ЭЛЕКТРОМОТОРНЫХ ЧАЕСБОРОЧНЫХ И ПОДРЕЗОЧНЫХ МАШИН

Больших успехов добились в 1979 году чаеводы нашей республики. Они сдали государству 454 тысяч тонн сортового листа вместо запланированных 400 тысяч тонн. Эти успехи потребовали от них значительных усилий, так как почти 85% его было собрано вручную. Уровень механизации сбора пока что мал и оставляет желать лучшего.

Как известно, механизация работ на чайных плантациях, расположенных на ровной местности в основном решена. Однако имеющиеся машины не пригодны для работы на небольших по размеру и сложных по контуру участках, расположенных на крутых склонах, т. е. таких, которые составляют около 80% общей площади чайных плантаций республики.

В настоящее время ведутся большие работы по созданию комплекса машин так называемой малой механизации сбора и подрезки чая, которая эффективно вошла в чаеводство республики и удивляет высокими темпами развития.

В соответствии с постановлением Совета Министров республики 1979 года «Грузсельмаш» начал массовое производство отечественных ручных чаесборочных и подрезочных машин с питанием от преобразователей и бензогенераторов.

Как показала пятилетняя практика применения имеющихся различного типа (по энергопитанию) машин, они отличаются как достоинствами, так и недостатками.

Тем не менее бензомоторную машину, имеющую некоторые преимущества перед электромоторными, все же не следует рекомендовать для широкого применения в силу того недостатка, что

вес закрепленного на спине мотора, его вибрация, шум и выхлопные газы утомляют рабочего и влияют на его здоровье.

Электромоторные машины, с питанием от переносного тяжелого бензогенератора, хотя несколько облегчают труд рабочего, однако отличаются общим с бензомоторными машинами недостатком — работой на смеси бензина с моторным маслом, что во много раз дороже стоимости электроэнергии, если ее получают от электросети. Кроме того, эксплуатация и ремонт бензодвигателей и генераторов сложны.

Более надежной и экономически эффективной для питания чайных электромоторных и подрезочных машин на сегодня является электросеть, протянутая на столбах внутри чайных плантаций.

Но и она имеет свои недостатки, а именно: на постройку воздушной электросети напряжением 220 В требуется: а) большое количество дефицитных деревянных опор; б) много времени на ее строительство; в) крупные капиталовложения. А эти деревянные опоры ВЛ должны изготавливаться из лиственницы зимней рубки или хорошо пропитанной антисептиками сосны, так как в субтропическом климате с повышенной влажностью в противном случае уменьшается их прочность. Кроме того, монтаж воздушных линий является трудоемкой работой, требующей заготовки и сборки опор (включая их оснастку траверсами, штырями и изоляторами), установки их, включая земляные работы, водружение, выверку, закрепление, раскатки проводов, подъема, соединения, натягивания и закрепления их на опорах. Среди усложняющих обстоятельств надо упомянуть и то, что расстояния между опорами диктуются не только техническими причинами, но и экономическими. Если увеличить, например, расстояние между опорами, то тогда соответственно уменьшится число опор и изоляторов по, из-за резкого увеличения механической нагрузки на опоры, складывающейся из массы проводов и возможного воздействия ветра, потребуется увеличить прочность самой опоры, а также сечение проводов и следовательно, большой степени и расходы.

Если же сократить расстояние между опорами, провес проводов станет меньше и можно уменьшить высоту опор. Однако это вызывает увеличение количества опор и общая стоимость линии возрастает. Наиболее приемлемыми, очевидно, являются пролеты между опорами в 45 м.

Среди усложняющих причин нельзя не учесть и то, что покрытие сетью неизолированных проводов напряжением в 220 В десятков тысяч гектаров чайных плантаций чая, не очень отвечает соображениям

техники безопасности и связано с ремонтом и уходом за сетью.

Избежать всех этих недостатков можно при условии если на чайных плантациях вместо воздушной электрической сети прокладывать наземную кабельную сеть по схеме, разработанной на кафедре уборочных машин Грузинского СХИ.

Кабель прокладывается вдоль шпалер чая, над корнями кустов, примерно на высоте 20-25 см от земли. Через каждые 40 м на кабель устанавливаются штепсельные коробки, которые закрепляются на стойках, расставленных на плантациях в шахматном порядке.

Таким образом, питание ручных машин, которые состоят из преобразователя с двумя выходами и двух чаесборочных или чаеподрезочных аппаратов с микродвигателями (рис. 1), с общей

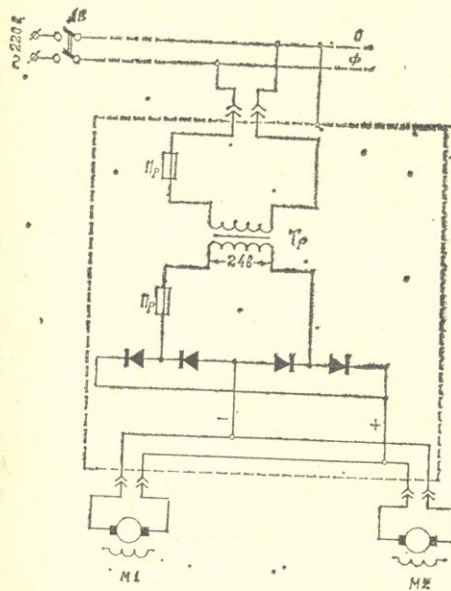


Рис. 1

мощностью 140 вт осуществляется от этой наземной однофазной кабельной линии.

На рис. 2 показана однолинейная электрическая схема наземного питания на чайной плантации размером  $500 \times 300$  м — 15 га.

Схема состоит из девяти продольных линий, пролегающих по центру чайных шпалер и отстоящих друг от друга на 40 м.

Питание этих шпалерных линий осуществляется подземным коллекторным кабелем, пролегающим поперек их в начале плантации. Оно производится посредством надземных ответвительных коробок, снабженных однополюсными автоматическими выключателями, ко-

торые служат как для селективной защиты, так и для выключений отдельных линий в нерабочие часы.

Как уже говорилось, через каждые 40 м на каждой шпалерной

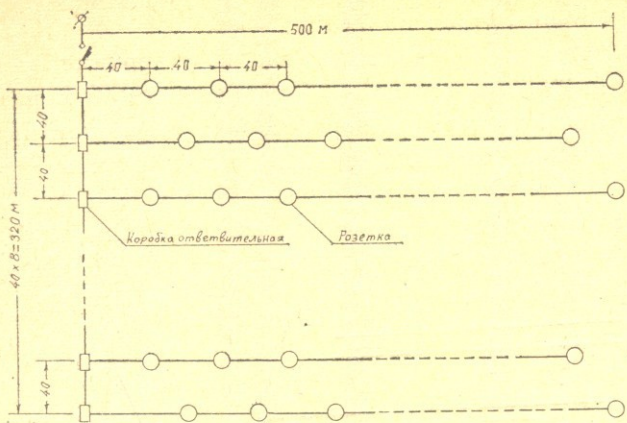


Рис. 2.

линии установлены коробки со штепсельными розетками, смонтированными на стойках.

Задача шпалерных линий плантаций и подключение их к внешнему источнику питания осуществляется двухфазным автоматическим выключателем.

#### Расчет шпалерных линий по допустимой потере напряжения

Для расчета одной шпалерной линии рассмотрим рис. 3, на котором изображена однополинейная схема питания чаесборочной или чаепро-

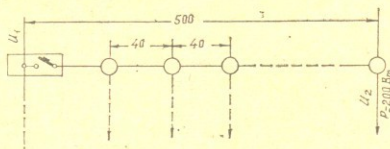


Рис. 3

резочной машины. Ввиду того, что максимальное расстояние от коллекторного кабеля до места нагрузки (скажем, от чаесборочной машины) определяется длиной чайной шпалеры, что в нашем случае составит приблизительно 500 м, нельзя пренебречь падением напряжения в проводах. Падение напряжения при прохождении вторичного тока  $I$  составит:

$$\Delta U = Ir = I \frac{2l}{\sigma \cdot S}$$

где  $r = \frac{2l}{\sigma \cdot S}$  активное сопротивление обоих проводков линии,

$l=500$  м — длина одной ветви линии;

$\sigma$  — удельная проводимость провода;

$S$  — номинальное сечение провода.

Разность напряжения в начале и конце линии  $U_1 - U_1$  показывающая падение его в линии, является потерей напряжения, т. е.

$$U_1 - U_2 = \Delta U = J_r$$

Дозволенная потеря  $\Delta U$  здесь равна допустимому колебанию напряжения на приемниках энергии, которая для электродвигателей составляет  $2 \div 5\%$  номинального напряжения приемников.

Для расчета сечения проводов линии рассмотрим работу аппарата в конце шпалеры, т. е. когда  $l=500$  м. Напряжение питания линии  $U_1=220$  В на входных зажимах трансформатора не должно упасть ниже  $U_2=220$  В, что соответствует наихудшим условиям работы, ибо в этом случае трансформатор работает на последней ступени диапазона регулирования.

Таким образом, в конце линии напряжение

$$U_2 = U_1 - \Delta U = 220 - 10 = 210 \text{ В}$$

допустимая потеря напряжения в процентах

$$e = \frac{\Delta U}{U_1} \cdot 100\% = \frac{10}{220} \cdot 100 = 4,76\%$$

Если по каждой шпалерной линии протянуть одинаковые алюминиевые провода по всей длине, сечение их можно определить по уравнению:

$$S = \frac{2P \cdot l}{\sigma \cdot e \cdot U_2^2} \cdot 100 \quad (3)$$

где  $P=200$  вт максимальная потребляемая мощность трансформатора, нагруженного двумя аппаратами;

$e=32 \cdot 10^{-6}$  сим/м — удельная проводимость провода.

При расчете формулы (3) для алюминиевого провода получаем:

$$S = \frac{2 \cdot 200 \cdot 500}{32 \cdot 10^{-6} \cdot 4,76 \cdot 210^2} \cdot 100 = 2,97 \text{ мм}^2$$

В таблицах длительно допустимых нагрузок на алюминиевые

проводы с резинкой или полихлорвиниловой изоляцией выбираем ближайшее стандартное сечение: оно в случае двух одножильных алюминиевых проводов составит  $S = 4 \text{ мм}^2$ .

Следовательно в наших условиях можно применить следующие кабели  $2 \times 4 \text{ мм}^2$ : АПВГ — С; АПсВГ — С; АВВГ — С; АПвБГ, которые применяются в сельских электроустановках при отсутствии механических воздействий на кабель в электросетях при номинальном напряжении 500-660 В переменного тока. Кабели прокладываются в предохранительном шланге.

### Расчет коллекторных проводов по допустимой потере напряжения

Для расчета коллекторного кабеля по допустимой потере напряжения, рассмотрим схему, показанную на рис. 4.

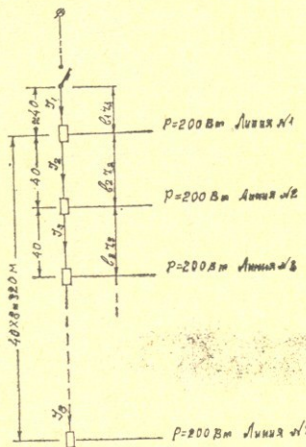


Рис. 4

Падение напряжения  $\Delta U$ , как в предыдущем расчете, равно разности напряжения в начале и в конце линии, оно может быть найдено по закону Ома.

$$\Delta U = U_A - U_B = 2I_1 r_1 + 2I_2 r_2 + \dots + 2I_8 r_8$$

Как видим, падение напряжения удваивается, так, как оно имеет место в обоих — прямом и обратном проводах.

Наконец, если падение напряжения выразить в вольтах, то:

$$\Delta U = \frac{U_{\text{н}} \cdot \Delta U_{\text{д}}}{100} = \frac{220 \cdot 5}{100} = 11 \text{ В}$$

тогда сечение коллекторных проводов можно вычислить по уравнению:

$$S = \frac{2}{\sigma \Delta U \cdot U_n} \quad \Sigma Pl = \frac{2}{32.1 \cdot 6 \cdot 11 \cdot 22}.$$

$$\begin{aligned} & (1800 \cdot 40 + 1600 \cdot 40 + 1400 \cdot 40 + 1200 \cdot 40 + 1000 \cdot 40 + \\ & + 800 \cdot 40 + 600 \cdot 40 + 400 \cdot 40 + 200 \cdot 40) = 9,29 \text{ мм}^2 \end{aligned}$$

По таблицам выбираем ближайшее стандартное сечение. В случае двух одножильных проводов, проложенных в земле наиболее соответствующим будут кабели силовые с алюминиевыми жилами с изоляцией из ПВХ пластика или ПЭ в ПВХ оболочке для сельского хозяйства марки: АВГ — С, АПВГ — С; АПсВГ — С.

### Мероприятия для обеспечения безопасности работы с аппаратами

Система 320/220 В, получившая преимущественное распространение в сельских установках, имеет повышенное напряжение между фазами, которые при несоблюдении соответствующих условий, может оказаться опасной для людей. Основным условием обеспечения безопасности этой системы является заземление нейтрали, а также нулевого провода на трансформаторных подстанциях.

Повторные заземления нулевого провода воздушных линий устанавливают также в местах разветвления линии и, кроме того, через каждые 500 м на неразветвленных участках.

Сопротивление заземления нейтрали трансформатора мощностью 100 кВА и ниже должно быть не более 10 Ом, а при больших мощностях не более 4 Ом.

Сопротивление повторных заземлений в первом случае не должно превышать 30 Ом, во втором случае не должно превышать 10 Ом.

Все металлические части установок, корпуса эл. двигателей, аппаратуры и т. д. должны иметь соединение с заземленным нулевым проводом.

При этом, в цепи нулевых проводов не должно быть выключателей и предохранителей. Однополюсные выключатели устанавливают в рассечке фазового, а не нулевого провода.

Металлические корпуса выключателей, распределительных коробок, стоек и т. д. соединяют с нулевым проводом отдельным проводником.

Штепсельные розетки в сети 380/220 В применяют без предохранителей. Если двухполюсные розетки служат для соединения

приемников с корпусами, подлежащими соединению с нулевым проводом, то они должны иметь третий контакт, а штепсельные вилки — третий стержень.

Этот стержень делают выше остальных для того, чтобы при подключении устройства в сеть он первым входил в соединение с нулевым проводом. Шнур от штепсельной вилки до приемника подлежащего соединения с нулевым проводом применяют трехжильный. На рис. 5 показана шпалерная коробка с двухполюсной штепсельной розеткой.

При эксплуатации чаесборочного или подрезочного устройства преобразователи напряжения снабжены двухполюсными вилками, которые имеют третий стержень, а розетка третий контакт, соединяющий корпус преобразователя с нулевым проводом. Кроме того, шпалерные коробки устанавливаются на металлических трубах (стойках), расставленных в шпалерах через каждые 40 м. в шахматном порядке, служащий в тоже время для местного заземления. Каждая стойка отдельным проводом присоединяется к нулевому проводу.

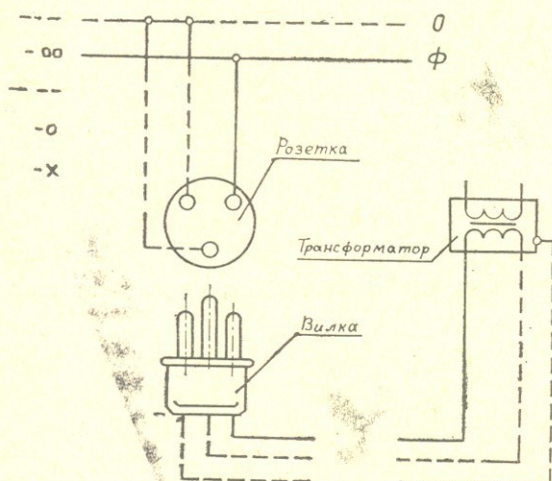


Рис. 5

Сопротивление заземления металлических стоек, забитых в грунт, определяется по следующей формуле:

$$R_{cm} = - \frac{\rho}{2\pi h} \cdot l_s \cdot \frac{4h}{d} \text{ Ом} \quad (4)$$

где  $\rho = 3,5 \cdot 10^3$  ом·см — удельное сопротивление глинистого грунта;

$h$  — глубина погружения стойки в грунт, см.

$d$  — наружный диаметр трубы, см.

Подставляя величины в формулу (4) получим:

$$R_{ct} = \frac{3500}{2 \cdot 3,14 \cdot 30} \cdot \ln \frac{4,30}{33,5} = 23,5 \text{ Ом}$$

что вполне соответствует правилам технической эксплуатации линии.

### Выводы

Кабельная электросеть дает возможность безпрепятственно проводить все агротехнические операции в междуурядьях чая, в том числе и полив дождеванием. В силу того, что кабель укрыт в кустах шпалеры чая, он защищен от случайных механических повреждений. Во время работы рабочего под напряжением находится только та линия шпалеры, где происходит сбор или подрезка чая. Проведенный первый опыт применения строительства кабельной электросети доказал ее удобность в эксплуатации и несложность в ремонте.

По предварительным расчетам постройка наземной кабельной электросети обойдется в 2-2,5 раза дешевле по сравнению со строительством воздушной электросети, сохранив при этом дефицитные деревянные столбы. Исходя из указанного, можно заключить, что весьма целесообразно строить наземные кабельные электросети на чайных плантациях вместо воздушных.

### -- Л и т е р а т у р а

Белоусов Н. И., Саакян А. Е., Яковлева А. И., Электрические кабели, провода и шнуры. Справочник. М., «Энергия», 1979.

Гордон С. В., Монтаж сельских электроустановок. М., «Колос», 1979.

Евсюков А. А., Электротехника. М., «Просвещение», 1979.

ТРУДЫ ГРУЗИНСКОГО ОРДЕНА ТРУДОВОГО КРАСНОГО ЗНАМЕНИ  
СЕЛЬСКОХОЗЯЙСТВЕННОГО ИНСТИТУТА, Т. 114, 1980

УДК 621. 434. 056 : 013 : 6

Г. Д. ТАБОРИДЗЕ

ДВУХИСКРОВОЕ ЗАЖИГАНИЕ АВТОМОБИЛЬНЫХ ДВИГАТЕЛЕЙ

На современном этапе развития двигателестроения, когда на первый план начинают выступать проблемы рационального расходования энергетических ресурсов и сохранения окружающей среды, имеющие глобальное значение, все более отчетливым становится неудовлетворительность стандартных приемов организации процесса сгорания рабочего цикла поршневого двигателя.

В частности, становится более нетерпимым допущение неполного сгорания топлива, что способствует обострению обеих вышеназванных проблем.

Но накопленный более чем за 100 лет опыт эксплуатации двигателей с искровым зажиганием говорит о том, что с обогащением горючей смеси до оптимальных пределов, резко улучшается стабильность работы двигателя, скорость распространения фронта пламени достигает максимальных значений, увеличивается также коэффициент молекулярного изменения продуктов сгорания, поэтому мощность двигателя получается на 8—12% больше, чем при его работе на смесях стехиометрического состава.

Вместе с тем известно также, что наиболее полно теплотворная способность топлива используется, при работе двигателя на т. н. «экономичных», т. е. несколько обедненных ( $\alpha = 1,10 - 1,15$ ), а не на смесях нормального состава.

Причины такого своеобразного протекания процесса трансформации химической энергии топлива в тепловую (в процессе сгорания), а потом и в механическую, кроются в химических, физических и термодинамических аспектах этих преобразований, истинный характер которых до последнего времени оставался не совсем ясным для широкого круга специалистов.

Так, если по известным термодинамическим законам довольно точно можно определить КПД каждого теоретического цикла ДВС то для рабочих процессов реальных двигателей они дают лишь приближенные результаты, т. к. для описания такого важного весьма сложного процесса, каким является сгорание топлива, кроме термодинамических законов равновесных состояний рабочего тела нужно знать точный механизм промежуточных химических преобразований и возникающих при этом физических факторов, которые решающим образом могут влиять на кинетику этих преобразований.

К примеру, до сих пор среди специалистов еще нет единого мнения о механизме возникновения начального очага детонационного взрыва в условиях камеры сгорания поршневого двигателя искровым зажиганием, что свидетельствует о недостаточности наших знаний в этой очень важной области нарушения нормального течения процесса сгорания [1, 2, 3 и 4], задерживающий дальнейший прогресс в деле освоения наиболее рациональных способов управления процессом сгорания.

За последние десятилетия в результате успехов квантовой механики, открытия цепного характера реакции сгорания [5] и развития на их основе нового направления науки — физической химии, стали более продуктивными исследования в области химической кинетики быстропротекающих экзотермических реакций сгорания.

В частности было открыто, что в процессе горения углеводородных топлив, переход компонентов горючей смеси из исходного состояния (A) в конечное состояние продуктов сгорания (C), сопровождается промежуточным состоянием (B), в котором за счет накопленной в течение подготовительных стадий сгорания потенциальной энергии (равной энергии активации — E, компонент смеси), паряду с исходными компонентами, образовывается и т. д.

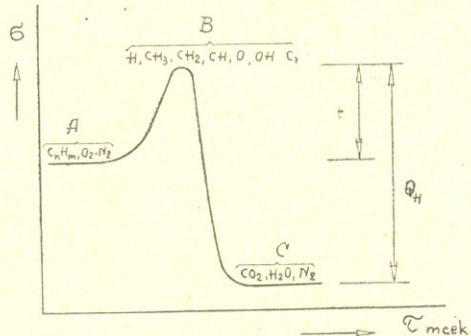


Рис. 1

«активированный комплекс» (рис. 1), состоящий из высокореакционноспособных, но весьма короткоживущих активных центров: атомов, свободных радикалов и обломков молекул, энергия активации которых снижена до минимума (нередко и до  $E=0$ ) [6.7] и которые становятся энергичными инициаторами разветвления элементарных реакций сгорания.

На рис. 1 приведена зависимость реакционной способности ( $\sigma$ ) компонентов горючей смеси от времени ( $\tau$ ) течения реакции сгорания, где:  $E$  — энергия активации исходных компонентов смеси, а  $Q_h$  — тепловая энергия, получаемая в результате трансформации химической энергии топлива при сгорании.

В институте Химической Физики АН СССР, доктор технических наук Л. А. Гуссак, в 1974 году открыл явление образования активированного комплекса с высокой концентрацией активных центров в условиях поршневого двигателя работающего с форкамерно-факельным зажиганием [8].

Он в частности установил, что вопреки рекомендациям теории теплового воспламенения, наилучшую стабильность протекания рабочих циклов, полноту сгорания топлива, наименьшую токсичность продуктов сгорания и динамичное течение горения сильно обедненных горючих смесей, обеспечивается 3%-ой концентрацией активных центров в продуктах неполного сгорания, сильно обогащенной ( $\alpha=0,4-0,7$ ) горючей смеси, выбрасываемых из объема форкамеры ( $V_f$ ) в основную камеру сгорания ( $V_c$ ), температура которых на  $500-800^{\circ}\text{C}$  меньше, чем температура факела продуктов сгорания горючей смеси мощностного состава (когда  $\alpha=0,8-0,9$ ) [6].

При помощи очень тонко поставленных экспериментов были уточнены:

1. Состав активированного комплекса;
2. Предельная продолжительность жизни ( $\approx 10-12$  м. сек.) и оптимальная концентрация ( $\approx 3\%$ ) активных центров в продуктах неполного сгорания в факельной форкамере;
3. Оптимальные значения — перепада давления в предкамере и основной камере сгорания и геометрических размеров соединительных каналов этих камер.

Именно открытие Л. А. Гуссака объясняет, почему при обогащении горючей смеси более стабильно работают и двигатели с искровым зажиганием, имеющие неразделенные камеры сгорания и почему в этих двигателях при сильном обеднении смеси, падение

Скорости сгорания можно предотвратить расслоением заряда в мере сгорания перед его воспламенением, с обязательным расположением обогащенных слоев вокруг электродов свечи зажигания.

В последнем случае необходимым условием нормального теплосгорания является надежное и быстрое формирование мономолекулярного фронта пламени, что обязательно отражается на длительность первой фазы сгорания.

Из проведенных многочисленных экспериментальных исследований известно, о решающем влиянии качества горючей смеси (на продолжительность т. н. фазы невидимого сгорания (т. е. первой фазы).

При снятии регулировочной характеристики по топливу, двигателя установки ИТ9-2 ( $\alpha_{dp} = 100\%$ ,  $n = 900 \text{ мин}^{-1}$ , бензин А-76, индикатор МАИ-2-А), когда во всей камере сгорания (перезаделен цилиндрической формы), горючая смесь была однородной, минимальные значения длительности первой фазы мы получили при  $\alpha = 0.55 - 0.70$ .

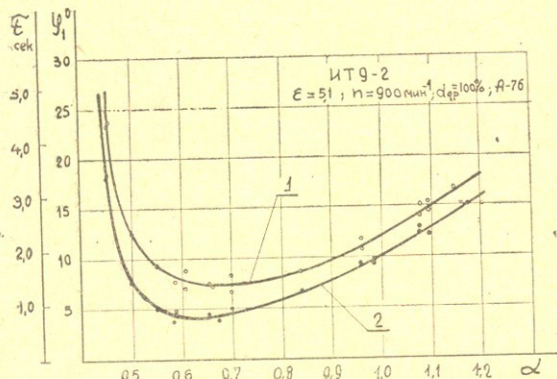


рис. 2

На рис. 2 приведены результаты этих экспериментов  $\varphi_1 \cdot \tau_1 = f(\alpha)$  для  $\varepsilon = 5,1$ .

Нужно предполагать, что именно высокой реакционной способностью активных центров (атомов, свободных радикалов и т. д.) и повышенной их способностью к рекомбинации можно объяснить увеличение длительности первой фазы сгорания более богатых ( $\alpha < < 0,55$ ) одногенной во всей камере сгорания горючей смеси.

Эти характеристики снимались для двух случаев воспламенения: кривая — 1, соответствует работе двигателя с одноискровым зажиганием.

шем ( $\Theta_1 = 17^\circ$  ПКВ), а характеристика-2 режиму с двухискровым воспламенением ( $\Theta_2 = \Theta_1 = 17^\circ \pm 1^\circ$  ПКВ), когда вторая свеча зажигания была установлена в предкамере небольшого объема, расположенной на противоположном, от первой свечи, конце камеры сгорания [11].

Главный критерий интенсификации сгорания — первая ее фаза ( $\Psi_1, \tau_1$ ), на всем диапазоне изменения коэффициента избытка воздуха, более короткой при этом получается, когда двигатель работает с двухискровым зажиганием.

Двухискровое воспламенение, это наиболее простой вариант многонескрового зажигания, кроме содействия улучшению первой фазы процесса сгорания, обладает рядом интересных достоинств, благодаря чему уже давно стал привлекать к себе самое серьезное внимание специалистов.

Так в авиации, на поршневых двигателях, для повышения надежности их работы широко применялось двухискровое зажигание, с двух самостоятельных магнето, которое одновременно повышало скорость сгорания и антидетонационную стойкость двигателей.

На последнее свойство двухискрового зажигания, еще в 20-х годах текущего столетия, обратил внимание Г. Рикардо [9], который в кризисный период развития двигателестроения, когда возникновение детонационного стука стало непреодолимой преградой повышения очень низких значений степени сжатия двигателей тех лет, выступил с предложением применять двухискровое зажигание, как рациональное средство борьбы с детонацией.

Можно полагать, что только открытие Миджеем и Байдом [10] тетраэтильсвинца, как эффективной антидетонационной присадки к топливу, задержало тогда широкое применение двухискрового зажигания на автомобильных двигателях.

После сформирования начального фронта пламени, резко возрастают: массовая скорость сгорания топлива и скорость нарастания давления. Начинается т. н. «видимая» фаза сгорания — линия горения на индикаторной диаграмме  $p=f(\varphi)$  отрывается от линии сжатия и резко направляется вверх.

Эта вторая фаза  $\Psi_2$ , которая длится до момента достижения максимального давления газов, решающим образом влияет на общую продолжительность всего процесса сгорания и на все индикаторные показатели двигателя, т. к. при правильной ее организации, в этой фазе сгорает до 85-95% цикловой дозы топлива.

Продолжительность этого периода бурного тепловыделения резко сокращается при повышении плотности горючей смеси и булизации рабочего заряда, увеличивающей общий поворот реакционной зоны фронта пламени.

Как показали проведенные нами эксперименты, двухисковое зажигание способно резко интенсифицировать процесс сгорания, оказывая комплексное воздействие на его течение.

Особого интереса заслуживает двухисковое-двухфазное зажигание, когда вторая искра подается с большим опережением, чем первая, факел пламени выбрасываемый из предкамеры, выжигает центральные очаги детонационного самовоспламенения турбулизированного заряда горючей смеси в основной камере сгорания, все большее сжимая и уплотняя его до встречи с фронтом пламени идущей первой — основной свечи зажигания.

При этом повышается антидетонационная стойкость двигателя, получается возможность увеличения степени сжатия на 1,0-1,5 единиц, без повышения октанного числа бензина.

Такое двухфазное зажигание очень чувствительно увеличивает интенсивность процесса сгорания особенно при обеднении горючей смеси или при снижении нагрузки двигателя.

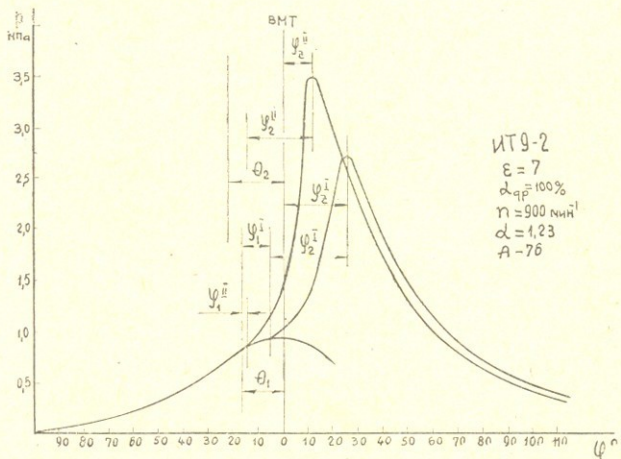


Рис. 3

Индикаторные диаграммы двигателя установки ИТ9-2  
 I — одноисковое зажигание  
 II — двухисковое зажигание

На рис. 3 приведены индикаторные диаграммы —  $p = f(\Phi)$ , полученные нами при работе двигателя на режиме:  $\varepsilon = 7,0$ ;  $n = 900 \text{ min}^{-1}$

ем  $\eta = 100\%$ ;  $t_B = 80^\circ C = \text{const}$  и  $t_M = 70^\circ C = \text{const}$  когда горючая смесь была обеднена до  $\alpha = 1.23$ ; а топливо — бензин А-76.

Первая — (I) индикаторная диаграмма была снята при работе двигателя с одноискровым, а вторая — (II) двухискровым зажиганием.

Длительность первой фазы процесса сгорания, для первого случая равняется  $\tau_1^I = 11^\circ \text{пкв}$  или  $\tau_1^I = 2,06 \text{ мсек}$ ; а второй фазы  $\tau_2^I = 32^\circ \text{пкв}$  или  $\tau_2^I = 5,9 \text{ мсек}$ .

Давление газов в конце сгорания  $P_{1g_1} = 2,7 \text{ МПа}$ , а момент достижения этого давления после ВМТ  $\varphi_z^I = 26^\circ \text{пкв}$ . Средняя скорость распространения фронта пламени при одноискровом зажигании получается равным:  $W_{\text{пл}}^I = 10,7 \frac{\text{м}}{\text{сек}}$ .

Для второго случая, т. е. при работе двигателя на том же режиме с двухискровым зажиганием, вышеуказанные параметры имеют следующие значения: первая фаза процесса сгорания уменьшается более чем в 5-раз и составляет  $\varphi_1^{II} = 2^\circ \text{пкв}$  или  $\tau_1^{II} = 0,37 \text{ мсек}$ ; вторая фаза этого процесса сокращается почти на 19% и составляет  $\varphi_2^{II} = 26^\circ \text{пкв}$  или  $\tau_2^{II} = 4,8 \text{ мсек}$ .

Один из основных параметров, чутко реагирующий на интенсивность протекания сгорания — угол поворота коленчатого вала от ВМТ до момента достижения максимального значения давления газов, также уменьшается (на 56%) и составляет  $\varphi_z^{II} = 11,5^\circ \text{пкв}$ ; а максимальное давление увеличивается на 29% и достигает  $P_{1g_2}^{II} = 3,5 \text{ МПа}$ . В результате значительно увеличивается и скорость распространения фронта пламени достигая значения —  $W_{\text{пл}}^{II} = 16,4 \text{ м/сек}$ .

При двухискровом-двухфазном зажигании можно инициировать эффект т. н. «Ивер-детонации», если вторую искру подавать позже первой — зажигающей горючую смесь, с оптимальным (для одноискрового зажигания) опережением [12].

На основе вышепазванного эффекта, на кафедре «Тракторы и автомобили» ГрузСХИ разработаны оригинальные методы определения октанного числа бензинов и замера средней скорости распространения фронта пламени [13].

## Выводы

1. Для обеспечения полноты сгорания топлива, необходимо обеднять горючую смесь до  $\alpha = 1,20-1,25$  и одновременно осуществлять такие дополнительные мероприятия по интенсификации процесса сгорания, как: расслоение горючей смеси по составу, упражнение свежего заряда перед воспламенением и его турбулизация.

2. При расслоении обедненной горючей смеси в камере сгорания необходимо обеспечить перед ее воспламенением, наличие окислатородов свечи зажигания сильно обогащенный (до  $\alpha = 0,55-0,7$ ) смеси, для получения достаточного активированного комплекса;

3. Двухискровое зажигание является рациональным средством осуществления комплексного воздействия на процесс воспламенения и сгорания обедненных смесей.

## Литература

1. Войнов А. Н., Сгорание в быстроходных поршневых двигателях, М., «Машиностроение», 1977.
2. Соколик А. С. Самовоспламенение, пламя и детонация в газах. М., Изд-во АН СССР, 1960.
3. Вибе И. И., Новое о рабочем цикле двигателей. М., «Машгиз», 1962.
4. Achterberg A.—Ursachen des Klopfens in Verbrennungsmotoren Automobiltechnische Zeitschrift (ATZ), N. 7, 1956.
5. Семенов Н. Н., О некоторых проблемах химической кинетики и реакционной способности. АН СССР, 1953.
6. Вильямс Ф. Н., Теория горения. М., «Наука», 1971.
7. Эвери Г., Основы кинетики и механизмы химических реакций, М., «Мир», 1978.
8. Гуссак Л. А., Радикальный метод форкамерно-факельной организации процесса сгорания, М., Вестник АН СССР, № 8, 1976.
9. Рикардо Г. Р., Быстроходные двигатели внутреннего сгорания. М., ОГИЗ, 1932.
10. Midgley T., Boyd T. A. Methods of measuring detonation in Engines.—SAE Trans., 1922, 17.
11. Таборидзе Г. Д., К вопросу создания рационального автомобильного двигателя, Тбилиси, Труды ГрузСХИ, т. 110, 1979.
12. Таборидзе Г. Д., Эффект Ивер-детонации, Тбилиси, Труды ГрузСХИ, т. XCVI, 1976.
13. Таборидзе Г. Д., Способ измерения скорости сгорания в карбюраторных двигателях — заявка № 696740/25, Госкомитет по делам изобретений и открытий при Совете Министров СССР, (от 20, 01, 1961).



სოფლი-საბერნეო სამართლა ელექტრიფიკაცია

**ЭЛЕКТРИФИКАЦИЯ СЕЛЬСКОХОЗЯЙСТВЕННОГО  
ПРОИЗВОДСТВА**



ТРУДЫ ГРУЗИНСКОГО ОРДЕНА ТРУДОВОГО КРАСНОГО ЗНАМЕНИ  
СЕЛЬСКОХОЗЯЙСТВЕННОГО ИНСТИТУТА, Т. 114, 1980

УДК. 631. 352

В. И. МЕТРЕВЕЛИ, А. К. ДИДЕБУЛИДЗЕ,  
Г. И. МШВИДОБАДЗЕ, Дж. С. СИРАДЗЕ

### ВОПРОСЫ ЭНЕРГЕТИКИ РУЧНОЙ ЭЛЕКТРОКОСИЛКИ

В основу конструкции разработанной кафедрой электрификации ГрузСХИ горной ручной электрокосилки положен снабженный несколькими ножами режущий диск, врачающийся в горизонтальной или наклонной плоскости вокруг оси, перпендикулярной этой плоскости с частотой около  $\nu_p = 4500 \text{ мин}^{-1}$ . Режущий диск монтируется либо непосредственно на валу трехфазного асинхронного короткозамкнутого электродвигателя повышенной частоты тока  $f_c = 200 \text{ Гц}$ , либо применяется также понижающий редуктор. Крепится вся система на конце алюминиевой трубы диаметром до 25 мм и длиной до 2 м, снабженной в конце противовесом. Снабжение косилки электроэнергией производится при помощи гибкого кабеля длиной до 50 м, что позволяет от одной точки присоединения производить работы на площади до 0,2га.

У плосковращательных режущих аппаратов качество среза в сплошной степени зависит от высоты травостоя. Резание твердого тела (стебля) косилочным органом происходит без противорежущей пластины при свободном срезе; при этом скорость ножей в процессе резания  $V_p$  должна быть столь большой, чтобы разрезаемое тело на основании инерционности его массы и статических сил реакции создавало необходимые для среза противодействующие силы. В литературе для  $V_p$  приводятся значения от 40 м/с [7] и выше [5], [6].

Так как горные ручные косилки имеют небольшую ширину захвата и малую производительность, то они должны использоваться в основном для работы на ограниченных площадях. Непрерывная длительная работа с ними утомительна и требует значительных затрат физических сил; однако, несмотря на этот недостаток, руч-

ная косилка найдет применение в стесненных условиях, где не могут работать косилки других типов.

Мощность электродвигателя при работе косилки потребляется на преодоление: сопротивления стебля травостоя срезу; сопротивления воздуха; сопротивления элементов электропривода; трения ротационного рабочего органа об оставшуюся после среза стерню; сопротивления стеблей деформации; трения срезанной зеленой массы о поверхность диска. Последние два вида сопротивления незначительны, если диск наклонен на некоторый угол атаки  $\alpha > 30^\circ$  в сторону поступательного перемещения, а лезвие ножа имеет большую линейную скорость  $V_p$ ; для рассматриваемого случая.

$$V_p = \omega_p R = \frac{\pi n_p}{30} R = \frac{3,14 \cdot 4500}{30} \cdot 0,093 = 43,8 \text{ м/с}, \quad (1)$$

где  $\omega_p$  — угловая частота диска,  $\omega_p = 471 \text{ с}^{-1}$

$R$  — радиус ножа,  $R = 0,093 \text{ м}$ .

В таком случае мощность, потребная для привода режущего рабочего органа,

$$P = \left[ \sum F_{\text{рез}} R \omega_p + Q_3 V_m \cdot V_p^2 \frac{D_p}{2} + (R_n f_v r_0 + 2\tau_t S_{pt}) \omega_p \right] \text{ Вт}, \quad (2)$$

где  $D_p$  — диаметр диска,  $D_p = 0,186 \text{ м}$ ;

$\sum F_{\text{рез}}$  — суммарное усилие резания всеми ножами, находящимися в зоне резания,  $H$ ;

$S_{pt}$  — площадь диска,  $S_{pt} = 0,021 \text{ м}^2$ ;

$R_n$  — сумма реакций в подшипниках,  $H$ ;

$r_0$  — радиус цапфы,  $r_0 = 0,08 \text{ м}$ ;

$f_v$  — коэффициент трения в подшипниках,  $f_v \leq 0,1$  [8];

$Q_3$  — зеленая масса, срезанная с  $1 \text{ м}^2$  сенокоса,  $Q_3 = 0,05 \dots 0,4 \text{ кг}$ ;

$V_m$  — средняя скорость поступательного перемещения,  $V_m \approx 0,5 \text{ м/с}$ ;

$\tau_t$  — удельный момент трения,  $\tau_t = 53 \cdot 10^{-9} \text{ Нм/мм}^2$ .

Чтобы найти  $\sum F_{\text{рез}}$  необходимо определить рабочую высоту  $H$  всех ножей, одновременно участвующих в процессе резания. Каждый режущий нож срезает траву с площади, ограниченной двумя конгруэнтными трахоидами, смещенными в направлении поступательного перемещения (рис. 1).

Параметрические уравнения точек А и С вершины и основания ножа 1, вращающегося вокруг центра О с постоянной угловой час-

тотой  $\omega_p$  и одновременно перемещающегося в направлении оси  $Y$  с некоторой средней скоростью  $V_m$  записывается в виде [3] 

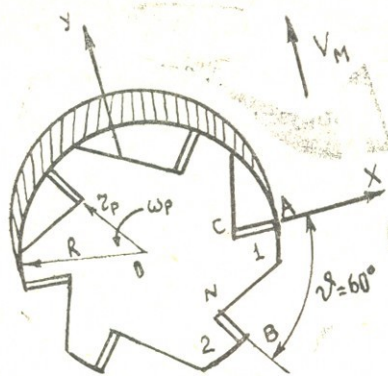


Рис. 1. Схема расчета абсолютной высоты резания.

$$\begin{aligned} x_A &= R \cos \omega_p t; & y_A &= V_m t + R \sin \omega_p t; \\ x_c &= r \cos \omega_p t; & y_c &= V_m t + r \sin \omega_p t. \end{aligned} \quad (3)$$

Те же уравнения для ножа 2, отстающего от ножа 1 на угол  $\zeta = 60^\circ$ , имеют вид

$$\begin{aligned} x_B &= R \cos (\omega_p t - \zeta); & y_B &= V_m t + R \sin (\omega_p t - \zeta); \\ x_N &= r \cos (\omega_p t - \zeta); & y_N &= V_m t + r \sin (\omega_p t - \zeta) \end{aligned} \quad (4)$$

Абсолютная высота для одного ножа тогда рассчитывается путем определения изменяющегося радиального отрезка, заключенного между точками А и В — вершинами двух соседних ножей по известной формуле [4]

$$h_c = \sqrt{(x_B - x_A)^2 + (y_B - y_A)^2}, \quad (5)$$

которая после ряда преобразований и внесения конструктивных параметров режущего диска приобретает вид;

$$h_c \cong V_m \cdot \frac{2\pi}{m\omega_p} \sin \omega_p t = 0,5 \cdot \frac{2 \cdot 3,14}{6 \cdot 471} \cdot \sin 471t, \quad (6)$$

где  $m=6$  — число режущих ножей.

Сумма рабочих высот всех участвующих в срезе травы ножей

$$H = \sum_{i=0}^{m-1} h_c \cong \frac{\pi V_m}{m \omega_p \sin \frac{\pi}{m}} \left[ \cos \left( \varphi_i - \frac{\pi}{m} \right) - \cos \left( \varphi_i + \frac{\pi}{m} \right) \right] +$$



$$+ \cos\left(\frac{3\pi}{m} - \varphi_i\right) - \cos\left(\frac{3\pi}{m} + \varphi_i - \pi\right)\Big], \quad (7)$$

где  $\varphi_i$  — угол поворота диска,  $\varphi_i = \omega_p t$ .  $\frac{2\pi}{m} > \varphi_i > 0$  или в рассматриваемом случае, при  $m=6$ ,  $60^\circ > \varphi_i > 0^\circ$ .

Окончательно, для суммарного усилия резания получаем;

$$\Sigma F_{\text{рез}} = F_c V T H = \frac{F_c \sqrt{T} \pi V_m}{m \omega_p \sin \frac{\pi}{m}} \left[ \cos\left(\varphi_i - \frac{\pi}{m}\right) - \cos\left(\varphi_i + \frac{\pi}{m}\right) + \right. \\ \left. + \cos\left(\frac{3\pi}{m} - \varphi_i\right) - \cos\left(\frac{3\pi}{m} + \varphi_i - \pi\right) \right], \quad (8)$$

или

$$\Sigma F_{\text{рез}} = 10 \cdot \sqrt{10 \cdot 000} \cdot H = \frac{1,12 \cdot 156}{\sqrt{2}} = 1,21 H,$$

где Т — число стеблей, растущих на 1 м<sup>2</sup> сенокоса; для естественных травостоев Т не превышает 10 000, достигая для газонов 20 · 10<sup>3</sup>;  $F_c$  — усилие перерезания одного стебля, которое здесь ориентировочно принимается равным 10Н [3]. Подставляя полученные значения в (8), для первого члена правой части выражения (2) получаем

$$P_{\text{рез}} = \Sigma F_{\text{рез}} \cdot R \omega_p = 1,21 \cdot 0,093 \cdot 471 = 53 B_T.$$

Внося в выражение (2) численные значения и для остальных членов, окончательно получаем для мощности двигателя ручной электрокосилки

$$P = P_{\text{рез}} + \frac{0,4 \cdot 0,5 \cdot 0,186 \cdot 43,8^2}{2} + (10 \cdot 0,1 \cdot 0,008 +$$

$$2 \cdot 53 \cdot 10^{-3} \cdot 0,021) \cdot 471 = 53 + 36 + 4 + 1 = 94 B_T.$$

В соответствии с полученными результатами для косилки был выбран электродвигатель типа АП-21, имеющий номинальную мощность  $P_n = 105$  Вт при номинальном напряжении  $U_{n\Phi} = 36$  В и номинальном токе  $I_{n\Phi} = 2,4$  А [1].

Основной задачей проводившихся лабораторно-полевых исследований ручных электрокосилок было определение рациональ-

ных режимов работы с точки зрения нагрева электродвигателя. С этой целью были сняты токовые нагрузочные диаграммы привода  $I = f(t)$  при кошении травы, которые представлены в виде ансамбля реализаций для пяти случаев.

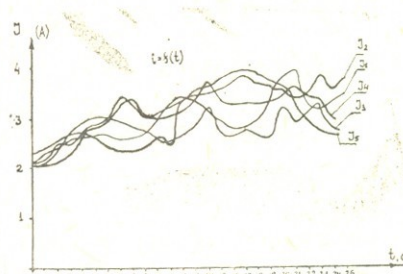


Рис. 2. Нагрузочные диаграммы привода при кошении травы.

Случайные факторы, действующие на рабочий орган — диск, являлись причиной того, что режим работы привода также является случайным. Ток статора двигателя при этом невозможно описать детерминированной функцией времени; очевидно, что случайными в этих условиях являются и частота вращения и мощность. Нерегулярные изменения скорости и нагрузки приводят к тому, что и сопротивление и к.п.д. двигателя есть случайные переменные величины. При этом процесс нагружения привода косилки — нестационарный неэргодический, так как уровень нагрузки и характер ее изменения зависят от характера травостоя, скорости поступательного движения оператора и скорости продольного движения косилки. Характеристики вычислялись усредненно, каждая реализация, полученная в сходных условиях, при этом разбивалась на одинаковое количество участков и ограничивалась моментами начала и конца цикла. По ансамблю реализаций определялась эквивалентная величина тока, т.е. его среднеквадратичное значение при временном усреднении, которое в обозначениях теории вероятностей принимает вид [2];

$$I_3 = \sqrt{\overline{M[I^2]}} \quad (9)$$

Вычисление  $I_3$  было проведено по стандартной программе на ЭВМ «Наири 3-1» и дало для пяти реализаций значения  $I_3 = 2,8 \text{ A}$ ,  $I_2 = 3,0 \text{ A}$ ,  $I_3 = 2,94 \text{ A}$ ,  $I_3 = 2,61 \text{ A}$ ,  $I_3 = 2,73 \text{ A}$ , откуда среднее

значение  $I_{\text{эср}} = 2.8 \text{ A}$ . Некоторое превышение  $I_{\text{эср}}$  над  $I_p$  предста-  
вляется нам вполне допустимым, учитывая наличие изуз. при  
работе оператора, а также особенности, связанные с изготовлением  
опытного образца.

## Л и т е р а т у р а

1. Метревели В. И., Диедбулидзе А. К., Мшвидобадзе Г. И.  
Влияние кабеля на работу электропривода с/х ручного инструмента. Тр.  
ГрузСХИ, т. 101, 1977.
2. Гайдукевич В. И., Мельникова Л. А., Вероятностная обработка ос-  
циллограмм Электрических величин, «Энергия», М., 1972.
3. Фокин В. И., К расчету ротационного режущего аппарата, Тр. ВИСХОМ,  
т. 29, 1961.
4. Долгов И. А., Васильев Г. К. Математические методы в земледельчес-  
кой механике. «Машиностроение», М., 1967.
5. Dobler K Menrkomponenten – Schnittkraftmessung mit Qua-  
rzkristallaufnehmern beim Mahen von Halmgut. „Messtechni-  
sche Praxis“, 1973, L 447.
6. А. С. № 2240679, Франция. Косилка. 1975.
7. Листопад Г. Е., Сельскохозяйственные и мелиоративные машины. М.,  
«Колос», 1976.
8. Ануров В. И. Справочник конструктора-машиностроителя. М., «Ма-  
шиностроение», 1979.



ЗАДАЧІ ГІДРОМЕЛІОРАЦІЇ

## ГІДРОМЕЛІОРАЦІЯ

ТРУДЫ ГРУЗИНСКОГО ОРДЕНА ТРУДОВОГО КРАСНОГО ЗНАМЕНИ  
СЕЛЬСКОХОЗЯЙСТВЕННОГО ИНСТИТУТА, Т. 114, 1980

УДК 532. 543 : 627. 157. 001, 24

О. Г. НАТИШВИЛИ, И. Г. КРУАШВИЛИ

ИССЛЕДОВАНИЕ НЕКОТОРЫХ ВОПРОСОВ ДВИЖЕНИЯ  
НАНОСОНЕСУЩЕГО ПОТОКА С ПЕРЕМЕННЫМ РАСХО-  
ДОМ ВДОЛЬ ПУТИ В ОТКРЫТЫХ ВОДОТОКАХ

Дифференциальные уравнения динамики и переносимости одномерного установившегося движения наносонесущего потока с переменным расходом вдоль пути для неприматических открытых водотоков имеют вид (2):

$$\frac{dH}{dx} = \frac{i - \frac{Q^2}{K^2} + \frac{\alpha C^2 R Q^2}{g \omega K^2} \frac{\partial \omega}{\partial x} - \frac{2 \alpha V}{g \omega} \cdot q}{1 - \frac{\alpha Q^2}{g \omega^3} B} + \\ + \left[ \frac{\alpha V^2}{g} + \frac{K \omega^2}{W} \right] \frac{\sigma}{1 + \sigma S} \cdot \frac{ds}{dx} \quad (1)$$

$$\frac{dQ}{dx} = q \quad (2)$$

где:  $B$  — соответственно ширина на поверхности, глубина и площадь живого сечения наносонесущего потока;

$S$  — средняя по сечению объемная концентрация наносонесущего потока;

$\sigma$  — коэффициент Шези;

$q$  — интенсивность изменения расхода смеси, обусловленная притоком или оттоком фаз вдоль пути;

$V$  — средняя по сечению скорость смеси;

$Q$  — расход смеси;



К — модуль расхода;

$K_1$  — коэффициент учитывающий различие между коэффициентами турбулентного обмена несущей и несомой фаз, зависящий от относительной плотности  $\left( \frac{\rho_t}{\rho_{ж}} \right)$  крупности и формы несомой фазы и объемной концентрации взвеси;

$\sigma$  — безразмерная величина, определяемая соотношением  $\frac{\rho_t - \rho_{ж}}{\rho_{ж}}$

$\rho_t, \rho_{ж}$  — соответственно плотности твердой и жидкой фаз;

$\alpha$  — полный корректив количества движения, учитывающий неравномерность распределения осредненных скоростей, так называемую сацию скоростей по сечению потока;

$i$  — уклон дна водотока;

$R$  — гидравлический радиус;

$q$  — ускорение силы тяжести;

$\nu$  — коэффициент турбулентного обмена смеси;

$W$  — гидравлическая крупность наносов.

Приравнивая нуль числитель уравнения (1), получаем следующее выражение:

$$i - \frac{Q^2}{K^2} + \frac{\alpha C^2 R Q^2}{g^w K^2} \frac{\partial \psi}{\partial x} - \frac{2\alpha V}{g^w} q + \\ + \left[ \frac{\alpha V^2}{g} + \frac{K_2 \nu}{W} \right] \frac{\sigma}{1 + \sigma S} \cdot \frac{dS}{dx} = 0$$

При этом  $\frac{dH}{dx}$  обращается в нуль т. е.  $H = \text{const}$  и зависимость (3) вместе с (2) выражает взаимосоотношение гидравлических элементов потока при постоянной глубине.

Таким образом, хотя  $H$  (глубина) остается постоянной равномерный режим в рассматриваемом случае не имеет места (вследствие изменения расхода, скорости и живого сечения потока вдоль пути).

Ниже рассмотрим два случая интегрирования зависимости (3).

1. Требуется определить уклон дна непризматического поглощающего канала. Допустим, что в поглощающем канале изменение расхода вдоль пути происходит лишь за счет изменения жидкокомпонента смеси. Естественно изменение расхода вызовет увеличение объемной концентрации смеси вдоль движения.

По условиям задачи следует сохранить на всей длине по-

заполняющего канала постоянную среднюю по сечению незасыпавшую скорость.

Принимая во внимание, что  $V = \text{const}$  взамен (2), для равномерноизменяющегося расхода вдоль пути, т. е. при  $q = \text{const}$ , имеем:

$$\frac{d\omega}{dx} = \frac{\partial\omega}{\partial x} = \frac{q}{V} \quad (4)$$

Подставляя (4) в (3) при условии  $\frac{\alpha V^2}{g} \gg \frac{K_2 v}{W}$  получаем

$$i - \frac{Q^2}{K^2} - \frac{\alpha V}{g\omega} \cdot q + \frac{\alpha V^2}{g} \cdot \frac{\sigma}{1 + \sigma S} \cdot \frac{dS}{dx} = 0 \quad (5)$$

Пренебрегая силами трения и заменяя уклон дна канала зависимостью:

$$i = -\frac{dy}{dx}$$

перепишем уравнение (5) в виде:

$$-dy = \frac{\alpha V^2}{g} \left( \frac{d\omega}{\omega} - \frac{\sigma dS}{1 + \sigma S} \right) \quad (6)$$

где  $y$  — координата в любом сечении, отсчитывается от дна заполняющего канала до некоторой условной горизонтальной плоскости.

В результате интегрирования (6) с учетом граничных условий получаем:

$$y_1 - y_0 = \frac{\alpha V^2}{g} \ln \frac{\omega_1 (1 + \sigma S_0)}{\omega_0 (1 + \sigma S_1)} \quad (7)$$

где величины помеченные индексом «0» относятся к начальному участку канала, а индексом «1» к конечному.

Объемные концентрации в створах определяются по зависимости:

$$S_c = \frac{Q_t}{Q} = \frac{Q_t}{Q_t + Q_{ж}} \quad (8)$$

$$S_1 = \frac{Q_t}{Q_t + (Q_{ж} - qe)}$$

Площадь в конечном створе получается в результате интегрирования (4)\*.

$$\omega_1 = \omega_0 - \frac{q}{V} e$$

где:  $e$  — расстояние между сечениями;

$Q_t, Q_{ж}$  — соответственно твердый и жидкий расходы в начальном створе.

Зависимость (7) дает возможность назначить координаты поглощающего канала с постоянной заданной скоростью ( $V=const$ ,  $H=const$ ).

Если в зависимости (7) принять объемную концентрацию чистой пульпы  $S=0$  и  $\alpha=1$ , то получим уравнение проф. И. М. Ковалова для чистого водного потока в виде:

$$y_1 - y_0 = \frac{V^2}{g} \ln \frac{Q_1}{Q_0} = \frac{V^2}{g} \ln \frac{\omega_1}{\omega_0}$$

при условии  $m=0$  (1).

2. Рассмотрим случай движения наносонесущего потока в промышленном русле с постоянной глубиной, т. е.  $\frac{\partial \omega}{\partial x} = 0$ . Уравнение

(3) при условии  $\frac{\alpha V^2}{g} \gg \frac{K_2 v}{W}$  преобразуется:

$$i = \frac{Q^2}{K^2} - \frac{2\alpha V}{g\omega} q + \frac{\alpha V^2}{g} \cdot \frac{\sigma}{1+\sigma S} \cdot \frac{dS}{dx}$$

При условии  $H=const$  в призматическом канале (значит зависимость (12) с  $R, w$  вдоль движения должны быть постоянные, но расход по длине переменный, следовательно уклон дна канала должен быть переменным).

Рассмотрим, как и в предыдущем случае, поглощающий канал, где происходит изменение концентрации и скорости потока по длине за счет изменения лишь жидкого компонента смеси.

Принимая во внимание  $i = -\frac{dJ}{dx}$  из (12) получаем:

$$\frac{d\omega}{dx} = \frac{\partial \omega}{\partial x} + B \frac{dH}{dx}, \text{ так как } H=const \quad \frac{\partial \omega}{\partial x} = \frac{d\omega}{dx}$$

$$\frac{dy}{dx} + \frac{Q^2}{\omega^2 C^2 R} + \frac{2\alpha Q^2}{g \omega^3} \cdot q - \frac{\alpha Q^2 \sigma}{g \omega^3 (1 + \sigma S)} \cdot \frac{dS}{dx} = 0$$

Допустим, что изменение расхода вдоль пути происходит равномерно, т. е.  $q = \text{const}$ , тогда из (2) имеем:

$$dx = \frac{dQ}{q} \quad (14)$$

Подставляя (14) в (13) получаем:

$$q \frac{dy}{dQ} + \frac{Q^2}{\omega^2 C^2 R} + \frac{2\alpha Q q}{g \omega^3} - \frac{\alpha Q^2 \sigma q}{g \omega^3 (1 + \sigma S)} \frac{dS}{dQ} = 0$$

или

$$-dy = \frac{Q^2}{\omega^2 C^2 R q} dQ + \frac{2\alpha}{g \omega^3} Q dQ - \frac{\alpha Q^2 dS}{g \omega^3 (1 + \sigma S)} \quad (15)$$

Принимая во внимание, что при не очень высоких концентрациях  $S \ll 1$ , а также учитывая, что  $S = \frac{Q_t}{Q}$ ;  $iQ_t = \text{const}$ , получаем:

$$dS = -Q_t \frac{dQ}{Q^2} \quad (16)$$

Подставляя (16) в (15) имеем:

$$-dy = \frac{Q^2}{\omega^2 C^2 R q} dQ + \frac{2\alpha}{g \omega^3} Q dQ + \frac{\alpha \sigma Q_t}{g \omega^3} dQ$$

Интегрирование полученного дифференциального уравнения с учетом граничных условий дает:

$$y_0 - y_1 = \frac{Q_1^3 - Q_0^3}{3 \omega^2 C^2 R q} + \frac{\alpha (Q_1^2 - Q_0^2)}{g \omega^3} + \frac{\alpha \sigma Q_t (Q_1 - Q_0)}{g \omega^3} \quad (17)$$

Зависимость (17) позволяет при заданной постоянной глубине ( $H = \text{const}$ ) построить криволинейный продольный профиль дна заглащающего призматического канала, когда происходит изменение расхода вдоль пути лишь за счет жидкого компонента смеси.

При этом твердого расхода ( $Q_t$ ) не должно превышать твердый расход, соответствующего транспортирующей способности потока в расчетном створе, в противном случае будет иметь место засыпание канала.

В случае, когда концентрация паносов в потоке равна нулю.  $Q_t=0$  и  $\alpha=1$ , зависимость (17) совпадает с аналогичной зависимостью для чистого потока при  $m=0$

$$y_0 - y_1 = \frac{Q_1^3 - Q_0^3}{3qU^2w^2R} + \frac{Q_1^2 - Q_0^2}{g w^2}$$

### Л и т е р а т у р а

1. Маккавеев В. М. Коновалов И. М., Гидравлика, Речиздат, Л.
2. Натишвили О. Г. О переносе твердых взвешенных частиц турбулентным русловым потоком, Тр. ГрузНИИГиМ, вып. 23, Тбилиси, 1965.



Б. М. ЧИКВАШВИЛИ, И. Д. МУЗАЕВ,  
Г. Г. ОМСАРАШВИЛИ

## ТЕОРЕТИЧЕСКОЕ ИССЛЕДОВАНИЕ ВОДОРАСПРЕДЕЛЕНИЯ В СИСТЕМЕ ВОДОВОДОВ КАПЕЛЬНОГО ОРОШЕНИЯ

Гидравлическую модель процесса капельного орошения можно рассмотреть в виде напорного движения в водоводах с отъемом воды вдоль пути (рис. 1). При этом, движение воды в водоводе 0-0

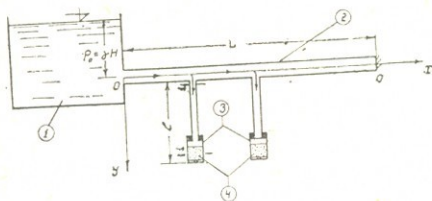


Рис. 1.

описывается с помощью следующих дифференциальных уравнений

$$\frac{d}{dx} \left( \tilde{\alpha} \rho - \frac{Q^2}{\omega} \right) = g \rho \omega \sin \alpha - \frac{dP}{dx} - \chi \tau \quad (1)$$

$$\frac{dQ}{dx} = -n q^*, \quad (2)$$

где  $n$  — число отверстий приходящее на единицу длины трубопрово-

да.

$\tilde{\alpha}$  — корректив количества движения,  $\rho$  — плотность воды,  $Q$  — расход,  $\omega$  — площадь поперечного сечения водовода,  $g$  — ускорение силы тяжести,  $\alpha$  — уклон водовода к горизонту;  $P$  — гидродинамическое давление,  $\chi$  — смоченный периметр водовода,  $\tau$  — касательное напряжение,  $x$  — продольный координат,  $q^*$  — расход воды через насадки.

Обозначим площадь отверстия через  $S$ . Тогда движение жидкости в насадке I—I описывается следующим дифференциальным уравнением

$$S\rho g \sin\beta - S \frac{dP}{dy} - \chi^* \tau - \frac{\rho g q^*}{C(y)} = 0,$$

где  $\beta$  — угол наклона насадки к горизонту.

$\chi^*$  — смоченный периметр,  $y$  — поперечная координата,  $C$  — коэффициент фильтрации пористой части насадки, определяемый следующим образом (2).

$$C(y) = \frac{Kg}{\nu},$$

где  $K$  — коэффициент проницаемости пористой части насадки,  $\nu$  — кинематический коэффициент вязкости жидкости.

Величина  $C$  для рассматриваемого случая определяется следующим образом:

$$C(y) = \begin{cases} C & \text{при } l-a \leq y \leq l \\ \infty & \text{при } 0 \leq y < l-a \end{cases}$$

Здесь  $l$  — длина насадки,  $a$  — длина пористой части насадки.

Как известно, при ламинарном режиме движения жидкости касательное напряжение определяется следующим образом (3):

$$\tau = \frac{\lambda}{8} \rho V^2, \quad \text{где } \lambda = \frac{64}{Re}, \quad \text{и } Re = \frac{Ud}{\nu},$$

$d$  — диаметр трубы.

Учитывая (6) выражение (3) запишется так;

$$S\rho g \sin\beta - S \frac{dP}{dy} - \frac{32\rho\nu}{d^2} q^* - \frac{\rho g q^*}{C(y)} = 0.$$

Интегрируя выражение (7) в пределах  $(0; l)$  и учитывая граничные условия.

$$P(y) = P(x, \text{ при } y=0)$$

$$P(y) = P_{\text{атм}} \quad \text{при } y=l$$

$P(x)$  — пьезометрическое давление в точке присоединения насадки к магистральной трубе;  $P_{\text{атм}}$  — атмосферное давление) — получим

$$\rho g S l \sin \beta - SP_{\text{атм}} + SP(x) - \frac{32 \gamma l}{d^2} q^* - \frac{g \rho}{C} (l-a) q^* = 0,$$

откуда

$$q^* = \frac{\rho g \sin \beta \cdot S \cdot l - S \cdot P_{\text{атм}} + SP(x)}{\frac{32 \gamma \rho}{d^2} l + \frac{g \rho}{C} (l-a)}, \quad (8)$$

С учетом (8), (2) и условия

$$\frac{dQ}{dx} = -n \frac{\rho g S l \sin \beta - SP_{\text{атм}} + SP(x)}{\frac{32 \gamma}{d^2} l + \frac{g \rho}{C} (l-a)}, \quad (9)$$

дифференциальное уравнение (1) примет следующий вид:

$$\frac{2 \tilde{\alpha} \rho Q}{\omega} \frac{dQ}{dx} = g \rho \omega \sin \alpha - \omega \frac{dP}{dx} - \frac{32 \gamma \rho}{4R^2} Q, \quad (10)$$

где  $R^2$  — гидравлический радиус водовода.

Из уравнения (9) имеем

$$P(x) = P_{\text{атм}} - \rho g l \sin \beta - \left[ \frac{32 \gamma \rho}{d^2 n} l + \frac{g \rho}{C n} (l-a) \right] \frac{1}{S} \frac{dQ}{dx} \quad (11)$$

Подставляя значение  $P(x)$  из (11) в (10), получим

$$\frac{2 \tilde{\alpha} \rho Q}{\omega} \frac{dQ}{dx} = g \rho \omega \sin \alpha + \frac{\omega}{S} \left[ \frac{32 \gamma \rho}{d^2 n} l + \frac{g \rho}{n c} (l-a) \right] \frac{d^2 Q}{dx^2} - \frac{32 \gamma \rho}{4R^2} Q. \quad (12)$$

Введем обозначения;

$$A = \sqrt{\frac{S}{\omega} \frac{32 \gamma}{4R^2 \left[ \frac{32 \gamma}{nd^2} l + \frac{g}{nc} (l-a) \right]}} \quad (13)$$

$$B = \frac{2 \tilde{\alpha} S}{\frac{32 \gamma}{d^2} l + \frac{g(l-a)}{C}} \quad (14)$$

и

$$D = \frac{g S \sin \alpha}{\frac{32 \gamma}{nd^2} l + \frac{g(l-a)}{nc}} \quad (15)$$

Тогда выражение (12) примет вид:

Последнее выражение является нелинейным уравнением второго порядка, аналитическое решение которого в настоящее время не получено (4). Поэтому мы принимаем некоторые допущения, вполне приемлемые для поставленной задачи. В частности в уравнение (16) отбросим инерционный член

$$BQ \frac{dQ}{dx} \ll 1. \quad (17)$$

Это допущение вполне приемлемо, так как в водоводах системы капельного орошения скорости невелики и поэтому квадратами скорости по сравнению с первой степенью можно пренебречь.

При таком допущении, уравнение (16) линеаризуется и принимает вид:

$$\frac{d^2Q}{dx^2} - A^2 Q = -D \quad (18)$$

Общее решение этого уравнения записывается в следующем виде:

$$Q = -\frac{D}{A^2} + C_1 e^{Ax} + C_2 e^{-Ax}, \quad (19)$$

где  $C_1$  и  $C_2$  — постоянные величины, определяемые из следующих граничных условий:

$$\text{при } x=0 \quad P(x)=P_0 \quad (20)$$

$$\text{при } x=L \quad Q=0, \quad (21)$$

в которых  $P_0$  — давление в точке  $x=0$ ,  $L$  — длина водовода 0—0.

Учитывая (14), из (11), при  $x=0$ , получим:

$$\frac{dQ}{dx} = -\frac{SP_{\text{атм}} - S(P_0 + \rho g l \sin \beta)}{\frac{32 \rho l}{d^2 n} + \frac{g^2}{cn} (l-a)}, \quad (22)$$

Учитывая граничные условия (21) и (22), получим следующую алгебраическую систему уравнений относительно неизвестных постоянных  $C_1$  и  $C_2$ :

$$\left. \begin{aligned} C_1 - C_2 &= -\frac{E}{A} \\ e^{AL} C_1 + e^{-AL} C_2 &= -\frac{D}{A} \end{aligned} \right\}, \quad (23)$$

где

$$E = \frac{SP_{\text{атм}}}{32\gamma_0 l} + \frac{g_0}{d^2 n} (l - a)$$

(8) Решение этой системы имеет следующий вид:

$$C_1 = \frac{1}{2chAL} \left( \frac{D}{A^2} + \frac{E}{A} e^{-AL} \right);$$

$$C_2 = -\frac{1}{2chAL} \left( \frac{D}{A^2} + \frac{E}{A} e^{AL} \right).$$

(9) Подставив значения  $C_1$  и  $C_2$  в (13), после некоторых несложных преобразований получим следующее выражение для расхода

$$(10) Q = \frac{D}{A^2} \left( 1 - \frac{chAx}{chAL} \right) + \frac{L}{A} \frac{ShAx - L}{chAL} \quad (25)$$

Таким образом, функциональная зависимость между расходом  $Q$  в водоводе 0-0 и продольной координатой  $x$  выражается по формуле (25).

Подставив выражение (25) в (11), получим следующее выражение для определения гидродинамического давления в насадке:

$$(11) P(x) = P_{\text{атм}} - \rho g l \sin \beta - \left[ \frac{32\gamma_0 l}{S d^2 n} + \frac{g_0}{c n S} (l - a) \right] E \frac{chAx - L}{chAL} - \frac{D}{A} \frac{ShAx}{ShAL} \quad (26)$$

Подставив (26) в (8), получим выражение для определения расхода воды через насадки (I—I):

$$(12) q^* = \frac{1}{\frac{32\gamma_0 l}{d^2 n} + \frac{g_0}{C} (l - a)} \left[ \frac{32\gamma_0 l}{S d^2 n} + \frac{g_0}{c n S} (l - a) \right] \frac{D}{A} \frac{ShAx}{ShAL} - E \frac{chAx - L}{chAL} \quad (27)$$

(13) Как было отмечено выше, для получения аналитического решения дифференциального уравнения (16), мы пренебрегли инерционным членом. Для количественной оценки погрешности, вносимой игнорированием инерционного члена, рассмотрим случай, когда уклон

водовода плоскости  $O-O$  равен пулю. В этом случае в уравнении (10) отпадает последний член, оставляя инерционный член, получим:

$$\frac{d^2Q}{dx^2} - BQ \frac{dQ}{dx} - A^2 Q = 0. \quad (28)$$

Дифференциальное уравнение (28) хотя и нелинейно, однако нахождение его общего решения не представляет больших трудностей.

Введем обозначение

$$\frac{dQ}{dx} = z(x). \quad (29)$$

Тогда легко заметить, что

$$\frac{d^2Q}{dx^2} = \frac{dz}{dx} = \frac{dz}{dQ} \frac{dQ}{dx} = z \frac{dz}{dQ}. \quad (30)$$

Подставив выражения (23) и (24) в (22) получим:

$$Z \frac{dz}{dQ} - BQZ - A^2 Q = 0. \quad (31)$$

Дифференциальное уравнение (31) является уравнением с разделяющимися переменными, поэтому нахождение его общего решения не представляет трудностей. А именно, разделив переменные, получим;

$$QdQ = \frac{Zdz}{BZ + A^2}. \quad (32)$$

Интегрируя выражение (32), получим;

$$\frac{Q^2}{2} = \frac{Z}{B} - \frac{A^2}{B^2} \ln \left| Z + \frac{A^2}{B} \right| + C_1. \quad (33)$$

Разлагая  $\ln \left| Z + \frac{A^2}{B} \right|$  в степенной ряд относительно  $Z$  и отбросив бесконечно малые члены порядка  $Z^3$  и выше получим:

$$\frac{Q^2}{2} = \frac{Z}{B} - \frac{A^2}{B^2} \left[ \ln \frac{A^2}{B} + \frac{B}{A^2} Z - \frac{B^2}{A^4} \frac{Z^2}{2} \right] + C_1 \quad (34)$$

Пренебрежение членами порядка  $Z^3$  и выше вполне приемлемо так как



$$Z = -\frac{dQ}{dx} = -nq^* \ll Q$$

С учетом (29) выражение (32) можно переписать следующим образом

$$\frac{Q^2}{2} = \frac{1}{A^2} \left( \frac{dQ}{dx} \right)^2 + C_1. \quad (36)$$

Отсюда получаем

$$\frac{dQ}{dx} = \pm \sqrt{\frac{A^3}{2} Q^2 + C_1} \quad (37)$$

Так как при  $x=0 \frac{dQ}{dx} < 0$ , то перед радикалом должен быть отрицательный знак:

$$\frac{dQ}{dx} = -\sqrt{\frac{A^3}{2} Q^2 + C_1}.$$

Разделяя переменные, получим:

$$\frac{dQ}{\sqrt{Q^2 + C_1}} = -\frac{2}{A\sqrt{A}} dx. \quad (38)$$

Легко можно заметить, что величина  $C_1 > 0$ , так как, при  $x=L$   $Q=0$ .

Интегрируя (38) получим (4):

$$\ln |Q + \sqrt{Q^2 + C_1}| = -\frac{2}{A\sqrt{A}} x + C_2;$$

$$Q + \sqrt{Q^2 + C_1} = C_2 e^{-\frac{2}{A\sqrt{A}} x}$$

Постоянные интегрирования  $C_1$  и  $C_2$  определяются из граничных условий (21) и (22). Окончательно  $Q(x)$  будет иметь следующий вид:

$$Q(x) = -EA\sqrt{A} \frac{Sh \frac{L-x}{A\sqrt{A}}}{Ch \frac{L}{A\sqrt{A}}}. \quad (39)$$

Подставляя (39) в (11) и (40) в (8), получим следующие выражения для  $P(x)$  и  $q^*(x)$ :

$$P(x) = P_{\text{атм}} - \rho g l \sin \beta - \frac{E}{S} \left[ \frac{32 \rho l}{d^2 n} + \frac{g \rho (L-a)}{Cn} \right] \frac{Ch \frac{L}{AV \frac{A}{A}}}{Ch \frac{L}{AV \frac{A}{A}}} \quad \text{БИБЛІОТЕКА}$$

$$q_*(x) = - \frac{E}{n} \frac{\frac{Ch}{AV} \frac{L-x}{A}}{\frac{Ch}{AV} \frac{L}{A}}. \quad (41)$$

Полученные зависимости после соответствующей апробации могут быть использованы для расчета и управления капельными орошательными системами.

### Литература

1. Петров Г. А. Гидравлика переменной массы. Харьков, 1964.
2. Чарный И. А. Подземная гидромеханика. Гостехиздат, 1948.
3. Богослов А. И., Михайлов К. А. Гидравлика. Стройиздат, 1972.
4. Камке Э. Справочник по обыкновенным дифференциальным уравнениям, М., 1975.
5. Смирнов В. И. Курс высшей математики. т. 1, М., 1975.

УДК 631. 6. 02

Г. Е. ТУГУШИ

## О СКОРОСТИ ДВИЖЕНИЯ ВОДЫ ПРИ ПОВЕРХНОСТНОМ ПОЛИВЕ

Скорость движения воды по формуле Шези можно представить в следующем обобщенном виде:

$$V = C_1 R^r i^r = C_0 R^p, \quad (C_0 = C_1 i^r), \quad (1)$$

где: R — гидравлический радиус; i — уклон дна, C<sub>1</sub> — коэффициент, отражающий шероховатость русла, P и r — показатели степени.

В частности, когда коэффициент скорости С определяется по формуле Н. Н. Павловского, имеем:  $C = \frac{1}{n} R^y$ ,  $y = 1,5 \sqrt{\frac{1}{n}}$  при  $R < 1$  м.

$$V = \frac{1}{n} R^{\frac{y+2}{2}} i^{\frac{2}{2}}, \quad \text{т. е.}$$

$$C_1 = \frac{1}{n}, \quad P = y + \frac{1}{2}, \quad r = \frac{1}{2}, \quad (2)$$

где: n — коэффициент шероховатости.

Если С определяется по формуле Маннинга, тогда имеем:

$$C = \frac{1}{n} R^{\frac{1}{6}}, \quad V = C \sqrt{R i} = \frac{1}{n} R^{\frac{2}{3}} i^{\frac{1}{2}}, \quad \text{т. е. } C_1 = \frac{1}{n},$$

$$P = \frac{2}{3}, \quad r = \frac{1}{2}. \quad (3)$$

А если применяется формула Форхгеймера, тогда:

$$C = \frac{1}{n} R^{\frac{1}{5}}, \quad V = C \sqrt{R i} = \frac{1}{n} R^{\frac{7}{10}} i^{\frac{1}{2}}, \quad \text{т.е. } C_1 = \frac{1}{\sqrt{n} \sqrt{i}}$$

$$P = -\frac{7}{10}, \quad r = \frac{1}{2}. \quad (4)$$

При поверхностном поливе и поверхностном стоке, как известно, имеет место движение переменным расходом вдоль пути. Однако, как показывает анализ результатов полево-экспериментальных исследований различных авторов, и в этих случаях приемлема обобщенная формула Шези за счет подбора входящих в нее параметров —  $C_1$ ,  $P$ ,  $r$ . В этом убедимся ниже.

А. Н. Костяков [8], при изложении теории поверхностного полива пользуется формулами:

$$C = \frac{87 \sqrt{R}}{\gamma}, \quad V = \frac{87}{\gamma} R i^{\frac{1}{2}}, \quad \text{т.е. } C_1 = \frac{87}{\gamma},$$

$$P = 1, \quad r = \frac{1}{2} \quad (5)$$

где  $\gamma$  — коэффициент шероховатости по Базену. Натурными исследованиями установлено, что  $C_1 = 15 \div 50$ .

По исследованиям Бозаки Сочичи К [23] скорость движения при поливе можно определять формулой:

$$V = \frac{88,56}{a^{0.29}} R^{\frac{1}{2}} i^{\frac{1}{2}}, \quad \text{т. е. } C = \frac{88,56}{a^{0.29}}, \quad P = -\frac{1}{2}, \quad r = \frac{1}{2}, \quad (6)$$

где:  $a$  — параметр, зависящий от шероховатости русла.

На основе натурных исследований бороздкового полива, зависимость между гидравлическими элементами потока рядом авторов дается в следующем виде:

$$\omega = A \frac{Q^m}{i^d} \quad (7)$$

Это выражение можно преобразить в виде (1), если учтем, что:

$$Q = \omega V, \quad R = \frac{\omega}{\chi}, \quad \omega = R \chi, \quad Q = R V \chi, \quad \text{получим:}$$

$$R = A \frac{(RV\chi)}{i^d} \text{ откуда } V = \left( \frac{1}{A} \right)^{\frac{1}{m}} \chi^{\frac{1-m}{m}}, R^{\frac{1-m}{m}} i^{\frac{\alpha}{m}} \quad (8)$$

$$C_1 = \left( \frac{1}{A} \right)^{\frac{1}{m}} \chi^{\frac{1-m}{m}}, \quad P = \frac{1-m}{m}, \quad r = \frac{d}{m} \quad (9)$$

где  $\chi$  — смоченный периметр.

Ниже приводим некоторые формулы такого вида:

$$\text{С. М. Кривовяза [9]} - \omega = 0.128 \frac{Q^{0.75}}{i^{0.375}}, \text{ т. е.}$$

$$P = \frac{1-m}{m} = \frac{1-0.75}{0.75} = \frac{1}{3}, \quad r = \frac{d}{m} = \frac{0.375}{0.75} = \frac{1}{2}, \quad (10)$$

$$\text{В. Ф. Носенко [15]} - \omega = 0.00147 \frac{Q^{0.66}}{i^{0.33}}, \text{ т. е.}$$

$$P = \frac{1-0.66}{0.66} = 0.515 \approx \frac{1}{2}, \quad r = \frac{0.33}{0.66} = \frac{1}{2}; \quad (11)$$

$$\text{А. Н. Ляпина [14]} - \omega = 0.000785 \frac{Q^{0.71}}{i^{0.55}}, \text{ т. е.}$$

$$P = \frac{1-0.71}{0.71} = 0.408 \approx \frac{2}{5}, \quad r = \frac{0.55}{0.71} = 0.774 \approx \frac{4}{5} \quad (12)$$

$$\text{Н. Т. Лактаева [11, 12]} - \omega = 0.062 \frac{Q^{0.6}}{i^{0.3}}, \text{ когда } i > 0.01, \text{ т. е.}$$

$$P = \frac{1-0.6}{0.6}, \quad r = \frac{0.3}{0.6} = \frac{1}{2} \quad (13)$$

$$\omega = 0.039 \frac{Q^{0.6}}{i^{0.4}}, \text{ когда } i < 0.01, \text{ т. е.}$$

$$P = \frac{1-0.6}{0.6} = \frac{2}{3}, \quad r = \frac{0.4}{0.6} = \frac{2}{3} \quad (14)$$

Как видим, в этих случаях  $P = \frac{1}{3} \div \frac{2}{3}$ ,  $r = \frac{1}{2} \div \frac{4}{5}$ .

На основе исследований поверхностного стока, ряд авторов пред-  
лагают формулу следующего вида:

$$V = B q^m i^\ell \quad (15)$$

$$V(t) = \frac{dl(t)}{dt} = \frac{\alpha q_0}{K_0 D \rho_p} \cdot \frac{1}{t^{\alpha}}, \text{ когда } t \geq t_k$$

а пройденный путь за время  $t$  будет:

$$l(t) = \int_0^t V(t) dt = V_0 t - \frac{1}{4} \cdot \frac{K_0 D \rho_p}{q_0} V_0^2 t^{1-\alpha} : \text{ когда } t < t_k$$

$$l(t) = \frac{q_0 t^\alpha}{K_0 D \rho_p}, \text{ когда } t \geq t_k$$

$$\rho_p = b + 2 \cdot \frac{P+1}{P+2} V \cdot \frac{1+\varphi^2}{1+\varphi}$$

В этих выражениях обозначены:  $V_0$  — скорость движения струи в головном створе борозды, при  $t=0$ ;  $q_0$  — расход в створе;  $\rho_p$  — расчетный активный смоченный периметр борозды и  $\alpha$  — параметры, входящие в известную формулу впитывания в почву по А. Н. Костякову;  $D$  — функция взаимосвязи междуней скоростью впитывания воды в почву по времени и длине ка, которая в зависимости от  $\alpha$  колеблется от 0,78 до 0,85, среднем можно принять  $D=0,80$ .

Способы определения параметров  $K_0$ ,  $\alpha$ ,  $V$ ,  $\rho_p$ ,  $t_k$  и  $D$  по опытным данным изложены в работе [20].

Определяя по наблюдениям последовательно за время  $t_1$ ,  $t_N$  соответствующие им пройденные пути  $l_1, l_2 \dots l_N$  и подставив эти значения в уравнение (25), получим систему  $N$  уравнений, морением которых получим:

$$\sum_{i=1}^N l_i = V_0 \sum_{i=1}^N t_i - V_0^2 \frac{K_0 D \rho_p}{4 \gamma_0} \sum_{i=1}^N t_i^{1-\alpha}$$

Решением этого квадратного уравнения определяется  $V_0$ .

На расстоянии  $l^*$  от головного створа, где установлен водомет, определяем гидравлические элементы потока —  $q$ ,  $\omega$ ,  $x$ ,  $R$  в какой-то момент времени  $t$ , который больше, чем время  $t^*$ , в которое поток пройдет путь  $l^*$ . В частном случае, можно замерять изводить в головном створе, т. е. принять  $l^*=0$ ,  $t^*=0$  и  $q=q_0$ .

Коэффициент скорости  $C$  можно определить по формуле;

$\frac{1}{2} + \frac{4}{3}$ , Что касается параметра  $C_1$ , его значение колеблется весьма широких пределах  $C_1 = 0.008 + 10000$ .

Такое расхождение в значениях параметров частично можно объяснить различиями методик обработки опытных данных. Следует знать, что в эмпирических формулах значения искомых величин зависят и от принятых значений для других, входящих в формулы параметров. Простое сравнение эмпирических формул без пересчета параметров по единой методике может быть полезным только для общего представления о характере исследуемых зависимостей. Если одновременно определяются все три параметра  $C_1$ ,  $g$  и  $P$ , тогда наиболее вероятно, что значения этих параметров окажутся различными для различных условий наблюдения. А если значение  $g$  предварительно будет принято, скажем  $g=0,5$ , т. к. при поливе преимущественно наблюдается турбулентный режим движения, тогда изменчивыми окажутся только  $C_1$  и  $P$ . Если вместе с  $g$  предварительно принято и значение  $P$ , скажем исходя из формулы Н. Н. Павловского, или А. Н. Костякова и др., тогда переменной величиной будет только лишь  $C_1$  в зависимости от шероховатости русла. Уменьшая таким путем число искомых параметров, может быть, в какой-то степени уменьшится и точность формулы, так как все погрешности накапливаются в оставшихся искомых параметрах, которые будут колебаться в более широком диапазоне. Так можно объяснить частично большое колебание коэффициента шероховатости  $= 0,01 \div 0,08$  при поверхностном поливе, обнаруженные исследованиями [7, 10, 13, 16].

С другой стороны, изменчивость коэффициента шероховатости в большем диапазоне можно объяснить и тем, что в процессе полива она меняется. В начале полива, когда вода течет по сухому ложу, шероховатость больше, а со временем она становится более и более гладкой т. е. значения коэффициента шероховатости зависят от продолжительности течения воды в данный створ.

При расчете поверхностного полива важно знать скорость движения лба (фронт) струи, а для этого нужно определить шероховатость сухого ложа при соприкосновении со струей воды.

Скорость движения лба струи можно определить по формулам [17, 18, 19, 20];

$$V(t) = \frac{dl(t)}{dt} = V_0 - \frac{z-a}{4} \frac{V_0^2 K_0 D_0 t^{1-z}}{q_0}, \text{ когда } t < t_k \quad (23)$$



которую тоже можно преобразить в виде (4).

Если примем во внимание, что  $q = vh$  и  $R = h$ , выражение (4) имеет вид:

$$V = B(VR)^m i^d = B^{\frac{1}{1-m}} R^{\frac{m}{1-m}} i^{\frac{d}{1-m}}, \quad \text{т.е.}$$

$$C_1 = B^{\frac{1}{1-m}}, \quad P = \frac{m}{1-m}, \quad r = \frac{d}{1-m}$$

Ниже приводим некоторые формулы такого вида:

$$\text{М. А. Великанова [5]} - V = 10q^{\frac{2}{3}} i^{\frac{1}{3}}, \quad \text{т.е.}$$

$$B = 10, \quad m = \frac{2}{3}, \quad d = \frac{1}{3}, \quad C_1 = 10^{\frac{1}{1-\frac{2}{3}}} = 1000, \quad P = \frac{\frac{2}{3}}{1-\frac{2}{3}} = 2,$$

$$r = \frac{\frac{1}{3}}{1-\frac{1}{3}} = 1$$

$$\begin{aligned} \text{В. Д. Быкова и В. М. Павлова [4]} - & V = 0,09162 q^{0,5} i^{0,66}, \\ C_1 = 0,09162^{\frac{1}{1-0,5}} = 0,084, \quad & P = \frac{0,5}{1-0,5} = 1, \quad r = \frac{0,66}{1-0,5} = \\ & = 1,32 \approx \frac{4}{3} \end{aligned}$$

$$\text{Н. А. Дудкина [6]} - V = 62,23 R^{67} i^{0,83}$$

$$C_1 = 62,23, \quad P = 0,67, \quad r = 0,83;$$

$$\text{Д. П. Юневича [22]} - 515,3 R^{1,12} i^{0,9}, \quad \text{т.е.}$$

$$C_1 = 515,3, \quad P = 1,12, \quad r = 0,9$$

$$\text{А. Н. Бефани [2,3]} - V = 25 \cdot 8 R i^{0,5}, \quad \text{т.е.}$$

$$C_1 = 25 \cdot 8, \quad P = 1, \quad r = 0,5;$$

В этих случаях  $P = \frac{2}{3} \div 2, \quad r = \frac{1}{2} \div \frac{4}{3}$ , а вообще  $P = \frac{1}{3}$ .

Подставляя это значение С в какую-нибудь расчетную формулу (А. Н. Костяков, Н. Н. Павловский и др.), определяется коэффициент шероховатости, в момент времени  $t$ , т. е. при продолжительности течения воды в данном створе  $t - t^*$ . Эта шероховатость будет меньше, чем шероховатость в начальный момент и, следовательно, скорость  $V$  будет больше, чем скорость движения лба струи  $V^*$ , которая определяется из уравнения (23), подставляя в ней значение  $t = t^*$ .

$$\text{Обозначим } \frac{V^*}{V} = \xi, \text{ т. е. } V^* = \xi V, \quad \xi < 1 \quad (40)$$

Тогда, коэффициент скорости в начальный момент  $C^*$  будет равен

$$C^* = \xi C = \xi \frac{q}{\omega \sqrt{R i}} \quad (31)$$

Если для определения С пользуемся формулой А. Н. Костякова, тогда будем иметь:

$$C^* = \xi C = \xi \frac{87 \sqrt{R}}{\gamma} = \frac{87 \sqrt{R}}{\gamma^*} \quad (32)$$

где  $\gamma^* = \frac{\gamma}{\xi}$  представляет собой коэффициент шероховатости в начальный момент соприкосновения воды к ложу борозды, т. е. коэффициент шероховатости сухого русла.

Если коэффициент скорости определяется по формуле Н. Н. Павловского, коэффициент шероховатости  $n$  — определяется из уравнений:

$$\frac{q}{\omega \sqrt{R i}} = \frac{1}{n} R^{1,5 V_n} \quad (33)$$

коэффициент шероховатости сухого русла  $n^*$  — решением уравнений

$$C^* = \xi C = \frac{1}{n^*} R^{1,5 V_{n^*}} \quad (34)$$

Предварительными опытами получены  $n^* = 0.06 + 0.010 a j^* = 4 \div 8$

Эти значения гораздо больше, чем рекомендованные по литературе [1, 8, 21] для расчета полива. В результате получаются новые значения длии борозд и полос, что следует учитывать при выборе элементов техники полива.

На основе всего изложенного можно сделать следующие выводы:

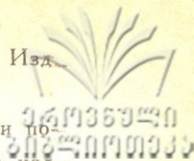
1. Анализ материалов полево-экспериментальных исследований показывает, что при поверхностном поливе, а также при поверхностном стоке скорость течения воды с достаточной точностью выражается обобщенной формулой Шези (1).

2. Изменчивость входящих в эту формулу параметров С<sub>р</sub> в широком диапазоне можно объяснить главным образом различием методик обработки опытных данных, а также изменением коэффициента шероховатости во времени.

3. Для правильного расчета полива важно знать наиболее значение коэффициента шероховатости в начале полива, определяемое по предложенной методике.

## Л и т е р а т у р а

1. Аверьянов С. Ф. Практикум по сельскохозяйственным мелиорациям. «Колос», М., 1970.
2. Бефани А. И. Основы теории ливневого стока. Тр. Одесского гидрологического ин-та, вып. 4, Одесса, 1949.
3. Бефани А. И. Основы теории ливневого стока. Тр. ОГМИ, вып. XIV.
4. Быков В. Д. Павлов В. М., Экспериментальные исследования элементов склонового стока. Сбор. трудов «Проблемы речного стока», изд. МГУ, 1958.
5. Великанов М. А. Гидрология суши. Гидрометиздат, Л., 1948.
6. Дудкин Н. А. Скорости стекания воды по поверхности водосброса и методы их изучения. «Метеорология и гидрология», 1937, № 9.
7. Жарова К. А. Техника полива по бороздам на больших уклонах Чуйской долины. Фрунзе, 1961.
8. Костяков А. Н. Основы мелиорации. Сельхозгиз, М., 1960.
9. Кривояз С. М. Расчет полива по бороздам. Гидротехника и мелиорация, 1961, № 1.
10. Кулинченко В. Ф. Гидравлика самотечного полива. Автореферат кандидатской диссертации на соискание ученой степени к. т. н., Новочеркасск, 1951.
11. Лактаев Н. Т. Проект методических указаний для проведения полевых опытов по изучению техники бороздкового полива, камеральной обработки и т. д.



ки результатов и обоснование этих указаний (рабочие гипотезы). Изд.  
«Наука», Узб. ССР, Ташкент, 1965.

Лактаев Н. Т. К вопросу исследований режима орошения и техники полива по бороздам. В сб. «Вопросы гидротехники», вып. 28, Ташкент, изд. «Наука», 1965.

Ляпин А. Н. Улучшение техники полива хлопчатника по бороздам. «Гидротехника и мелиорация», 1950, № 11.

Ляпин А. Н. Выбор рациональных элементов техники полива при новой системе орошения. «Хлопководство», 1933, № 4.

Носенко В. Ф. Особенности и пути улучшения техники бороздкового полива пропашных культур в предгорьях Казахстана. Авторсфера диссертации на соискание степени к. т. н., ВНИИГиМ, М., 1962.

Сичинава Т. С. Тугуши Г. Е., Размыаемость во временной оросительной сети в условиях новой системы орошения. Тр. ГрузСХИ, т.ХЛУП, 1958.

Тугуши Г. Е. Новые исследования по теории наземного полива. Тр. ГрузСХИ, т. LXXXII-LXXXIII, Тбилиси, 1972.

Тугуши Г. Е. К теории самотечного полива. Тр. ГрузСХИ, т. ХС, Тбилиси, 1974.

Тугуши Г. Е. Теория самотечного полива, исходя из геометрических интерпретаций процесса. Тр. ГрузСХИ, т. ХС, Тбилиси, 1974.

Тугуши Г. Е. Губеладзе Д. И., К вопросу мелиоративного обслуживания хозяйства. ГрузСХИ, Тбилиси, 1974.

Черкасов А. А. Пособие для практических занятий по мелиорации. Сельхозгиз, М. 1945.

Юневич Д. П. О скоростях стекания воды по поверхности тонким слоем. «Метеорология и гидрология», № 9, 1937.

Вороку - szeszien K. I. Hidrologiai kozlany, 1960 № 1

УДК 532. 543 : 627. 157. 001, 24

Т. Е. ყაცარავა  
И. Г. КРУАШВИЛИ

## ВЛИЯНИЕ СИЛЫ ГИДРОДИНАМИЧЕСКОГО ДАВЛЕНИЯ НА УСТОЙЧИВОСТЬ ГРУНТОВЫХ ЧАСТИЦ — АГРЕГАТОВ

Многочисленные исследования по фильтрационной устойчивости грунтовых частиц не разрешили этот вопрос окончательно и однозначно. Поэтому расчеты при проектировании оснований гидротехнических сооружений ведутся на базе использования данных отдельных экспериментальных исследований имеющих правомерность в пределах изменения параметров соответствующих конкретным опытам.

Наряду с этим, решение этой задачи будет способствовать правильному осмыслиению целого ряда вопросов связанных эрозионной устойчивости почво-грунтов.

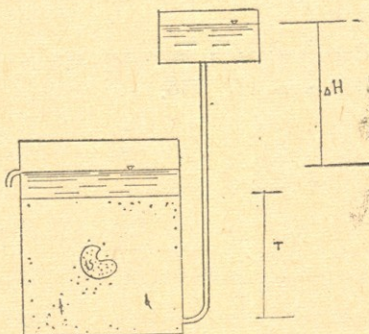


Рис. 1.

Согласно расчетной схемы рис. 1, для модели идеального грунта, можно предположить, что сила гидродинамического давления слагается из двух компонентов: гидростатического и суммарной силы трения, возникающая на поверхностях частиц при фильтрационном движении воды, т. е.



$$D = P + F \dots \quad (1)$$

где  $D$  — сила гидродинамического давления

$P$  и  $F$  — соответственно силы гидростатического давления и трения

$$P = \gamma_0 V I (1 - n) \quad (2)$$

$$F = \gamma_0 V I n \quad (3)$$

и, следовательно

$$D = \gamma V \cdot I \quad (4)$$

Рассматривая условие равновесия произвольного объема выделенной внутри фильтрационной области, получим

$$\gamma_0 V I \leq \gamma_{\text{в}} V = (\gamma_r - \gamma_0)(1 - n) V \quad (5)$$

$$I \leq \frac{\gamma_r - \gamma_0}{\gamma} (1 - n) \quad (6)$$

где  $\gamma_r$  и  $\gamma_0$  — удельные веса грунта и воды

$n$  — обменная пористость

$\gamma_{\text{в}}$  — обменный вес грунта в воде.

На основании выражения (6) можно сделать заключение о независимости устойчивости частиц от их размера, что часто неправильно трактуется в специальной литературе [1].

## Л и т е р а т у р а

1. Замарин Е. А. Допускаемые и размывающие скорости водного потока. Доклады ВАСХНИЛ вып. 12. 1948.

УДК 532. 53.

Д. С. ЦИКЛАУРИ, И. М. ГЕГЕШИДЗЕ,  
Г. А. МАКАЛАТИЯ

РАБОЧАЯ ФОРМУЛА ДЛЯ ОПРЕДЕЛЕНИЯ К. П. Д.  
ГИДРОКОМПРЕССОРА СТРУЙНОГО ТИПА

Для определения величины к. п. д. ( $\eta$ ) гидрокомпрессора (рис. 1), предназначенного в качестве воздуховодки для компактных ус-

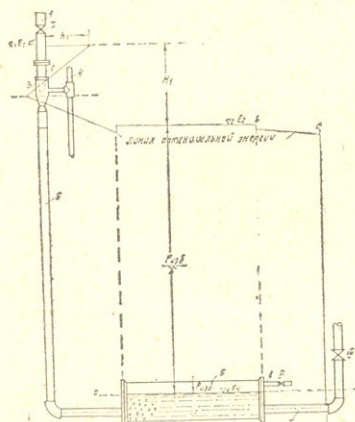


Рис. 1. Схема гидрокомпрессора струйного типа.

1 — подводящая труба; 2 — конус; 3 — струйный насос; 4 — воздуховасывающая труба; 5 — рабочая труба; 6 — сепаратор; 7 — отводящая труба; 8 — воздушная труба; I, II, III — задвижки.

тановок необходимо найти выражение работы изотермического сжатия воздуха ( $A_2$ ) и работы воды ( $A_1$ ), поскольку их отношение дает выражение коэффициента полезного действия

$$\eta = \frac{A_2}{A_1} \quad (1)$$

Работа, затраченная в секунду на изотермическое сжатие воздуха, будет равна [1]:

$$N_{\text{изт}} = P_a q_a \ln \frac{P_1}{P_a} = 2,303 P_a q_a \lg \frac{P_1}{P_a},$$

а подводимая потоком воды мощность [2]

$$N_{\text{раб}} = \gamma Q_{\text{ж}} H_{a,b}, \quad (3)$$

то подставляя выражение (2) и (3) в (1), получим:

$$\eta = \frac{P_a q_a \ln \frac{P_1}{P_a}}{\gamma Q_{\text{ж}} H_{a,b}},$$

или

$$\eta = \frac{2,303 P_a q_a \lg \frac{P_1}{P_a}}{\gamma Q_{\text{ж}} H_{a,b}}, \quad (4)$$

где  $P_a$  — атмосферное давление;

$P_1$  — конечное абсолютное давление ( $P_1 = P_{\text{изт}} + P_a$ )

$q_a$  — объем подаваемого воздуха в единицу времени;

$Q_{\text{ж}}$  — расход воды;

$H_{a,b}$  — используемый напор воды.

По выражению (4) можно определить к. п. д. гидрокомпрессора, или так называемый изотермический к. п. д.

При заданных размерах установки расход воды зависит от коэффициента расхода  $\mu$ , учитывающего гидравлические потери, величина которого определяется известными гидравлическими способами. В нашем случае (рис.1) расход воды поступающей в сепаратор, можно определить по формуле

$$Q_{\text{ж}} = \mu_{a,b} \sqrt{2gH_{a,b}} \quad (5)$$

где  $\mu_{a,b}$  — коэффициент расхода, учитывающий все гидравлические сопротивления установки от точки а до точки в.

Коэффициент расхода  $\mu_{a,b}$  можно определить из следующего выражения.

$$\frac{1}{\mu_{a,b}} = 1 + \Sigma \xi + \left( \frac{\lambda}{d} + j \right) l \quad (6)$$

В данном выражении  $\Sigma \xi$  — сумма коэффициентов сопротивления в струйном приборе, на поворотах труб, в сепараторе, задвижке и на выходе.

Сопротивление по длине подводящей (рабочей) трубы учитывается выражением  $\frac{\lambda}{d} l$ , а потери энергии на поддержание транспортирование воздушных пузырьков струей воды определяется выражением  $j l$  где  $j$  — гидравлические потери для воздушных пузырьков, а  $l$  — длина трубы.

Подставляя выражение расхода воды (5) в формулу (4), получим:

$$\eta = \frac{2,303 P_a q_a \lg \frac{P_1}{P_a}}{\gamma H_{a,b} \mu_{ab} \sqrt{2g}} \quad (7)$$

Согласно гидравлической схемы (рис. 1), имеем:

$$H_{a,b} = h_1 + H_1, \quad (8)$$

где

$$H_1 = E_1 - E_2;$$

$h_1$  — пьезометрическая высота, соответствующая давлению воды в точке 1.

С другой стороны можно написать

$$H_{a,b} = \left( \frac{V}{\mu_{a,b}} \right)^2 \frac{1}{2g}, \quad (9)$$

где  $V$  — скорость в рабочей трубе.

Из представленной схемы (рис. 1) видно, что пьезометрический напор, соответствующий давлению сжатого воздуха в сепараторе, равен:

$$P_1 = - \frac{\gamma}{2g} \left( - \frac{V}{\mu_{b,c}} \right)^2 + P_a, \quad (10)$$

где  $P_1$  — полное давление сжатого воздуха в сепараторе;

$V$  — скорость потока воды в отводящей трубе;

$\mu_{a,b}$  — коэффициент расхода, учитывающий гидравлические сопротивления установки в отводящей трубе, т. е. от точки  $a$  до точки  $c$ ;

$P_a$  — атмосферное давление.

Значение  $P_1$  можно представить и так:

$$P_1 = \frac{\mu_{a,b}^2}{\mu_{b,c}^2} \gamma H_{a,r} + P_a. \quad (11)$$

С учетом выражения (11) формула (7) может быть представлена в таком виде:

$$\eta = \frac{2,303 P_a q_a \lg \frac{\mu_{a1b}^2}{\mu_{b1c}^2} \gamma H_{a,b} + P_a}{\gamma H_{a1b}^2 \sqrt{2g}} \quad (12)$$

Объем воздуха, поступающий в сепаратор можно определить по следующей формуле:

$$q_a = C Q_{жк} = C v_{a1b} V \sqrt{2g H_{a1b}}, \quad (13)$$

где  $C = \frac{q_{возд,a}}{Q_{жк}}$  — воздухосодержание (отношение расхода воздуха при атмосферном давлении к расходу воды).

Подставляя выражение (13) в формулу (12) и обозначая  $\frac{\mu_{a1b}^2}{\mu_{b1c}^2}$  через Е, получим:

$$\eta = \frac{2,303 P_a C \lg \frac{\gamma^2 H_{a1b} + P_a}{P_a}}{\gamma H_{a1b}} \quad (14)$$

Заменяя  $\gamma^2 H_{a1b} = P_{изб}$  — измеренным избыточным давлением в сепараторе и вводя обозначение  $H_{a,b} = H_0$ , окончательно получим:

$$\eta = \frac{2,303 P_a q_{возд,a} \lg \frac{(P_{изб} + P_a)}{P_a}}{\gamma Q_{жк} H_0} \quad (15)$$

Полученное выражение (15) является рабочей формулой для определения к. п. д. гидрокомпрессора струйного типа.

## Л и т е р а т у р а

1. Циклаури Д. С. Гидравлика, сельскохозяйственное водоснабжение и гидросиловые установки. М., 1970.
2. Циклаури Д. С. Гидрокомпрессоры. М., 1960.
3. Деянов В. П., Мезенцев Ю. С. О движении воздушного пузырька в аэрированном потоке. Труды Харьковского отдела водного хозяйства пром. предприятий. выпуск XX, Киев, 1977.

ურთის წილი დამას მრავალი

საქართველოს სამფლონ-სამურნეო ინსტიტუტის ურთის, №. 114, 1980.

ТРУДЫ ГРУЗИНСКОГО ОРДЕНА ТРУДОВОГО КРАСНОГО ЗНАМЕНИ  
СЕЛЬСКОХОЗЯЙСТВЕННОГО ИНСТИТУТА, Т. 114, 1980

УДК 532.53,



А. Д. ХУРЦИЛАВА

НЕКОТОРЫЕ ВОПРОСЫ ТЕХНИЧЕСКОГО СОСТОЯНИЯ  
САЛТВИССКОЙ ОРОСИТЕЛЬНОЙ СИСТЕМЫ В ГРУЗИИ  
И ОРГАНИЗАЦИЯ ЕЕ ЭКСПЛУАТАЦИИ

Рост сумм абсолютных затрат на эксплуатацию государственных систем, обусловлен прежде всего увеличением ввода в эксплуатацию орошаемых площадей. Однако как показал анализ, эти затраты, по некоторым системам растут с опережением темпов прироста орошаемых земель. Такое положение объясняется в первую очередь значительно возросшими расходами на переустройство действующих ирригационных систем за счет операционных средств. Совершенствование оросительных систем Грузии в настоящее время осуществляется на таких системах, как Телетская (Соганлугская и Ягуджская), Тирифонская, Салтвисская и на ряде других.

Салтвисская оросительная система входит в Горийское и Кацхинское системное управление и расположена на правом берегу р. Большой Лиахви до р. Проне-восточное. Салтвисский магистральный канал (СМК), начиная от Тирифонского головного узла сооружений в черте г. Цхинвали идет по закрытой галерее длиной 390 м, а затем в открытом земляном канале длиной 10 км до р. Проне-восточное. Канал рассчитан на расход 9,25 м<sup>3</sup>/сек.

От СМК отходят две ветки: первая орошает земли между железной дорогой и р. Большая Лиахва, вторая — Кведа-Ру.

На поля орошения вода поступает самотеком по открытой распределительной сети. Полив производится по бороздам. Водоотвод обеспечивается коллекторно-сборной сетью.

Система расположена в долине рек Большой Лиахви и Малой Лиахви. Массив орошения с запада ограничен р. Проне-восточное, с востока — р. Лехура.

Климат мягкий, температура среднегодовая  $9,7 - 11,1^{\circ}\text{C}$ , в июле средняя  $22^{\circ}$ , максимальная  $36^{\circ}$ . Сумма температур за вегетационный период (7,5 месяцев)  $3720^{\circ}$ . Годовое количество осадков  $480-550$  мм, из которых за вегетационный период (апрель-август) выпадает лишь  $30\%$ .

Макрорельеф массива спокойный, но микрорельеф сильно выражен. Уклон местности в верхней зоне достигает 0,04, к югу уменьшается до 0,01.

Массив сложен аллювиальными сложениями различного возраста. Почвы на приречных террасах молодые, скелетные, маломощные; на более старых террасах почвы мощнее и насыщены карбонатами; на аревных террасах и повышенных элементах рельефа развиты коричневые лесные почвы. В наиболее пониженных местах распространены заболоченные и лугово-болотные почвы. Поток грунтовых вод направлен на юг; в средней части массива грунтовые воды залегают на глубине 20-30 м.

Источниками орошения служат реки Большая Лиахва, Малая Лиахва и Меджуда.

Большая Лиахва (Диди-Лиахви) — основной источник Салтвисской оросительной системы. Для этой реки характерны большие уклоны (до 0,01) и колебание расходов (от 5 до  $500 \text{ м}^3/\text{сек}$ ). Максимальный расход (1953 г.) —  $850 \text{ м}^3/\text{сек}$ .

Малая Лиахва — приток Большой Лиахвы имеет среднегодовой расход до  $90 \text{ м}^3/\text{сек}$ , наибольший наблюдаемый расход  $191 \text{ м}^3/\text{сек}$ . Для орошения всего массива расходов трех рек недостаточно. Дефицит воды частично покрывается за счет запасов, создаваемых во вневегетационный период в озере — водохранилище Надарбазен.

В настоящее время земли объекта Салтвиси, расположенные в двух административных районах, находятся под введением двух водных районов: Горийского и Карельского. Система управления разбивается на три самостоятельных ирригационных участка. Из них первый и второй участки Горийского и третий — Карельского района со штатом по 11 единиц эксплуатационных работников (погрометов, обездичников) во главе с гидротехником. Земли используются в основном под сады, виноградники и пашню.

Салтвисская оросительная система обслуживает шесть хозяйств: Шиндисский фруктовый совхоз, Квемо Хвитский овощно-семенной совхоз, Варианский фруктовый совхоз. Никозский колхоз (Горийский район), Дванский и Дибрский колхозы (Карельский район).

В результате общего обследования технического состояния Салтвисской оросительной системы, было установлено, что данная система в целом находится в неудовлетворительном техническом состоянии. Поэтому в настоящее время система реконструируется.

Устранение и улучшение общего технического состояния всех сооружений Салтвисской оросительной системы (как старая система в республике) является одним из первых обязательных условий повышению эффективности как самой оросительной системы так и хозяйств — водопользователей.

В совхозах в зоне орошения данной оросительной системы имеется 13,682 тыс. га орошаемых земель. В структуре обрабатываемых земель этих совхозов преобладающий удельный вес имеют фрукты (58,5%), зерновые (30,60%), дальше идут кормовые (5,2%), сахарная свекла (3,8%), овощи (2,5%) и виноградники (1,1%).

При рассмотрении урожайности поливных с/х культур, как показывают данные за последние четыре года (1972-1975 гг.), по основным культурам наблюдаются низкие урожайности. Они значительно ниже возможного, так как средняя урожайность, например, зерновых  $4 \div 15$  ц., огородных —  $90 \div 120$  ц, виноградников —  $15 \div 18$  ц т. д.

В результате такой низкой урожайности, естественно высокая себестоимость производимой продукции, которая в большинстве случаев превышает плановую в 1—2 раза.

Прежде, чем перейти к анализу эксплуатационных затрат по массиву Салтвиси, необходимо рассмотреть показатели ирригационного освоения площади систем и выполнения плана полива по этому массиву за последние годы (табл. 1).

Из данных таблиц видно, что площадь полива нетто и другие ирригационные показатели оросительной системы в течении 1971—1975 гг. уменьшаются постепенно за счет ухудшения технического состояния системы. Коэффициент использования земель составляет 0,87; количество поливов за сезон на 1 га 1,65; водонадача в хозяйстве в среднем 19 161 тыс. м<sup>3</sup>, поливная норма брутто 798 м<sup>3</sup>/га и оросительная норма брутто — 2113 м<sup>3</sup>/га.

Общие затраты средств на эксплуатацию системы, кроме затрат на содержание штата гидроучастков, складываются из производственных или эксплуатационных затрат на капитальный и текущий ремонт гидротехнических сооружений, построек и прочих затрат.

Распределение соотношений их по указанным видам по всему массиву Салтвиси за пять лет показаны в таблице 2.

Фактические эксплуатационные затраты (амортизационными числами) на орошаемом массиве Салтвиси и в среднем за 5 лет составляет 83.03 тыс. руб., по проекту предусмотрено 72.5 тыс. рублей.

Таблица

**Состояние ирригационного освоения по орошаемому массиву Салтвиси за 1971-1975 годы**

Показатель	В среднем за пять лет
Площадь полива, нетто (в га)	9082
Площадь полива, брутто (в га)	10460
Коэффициент земельного использования по мелиорируемой площади	0,87
Гектар полива (в га)	24010
Водопадача в хозяйство (в тыс. м <sup>3</sup> )	19161
Водозабор из головного узла (в тыс. м <sup>3</sup> )	27459
Коэффициент полезного действия (общий по системе)	0,70
Поливная норма брутто в хозяйстве (м <sup>3</sup> /га)	798
Оросительная норма брутто в хозяйстве (в м <sup>3</sup> /га)	2113
Количество поливов за сезон в среднем на 1 га	2,65

Переходя к рассмотрению эксплуатационных затрат по системе Салтвиси, следует отметить, что наибольший удельный вес занимают эксплуатационные затраты по содержанию штата — 41,9%, следующим по удельному весу являются производственные затраты — 22,75%. Дальше идут затраты на текущий ремонт — 15,98%. Прочие затраты составляют — 12,45% и на капитальный ремонт — 6,37%. Капитальный и текущий ремонты имеют тенденцию к росту в связи с повреждением ремонтных работ по усовершенствованию систем.

Анализ эксплуатационных затрат по их видам показывает, что сокращение общих затрат могут быть достигнуты за счет уменьшения их на содержание штатов путем укрупнения гидроучастков. Сокращение затрат на текущий и капитальный ремонт может быть достигнуто лишь за счет улучшения качества строительства и ремонтных работ, в этом случае увеличиваются доремонтные и межремонтные сроки по отдельным объектам и сооружениям оросительной системы.

Для определения складывающихся нормативных размеров эксплуатационных затрат важно выразить их в соотношении с общей площадью, количество выполненной израсходованной воды на оро-



Наиболее важным являются показатели затрат на 1 га орошаемой площади и на 1 м<sup>3</sup> поданной воды в хозяйстве (водоподача) фактической израсходованной воды из головного узла (табл. 3).

Исходя из общих годовых фактических затрат на эксплуатацию Салтвиси и приведенных выше показателей площади орошения и выполнения плана полива, удельные эксплуатационные затраты по межхозяйственной сети за пять лет представлены в таблице 3.

Как видим, показатели эксплуатационных затрат на 1 га всей орошаемой площади примерно одинаковы, с изменением показателей пригражненного освоения земель Салтвиси затраты на 1 га по всей площади, на 1 га полива и 1 м<sup>3</sup> водозабора и водоподачи в хозяйствах по годам несколько отличны и имеют тенденцию к уменьшению.

Таким образом, из этих соображений в качестве средних типичных нормативов затрат по межхозяйственной сети Салтвиси и для аналогичных условий имеются основания принять следующие эксплуатационные затраты:

Фактические эксплуатационные затраты средств на массиве  
за 1971—1975 г.г. (тыс. руб.)

Таблица 2

Вид затрат	В среднем за пять лет		Расходы в %-х к итогу
	31	32	
Заржение штата эксплуатационного управления и гидроучастков	34,12	41,09	
Производственные затраты	18,39	22,75	
Запасной ремонт	13,28	15,98	
Прочие затраты	10,3	12,45	
Большой ремонт	5,3	6,37	
Годовое участие	1,09	1,36	
Всего	83,03		100

На 1 га орошаемой площади (брутто) — 7,95 руб.

на фактической площади полива (нетто) — 9,17 руб.

всех поливов — 3,40 руб.

на 1 м<sup>3</sup> водозабора — 0,30 коп.

на 1 м<sup>3</sup> видоподачи — 0,43 коп.

Стоимость подаваемой воды на 1 га (при оросительной норме —

2113 м<sup>3</sup>/га) составляет в среднем — 9,1 руб. Сумма стоимости орошающей воды в хозяйстве составляет в среднем 18,27 рублей.

ЗАГРУЖЕННО  
ЗАЩИЩЕНО  
Табуляция

**Удельные эксплуатационные затраты средств по массиву  
Салтвиси за 1967 — 1971 годы**

Годы	Абсолютные затраты (в тыс. руб.)	З а т р а т ы				
		На 1 га оро- щающей пло- щади брут- то (руб.)	На 1 га фа- ктической пло- щади по- лива, нетто (руб.)	На 1 га всех по- ливов (руб.)	На 1 м <sup>3</sup> водоза- бора (коп.)	На 1 водо- дно (руб.)
1971	84,50	7,76	8,52	4,25	0,34	0,3
1972	67,62	6,29	7,24	2,89	0,26	0,3
1973	71,27	6,84	7,94	2,80	0,25	0,3
1974	101,07	9,85	11,32	3,72	0,33	0,6
1975	90,00	9,07	10,43	3,34	0,33	0,4
В среднем	83,03	7,95	9,17	3,40	0,30	0,4

Удельные капитальные вложения на 1 га составляет в среднем по проекту 80,00 руб./га и по балансовой стоимости 123,15 руб./площадь орошения нетто проектная 13,68 тыс. га и фактическая 9,08 тыс. га.

Как показывают данные, для обоснования нормативных размеров эксплуатационных затрат по оросительным системам необходимо иметь данные и средние показатели за ряд лет, или, что более правильно, исходить из итогов выполнения плана в годы, нормированного ирригационного освоения поливных земель и работы систем. В этом случае наличие многолетних данных позволяют обосновать типичные показатели эксплуатационных затрат и судить об их нормативных размерах.

Удельные затраты на 1 га площади орошения в среднем за пять лет при одинаковых примерно размерах ее и годовых расходах могут быть приняты как типичные нормативные для данных условий.

### Л и т е р а т у р а

- Брежнев Л. И. Отчетный доклад ЦК КПСС на XIV съезде КПСС. 1971.

Косыгин А. Н. Директивы XXIV съезда КПСС по пятилетнему плану  
развития народного хозяйства СССР на 1971-1975 гг. М., 1971.

Лерц М., Хавринин К. Эффективно использовать оросительную технику.  
«Гидротехника и мелиорация» 1960, № 11.

Брагинский Л. Мелиорация и экономические рычаги, «Плановое хозяйство». Издательство «Урожай», Киев, 1970, Выпуск № 3.

Оросительные и обводительные системы СССР, Выпуск 4, Грузинская ССР,  
М., 1968.

---



ГДК 532. 5 : 627, 157

Ф. В. ГОЛЬДИН

## К РАСЧЕТУ ПРОМЫВА ОТСТОЙНИКОВ ПЕРИОДИЧЕСКОГО ДЕЙСТВИЯ

Широкое применение отстойников на оросительных и гидроэнергетических системах и обоснованное назначение степени осветления потока в них требует дальнейшего усовершенствования методов гидравлического расчета. Согласно нормативным документам (1) при расчете промывка отстойников необходимо, как знание изменения вдоль пути объемной концентрации промывного потока, которую можно рассчитать по зависимости полученным в работах [2, 3, и др.], так и знание скорости начала «трагания» частиц наносов, отложившихся в отстойниках.

Сравнение многочисленных формул, по которым определяется скорость начала «трагания» частиц наносов дает различные результаты [5, 6], поэтому мы с помощью новой методики исследования дренацев на размыв [7], пошли по пути определения силового воздействия потока на частицы, когда они находятся на дне турбулентного потока. При этом сохраняется заданный режим потока, не нарушается его структура, четко фиксируется момент отрыва частиц, учитывается их форма и начало движения (качение или скольжение), что дает возможность более правильно назначать необходимую промывную скорость и тем самым более рационально осуществить гидравлический промыв отстойников, русловых водохранилищ, каналов и др.

На основе проведенных экспериментов был получен критерий стойчивости для частиц находящихся на дне турбулентного потока с учетом их формы:

$$\frac{\tau \cdot S}{F} = f \cdot \Delta_f \quad (1)$$

тогда  $\tau$  — касательные усилия в равномерном турбулентном потоке действующие на исследуемые частицы; ЗАГРУЗКА ПОДАЧИ  
 $S$  — площадь миделя шарообразных частиц; ЗАДАЧА ПРИМЕНЕНИЯ  
 $F$  — сила, удерживающая частицы на дне;  
 $f$  — коэффициент сопротивления; эксперименты показали, что для шарообразных частиц величина постоянная, равная 0,03;  
 $\Delta_f$  — коэффициент формы частиц различных форм. Эксперименты показали, что для частиц, начало движения которых качено (окатанная форма)  $\Delta_f = 1,5$ , для частиц начала движения которых скольжение (трудноподвижная форма — плоские частицы, прямоугольники и др.)  $\Delta_f = 2$ .

Используя (1) была получена зависимость для допускаемых (неразмывающих) скоростей водного потока с учетом формы частиц. Переходя от допускаемых (неразмывающих) скоростей к скоростям «срыва» отдельных зерен (по В. Н. Гончарову) и далее к массовому движению наносов (по Г. И. Шамову), была получена зависимость для массового движения наносов с учетом их формы, рекомендуемая для расчета промывки отстойников.

$$V_{np} = 2lg \left( \frac{8,8H}{d} \right) \sqrt{g \cdot d_5 \cdot \Delta_f} \quad (2)$$

где:  $H$  — глубина потока;

$d_5$  — диаметр отложившихся наносов.

Применим полученную зависимость (2) для расчета промывной скорости в отстойниках.

Для расчета возьмем отстойник на каналах оросительных систем горно-предгорной зоны, встречающиеся в Грузии, Азербайджане, Армении, Киргизии и других республиках.

Для расчета возьмем экспериментальные данные головного отстойника оросительной системы р. Ирдык [8]:

- отстойник рассчитан на расход  $3 \text{ м}^3/\text{с}$ ;
- оптимальный промывной расход не превышает  $1,5-1 \text{ м}^3/\text{с}$ ;
- глубина при промывке  $0,1-0,2 \text{ м}$
- при занесении отстойника крупность наносов на поверхности гряды уменьшается по длине отстойника на откосе характеризует собой среднюю крупность всего объема гряды, изменяющуюся от 12,1 до 2,5 мм по длине отстойника..

Для данного отстойника промывная скорость на поверхности воды, измеренная поплавками, в среднем равнялась  $2 \text{ м}/\text{с}$ .

Для расчета принимаем:

$$d_5 = 10 \text{ мм}, \\ H = 0,2 \text{ м.}$$

Так как расчет ведется для отстойника горно-предгорной зоны, то частицы попадающие в него будут в основном необкатанными, поэтому  $\Delta_f$  принимаем для трудноподвижной формы равный 2, тог да необходимая промывная скорость

$$V_{\text{пр}} = 2 \lg \left( \frac{8,8 \cdot 0,2}{0,01} \right) \sqrt{9,81 \cdot 0,01 \cdot 2} \approx 1,99 \text{ м/с,}$$

(по Мухину В. А.,  $V_{\text{пр}} = 2 \text{ м} \cdot [8]$ )

Вычисленные значения промывной скорости по зависимости (2) сопоставлены с нормативными документами [1] и приведены в табл. 1 из которой видно, что при назначении промывной скорости в от-

Таблица 1\*

Значения необходимых промывных скоростей для частиц со средневзвешенными диаметрами более 1 мм по нормативной зависимости (1) и полученной нами с учетом формы частиц (2)

$V(\text{м/с})$  при средней глубине  $H=1 \text{ м}$

Диаметр частиц (мм) $d$	ВСН—1(-15—77 для $d > 1 \text{ мм}$	По зависимости (2)		$\%$	
		$V_{\text{пр}} = 2 \lg \left( \frac{8,8H}{d} \right) \sqrt{g d_s \Delta_f}$	$\Delta_f = 1,5$	$\Delta_f = 2$	$\Delta_f = 1,5$
1,2	1,27	1,03	1,19	19	6,3
2	1,51	1,25	1,44	17	4,6
3	1,73	1,46	1,68	16	2,9
4	1,90	1,62	1,87	15	1,6
5	2,05	1,76	2,03	14	1,0
6	2,18	1,88	2,17	14	—
7	2,20	1,99	2,30	13,5	—
8	2,40	2,09	2,41	13	—
9	2,50	2,18	2,51	13	—
9,5	2,54	2,22	2,56	13	—

\*) Для наиболее крупных частиц наносных отложений (более 10 мм) нормативными документами (1) дается таблица, в которой назначаемые промывные скорости не соответствуют результатам вычисленным по нормативной зависимости, поэтому на дальнейших сопоставлениях мы не останавливаемся.

стойниках, построенных на равнинных участках рек (для которых  $\Delta_f$  в первом приближении можно принять равным 4,5), для части со средневзвешенными диаметрами более 1 мм расход воды можно уменьшить в среднем на 14 %. Для отстойников на участках горно-предгорной зоны (для которых  $\Delta_f$ , в первом приближении можно принять 2) полученные результаты хорошо согласуются с нормативными.

## Л и т е р а т у р а

1. Инструкция по проектированию отстойников и наносоперехватывающих сооружений для оросительных систем. Минводхоз СССР, М., 1977.
2. Гегешидзе И. М. Гидравлический расчет водопроводных горизонтальных отстойников. Труды ГрузНИИГиМ, вып. 27, Тбилиси, 1969.
3. Гольдин Ф. В. Новый метод расчета промыва ирригационных отстойников периодического действия на основе применения общего дифференциального уравнения взвеснесущих потоков. Тезисы докладов республиканской научно-конференции молодых учёных и аспирантов, изд-во ГрузСХИ, Тбилиси, 1977.
4. Натишивили О. Г. О переносе твердых взвешенных частиц турбулентным русловым потоком. Труды ГрузНИИГиМ, вып. 23, Тбилиси, 1965.
5. Романовский В. В. Исследование начальной скорости влечения частиц наносов. Труды ГГИ, вып. 210, Л., 1974.
6. Шамов Г. И. Речные наносы. Гидрометиздат, Л., 1959.
7. Гольдин Ф. В. Экспериментальная установка по определению силы воздействия потока на частицы. В сб. «Эрозионные и селевые процессы. Борьба с ними», вып. 4, М., 1975.
8. Мухин В. А. Характеристика отстойника оросительной системы р. Ирды. КиргНИИВХ, «Вопросы водного хозяйства» (гидротехника), 17, изд. «Киргизстан», 1969,



ერთა ჭირობილი დამზადების ორგანიზაცია

საქართველოს სამუშაო-საგენერო ინსტიტუტის ჟურналი, №. 114, 1980

ТРУДЫ ГРУЗИНСКОГО ОРДЕНА ТРУДОВОГО КРАСНОГО ЗНАМЕНИ  
СЕЛЬСКОХОЗЯЙСТВЕННОГО ИНСТИТУТА, Т. 114, 1980

УДК 532. 135. 001. 5+681. 3-06

Л. А. САХВАДЗЕ, В. Г. УШАКОВ,  
Л. И. НАРЯДОВА

ВЯЗКОСТНЫЕ СВОЙСТВА САПРОПЕЛЯ ОЗ. ПАЛИАСТОМИ  
(ГРУЗИНСКАЯ ССР)

Сапропель оз. Палиастоми относится к высокоценным полезным ископаемым. Он является высокоценным естественным удобрением и может эффективно использоваться в сельском хозяйстве [1]. Запасы сапропеля весьма значительны. Поэтому целесообразна лишь механизированная разработка месторождения в сочетании с транспортировкой сапропеля с помощью насосов по трубам непосредственно к месту его потребления. При этом не только повышается производительность труда, но и исключается ручной труд.

Однако проектирование и выбор оборудования для гидротранспорта сапропеля, а также разработка рекомендаций по подготовке водосапропелевых смесей к транспортировке затруднены тем, что вязкостные свойства Палиастомского сапропеля до настоящего времени не изучались. Не определена, в частности, принадлежность сапропели к определенному (по реологическим свойствам) классу жидкостей, не разработана его реологическая модель, не исследовано влияние температуры и плотности (влажности) на вязкостные параметры водосапропелевых смесей. Изучению этих факторов и посвящена настоящая работа.

При разработке методики ее проведения было предположено, что судя по результатам исследований подобных жидкостей [2, 3, 4] водосапропелевая смесь представляет собой пенитоновскую жидкость. Поэтому в опытах был применен ротационный вискозиметр РВ-8 системы Воларовича, позволяющий изучать пенитоновские жидкости в широком диапазоне плотностей и температур. В отличие от серийно выпускаемого вискозиметра прибор, использованный в опытах, был снабжен электрическим секундомером, автоматически регистрирующим продолжительность эксперимента. При

обработке опытных данных учитывалась только та часть эксперимента, в течении которой скорость вращения рабочего цилиндра была равномерной (т. е. исключался начальный период характерный ускорением вращения цилиндра). Это повысило точность определения скорости сдвига.

В опытах было изучено 7 образцов сапропеля различной плотности:  $\rho = 1250 \div 1450$  кг/м<sup>3</sup>. Приготовление образца требуемой плотности состояло в разбавлении водой исходного порошкообразного сапропеля. Плотность определялась взвешиванием сапропеля в сосуде известного объема. Измерение  $\rho$  проводилась каждый раз перед заправкой вискозиметра.

Температура сапропеля в вискозиметре поддерживалась на заданном уровне как с помощью электронагревателя регулируемой мощности, так и путем добавления в терmostат прибора охлажденной воды. Диапазон температур сапропеля в опытах составил  $8 \div 43^{\circ}\text{C}$ . Во время измерений температура сапропеля контролировалась термопарами и ртутным термометром.

Основными измеряемыми величинами были масса грузов, вызывающих вращение ротора, и продолжительность эксперимента. Сведения об этих величинах, наряду с данными о конструкции прибора и результатами его тарировки, позволили рассчитать сопротивление сдвигу  $\tau$  и скорость сдвига  $\dot{\gamma}$  в конкретном единичном опыте. Для исключения случайных ошибок каждый опыт повторялся не менее  $3 \div 4$ -х раз. Для каждого образца сапропеля проводилось 5-6 опытов при различных скоростях сдвига в диапазоне  $\dot{\gamma} \approx 0 \div 150 \text{ c}^{-1}$  и заданной температуре. Всего, не считая дублирующих экспериментов, было проведено более 150 опытов.

Первый этап обработки экспериментального материала состоял в построении кривых течения, описывающих связь между сопротивлением сдвигу

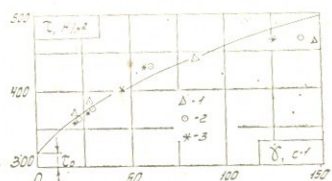


Рис. 1. Кривая течения водосапропелевой смеси плотностью 1420 кг/м<sup>3</sup> — расчетная линия по реологическому уравнению; опытные точки при температуре 1 — 10°C; 2 — 23°C; 3 — 40°C.

тивлением сдвига  $\tau$  и скорость сдвига  $\gamma$  сапропеля при плотности  $\rho$  и температуре  $t$ .

Как показал анализ, вид кривых течения — плавная вогнутая кривая, обращенная выпуклостью вверх и пересекающая ось ординат  $\tau > 0$  — подобен для всех испытанных образцов сапропеля (типичный вид кривой течения приведен на рис.1). Это говорит о том, что водосапропелевую смесь (во всяком случае в пределах исследованных значений  $\rho$  и  $t$ ) следует рассматривать как нелинейную вязко-пластичную жидкость. В зависимости от плотности величина  $\tau$  существенно изменяется — при фиксированном значении скорости сдвига  $\tau$  растет при увеличении плотности; например, при  $\gamma = 50 \text{ с}^{-1}$  имеем  $\tau = 11 \text{ Н/м}^2$  для  $\rho = 1300 \text{ кг/м}^3$  и  $\tau = 430 \text{ Н/м}^2$  для  $\rho = 1425 \text{ кг/м}^3$ .

Что же касается температуры, то опыты не обнаружили влияния этого фактора на вязкость сапропеля — во всем исследованном диапазоне плотностей и температур. На рис. 1, приведенном в качестве примера, экспериментальные точки, полученные при температурах сапропеля 10, 23 и 40°C с одинаковым разбросом укладываются по одну общую кривую. Если учесть, что в указанном диапазоне температур вязкость воды, носителя частиц сапропеля, изменяется почти в 2 раза, то отмеченный выше результат может быть объяснен тем, что вязкость сапропеля определяется лишь трением частиц сапропеля друг о друга и величина вязкости зависит лишь от концентрации частиц сапропеля.

Наличие совокупности кривых течения водосапропелевых смесей различной плотности позволило получить набор реологических уравнений Палиастомского сапропеля. При этом была использована методика обработки реометрических наблюдений на ЭВМ [4] и опыт ранее проведенных исследований вязкости некоторых озерно-речных осадков [5]. Этот опыт подсказывает, что кривые течения сапропеля, судя по их виду, могут быть удовлетворительно описаны уравнением Гершеля-Балкли [2] —

$$\tau = \tau_0 + A\gamma^m \quad (1)$$

где  $\tau_0$  — начальное сопротивление сдвигу,

$A, m$  — реологические параметры.

При такой постановке задачи цель обработки кривых течения состояла в определении численных значений  $\tau_0$ ,  $A$  и  $m$  для иссле-

дованных образцов и в анализе их зависимости от плотности сапропеля.

Начальное сопротивление сдвигу  $\tau_0$  определялось по кривым течения, как ордината точки пересечения этой кри-

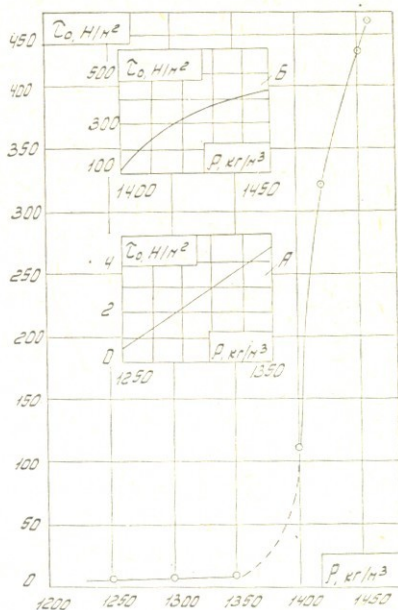


Рис. 2. Зависимость начального сопротивления сдвигу от плотности водородсапропелевой смеси.

вой с осью ординат. Величина  $\tau_0$ , как показано на рис. 2, с ростом плотности сапропеля возрастает, однако и абсолютная величина  $\tau_0$  и темп ее зависимости от плотности существенно неодинаковы в разных диапазонах значений  $\rho$ . Начальное сопротивление свилг весьма разбавленных сапропелей ( $\rho \approx 1350$  кг/м<sup>3</sup>) мало и слабо зависит от плотности: при увеличении плотности от  $\rho = 1250$  до  $\rho = 1350$  кг/м<sup>3</sup> абсолютный прирост  $\tau_0$  составляет всего  $\approx 4$  Н/м<sup>2</sup>. При дальнейшем таком же увеличении плотности от  $\rho = 1350$  кг/м<sup>3</sup> до  $\rho = 1450$  кг/м<sup>3</sup> начальное сопротивление сдвигу скачкообразно возрастает почти в 100 раз — до значения  $\tau_0 \approx 450$  Н/м<sup>2</sup>. Такое изменение расположения кривой  $\tau_0 = f(\rho)$ , на наш взгляд является следствием того, что при  $\rho \approx 1350$  кг/м<sup>3</sup> частицы сапропеля, существовавшие при меньших плотностях отдельно, без связи друг с другом, начи-

ют слипаться, образуя структуру, прочность которой резко возрастает по мере увеличения  $\rho$ . Опытная зависимость  $\tau_0 = f(\rho)$  может быть описана аналитически следующими соотношениями: для диапазона плотностей  $\rho = 1250 \div 1350 \text{ кг}/\text{м}^3$ , рис. 2А,—

$$\tau_0 = 0,04 \rho - 49,5, \text{ H}/\text{м}^2 \quad (2)$$

для диапазона плотностей  $\rho = 1400 \div 1450 \text{ кг}/\text{м}^3$ , рис. 2Б,—

$$\tau_0 = 12\rho^{0,323} - 1399, \text{ H}/\text{м}^2 \quad (3)$$

Погрешность обобщения опытных данных уравнением (1) не превышает 8 % и уравнением (2) — 2 %.

Реологические параметры А и  $m$  определялись с помощью ЭВМ «Наири-С» по специальной программе, составленной на языке «Автопрограммирование». Исходными данными для расчетов по этой программе являются сведения о величинах сопротивлений сдвига при соответствующих скоростях сдвига, взятые по экспериментальным кривым течения [4].

Анализ результатов расчетов значений реологических характеристик сапропеля показал, что параметр  $m = 0,64$  во всем исследованном диапазоне плотностей водосапропелевых смесей, а параметр А для разжиженных смесей  $\rho = 1250 \div 1350 \text{ кг}/\text{м}^3$  равен  $A = 0,7 \text{ H} \cdot \text{с}^{0,64}/\text{м}^2$  а для смесей с повышенной концентрацией сапропеля при  $= 1400 \div 1450 \text{ кг}/\text{м}^3 — A = 7 \text{ H} \cdot \text{с}^{0,64}/\text{м}^2$ . При этом реологические уравнения, обобщающие результаты экспериментов с погрешностью, не превышающей 5 % для подавляющего числа опытов и лишь в отдельных экспериментах доходящей до 10 %, записанные с учетом выражений (1), (2), (3), имеют следующий вид:

для существенно разжиженных водосапропелевых смесей (при  $\rho = 1250 \div 1350 \text{ кг}/\text{м}^3$ ) —

$$\tau = 0,04 \rho - 49,5 + 0,7 \gamma^{0,64}, \text{ H}/\text{м}^2, \quad (4)$$

для концентрированных смесей ( $\rho = 1400 \div 1450 \text{ кг}/\text{м}^3$ ) —

$$\tau = 12\rho^{0,323} - 1399 + 7\gamma^{0,64}, \text{ H}/\text{м}^2 \quad (5)$$

Уравнения (4) и (5) рекомендуются для расчета сопротивления сдвига в области скоростей сдвига  $\dot{\gamma} = 0 \div 150 \text{ с}^{-1}$ . О их достоверности свидетельствует удовлетворительное совпадение расчетной линии и

экспериментальных точек, приведенных в качестве примера на рис. 3 для сапропеля плотностью  $\rho = 1420 \text{ кг}/\text{м}^3$ .

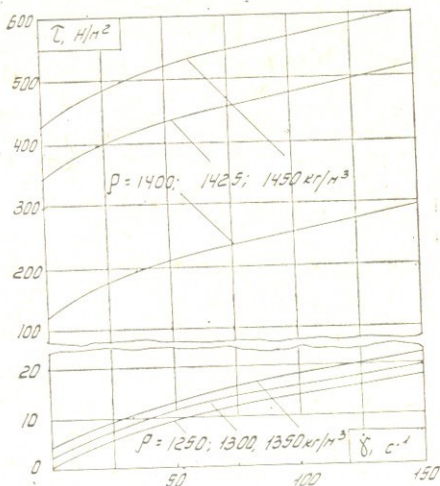


Рис. 3. Кривые течения водосапропелевых смесей.

На рис. 3 приведены кривые течения водосапропелевых смесей рассчитанные по уравнениям (4) и (5) для круглых значений плотности. Анализ величин сопротивлений сдвигу по этим кривым показывает, что для механизированной транспортировки по трубам водосапропелевых смесей с минимальными потерями напора их плотность не должна превосходить  $1350 \text{ кг}/\text{м}^3$ . При превышении этой границы потери напора существенно (в десятки раз) возрастают.

### Л и т е р а т у р а

1. Сахладзе А. Л. Основные характеристики сапропеля и возможность его использования в сельском хозяйстве. Труды ГрузСХИ т. 107, 1978.
2. Шульман З. П. Конвективный тепломассоперенос реологически сложных жидкостей. М.: «Энергия», 1975.
3. Ушаков В. Г., Харитонов С. А. Реологические свойства Тамбукской лечебной грязи. «Известия СКНЦВШ», серия «Технические науки», 1974, № 2.
4. Нарядовая Л. И. Обработка экспериментальных данных по реологии лечебных грязей на ЭВМ. «Известия СКНЦВШ», серия «Технические науки», 1980, № 4.
5. Ушаков В. Г., Нарядовая Л. И. Совершенствование методики определения реологических свойств озерно-речных отложений. В кн. «Гидрогеология и инженерная геология», межвузовский сборник, Новочеркасск, 1980.

გროვის ფილი დოკარის ორგენესანი

საქართველოს სასოცელ-სამუშაომ ინსტიტუტის გრამატიკი, ბ. 114, 1980



ТРУДЫ ГРУЗИНСКОГО ОРДЕНА ТРУДОВОГО КРАСНОГО ЗНАМЕНИ  
СЕЛЬСКОХОЗЯЙСТВЕННОГО ИНСТИТУТА, Т. 114, 1980

УДК 532.53

М. Р. АГНИАШВИЛИ

## ЭФФЕКТИВНОЕ РЕШЕНИЕ ТРЕТЬЕЙ ОСНОВНОЙ ГРАНИЧНОЙ ЗАДАЧИ КОЛЕБАНИЯ МОМЕНТНОЙ ТЕОРИИ ТЕРМОУПРУГОСТИ ДЛЯ ПРОСТРАНСТВА С ШАРОВОЙ ПОЛОСТЬЮ

Основные уравнения термоупругих стационарных колебаний моментной теории упругости в случае однородной изотропной среды записываются следующим образом (13).

$$\begin{aligned} (\mu + \alpha) \Delta u + (\lambda + \mu - \alpha) \operatorname{grad} \operatorname{div} u + \rho \sigma^2 u + 2\alpha \operatorname{rot} \omega - \nu \operatorname{grad} \Theta &= 0, \\ (\gamma - \varepsilon) \Delta \omega + (\beta + \gamma - \varepsilon) \operatorname{grad} \operatorname{div} \omega + (I \varepsilon^2 - 4\alpha) \omega + 2\alpha \operatorname{rot} u &= 0, \\ \Delta \Theta + \frac{i\sigma}{I} \Theta + i\sigma\eta \operatorname{div} u &= 0 \end{aligned} \quad (1)$$

где  $u = (u_1, u_2, u_3)$  — вектор смещения,  $\omega = (\omega_1, \omega_2, \omega_3)$  — вектор вращения,  $\Theta$  — температура  $\lambda, \mu, \alpha, \nu, \gamma, \beta, I, \eta$  — физические постоянные, характеризующие упругие и тепловые свойства тела,  $\rho$  — плотность массы,  $J$  — момент инерции,  $\sigma$  — частота колебания,  $\Delta$  — оператор Лапласа,  $i$  — мнимая единица.

Всякое решение уравнения (1) единственным образом представимо в виде

$$\begin{aligned} u(x) &= K \lambda_1 \operatorname{grad} \varphi^{(1)}(x) + K \lambda_2 \operatorname{grad} \varphi^{(2)}(x) + \varphi^{(3)}(x) + \varphi^{(4)}(x), \\ \omega(x) &= K \lambda_3 \operatorname{rot} \varphi^{(3)}(x) + K \lambda_4 \operatorname{rot} \varphi^{(4)}(x) + \operatorname{grad} \varphi^{(5)}(x) \\ \Theta(x) &= \varphi^{(1)}(x) + \varphi^{(2)}(x); \end{aligned} \quad (2)$$

где

$$(\Delta + \lambda_i^2) \varphi^{(i)}(x) = 0, \quad i = 1, \dots, 5, \quad (3)$$

$$\operatorname{div} \varphi^{(3)}(x) = 0, \quad \operatorname{div} \varphi^{(4)}(x) = 0; \quad (4)$$

$$K_{kj} = \frac{\gamma}{(\lambda + 2\mu)(k_1^2 - \lambda_j^2)} , \quad j=1,2, \quad K_{kj} = \frac{2\alpha}{(\gamma + \varepsilon)\lambda_j^2 + k_2^2}, \quad j=3,4;$$

$$\lambda_1^2 + \lambda_2^2 = \frac{\rho\sigma^2}{\lambda + 2\mu} + \frac{i\sigma}{I} + \frac{i\varepsilon\eta\gamma}{\gamma + 2\mu}, \quad \lambda_1^2 \cdot \lambda_2^2 = \frac{\rho\sigma^2}{\lambda + 2\mu} \cdot \frac{i\sigma}{I},$$

$$\lambda_3^2 + \lambda_4^2 = \frac{I\sigma^2 - 4\alpha}{\gamma + \varepsilon} + \frac{\rho\sigma^2}{\mu + \alpha} + \frac{4\alpha^2}{(\gamma + \varepsilon)\mu + \alpha}, \quad \lambda_3^2 \cdot \lambda_4^2 = \frac{I\sigma^2 - 4\alpha}{\gamma + \varepsilon} \cdot \frac{\rho\sigma^2}{\mu + \alpha}$$

$$k_1^2 = \frac{\rho\sigma^2}{\lambda + 2\mu}, \quad k_2^2 = \frac{I\sigma^2 - 4\alpha}{\gamma + \varepsilon}, \quad \lambda_5^2 = \frac{I\sigma^2 - 4\alpha}{\beta + 2\gamma};$$

$\varphi^{(3)}(x)$  и  $\varphi^{(4)}(x)$  — трехмерные векторфункции, а  $\Phi^{(1)}(x)$ ,  $\varphi^{(2)}(x)$  и  $\Phi^{(3)}(x)$  — скалярные функции.

Обозначим внешнюю область шара  $\{x : |x| \leq R\}$  через  $D^-$ , а границу шара — через  $S$ .

В работе решается следующая граничная задача (задача (III)<sup>-</sup>): найти в области  $D^-$  решение  $V = (u, \omega, \Theta)$  системы (1) из класса  $C^2(D^-) \cap C^1(\bar{D}^-)$ , удовлетворяющее на бесконечности условию термического излучения (см. [5]), а на  $S$  — граничному условию.

$$U|_S = f^{(1)}, \quad U|_{S^+} = f^{(2)}, \quad \left. \frac{\partial \Theta}{\partial n} \right|_S = f_3 \quad (\text{III})^-$$

Здесь  $f^{(i)} = (f_1^{(i)}, f_2^{(i)}, f_3^{(i)})$ ;  $i=1,2$  — заданные на  $S$  вектор — функции,  $f_3$  — скалярная функция также заданная на  $S$ .

Сущность построения эффективного решения поставленной задачи заключается в том, чтобы найти решения уравнений  $(\Delta + \lambda_j^2)\varphi_j = 0$ ,  $j=1-5$  удовлетворяющие условиям  $\operatorname{div} \varphi^{(3)} = 0$ ,  $\operatorname{div} \varphi^{(4)} = 0$ , также, чтобы представление (2) давало решение поставленной задачи.

Решение уравнения  $(\Delta + \lambda_j^2)\varphi^{(i)} = 0$  в области  $D^-$  представляется в виде

$$\varphi^{(i)}(x) = \sum_{m=0}^{\infty} R_{mj}(r) \cdot y_m^{(i)}(v, \varphi), \quad (5)$$

$r, v, \varphi$  — сферические координаты точки  $x$ ;

$$R_{mj}(r) = \sqrt{\frac{H^{(1)}}{r}} \frac{J_{m+\frac{1}{2}}(\lambda_j r)}{H^{(1)}(r)} \frac{1}{J_{m+\frac{1}{2}}(\lambda_j r)}, \quad (6)$$

Здесь  $H^{(1)}_{m+1/2}$  — функция Ганкеля первого рода:  $y_m^{(1)} v \Phi$ , при  $j=1, 2, 5$  — сферические функции порядка  $m$ , а при  $j=3, 4$ , где  $y_m^{(j)}$  — сферические функции порядка  $m$ .

Так как  $(\Delta + \lambda_j^2) \Phi^{(j)} = 0$  и  $\operatorname{div} \varphi^{(j)} = 0$ ,  $j=3, 4$ , то  $(\Delta + \lambda_j^2)(x) \cdot \varphi^{(j)} = 0$  где  $(x \cdot \varphi^{(j)})$  скалярное произведение вектора  $x$  на вектор  $\varphi^{(j)}(x)$ . Поэтому, в области  $D$  — функция  $(x \cdot \varphi^{(j)})$ ,  $j=3, 4$  представлена следующим образом:

$$(x \cdot \varphi^{(j)})(x_i) = \sum_{m=0}^{\infty} R_{mj} r z_m^{(j)} \langle v, \Phi \rangle \quad (7)$$

Здесь  $R_{mj}$  определено равенством (6), а  $Z_m^{(j)}$ ,  $j=3, 4$  — сферическая функция порядка  $m$ .

Введем матричный дифференциальный оператор (см. I).

$$M(\partial_x, v \times \mathbf{x}) = [M_{kj} \partial_{x_j}, n(x_i)]_{3 \times 3} \quad (8)$$

$$M_{kj} \partial_{x_j} = n_j(x) - \frac{\partial}{\partial x_k} - n_k(x) \frac{\partial}{\partial x_j},$$

$$\text{где } n(x) = \left( -\frac{x_1}{r}, -\frac{x_2}{r}, -\frac{x_3}{r} \right), \quad r = |x|.$$

$$\frac{\partial}{\partial S_k(v)} = \left[ n(x) \times \nabla \partial_{x_j} \right]_k, \quad \nabla(\partial_{x_j}) = \left( -\frac{\partial}{\partial x_1}, -\frac{\partial}{\partial x_2}, -\frac{\partial}{\partial x_3} \right),$$

(символ  $[u \times v]$  означает векторное произведение вектора  $u$  на вектор  $v$ , через  $[U \times v]_k$  обозначена его  $K$ -ая компонента)

Предположим, что граничные данные задачи (III) —  $f^{(1)}, f^{(2)}, f_3$ , а также  $(n \cdot f^{(i)})_j$ ,  $[n \times f^{(i)}]_k$  ( $i=1, 2$ ) разлагаются в абсолютно и равномерно сходящиеся ряды по полной ортогональной системе сферических функций.

$$f_k^{(i)} = \sum_{m=0}^{\infty} f_{mk}^{(i)}, \quad (n \cdot f^{(i)})_j = \sum_{m=0}^{\infty} f_{mj}^{(i)}, \quad (9)$$

$$[n \times f^{(i)}]_k = \sum_{m=0}^{\infty} [n \times f^{(i)}]_{mk}, \quad f_3 = \sum_{m=0}^{\infty} f_{m3}$$

$$i=1, 2; \quad k=1, 2, 3.$$

Предположим также, что вторые производные этих рядов скрываются абсолютно и равномерно.

В силу определения оператора  $\frac{\partial}{\partial S_k(x)}$  в случае сферической поверхности легко показать справедливость следующих соотношений

$$\sum_{k=1}^3 n_k(x) \frac{\partial}{\partial S_k(x)} = 0, \quad \frac{\partial n_k(x)}{\partial S_k(x)} = 0, \quad \sum_{k=1}^3 \frac{\partial}{\partial x_k} \frac{\partial}{\partial S_k(x)} = 0,$$

$$\sum_{k=1}^3 \frac{\partial(\operatorname{rot} p)_k}{\partial S_k(x)} = \frac{\partial}{\partial r} \operatorname{div} p - \frac{1}{r} \sum_{k=1}^3 x_k \Delta P_k,$$

$$\sum_{k=1}^3 -\frac{\partial[x \times P]_k}{\partial S_k(x)} = r \operatorname{div} p - \frac{1}{r} \left( 1 + r \frac{\partial}{\partial r} \right) (x \cdot P), \quad (10)$$

$$\sum_{k=1}^3 \frac{\partial^2 Y_m(v, \varphi)}{\partial S_k^2} = -\frac{m(m+1)}{r^2} Y_m(v, \varphi),$$

$$[x \times \operatorname{grad} P]_k = r \frac{\partial P}{\partial S_k}, \quad (n, \operatorname{grad} P_j) = \frac{\partial P}{\partial r}, \quad (x \cdot \operatorname{rot} P) =$$

$$= \sum_{k=1}^3 r \frac{\partial P_k}{\partial S_k(x)},$$

где  $P = (P_1, P_2, P_3)$  — трехмерная векторфункция из класса  $C^2(D)$ ,  $Y_m(\Theta, \varphi)$  — сферическая функция  $m$ -го порядка.

Из (2) применением (5), (7), (8) и (10), при  $r \rightarrow R$  с учетом (9) для нахождения  $Y_m^{(j)}$ ,  $j = 1-5$  получим следующую систему уравнений:

$$\left\{ \begin{array}{l} \left[ \frac{\partial}{\partial r} R_{m1}(r) \right]_{r=R} Y_m^{(1)}(v, \varphi) + \left[ \frac{\partial}{\partial r} R_{m2}(r) \right]_{r=R} Y_m^{(2)}(v, \varphi) = \\ = f_3(z) \\ K_{L_1} \left[ \frac{\partial R_{m1}(r)}{\partial r} \right]_{r=R} Y_m^{(1)}(v, \varphi) + K_{L_2} \left[ \frac{\partial R_{m2}(r)}{\partial r} \right]_{r=R} Y_m^{(2)}(v, \varphi) + \\ + \frac{1}{R} + Z_m^{(3)}(v, \varphi) + \frac{1}{R} Z_m^{(4)} v_1 \varphi = (n \cdot f^{(1)} z)_m, \end{array} \right.$$

$$\frac{1}{R} \lambda_3^2 K_{\lambda_3} Z_m^{(3)}(V, \varphi) + \frac{1}{R} \lambda_4^2 K_{\lambda_4} Z_m^{(4)}(v, \varphi) = \sum_{k=1}^3 \frac{\partial f_{mk}^{(2)}(z)}{\partial S_k(z)} \quad \text{ՀԱՐՄԱՆԱԿԱՆ ՅՈՒՆԻՎԵՐՍԻՏԵՏԻ ՀԱՅԱՍՏԱՆԻ ՀԱՆՐԱՊԵՏՈՒԹՅԱՆ}$$

$$\frac{m'm+1}{R} K_{\lambda_1} Y_m^{(1)}(v, \varphi) + \frac{m(m+1)}{R} K_{\lambda_2} Ym^{(2)}(v, \varphi) + \quad (11)$$

$$+ \frac{1}{R} \left[ \left( 1 + r \frac{\partial}{\partial r} \right) R_{m3}(r) \right]_{r=R} Z_m^{(3)}(V, \varphi) + \frac{1}{R} \left[ \left( 1 + r \frac{\partial}{\partial r} \right) R_{m4}(r) \right] Z_m^{(4)}(V, \varphi) = - \sum_{k=1}^3 \frac{\partial [z \times f_{(z)}^{(1)}]_{mk}}{\partial S_k(z)}$$

$$\sum_{k=1}^3 \frac{\partial Y_{mk}^{(3)}(v, \varphi)}{\partial S_k(z)} + \sum_{k=1}^3 \frac{\partial Y_{mk}^{(4)}(v, \varphi)}{\partial S_k(z)} = \sum_{k=1}^3 \frac{\partial f_{mk}^{(1)}(z)}{\partial S_k(z)},$$

$$K_{\lambda_3} \sum_{k=1}^3 \frac{\partial Y_{mk}^{(3)}(v, \varphi)}{\partial S_k(z)} + K_{\lambda_4} \sum_{k=1}^3 \frac{\partial Y_{mk}^{(4)}(v, \varphi)}{\partial S_k(z)} +$$

$$+ \left[ \frac{\partial}{\partial r} R_{m5}(r) \right]_{r=R} Y_m^{(5)}(v, \varphi) = (n \cdot f^{(2)}(z)) m.$$

$$K_{\lambda_3} \left[ \left( 1 + r \frac{\partial}{\partial r} \right) R_{m3}(r) \right]_{r=R} \sum_{k=1}^3 \frac{\partial Y_{mk}^{(3)}(v, \varphi)}{\partial S_k(z)} + \quad (12)$$

$$+ K_{\lambda_4} \left[ \left( 1 + r \frac{\partial}{\partial r} \right) R_{m4}(r) \right]_{r=R} \sum_{k=1}^3 \frac{\partial Y_{mk}^{(4)}(v, \varphi)}{\partial S_k(z)} +$$

$$+ \frac{m'm+1}{R} Y_m^{(5)}(v, \varphi) = \sum_{k=1}^3 \frac{\partial [z \times f_{(z)}^{(2)}]_{mk}}{\partial S_k(z)}.$$

$$Y_m^{(3)}(v, \varphi) + Y_m^{(4)}(v, \varphi) = F_m^{(1)}(v, \varphi),$$

$$K_{\lambda_3} \left[ \frac{\partial}{\partial r} R_{m3}(r) \right]_{r=R} Y_m^{(3)}(v, \varphi) - K_{\lambda_3} M(\partial_z, n(z)) Y_m^{(3)}(v, \varphi) +$$

$$+ K_{\lambda_4} \left[ \frac{\partial}{\partial r} R_{m4}(r) \right]_{r=R} Y_m^{(4)}(v, \varphi) - K_{\lambda_4} M(\partial_z, n(z)) Y_m^{(4)}(v, \varphi) = F_m^{(3)}(v, \varphi)$$

$$\text{где } \sum_{m=0}^{\infty} F_m^{(1)}(v, \varphi) = f^{(1)} z - K\lambda_1 \operatorname{grad} \varphi^{(1)}(z) - K\lambda_2 \operatorname{grad} \varphi^{(2)}(z),$$

$$\sum_{m=0}^{\infty} F_m^{(2)}(v, \varphi) = [z \times \operatorname{grad} \varphi^{(5)}(z)] - [z \times f^{(2)}(z)];$$

Детерминанты систем уравнений (11) и (12), в силу теорем единственности (см. 4), отличны от нуля и из этих систем находят  $Y_m^{(1)}, Y_m^{(2)}, Y_m^{(5)}$ . Решение системы (13) относительно  $Y_m^{(3)}$  и  $Y_m^{(4)}$  дано в (2).

Таким образом, найдены  $Y_m^{(j)}$  ( $j = 1 - 5$ ) и, следовательно, (5) найдены  $\varphi^{(j)}$ .

Подставляя в (г) значения  $Y^{(j)}$  ( $j = 1 - 5$ ) получим формальное решение задачи (III).

Если теперь потребуем от граничных данных их принадлежности классу  $C^{5,\alpha}(S)$ ,  $0 < \alpha < 1$ , то ряд (5) будет сходиться абсолютно, равномерно и для полученного значения  $\varphi^{(j)}$  (г) даст решения задачи (III).

### Л и т е р а т у р а

- 1 Купрадзе В. Д., Гегелиа Т. Г., Башелашвили М. О., Бурчадзе Т. В. Трехмерные задачи математической теории упругости и термоупругости. М., 1976.
- 2 Натрошвили Д. Г. Эффективное решение основных гранических задач статики для однородного изотропного шара. Труды ИПМ ТГУ, т. III, 1972, 127-140.
- 3 Новацкий В. Теория упругости. М., 1975.
- 4 Агниашвили М. Р. Некоторые краевые задачи термомоментной теории упругости. Изд-во Тбилисского ун-та, Тбилиси, 1976.

ურთავის ფილია დროუს მდგენლაბი

საქართველოს სასოციალ-სამუშაო ინსტიტუტის ჟურნალი, ტ. 114, 1980



ТРУДЫ ГРУЗИНСКОГО ОРДЕНА ТРУДОВОГО КРАСНОГО ЗНАМЕНИ  
СЕЛЬСКОХОЗЯЙСТВЕННОГО ИНСТИТУТА, Т. 114, 1980

УДК 621.311 : 394.015

А. Г. ЖОРЖОЛИАНИ, О. Ш. ВЕЗИРИШВИЛИ

ПЕРСПЕКТИВЫ ЭЛЕКТРИФИКАЦИИ ТЕПЛОВЫХ  
ПРОЦЕССОВ СЕЛЬСКОГО ХОЗЯЙСТВА

Планируемые на перспективный период темпы и уровни развития производственных сил, повышение эффективности промышленного и сельскохозяйственного производства, обеспечение неуклонного роста благосостояния и улучшения условий быта трудящихся требуют дальнейшего широкого развития топливно-энергетического хозяйства страны.

Правильная организация тепло- и хладоснабжения, учитывая значительное (45 %) потребление топловоэнергетических ресурсов на эти цели, имеет большое значение для экономики СССР. Если при централизованном энергоснабжении от ТЭЦ и от крупных районных котельных достигается, как известно, высокая экономичность расходования топлива при минимальных затратах, то при децентрализованном энергоснабжении имеет место крайне неэкономичное расходование топлива при значительных затратах.

Половина потребителей тепла в малых городах и подавляющее большинство в сельской местности пользуются децентрализованным энергоснабжением от малоэкономичных печей и индивидуальных котлов. Поэтому необходимо рационализировать энергоснабжение сельских населенных пунктов.

Весьма велика потребность в топливе сельского населения, составляющего почти половину населения Советского Союза. По расчетам ВНИПИ сельэнерго, потребность в тепловой энергии для полного удовлетворения хозяйственных и коммунально-бытовых нужд сельского населения (отопление, горячее водоснабжение, приготовление пищи) в расчете на одного сельского жителя составляет в среднем по СССР 5,5 Гкал в год, на что потребуется, с учетом существующих установок, 1,5 т у. т./жит.

Необходимо отметить, что фактически сельское население дополучает необходимое ему количество топлива, в результате чего сельское население должно заготавливать (в порядке «самозаготовок») значительное количество топлива для удовлетворения своих нужд в тепловой энергии, что связано с большими трудозатратами.

Естественно, что широкая электрификация сельскохозяйственных районов страны должна содействовать значительному улучшению быта сельского населения. За последние годы достигнуты большие успехи в области электроснабжения сельских районов страны. На 1 января 1980 г. электроэнергией пользовались 99,1% совхозов и 97% колхозов (I).

Из общего потребления электроэнергии, потребление энергии коммунально-бытовые цели сельского населения составляет в настоящее время около 40%, а на производственные цели — 60%.

По мере развития электрификации быта, особенно энергоемких тепловых процессов, удельный вес потреблений электроэнергии в эти цели значительно возрастает.

С точки зрения электрификации тепловых процессов коммунально-бытовых потребителей важнейшей характерной особенностью сельской местности является относительно небольшая концентрация теплового потребления, определяемая условиями расселения.

Сельские населенные пункты с их малоэтажной застройкой приусадебными участками характеризуются также небольшой плотностью населения, жилого фонда и, следовательно, тепловыми нагрузками.

Так по данным ЦНИИЭП инженерного оборудования (2), перспективные показатели плотности жилого фонда и тепловых нагрузок для условий средней полосы СССР (при 10 м<sup>2</sup> жилплощади на душу населения) характеризуются данными приведенными в табл. I.

Таблица I  
Показатели плотности жилого фонда и тепловых нагрузок

Наименование показателей	Поселок городского типа	Села с застройкой (этажность)	
		2	1
Удельный вес селитебной территории в общей площади населенного пункта %	25	15	10
Плотность жилфонда м <sup>2</sup> /га	1600	700	300
Плотность тепловых нагрузок ткал/час на га	0,4	0,3	0,1

Малая концентрация и территориальная плотность теплопотребления в сельской местности делают, как правило, экономически неэффективным использование централизованных источников тепла и создают предпосылки для применения таких схем теплоснабжения, в которых существенная экономия достигается за счет местного транспорта и распределения конечного вида энергии, а именно: схем, основанных на использовании высококалорийных и транспортабельных видов топлива, а также электрических схем теплоснабжения.

Особенностью электрификации быта сельского населения является использование электрической энергии для приготовления пищи, нагрева воды и отопления квартир.

Постепенный перевод приготовления пищи на электрическую энергию в районах, не имеющих естественного бытового газа или подходящих местных видов топлива, является первоочередной задачей. Бытовая плита на три-четыре конфорки с жарочным шкафом является наиболее мощным бытовым прибором (5 квт). Практика показала, что максимальная потребная мощность на плиту на вводе в индивидуальный дом или квартиру составляет около 3,3 квт, а на трансформаторной подстанции около 0,7 квт. Расход электроэнергии на приготовление пищи в домашних условиях составляет около 300 квтч в год на человека, проживающих в домах нового строительства с центральным отоплением и около 170 квтч в индивидуальных домах с печным отоплением. В последнем случае обычно предусматривается приготовление пищи в течение отопительного сезона на твердом топливе.

В настоящее время промышленность освоила производство бытовых напольных электрооплит на три конфорки, что позволит в ближайшие годы приступить к широкому внедрению электрооплит в быт

Таблица 2

Затраты населения руб./чел./год	Электрооплы	Сжиженный газ	Уголь	Дрова
На нужды освещения и бытовых приборов	10,6/5,5*	10,6	10,6	10,6
Для приготовления пищи	6,8/3,4	4,3	2,7	7,8
Общие затраты	17,4/8,7	14,9	13,3	18,4

\*) в числителе тариф за электроэнергию 4 коп/квтч, в знаменателе — 2 коп/квтч

сельского населения. Нами были проведены расчеты по определению экономической эффективности применения электроэнергии для приготовления пищи в сельской местности. Результаты расчетов сведены в табл. 2.

Таким образом, наиболее экономичным способом приготовления пищи в сельской местности является использование электрической энергии. Использование электроэнергии при тарифе 2 коп./квтч (3) выгодно населению и не уменьшает рентабельности энергохозяйства. Это объясняется высокими действующими ценами на сжиженный газ, и особенно твердое топливо, при наличии дотации на продажу этих видов топлива населению.

С экономической, и особенно санитарно-гигиенической точки зрения массовая газификация приготовления пищи в сельской местности на базе баллонного сжиженного газа должна рассматриваться как временное явление, а ее темпы после 1980 г. должны постепенно снижаться за счет внедрения для нужд приготовления пищи электроэнергии.

Условия применения электроотопления и электрического горячего водоснабжения изучены значительно меньше, чем условия электрификации других процессов коммунально-бытовых нужд сельской местности. Поэтому можно лишь ограничиться несколькими предварительными соображениями, которые нуждаются в последующей экспериментальной проверке.

Из всех систем электроотопления приборы, основанные на электрическом сопротивлении, могут быть использованы, в основном, в часы снижения максимума нагрузки энергосистем и требуют наличия у потребителя аккумуляторов тепла. Среди аккумулирующих систем электроотопления могут быть рассмотрены: электродные колбы с баками-аккумуляторами; аккумулирующие панели с греющими кабелем, установка которых возможна во вновь сооружаемых домах; аккумулирующие электрические печи.

Применение электроэнергии в целях приготовления горячей воды в емкостных аккумулирующих водонагревателях является одним из оптимальных путей решения проблемы горячего водоснабжения сельского населения и должно осуществляться как можно скорее. Для этого необходима немедленная организация массового производства качественных надежных в эксплуатации и достаточно дешевых (по 70-80 руб.) аккумулирующих электроводогреев емкостью 100-130 л и средств автоматики для управления режимов их работы.

Особенно эффективно применение в сельской местности для теплохладоснабжения южных районов страны теплоносочных уст-

новок (ТНУ). Гигиенические и бытовые преимущества ТНУ по сравнению с печами и индивидуальными котлами бесспорны. К основным преимуществам следует отнести: уменьшение загрязнения окружающей среды в связи с ликвидацией котельных и печей; максимальное удовлетворение индивидуальных требований комфорта, возможность полной автоматизации поддержания микроклимата в помещении; удовлетворение требованиям эстетики жилого помещения; значительное уменьшение расчетного потребления тепла на отопление за счет безинерционности и полной автоматизации; возможность поддержания в помещении постоянной температуры и влажности воздуха круглогодично. Переход на электроотопление при помощи ТНУ, потребляющей 3-4 раза меньше электроэнергии, чем при прямом электроотоплении, дает, кроме того, возможность в летнее время переключаться на охлаждение помещения, что весьма важно для южных населенных пунктов страны. Необходимо указать для сельского хозяйства дополнительное преимущество ТНУ вследствие того, что всегда при выработке тепла одновременно производится и холод и, наоборот, при выработке холода одновременно производится тепло. Указанное преимущество ТНУ может быть использовано для таких сельскохозяйственных производств, как молочные фермы, где нужен холод для охлаждения молока и тепло для подогрева воды; птицефабрики, где необходимо горячее водоснабжение в цехе переработки и холод в камерах хранения мяса и т. п. Кроме того ТНУ могут быть использованы в сельском хозяйстве для поддержания температуры в овощехранилищах, свинофермах, и т. п.

Оценка реальных технико-экономических показателей и определение эксплуатационных характеристик позволили провести энергоэкономическое сравнение схемы ТНУ с другими существующими и проектируемыми схемами теплохладоснабжения. В основу проведенных расчетов были приняты следующие данные: приведенные затраты на электроэнергию 18,6 руб/МВтч; приведенные замыкающие затраты на топливо — 68 руб/тут, дополнительная стоимость эл. сетей 20 руб/квт, стоимость внутреннего оборудования на 1 Гкал/ч принята: для прямого электроотопления 10 тыс. руб; для котельной — 23 тыс. руб; для ТНУ — 45 тыс. руб; для печей — 16 тыс. руб.; для аккумулирующих электробойлеров — 26 тыс. руб. (4, 5).

Полученные результаты расчетов в относительных единицах приведены в табл. 3.

Соотношение между приведенными затратами дают достаточно наглядную картину экономических преимуществ использования

Наименование потребителя	Варианты теплохладоснабжения				
	котельная на угле + компрессор. хол. установка	угольная печь + компрессор. хол. установка	котельная на сжиженном газе + компрессор. хол. станция	электроотопление + компрессор. хол. станция	аккумуляторный электрический тройбойлер + хол. станция
Отдельно-стоящий дом (1 и 2 этаж)	1,45	1,36	1,32	1,91	1,61
Типовые 4-х этаж. дома	1,88	1,28	1,26	1,62	1,42

ТНУ. В связи с этим дальнейшее широкое внедрение ТНУ в сельской местности обеспечит значительное улучшение комфортных условий, сохранит чистоту окружающей среды, уменьшит расход топливных ресурсов. Все это значительно повысит уровень электрификации народного хозяйства при минимуме затрат.

## ЛИТЕРАТУРА

- Гуревыч А. М. Фактическое потребление электроэнергии на бытовые нужды в сельской местности, в сб. «Электрификация быта сельского населения». Киев, 1978.
- Бесчинский А. А., Коган Ю. М. Экономические проблемы электрификации, М., «Энергия», 1977.
- Попов В. Г. Хаблак Н. Т. Технико-экономическое обоснование применения электроэнергии для полной электрификации быта села в сб. «Электрификация быта и сельскохозяйственного производства», Рига, 1975.
- Руководящие указания по использованию замыкающих затрат на топливо-электрическую энергию. М., «Наука» 1973.
- Болотов В. В., Гусев В. Н. Экономика и организация энергетического хозяйства СССР, Л., «Энергия», 1979.



УДК 631. 97. 665, 71

## РЕФЕРАТЫ

Процесс ориентации листьев табака черешками в одну сторону упругоэластичными вальцами

Г. Я. Шхвабая, Э. Г. Баламцаравиши, А. П. Мартиашвили, Труды ГрузСХИ., т. 114, 1980, стр. 5-11

В статье рассматриваются теоретические обоснования процесса ориентации листьев табака черешками с помощью упруго-эластичных вальцов машины, для полистной уборки табака.

Убираемые табачные листья, лучше ориентируются в одну сторону при их продольном изгибе, но по мере увеличения угла ориентации при подъеме вверх и уменьшении длины листа процесс захвата ухудшается. На качество захвата и ориентации листьев значительное влияние оказывают расположение листа на стебле и диаметр и материал вальцов. Рис.-4, библ.-4.

УДК 631.312.02.

К вопросу определения норм расхода быстроизнашиваемых деталей тракторных плугов в горных условиях Грузии с учетом вариации их ресурса.

А. Г. Кечхуашвили, Д. В. Кацитадзе, А. Т. Цикоридзе, И. А. Челидзе, Д. Ш. Челидзе. Труды ГрузСХИ, т. 114, 1980, стр. 13-20.

В статье дана примерная методика определения нормы расхода интенсивно поврежденных деталей почвообрабатывающих машин на основе математической обработки статистических данных с учетом вариации их ресурса.

Методика построена на примере определения удельного расхода лемехов для тяжелоглинистых и песчаных почв с щебенисто-каменными включениями с учетом влияния наклонной поверхности горных условий Груз. ССР.

Для установления действительных норм расхода запасных частей необходимо предлагаемую методику применять дифференциальную в зависимости от почвенных и рельефных условий каждого района. Табл. 4, рис. 2, библ.-3.

УДК 620.193.4

О возможности безникелевых нержавеющих сталей в производстве фруктовых соков и овощных консервов А. К. Барбакадзе, М. Д. Цкитишвили, Т. А. Пурцхавадзе, Т. И. Акимидзе, Труды ГрузСХИ, т. 114, 1980, стр. 21-29

Работа посвящена изучению влияния некоторых, самых агрессивных фруктовых соков и овощных консервов на коррозионную стойкость, как никелевой нержавеющей стали марки НИОТ, так и на новых безникелевых сталей марки 10x15 АГ4, 08x25Г1БС, установлены возможности применения безникелевой хромомарганцевой стали, содержащей 25% Сч и 15% марганца в качестве заменителя дефицитной и дорогой никелевой стали. Рис. 4, библ. 6.

УДК 621. 434. 056. 013. 6

### Режимы холостого хода автотракторных двигателей

Г. А. Хантадзе, Г. И. Дарчиашвили, Труды ГрузСХИ, т. III, 1980, стр. 31-40.

Предлагается диагностическая оценка состояния двигателя с помощью обязательных, минимально-устойчивых оборотов холостого хода. Дается способ построения «комплексной характеристики».

Намечается установление некоторых соотношений и функциональных зависимостей основных параметров для анализа работы двигателя при холостом ходе. Рис. 5, библ. 3.

УДК 551. 510.142

### К вопросу загрязнения атмосферного воздуха, вызванного антропогенными факторами.

Г. С. Чичуа, Г. С. Гуния, Р. А. Гвазава. Труды ГрузСХИ, т. 114, 1980, стр. 41-45.

Рассматриваемая статья посвящена вопросу загрязнения атмосферного воздуха, вызванного антропогенными факторами. В нее рассматривается изменение климата г. Тбилиси как за 13-летний период, так и за более длительное время (38 лет). Делается попытка связать отмеченные колебания климата г. Тбилиси с загрязнением его атмосферы. Библ. 6, рис. 1.

УДК 634. З

### Основы оценки технологических процессов.

Г. А. Шаламберидзе, А. Церцвадзе, А. Шаламберидзе. Труды ГрузСХИ, т. 114, 1980, стр. 47-51.

В статье излагаются теоретические основы для оценки технологических процессов с применением теории случайных процессов. Устанавливается двойной интервал изменения основных агротехнических и эксплуатационных параметров.

На основе теоретических исследований были проведены измерения при посеве картофеля с помощью специального уровновешивающего устройства.

Как показывают результаты исследований, распределение картофеля в гнездах подчиняется закону нормального распределения.

Основные агротехнические и эксплуатационные параметры находятся в пределах требуемых агротехникой, следовательно улучшаются качественные показатели посева. Библ. — 4.

УДК 631 . 316:632 . 535 . 11 . (088.8)

Лабораторное испытание расхода жидкого газа различного состава в термическом культиваторе марки «НТК-100».

Л. У. Копалиани, Труды ГрузСХИ, т. 114, 1980, стр. 53-63,

В первой части работы даются характеристика физико-химических свойств используемого в термическом культиваторе жидкого газа и его месторождений в Советском Союзе.

Во второй части работы представлены результаты лабораторного испытания работы термического культиватора на жидким газе различного состава.

В результате лабораторных и полевых испытаний определен расход пропан-бутана на термическую обработку сорных растений и рыхление почвы на глубину 8 см за  $5 \text{ м}^3$  часов в расчете на 1 га.

Табл. 5, рис. 4.

УДК 631 . 31.

Исследование экономической эффективности поточной уборки колосовых зерновых культур.

М. С. Ошоридзе, Труды ГрузСХИ, т. 114, 1980, стр. 65-71,

В статье рассматривается технология уборки и экономическая эффективность комплекса машин поточной уборки колосовых зерновых культур в горных условиях.

На основе анализа результатов экспериментального исследования уборки зерновых культур самоходным комбайном в горных районах, определены основные недостатки существующего метода уборки зерновых, разработана поточная технология, подобран соответствующий комплекс машин и указано преимущество метода поточной уборки колосовых зерновых культур в горных условиях.

На основе экспериментального и теоретического исследования определена экономическая эффективность поточного метода и комплекса машин поточной уборки по сравнению комбайновой уборки.

Табл. 2, библ. 9.

УДК 631. 3 . 631.4

Расчет количества агрегатов для производственных процессов с помощью теории массового обслуживания.

Р. Э. Рамазашвили, Труды ГрузСХИ, т, 114, 1980, стр. 73-78.

Показаны примеры расчета количества агрегатов для выполнения сельскохозяйственных производственных процессов рассматривая механизированную бригаду, как систему массового обслуживания. При расчете учитываются случайные характеры момента начала проведения какой либо с/х операции в времени, необходимой для выполнения операции, т. е. времени обслуживания. Приведены экономические расчеты. Табл.-1, библ.-2.

УДК 631. 1 : 631 . 3

Расчет экономической эффективности от использования измерителя загрузки и работы агрегатов,

А. Л. Мелия, О. А. Карчава, Труды ГрузСХИ, т, 114, 1980, стр. 79-84.

Для эффективного использования энергетических мощностей большое значение имеет рациональная загрузка агрегатов. Разработанный цифровой магнитоупругий измеритель загрузки и работы агрегатов, дает возможность проводить энергетические исследования различных агрегатов, с целью создания их рационального агрегатирования. В статье предложен расчет определения экономической эффективности при применении вышеуказанного приспособления. Как показывают результаты исследований, которые были проведены на тракторе ДТ-75, годовой экономический эффект составляет 135 рублей, от использования одного тракторного агрегата.

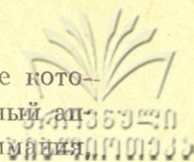
Поэтому, мы предполагаем, что применение такого приспособления даст значительный экономический эффект при внедрении в производство. Рис. — 1, библ. — 4.

УДК 633. 72. 631. 37

Результаты испытания ручного чаесборочного аппарата с ротационным ножом вращающимся в горизонтальной плоскости (питание от аккумулятора).

О. М. Тедорадзе, О. Б. Одишелидзе, Труды ГрузСХИ, т. 114, стр. 85-91,

В статье даются описание конструкции и технологического процесса ротационного чаесборочного аппарата RA — 8 производст-



ва Японии и результаты хозяйственного испытания, на основе которого сделаны выводы. В выводах подчеркнуто, что ротационный аппарат с питанием от аккумулятора заслуживает особого внимания, так как нет необходимости проводить в плантациях электросети, что очень дорого и трудоемко. В статье рассматриваются также недостатки испытываемого аппарата и рекомендации к их устранению.

Табл. 2. рис. 3.

УДК — 631.37 : 629, 114.2

Устойчивость прямолинейного движения колесных тракторов на склонах.

Г. И. Мосашвили, Н. Н. Харашвили, Труды ГрузСХИ, т. 114, 1980, стр. 93-103.

В статье рассмотрены факторы, влияющие на прямолинейность движения колесных тракторов при работе на склонах. Выведены математические зависимости между этими факторами и величиной отклонения от заданного направления движения трактора. Проанализированы разные случаи движения колесных тракторов в попечном направлении склона в зависимости от соотношений величин углов боковых уводов передних и задних колес, деформаций почвы и сползания трактора. Выведено уравнение траектории неуправляемого движения колесного трактора на склонах.

Библ. 4. рис. 3.

УДК 631.51 : 551.432

Некоторые вопросы улучшения высокогорных лугов Грузинской ССР.

О. В. Кистаури, В. М. Кавтарадзе, Г. М. Читая, Труды ГрузСХИ, т. 114, 1980, стр. 105-108.

В статье рассмотрены вопросы повышения продуктивности высокогорных закочкаренных угодий.

В конструкции предусматривается установка специального высевающего аппарата для внесения одновременно со срезанием кочек, семян трав и удобрений.

Урожайность трав на опытных участках повышается на 60 %.

Рис. 3.

УДК 633.72 : 631.37

К вопросу применения кабельной электросети для питания ручных электромоторных чаесборочных и подрезочных машин

З. Г. Шхвцабая, Т. Я. Лалашвили, Труды ГрузСХИ, т. 114, 1980, стр. 109-117.

В статье рассматривается практическое обоснование применения наземной кабельной электросети для питания ручных троекочных и подрезочных машин. Даётся критический анализ существующей электросети в сравнении с предлагаемой. Рассматриваются схемы электропитания машин однофазной линией, проложенной на корнями кустов по центру вдоль чайных шпалер. Их расчет по допустимой потере напряжения. Выбор сечения проводов кабелей. Мероприятия для обеспечения безопасности при работе с аппаратом. Рис. 5. библ. 3.

УДК 621. 434. 056 : 013 . 6

Двухискровое зажигание автомобильных двигателей

Г. Д. Таборидзе, Труды ГрузСХИ, т. 114, 1980, стр. 119-126.

В статье излагается состояние современного двигателестроения в свете глобальных проблем — всемерной экономии энергетических ресурсов и сохранения окружающей среды. Доказывается несоответствие действующих отраслевых стандартов современным требованиям и актуальность нового подхода к правильной организации процесса сгорания в перспективных автомобильных двигателях.

На основе проведенных автором экспериментов, подчеркивается необходимость обеспечивания наличия, при расслоении заряда горючем слое сильно обогащенной ( $\text{до } \lambda = 0,55 - 0,70$ ) смеси и принципиальность применения двухискрового зажигания на частичных нагрузках, позволяющее резко повысить полноту сжигания топлива на этих режимах работы двигателей. Рис. 3, библ. 13.

УДК 631. 352

Вопросы энергетики ручной электрокосилки

Н. И. Метревели, А. К. Диебуладзе, Г. И. Мшвидбадзе, Дж. С. Сирадзе, Труды ГрузСХИ, т. 114, 1980, стр. 129-134.

Рассмотрен выбор мощности двигателя электрифицированной ротационной косилки, предназначенный для работы на тракторах доступных участках. Исследована работа выбранного электродвигателя с учетом случайных факторов, действующих на рабочий орган ручной косилки.

Рис. 2, библ. 8.

УДК 532. 543 : 627. 157. 004. 24

Исследование некоторых вопросов движения нанососущего потока с переменным расходом вдоль пути в открытых водотоках

© Г. Натишвили, И. Г. Круашвили, Труды ГрузСХИ, т. 114,  
1980, стр. 137-142.

Излагаются приближенные методы расчета поглощающих гравитационных и непризматических каналов при движении в них напоследующих потоков, когда интенсивность изменения расхода вдоль пути происходит равномерно за счет жидкого компонента смеси при постоянной глубине потока. Методы расчета основываются на предыдущих публикациях автора. Решение получается интегрированием общего дифференциального уравнения одномерного движения напоследующего потока с переменным расходом фаз вдоль пути.

Библ. — 2.

УДК 532. 53

Теоретическое исследование водораспределения в системе водоводов капельного орошения. Б. М. Чиквашвили, И. Д. Музавев, Г. Г. Омсарашвили.

Труды ГрузСХИ, т. 114, 1980, стр. 143-150.

Приведены результаты теоретического исследования водораспределения в системе водоводов капельного орошения. Гидравлическую модель процесса капельного орошения в виде напорного движения в водоводах отъемом воды вдоль пути, в работе получены расчетные зависимости для расчета и управления капельными оросительными системами.

Рис. -1, библ.-5.

УДК 631. 6. 02

О скорости движения воды при поверхностном поливе.

Г. Е. Тугуши, Труды ГрузСХИ, т. 114, 1980, стр. 151-158.

На основе анализа полево-экспериментальных материалов установлено, что скорость движения при поливе достаточно точно выражается обобщенной формулой Шези. Изменчивость входящих в формулу параметров объясняется различием в методиках обработки опытных данных и изменением коэффициента шероховатости по времени.

Для правильного расчета полива важно знать наибольшее значение коэффициента шероховатости в начале полива, для определения которого предложена методика. Библ. 23.

УДК 532. 543. 627. 157. 001. 24

Влияние силы гидродинамического давления на устойчивость грунтовых частиц — агрегатов.

Т. Е. Кацарава, Труды ГрузСХИ, т. 114, 1980, стр. 161-162

Излагается определение силы гидродинамического давления и ее инвариантность от размера грунтовых частиц. Данные критерияльные зависимости для оценки устойчивости в предельном равновесии частиц или элементарного объема фильтрационной среды.

Рис.-1. библ. 1.

УДК — 532. 53

**Рабочая формула для определения К. П. Д. гидрокомпрессора струйного типа.** Д. С. Циклаури, И. М. Гегешидзе, Г. А. Макалатия, Труды ГрузСХИ, т. 114, 1980, стр. 163-166.

Для определения величины К. П. Д. ( $\eta$ ) гидрокомпрессора предназначенногов качестве воздуходувки для компактных установок необходимо найти выражение работы изотермического сжатия воздуха ( $A_2$ ) и работы воды ( $A_1$ ), поскольку их отношение дает выражение коэффициента полезного действия. Рис.-1. библ. 3.

УДК 532. 53

**Некоторые вопросы технического состояния Салтвисской оросительной системы в Грузии и организация ее эксплуатации.** А. Д. Хурцилава, Труды ГрузСХИ, т. 114, 1980, стр. 167-172,

В статье приведены, по данным проекта эксплуатации, паспортизации, инвентаризации технических отчетов и других источников технического состояния оросительных систем и организации ее эксплуатации на примере Салтвисской оросительной системы в Грузии.

Проанализированы следующие элементы эксплуатации данной системы; техническая характеристика системы: состояние с/х угодий, количество обслуживаемых хозяйств, состав с/х культур, фактические эксплуатационные расходы по элементам затрат и др. Табл. -3. библ.-5.

УДК 532. 5 :627. 157

**К расчету промыва отстойников периодического действия**  
Ф. В. Гольдин, Труды ГрузСХИ, т. 114, 1980, стр. 175-178,

На основе экспериментально полученного критерия устойчивости для частиц несвязного грунта в автомодельной области, получена зависимость для скорости массового движения напосов с учетом формы частиц, начало движения которых как качение (обкатанная форма) так и скольжение (трудноподвижная форма — плоская

талька, призмы и др.), которая применена к расчету промывки отстойника. Полученные результаты расчетной скорости хорошо согласуются с экспериментальными. Сопоставления с нормативными данными показали, что расход при промывке отстойников, расположенных на равнинных участках рек можно уменьшить в среднем на 14% для отстойников горно-предгорной зоны полученные данные хорошо согласуются с нормативными.

Табл.-1, библ.8.

УДК 532. 135. 001. 5 + 681. 3-06

Вязкостные свойства сапропеля озера Палиастоми (Грузинская ССР).

А. Л. Сахладзе, В. Г. Ушаков, Л. И. Нарядовая.

Труды ГрузСХИ, т. 114, 1980, стр. 179-184.

Приведены результаты экспериментального исследования вязкости сапропеля оз. Палиастоми на ротационном вискозиметре РВ-8 в диапазоне плотностей  $1250 \pm 1450$  кг/м<sup>3</sup> и температур 8—43°C. Показано, что сапропель является нелинейной вязко-пластичной жидкостью, течение которой удовлетворительно описывается реологической моделью Гершеля—Балкли. Определены реологические параметры этой модели и найдены их зависимость от плотности сапропеля. Рис.—3, библ.—5.

УДК 532. 53

Эффективное решение третьей основной граничной задачи колебания моментной теории термоупругости для пространства с шаровой полостью. М. Р. Агниашвили, Труды ГрузСХИ, т. 114, 1980, стр. 185-190,

В работе построено решение третьей основной граничной задачи стационарного колебания термомоментной теории упругости (когда на границе заданы: вектор смещения, вектор вращения и поток тепла) равномерно сходящихся в рядах относительно функции Ганкеля и сферических функций.

Библ.—4.

УДК 621. 311 : 394. 015

Перспективы электрификации тепловых процессов сельского хозяйства.

А. Г. Жоржолиани, О. Ш. Везиришвили

Труды ГрузСХИ, т. 114, стр. 191-196.

Рассмотрены вопросы электрификации тепловых процессов сельских населенных пунктов. Приведены энергоэкономические по-

казатели различных схем. Рекомендованы оптимальные схемы для  
трификации тепловых процессов сельского хозяйства.  
Табл-3, библ.-5.

ЗАРЯДКА  
ЗАЩИПОВОЙ

# სარჩევო — ОГЛАВЛЕНИЕ



სასოფლო-სამეურნეო წარმოების მექანიზაცია

## Механизация сельскохозяйственного производства

Г. Я. Шхвачабая, З. Г. Баламцарадшили, А. П. Мартиашвили —  
Процесс ориентации листьев табака черешками в одну сторону упругоэластичными вальцами . . . . . 5

А. Г. Кечхуашвили, Д. В. Кацитадзе, А. Т. Цикоридзе, И. А. Челидзе, Д. Ш. Челидзе — К вопросу определения норм расхода быстроизнашиваемых деталей тракторных плугов в горных условиях Грузии с учетом вариации их ресурса . . . . . 13

ა. გარბაძე, გ. ცემოშვილი, თ. ფურცხვანიძე, ტ. აქოძე — Универсальная установка для обработки гравийных отходов . . . . . 22  
გ. ხანთაძე, გ. დარჩიაშვილი — Стандартные нормы расхода горючего и смазочных материалов на производство кирпича . . . . . 32

Г. С. Чичуа, Г. С. Гуния, Р. А. Гвазава — К вопросу загрязнения атмосферного воздуха, вызванного антропогенными факторами . . . . . 41

გ. შალამბეგრიძე, ა. ცერცვაძე, ა. შალამბეგრიძე — Технология гравийной зерновой сепарации . . . . . 47

კ. კოჯალიანი — „HTK — 100“ машины транспорта куличного производства . . . . . 53  
შესხვა შემაღებლობის тенденции . . . . . 53

ს. ოშორიძე — Методика определения коэффициента износа тракторных колес . . . . . 65

ჩ. რამაზაშვილი — Специальные зерновые машины . . . . . 73

ა. Л. Мелия, О. А. Карчава — Расчет экономической эффективности от использования измерителя загрузки и работы агрегатов . . . . . 79

ს. თელორაძე, თ. თელიშვილი — Зерновой сортировочный транспортный комплекс . . . . . 85

გ. მოსაშვილი, ბ. ხარავიშვილი — Транспортировка зерна в сухом виде . . . . . 93

ო. В. Кистаури, В. М. Кавтарадзе, Г. М. Читая — Некоторые вопросы улучшения высокогорных лугов Грузинской ССР . . . . . 105

გ. Г. Шхвачабая, Т. Я. Лалашвили — К вопросу применения кабельной электросети для питания ручных электромоторных часеборочных и подрезочных машин . . . . . 109

გ. Д. Таборидзе — Двухискровое зажигание автомобильных двигателей . . . . . 119

ს. მოფლო-სამეურნეო წარმოებას ელექტრიფიკაცია

## Электрификация с-х производства

ვ. И. Метревели, А. К. Диедубидзе, Г. И. Мшивидобадзе, Дж. С. Сирадзе — Вопросы энергетики ручной электроокислки . . . . . 129



О. Г. Натишили, И. Г. Крашвили, — Исследование некоторых вопросов движения наносонесущего потока с переменным расходом вдоль пути в открытых водотоках	137
Б. М. Чиквашвили, И. Д. Музав, Г. Г. Омсараджили — Теоретическое исследование водораспределения в системе водоводов капельного орошения	143
Г. Э. Тугуши — О скорости движения воды при поверхностном поливе	151
Т. Э. Кацарава — Влияние силы гидродинамического давления на устойчивость грунтовых частиц — агрегатов	161
Д. С. Циклаури, И. М. Гегешидзе, Г. А. Макалатия — Рабочая формула для определения К. П. Д. гидрокомпрессора струйного типа	167
А. Д. Хурцилова — Некоторые вопросы технического состояния Салтвинской оросительной системы Грузии и организация ее эксплуатации	169
Ф. В. Гольдин — К расчету промыва отстойников периодического действия	173
А. Л. Сахладзе, В. Г. Ушаков, Л. И. Нарядовая — Вязкостные свойства сапропеля оз. Палиастоми (Грузинская ССР)	179
М. Р. Агниашвили — Эффективное решение третьей основной граничной задачи колебания моментной теории термоупругости для пространства с шаровой полостью	185
А. Г. Жоржолиани, О. Ш. Везиришвили — Перспективы электрификации тепловых процессов сельского хозяйства	191
<b>Рефераты</b>	<b>197</b>



დედანი მომზადდა გამოსაცემად

სარედაქტო-საგამომცემლო განყოფილების მიერ  
რედაქტორები: ვ. ბურიაკოვი, მ. დოლიძე, რ. ვაჩაძე,  
მ. თორელაშვილი, ნ. კერესელიძე

წე. 1589

თე 14195

გ. 500

გადაეცა წარმოებას 12. 12. 80. წ. ხელმოწერილია დასაბეჭდად 7:01. 81 წ. ანაწყო-  
ბის ზომა 6×10, სასტამბო თაბაზი 13 სააღრიცხვო-საგამომცემლო თაბაზი 10,5.

ფასი 1 მან. 60 კაპ.

სსი სტამბა, თბილისი — 31,

Типография ГрузСХИ, Тбилиси-31.

7-3-2/42

ფილი 1 გან. 90 დაბ.



საქართველოს  
ეროვნული ბიბლიოთეკი